



### OFICINA ESPAÑOLA DE PATENTES Y MARCAS

**ESPAÑA** 



11) Número de publicación: 2 399 246

51 Int. Cl.:

C12Q 1/68 (2006.01)

(12)

## TRADUCCIÓN DE PATENTE EUROPEA

**T3** 

(96) Fecha de presentación y número de la solicitud europea: 17.09.2004 E 04788855 (7) (97) Fecha y número de publicación de la concesión europea: 07.11.2012

EP 1670946

(54) Título: Predicción del resultado del tratamiento del cáncer de mama

(30) Prioridad:

19.09.2003 US 504087 P 02.12.2003 US 727100 06.02.2004 US 773761 23.02.2004 US 547199 P

(45) Fecha de publicación y mención en BOPI de la traducción de la patente: 27.03.2013

(73) Titular/es:

**BIOTHERANOSTICS, INC. (100.0%)** 9640 Towne Centre Drive, Suite 200 San Diego, CA 92121, US

(72) Inventor/es:

MA, XIAO-JUN; **ERLANDER, MARK G.;** SGROI, DENNIS C. y **ENRIGHT, EDWARD** 

(74) Agente/Representante:

**UNGRÍA LÓPEZ, Javier** 

### **DESCRIPCIÓN**

Predicción del resultado del tratamiento del cáncer de mama

#### Campo de la invención

5

10

15

20

25

30

35

40

45

50

55

60

65

La invención se refiere a la identificación y uso de perfiles de expresión génica, o patrones, con importancia clínica para el tratamiento de cáncer de mama usando tamoxifeno (novaldex) y otros agentes "antiestrógeno" contra cáncer de mama, incluyendo otros "moduladores selectivos de los receptores de estrógenos" ("SERM"), "reguladores negativos selectivos de los receptores de estrógenos" ("SERD") e inhibidores de aromatasa ("Al"). En particular, la invención proporciona las identidades de secuencias génicas cuya expresión se correlaciona con la supervivencia de los pacientes y la protección de cáncer de mama en mujeres tratadas con tamoxifeno u otros agentes "antiestrógeno" contra cáncer de mama. Los perfiles de expresión génica, plasmados en expresión de ácido nucleico, expresión proteica u otros formatos de la expresión, pueden usarse para seleccionar sujetos aquejados de cáncer de mama que probablemente respondan de forma positiva al tratamiento con tamoxifeno u otro agente "antiestrógeno" contra cáncer de mama, así como los que probablemente no sean sensibles y por lo tanto candidatos para otros tratamientos. La invención también proporciona las identidades de conjuntos de secuencias de múltiples genes con patrones de expresión que son fuertemente predictivos de la sensibilidad a tamoxifeno y otros agentes "antiestrógeno" contra cáncer de mama.

#### Antecedentes de la invención

El cáncer de mama es con diferencia el cáncer más común entre mujeres. Cada año, se diagnostica cáncer de mama a más de 180.000 y 1 millón de mujeres en los Estados Unidos y en todo el mundo, respectivamente. El cáncer de mama es la causa principal de muerte para mujeres entre 50-55 años de edad, y es el tumor maligno no prevenible más habitual en mujeres en el Hemisferio Occidental. Actualmente viven con la enfermedad aproximadamente 2.167.000 mujeres en los Estados Unidos (Instituto del Cáncer Nacional, Programa de Vigilancia, (NCI Epidemiología Resultados Sinales SEER), Cancer **Statistics** Review (CSR). seer.ims.nci.nih.gov/Publications/CSR1973 (1998)). Basándose en tasas de cáncer de 1995 a 1997, un informe del Instituto Nacional del Cáncer (NCI) estima que aproximadamente 1 de cada 8 mujeres en los Estados Unidos (aproximadamente 12,8 por ciento) desarrollarán cáncer de mama durante su vida (Programa de Vigilancia, Epidemiología y Resultados Finales del NCT (SEER) publicación SEER Cancer Statistics Review 1973-1997). El cáncer de mama es la segunda forma más común de cáncer, después de cáncer de piel, entre mujeres en los Estados Unidos. Se espera que se diagnostique una estimación de 250.100 nuevos casos de cáncer de mama en los Estados Unidos en 2001. De éstos, se espera que se produzcan 192.200 nuevos casos de cáncer de mama más avanzado (invasivo) entre mujeres (un aumento del 5% respecto al año pasado), se espera que se produzcan 46.400 nuevos casos de cáncer de mama de estadio temprano (in situ) entre mujeres (aumento del 9% respecto al año pasado), y se espera que se diagnostiquen aproximadamente 1.500 nuevos casos de cáncer de mama en hombres (Cancer Facts & Figures 2001 American Cancer Society). Se espera una estimación de 40.600 muertes (40.300 mujeres, 400 hombres) de cáncer mama en 2001. El cáncer de mama se clasifica en segunda posición solamente superado por el cáncer de pulmón entre las causas de muertes por cáncer en mujeres. Aproximadamente el 86% de mujeres a las que se les diagnostica cáncer de mama probablemente estén vivas cinco años después, aunque el 24% morirán de cáncer de mama después de 10 años y casi la mitad (47%) morirá de cáncer de mama después de 20 años.

Todas las mujeres están en riesgo de padecer cáncer de mama. Más del 70% de los cánceres de mama se producen en mujeres que no tienen factores de riesgo identificables aparte de la edad (U.S. General Accounting Office. Breast Cancer, 1971-1991: Prevention, Treatment and Research. GAO/PEMD-92-12; 1991). Solamente del 5 al 10% de los cánceres de mama están ligados a un historial familiar de cáncer de mama (Henderson IC, Breast Cancer. In: Murphy GP, Lawrence WL, Lenhard RE (eds). Clinical Oncology. Atlanta, GA: American Cancer Society; 1995:198-219).

Cada mama tiene de 15 a 20 secciones llamadas lóbulos. Dentro de cada lóbulo hay muchos lobulillos más pequeños. Los lobulillos terminan en docenas de bulbos minúsculos que pueden producir leche. Los lóbulos, lobulillos y bulbos están todos ligados por tubos estrechos llamados conductos. Estos conductos conducen al pezón en el centro de un área oscura de piel llamada la aureola. Los lóbulos y los conductos están rodeados de grasa. No hay músculos en la mama, pero hay músculos debajo de cada mama y cubren las costillas. Cada mama contiene también vasos sanguíneos y vasos linfáticos. Los vasos linfáticos portan un fluido incoloro llamado linfa, y conducen a los ganglios linfáticos. Los grupos de ganglios linfáticos se encuentran cerca de la mama en la axila (bajo el brazo), por encima de la clavícula, y en el pecho.

Los tumores de mama pueden ser benignos o malignos. Los tumores benignos no son cancerosos, no se expanden a otras partes del cuerpo y no son una amenaza para la vida. Habitualmente pueden retirarse y en la mayoría de los casos no regresan. Los tumores malignos son cancerosos y pueden invadir y dañar tejidos y órganos cercanos. Las células tumorales malignas pueden metastatizar, entrar en el torrente sanguíneo o en el sistema linfático. Cuando las células de cáncer de mama metastatizan fuera de la mama, con frecuencia se encuentran en los ganglios linfáticos bajo

el brazo (ganglios linfáticos axilares). Si el cáncer ha alcanzado estos ganglios, significa que las células cancerosas pueden haberse propagado a otros ganglios linfáticos u otros órganos, tales como huesos, hígado o pulmones.

Se ha centrado una investigación intensiva e importante en la detección temprana, tratamiento y prevención. Esto ha incluido un énfasis en la determinación de la presencia de células epiteliales ductales cancerosas o precancerosas. Estas células se analizan, por ejemplo, con respecto a morfología celular, con respeto a marcadores proteicos, con respecto a marcadores de ácido nucleico, con respecto a anomalías cromosómicas, con respecto a marcadores bioquímicos y con respecto a otros cambios característicos que señalizarían la presencia de células cancerosas o precancerosas. Esto ha conducido a diversas alteraciones moleculares que se han indicado en cáncer de mama, pocas de las cuales se han caracterizado bien en muestras de ensayo de mama clínicas humanas. Las alteraciones moleculares incluyen presencia/ausencia de receptores esteroides de progesterona y estrógeno, expresión/amplificación de HER-2 (Mark HF, et al. HER-2/neu gene amplification in stages I-IV breast cancer detected by fluorescent *in situ* hybridization. Genet Med; 1(3): 98-103 1999), Ki-67 (un antígeno que está presente en todos los estadios del ciclo celular excepto G0 y se usa como un marcador para proliferación de células tumorales) y marcadores de pronóstico (incluyendo oncogenes, genes supresores de tumores y marcadores de angiogénesis) como p53, p27, Catepsina D, pS2, gen de resistencia a multifármaco (MDR) y CD31. El documento WO 02/103320 se refiere a marcadores genéticos, cuya expresión se correlaciona con cáncer de mama, y en particular que pueden usarse para diferenciar afecciones clínicas asociadas con cáncer de mama tales como la presencia o ausencia del receptor de estrógenos ESR1 y BRCA1 y tumores esporádicos.

El tamoxifeno es el agente antiestrógeno más frecuentemente prescrito en mujeres con cáncer de mama positivo para receptor de hormonas tanto de estadio temprano como metastásico (para revisiones, véase Clarke, R *et al.* "Antiestrogen resistance in breast cancer and the role of estrogen receptor signalling". Oncogene 22, 7316-39 (2003) y Jordan, C. "Historical perspective on hormonal therapy of advanced breast Cancer". Clin. Ther. 24 Sup. A, A3-16 (2002)). En el entorno con adyuvante, la terapia con tamoxifeno da como resultado una reducción del 40-50% en el riesgo anual de reaparición, lo que conduce a una mejora del 5,6% en la supervivencia a 10 años en pacientes negativos para ganglios linfáticos y una mejora del 10,9% correspondiente en pacientes positivos para ganglios (Grupo, E.B.C.T.C. Tamoxifen for early breast cancer. Cochrane Database Syst Rev, CD000486 (2001)). Se cree que el tamoxifeno actúa principalmente como un inhibidor competitivo de la unión de estrógenos con el receptor de estrógenos (ER). Los niveles absolutos de expresión de ER, así como los del receptor de progesterona (PR, un indicador de una ruta de ER funcional), son en la actualidad los mejores predictores de respuesta a tamoxifeno en situaciones clínicas (Group, (2001) y Bardou, V.J. *et al.* "Progesterone receptor status significantly improves outcome prediction over estrogen receptor status alone for adjuvant endocrine therapy in two large breast cancer databases". J Clin Oncol 21, 1973-9 (2003)).

Sin embargo, el 25% de los tumores ER+/PR+, 66% de los casos de ER+/PR- y 55% de los casos de ER-/PR+ no responden, o desarrollan resistencia temprana a tamoxifeno, a través de mecanismos que en gran medida aún no se han aclarado (véase Clarke *et al.;* Nicholson, R.I. *et al.* ""The biology of antihormone failure in breast cancer". Breast Cancer Res Treat 80 Supl. 1, S29-34; discussion S35 (2003) y Osborne, C.K. *et al.* "Growth factor receptor cross-talk with estrogen receptor as a mechanism for tamoxifen resistance in breast cancer". Breast 12, 362-7 (2003)). Daidone *et al.*, British Journal of Cancer 2000 Vol. 82 Nº 2 pág. 270-277 buscan identificar biomarcadores y el resultado después del tratamiento con tamoxifeno en cáncer de mama positivo para ganglios en mujeres mayores. Ellis *et al.*, J. Ster. Biochem. & Mol. Bio. 86(2003) 301-307 evalúan perfiles de expresión en pacientes tratados con inhibidores de aromatasa y tamoxifeno. Van der Flier *et al.*, J. Nat. Cane. Inst. Vol. 92 Nº 2 (2000) 120-127 revisan la expresión de Bcar1/p130Cas en la resistencia a terapia de tamoxifeno. Luo *et al.*, Brit. J. Cancer 86 (2002) 1790-1976 supervisan los niveles proteicos de calicreína 6 humana y calicreína 10 humana en pacientes con cáncer de mama y sensibilidad a tamoxifeno. Hilsenback *et al.*, J. Nat. Cane. Inst. Vol. 91 Nº 5 (1999) pág. 453-459 analizan datos de expresión en matrices de resistencia a tamoxifeno adquirida.

En la actualidad, no existe ningún medio fiable para permitir la identificación de estos pacientes no sensibles. En estos pacientes, el uso de terapias hormonales alternativas, tales como los inhibidores de aromatasa, letrozol y anastrozol (Ellis, M.J. et al. "Letrozole is more effective neoadjuvant endocrine therapy than tamoxifen for ErbB-1-and/or ErbB-2-positive, estrogen receptor-positive primary breast cancer: evidence from a phase III randomized trial." J Clin Oncol 19, 3808-16 (2001); Buzdar, A.U. "Anastrozole: a new addition to the armamentarium against advanced breast cancer." Am J Clin Oncol 21, 161-6 (1998); y Goss, P.E. et al. "A randomized trial of letrozole in postmenopausal women after five years of tamoxifen therapy for early-stage breast cancer." N Engl J Med 349, 1793-802 (2003)); agentes quimioterapéuticos o inhibidores de otras rutas de señalización, tales como trastuzmab y gefitinib podrían ofrecer la posibilidad de mejorar el resultado clínico. Por lo tanto, la capacidad para predecir de forma precisa el resultado del tratamiento con tamoxifeno debería avanzar significativamente el tratamiento de cáncer de mama de estadio temprano identificando pacientes que probablemente no se beneficien de TAM de modo que puedan buscarse terapias adicionales o alternativas.

### Sumario de la invención

65 La presente invención se refiere a la identificación y uso de patrones de expresión génica (o perfiles o "identificaciones") y los niveles de expresión de secuencias génicas individuales que son únicamente relevantes para

el cáncer de mama. En particular, se proporcionan las identidades de genes que se correlacionan con supervivencia de los pacientes y la reaparición del cáncer de mama (por ejemplo metástasis del cáncer de mama). Los perfiles de expresión génica, bien expresados en la expresión de ácido nucleico, expresión de proteínas o bien otros formatos de expresión, pueden usarse para predecir la supervivencia de los sujetos aquejados de cáncer de mama y la probabilidad de la reaparición de cáncer de mama, incluyendo metástasis de cáncer.

La invención posibilita de este modo la identificación y uso de patrones de expresión génica (o perfiles o "identificaciones") y los niveles de expresión de secuencias génicas individuales que se correlacionan con (y por lo tanto son capaces de diferenciar entre) pacientes con buenos o malos resultados de supervivencia. En una realización, la invención proporciona patrones que pueden distinguir en pacientes con tumores de mama positivos para receptor de estrógenos (una isoforma) (ER+) entre los que son sensibles, o que probablemente sean sensibles, al tratamiento con tamoxifeno (TAM), u otro agente "antiestrógeno" contra cáncer de mama (tal como un "modulador selectivo de los receptores de estrógenos" ("SERM"), "regulador negativo selectivo de los receptores de estrógenos" ("SERD") o inhibidores de aromatasa ("Al")) y los que no son sensibles, o probablemente no sean sensibles, a dicho tratamiento. La sensibilidad puede verse con respecto a mejora de resultados de supervivencia a lo largo del tiempo. Estos patrones pueden por lo tanto distinguir pacientes con tumores de mama ER+ en al menos dos subtipos.

En un primer aspecto, la presente invención proporciona un medio no subjetivo para la identificación de pacientes con cáncer de mama (ER+ o ER-) como probablemente con un buen o mal resultado de supervivencia después del tratamiento con TAM u otro agente "antiestrógeno" contra cáncer de mama ensayando con respecto a los patrones de expresión desvelados en este documento. Por lo tanto cuando podría haberse usado previamente la interpretación subjetiva para determinar el pronóstico y/o el tratamiento de pacientes con cáncer de mama, la presente invención proporciona patrones de expresión génica objetivos, que pueden usarse solos o en combinación con criterios subjetivos para proporcionar una evaluación más precisa de los resultados de paciente con cáncer de mama ER+ o ER- o resultados esperados, incluyendo supervivencia y la reaparición del cáncer, después del tratamiento con TAM u otro agente "antiestrógeno" contra cáncer de mama. Los patrones de expresión de la invención proporcionan de este modo un medio para determinar el pronóstico del cáncer de mama ER+ o ER-. Además, los patrones de expresión también pueden usarse como un medio para ensayar tumores pequeños, negativos para ganglios que no se ensayan fácilmente por otros medios.

Los patrones de expresión génica comprenden genes capaces de diferenciar entre resultados de cáncer de mama con precisión significativa. Las secuencias génicas se identifican como correlacionadas con resultados de cáncer de mama ER+ de modo que los niveles de su expresión son relevantes para una determinación de los protocolos de tratamiento preferidos para un paciente, bien ER+ o bien ER-.

Por lo tanto, en una realización, la invención proporciona un método para determinar el riesgo de reaparición de cáncer en un sujeto aquejado de cáncer de mama ER+ si se trata con tamoxifeno, comprendiendo dicho método ensayar una muestra de células de cáncer de mama ER+ de dicho sujeto con respecto a la expresión de ARNm de IL 17BR y HOXB13 humano para determinar una relación de los niveles de expresión de HOXB13 e IL17BR, siendo dicha relación indicativa de ausencia de reaparición de cáncer en dicho sujeto si se trata con tamoxifeno.

La capacidad para correlacionar la expresión génica con resultado de cáncer de mama y sensibilidad a TAM es particularmente ventajosa a la luz de la posibilidad de que hasta el 40% de los sujetos ER+ que se someten a tratamiento con TAM sean no sensibles. Por lo tanto, la capacidad para identificar, con confianza, estos pacientes no sensibles en un momento temprano permite la consideración y/o aplicación de terapias alternativas (tales como un agente "antiestrógeno" diferente contra cáncer de mama u otros tratamientos anticáncer de mama) a los pacientes no sensibles. Dicho de otro modo, la capacidad para identificar sujetos no sensibles a TAM permite que el personal médico considere y/o utilice terapias alternativas para el tratamiento de los sujetos antes de que se gaste tiempo en terapia de TAM ineficaz. El tiempo gastado en una terapia ineficaz con frecuencia permite el crecimiento adicional del cáncer, y la probabilidad de éxito con terapias alternativas se reduce a lo largo del tiempo dado dicho crecimiento. Por lo tanto, la invención también proporciona métodos para mejorar el resultado de supervivencia de pacientes no sensibles mediante el uso de los métodos desvelados en este documento para identificar pacientes no sensibles para el tratamiento con terapias alternativas.

Se identifican patrones de expresión génica de la invención como se describe posteriormente. En general, se obtiene una gran muestra del perfil de expresión génica de una muestra a través de la cuantificación de los niveles de expresión de ARNm correspondientes a muchos genes. Este perfil se analiza después para identificar genes, cuya expresión se correlaciona de forma positiva, o negativa, con el resultado de cáncer de mama ER+ tras el tratamiento con TAM u otro agente "antiestrógeno" contra cáncer de mama. Después puede identificarse un perfil de expresión de un subconjunto de genes humanos por los métodos de la presente descripción correlacionados con un resultado particular. El uso de múltiples muestras aumenta la confianza con la que puede creerse que un gen se correlaciona con un resultado de supervivencia particular. Sin suficiente confianza, sigue siendo impredecible si la expresión de un gen particular se correlaciona de hecho con un resultado y también es impredecible si la expresión de un gen particular puede usarse de forma exitosa para identificar el resultado para un paciente con cáncer de mama. La invención se practica basándose en las identidades de las secuencias génicas descritas en este documento o las secuencias reales usadas independientemente de la identificación.

Puede usarse un perfil de genes que se correlacionan en gran medida con un resultado en relación con otro para ensayar una muestra de un sujeto aquejado de cáncer de mama para predecir la sensibilidad probable (o falta de la misma) a TAM u otro agente "antiestrógeno" contra cáncer de mama en el sujeto del que se obtuvo la muestra. Dicho ensayo puede usarse como parte de un método para determinar el tratamiento terapéutico para dicho sujeto basándose en el resultado de cáncer de mama identificado.

5

10

30

35

40

45

60

Como se analiza posteriormente, los genes correlacionados pueden usarse en combinación para aumentar la capacidad para correlacionar de forma precisa un fenotipo de expresión molecular con un resultado de cáncer de mama. Esta correlación es un modo de posibilitar de forma molecular la determinación de los resultados de supervivencia como se describen en este documento. Hay usos adicionales de los genes correlacionados en la clasificación de células y tejidos; determinación del diagnóstico y/o pronóstico; y determinación y/o alteración de la terapia.

La capacidad para diferenciar se confiere por la identificación de la expresión de los genes individuales como relevantes y no por la forma del ensayo usada para determinar el nivel real de expresión. Un ensayo puede utilizar cualquier característica identificadora de un gen individual identificado como se describe en este documento siempre que el ensayo refleje, de forma cuantitativa o cualitativa, la expresión del gen en el "transcriptoma" (la fracción transcrita de genes en un genoma) o el "proteoma" (la fracción traducida de genes expresados en un genoma). Los ensayos adicionales incluyen los basados en la detección de fragmentos polipeptídicos del miembro o los miembros relevantes del proteoma. Las características identificadoras incluyen, pero sin limitación, secuencias de ácido nucleico únicas usadas para codificar (ADN) o expresar (ARN), dichos genes o epítopos específicos de, o actividades de una proteína codificada por dicho gen. Todo lo que se requiere es la secuencia o las secuencias génicas necesarias para diferenciar entre resultados de cáncer de mama y una muestra que contenga células apropiadas para su uso en un ensayo de expresión.

Los inventores también describen la identificación de los patrones de expresión génica analizando expresión génica global, o casi global, de células únicas o poblaciones celulares homogéneas que se han separado por disección de, o se han aislado o purificado de otro modo de, células contaminantes más allá de lo posible por una mera biopsia. Debido a que la expresión de numerosos genes fluctúa entre células de diferentes pacientes así como entre células de la muestra del mismo paciente, se usan múltiples datos de la expresión de genes individuales y patrones de expresión génica como datos de referencia para generar modelos que a su vez permiten la identificación de un gen o genes individuales, cuya expresión se correlaciona en mayor medida con resultados de cáncer de mama particulares.

Los inventores también describen medios físicos y metodológicos para detectar la expresión del gen o genes identificados por los modelos generados por patrones de expresión individuales. Estos medios pueden dirigirse a ensayar uno o más aspectos del molde o los moldes de ADN que subyacen a la expresión del gen o los genes, del ARN usado como un intermedio para expresar el gen o los genes, o del producto proteico expresado por el gen o los genes.

Los inventores también describen que el gen o los genes identificados por un modelo como capaces de diferenciar entre resultados de cáncer de mama pueden usarse para identificar el estado celular de una muestra desconocida de célula o células de la mama. Preferentemente, la muestra se aísla mediante medios no invasivos. La expresión de dicho gen o genes en dicha muestra desconocida puede determinarse y compararse con la expresión de dicho gen o genes en datos de referencia de patrones de expresión génica correlacionados con resultados de cáncer de mama. Opcionalmente, la comparación con muestras de referencia puede ser por comparación con el modelo o los modelos construidos basándose en las muestras de referencia.

Una ventaja proporcionada por la presente invención es que no están presentes células no de mama contaminantes (tales como linfocitos que se infiltran u otras células del sistema inmune) para afectar posiblemente a los genes identificados o el análisis posterior de la expresión génica para identificar los resultados de supervivencia de pacientes con cáncer de mama. Dicha contaminación está presente cuando se usa una biopsia para generar perfiles de expresión génica. Sin embargo, y como se observa en este documento, la invención incluye la identidad de genes que pueden usarse con precisión significativa, incluso con presencia de células contaminantes.

Los inventores también describen un medio no subjetivo basado en la expresión de múltiples genes, o combinaciones de los mismos, para la identificación de pacientes con cáncer de mama como probablemente con buen o mal resultado de supervivencia después del tratamiento con TAM u otro agente "antiestrógeno" contra cáncer de mama. Estos genes son miembros de los patrones de expresión descritos en este documento que se ha descubierto que son fuertemente predictivos del resultado clínico después del tratamiento con TAM de cáncer de mama ER+.

La presente invención proporciona de este modo secuencias génicas identificadas como diferencialmente expresadas en cáncer de mama ER+ en correlación con sensibilidad a TAM. Las secuencias de dos genes presentan expresión aumentada en células de mama ER+ que responden a tratamiento con TAM (y por lo tanto falta

de expresión aumentada en casos no sensibles). Las secuencias de otros dos genes presentan expresión reducida en células de mama ER+ que responden a tratamiento con TAM (y por lo tanto falta de expresión reducida en casos no sensibles).

- El primer conjunto de secuencias que se ha descubierto que se expresan más en células de mama ER+ sensibles a TAM son las del receptor B de interleucina 17 (IL17RB), que se han mapeado en el cromosoma 3 humano en 3p21.1. IL17RB también se denomina receptor de interleucina 17B (IL17BR) y las secuencias que les corresponden, y por lo tanto pueden usarse en la práctica de la presente invención, se identifican por UniGene Cluster Hs.5470.
- El segundo conjunto de secuencias que se ha descubierto que se expresan más en células de mama ER+ sensibles a TAM son las de una región transcrita recién identificada de colina deshidrogenasa (CHDH), que se han mapeado en el cromosoma 3 humano en 3p21.1. Esta está cerca de la localización mapeada para la subunidad 1D alfa, de tipo L, dependiente de voltaje del canal de calcio (CACNA1D) en 3p14.3. La invención se basa en parte en el descubrimiento inesperado de un error en bases de datos públicas que identificaron la secuencia de Al24093 como correspondiente a una parte transcrita de CACNA1D (en Hs.399966). Como se detalla posteriormente, las regiones transcritas de CHDH y CACNA1D se orientan de forma convergente de modo que la transcripción avance desde las regiones reguladoras de cada una hacia la región reguladora de la otra. Dicho de otro modo, se transcriben de forma convergente a partir de hebras complementarias en la misma región del cromosoma 3.
- Por lo tanto, los inventores también describen la identificación de Al240933 que está en la orientación errónea con respecto a transcripción de CACNA1D pero en la orientación correcta como transcripción de CHDH y como se localiza en el extremo 3' de la transcripción de CHDH. Sin quedar ligado a la teoría, y aportado para mejorar el entendimiento de la descripción, se cree que la secuencia de Al240933 es una parte del extremo 3' del transcrito de CHDH. Es posiblemente parte de la región no traducida 3' (UTR) de CHDH. La descripción puede practicarse con secuencias correspondientes a CHDH así como las identificadas por Hs.126688.

El primer conjunto de secuencias que se ha descubierto que se expresa a niveles menores en células de mama ER+ sensibles a TAM son las de la caja homeótica B13 (HOXB13), que se ha mapeado en el cromosoma 17 humano en 17q21.2. Las secuencias correspondientes a HOXB13, y que pueden usarse por lo tanto en la práctica de la presente invención, se identifican por UniGene Cluster Hs.66731.

30

35

40

45

50

55

El segundo conjunto de secuencias que se ha descubierto que se expresa a niveles menores en células de mama ER+ sensibles a TAM son las de quinolinato fosforribosiltransferasa (QPRT, también conocida como nicotinato-nucleótido pirofosforilasa, carboxilante), que se ha mapeado en el cromosoma 16 humano en 16p12.1. Las secuencias correspondientes a QPRT que pueden usarse en la práctica de la presente invención, se identifican por UniGene Cluster Hs.335116.

La invención puede practicarse basándose en las identidades de estas secuencias génicas o las secuencias reales usadas independientemente de la identidad asignada.

Las secuencias identificadas pueden por lo tanto usarse en métodos para determinar la sensibilidad, o ausencia de sensibilidad, del cáncer de mama ER+ o ER- de un sujeto a tratamiento con TAM, o tratamiento con otro agente "antiestrógeno" contra cáncer de mama, mediante análisis de células de mama en una muestra que contenga tejidos o células de un sujeto. Como ejemplos no limitantes, puede usarse la falta de expresión aumentada de secuencias de IL17BR y/o CHDH y/o la falta de expresión reducida de secuencias de HOXB 13 y/o QPRT como un indicador de casos no sensibles. La presente invención proporciona un medio no empírico para determinar la sensibilidad a TAM u otro SERM en pacientes ER+. Esto proporciona ventajas frente al uso de un enfoque de "esperar y ver" después del tratamiento con TAM u otro agente "antiestrógeno" contra cáncer de mama. Los niveles de expresión de estas secuencias también pueden usarse como un medio para ensayar tumores pequeños, negativos para ganglios que no se evalúan fácilmente por medios convencionales.

Los niveles de expresión de las secuencias identificadas pueden usarse solos o en combinación con otras secuencias capaces de determinar la sensibilidad a tratamiento con TAM u otro agente "antiestrógeno" contra cáncer de mama. Preferentemente, las secuencias de la invención se usan solas o en combinación entre sí, tal como en el formato de una relación de niveles de expresión que pueda tener capacidad predictiva mejorada frente a análisis basado en la expresión de secuencias correspondientes a genes individuales. La invención proporciona relaciones del nivel de expresión de una secuencia que se infraexpresa y el nivel de expresión de una secuencia que se sobreexpresa como un indicador de sensibilidad o ausencia de sensibilidad.

La presente invención proporciona medios para correlacionar un fenotipo de expresión molecular con una respuesta fisiológica en un sujeto con cáncer de mama ER+. Esta correlación proporciona un medio para diagnosticar y/o determinar molecularmente tratamiento para un sujeto aquejado de cáncer de mama. Hay usos adicionales de las secuencias en la clasificación de células y tejidos; y determinación de diagnóstico y/o pronóstico. Puede usarse el uso de las secuencias para identificar células de una muestra como sensibles, o no, a tratamiento con TAM y otro agente "antiestrógeno" contra cáncer de mama para determinar la selección, o alteración, de la terapia usada para tratar tales células en el sujeto, así como el sujeto en sí mismo, del que se originó la muestra.

Tales métodos de la invención pueden usarse para ayudar en la determinación de proporcionar tamoxífeno u otro agente "antiestrógeno" contra cáncer de mama como un agente quimiopreventivo o quimioprotector a un sujeto en alto riesgo de desarrollo de cáncer de mama. Estos métodos de la invención son un avance frente a los estudios de Fabian et al. (J Natl Cancer Inst. 92(15): 1217-27,2000), que propusieron una combinación de citomorfología y el modelo de riesgo de Gail para identificar pacientes con alto riesgo. Los métodos pueden usarse en combinación con evaluaciones de riesgo relativo de cáncer de mama tales como la analizada por Tan-Chiu et al. (J Natl Cancer Inst. 95(4): 302-307, 2003). Los ejemplos no limitantes incluyen ensayar muestras mínimamente invasivas, tales como aspirados de aguja fina aleatorios (perialveolares) o muestras de lavado de conductos (tales como las descritas por Fabian et al. y opcionalmente en combinación con o como una adición a un mamograma positivo para cáncer de mama benigno o maligno), de células de mama con respecto a los niveles de expresión de secuencias génicas como se describen en este documento para ayudar en la determinación de la administración de terapia con un agente "antiestrógeno" contra cáncer de mama, tal como la que puede producirse en casos de sujetos de alto riesgo (tales como los descritos por Tan-Chiu et al.). Los ensayos conducirían de este modo a la identificación de suietos para los que la aplicación de un agente "antiestrógeno" contra cáncer de mama probablemente sería beneficiosa como un agente quimiopreventivo o quimioprotector. Se contempla que dicha aplicación como se permite por la presente invención podría conducir a efectos beneficiosos como los vistos con la administración de tamoxifeno (véase por ejemplo, Wickerham D. L., Breast Cancer Res. and Treatment 75 Supl 1:S7-12, Discussion S33-5, 2000). Otras aplicaciones de la invención incluyen ensayar cáncer de mama avanzado, incluyendo cáncer metastásico, para determinar la sensibilidad, o ausencia de sensibilidad, del mismo a tratamiento con un agente "antiestrógeno" contra cáncer de mama.

5

10

15

20

25

30

35

50

55

60

65

Un ensayo de la invención puede utilizar un medio relacionado con el nivel de expresión de las secuencias descritas en este documento siempre que el ensayo refleje, de forma cuantitativa o cualitativa, la expresión de la secuencia. Preferentemente, sin embargo, se prefiere un medio de ensayo cuantitativo. Se proporciona la capacidad para determinar sensibilidad a TAM u otro agente "antiestrógeno" contra cáncer de mama y por lo tanto el resultado del tratamiento con el mismo por el reconocimiento de la relevancia del nivel de expresión de las secuencias identificadas y no por la forma del ensayo usada para determinar el nivel real de expresión. Las características identificadoras de la secuencia incluyen, pero sin limitación, secuencias de ácido nucleico únicas usadas para codificar (ADN), o expresar (ARN), las secuencias descritas o epítopos específicos de, o actividades de, proteínas codificadas por las secuencias. Los medios alternativos incluyen detección de amplificación de ácido nucleico como indicativa de aumento de los niveles de expresión e inactivación, deleción o metilación del ácido nucleico, como indicativa de la reducción de los niveles de expresión. Dicho de otro modo, la invención puede practicarse ensayando uno o más aspectos del molde o los moldes de ADN que subyacen a la expresión de la secuencia o las secuencias descritas, del ARN usado como un intermedio para expresar la secuencia o las secuencias, o del producto proteico expresado por la secuencia o las secuencias, así como fragmentos proteolíticos de tales productos. Como tal, la detección de la presencia de, cantidad de, estabilidad de, o degradación (incluyendo velocidad) de, dicho ADN, ARN y moléculas proteicas puede usarse en la práctica de la descripción.

La práctica de la presente invención no se ve afectada por la presencia de emparejamientos erróneos menores entre las secuencias descritas y las expresadas por células de la muestra de un sujeto. Un ejemplo no limitante de la existencia de dichos emparejamientos erróneos se ve en casos de polimorfismos de secuencia entre individuos de una especie, tales como pacientes humanos individuales dentro de *Homo sapiens*. El conocimiento de que la expresión de las secuencias descritas (y secuencias que varían debido a emparejamientos erróneos menores) se correlaciona con la presencia de células de mama no normales o anómalas y cáncer de mama es suficiente para la práctica de la invención con una muestra que contenga células apropiada mediante un ensayo con respecto a expresión.

En una realización, la invención posibilita la identificación de los niveles de expresión de las secuencias descritas por análisis de su expresión en una muestra que contenga células de mama ER+ o ER-. En una realización preferida, la muestra contiene células únicas o poblaciones celulares homogéneas que se han separado por disección de, o aislado o purificado de otro modo de, células contaminantes más allá de lo posible por una mera biopsia. Como alternativa, pueden usarse células no diseccionadas dentro de una "sección" de tejido. Están disponibles múltiples medios para dicho análisis, incluyendo detección o expresión dentro de un ensayo con respecto a expresión génica global, o casi global, en una muestra (por ejemplo como parte de un análisis de perfil de expresión génica tal como en una micromatriz) o por detección específica, tal como PCR cuantitativa (Q-PCR), o PCR cuantitativa en tiempo real

Preferentemente, la muestra se aísla mediante medios no invasivos o mínimamente invasivos. La expresión de la secuencia o secuencias descritas en la muestra puede determinarse y compararse con la expresión de dicha secuencia o secuencias en datos de referencia de células de mama cancerosas o no normales. Como alternativa, el nivel de expresión puede compararse con los niveles de expresión en células normales o no cancerosas, preferentemente de la misma muestra o sujeto. En realizaciones de la invención que utilizan Q-PCR, el nivel de expresión puede compararse con los niveles de expresión de genes de referencia en la misma muestra o puede usarse una relación de niveles de expresión.

Cuando se aíslan células de mama individuales en la práctica de la invención, un beneficio es que no están presentes células no de mama contaminantes (tales como linfocitos que se infiltran u otras células del sistema inmune) para afectar posiblemente a la detección de la expresión de la secuencia o las secuencias descritas. Dicha contaminación está presente cuando se usa una biopsia para generar perfiles de expresión génica. Sin embargo, el análisis de la expresión génica diferencial y correlación con resultados de cáncer de mama ER+ con muestras tanto aisladas como no aisladas, como se describe en este documento, aumenta el nivel de confianza de las secuencias descritas como capaces de tener potencia predictiva significativa con uno de los tipos de muestra.

Aunque la presente invención se describe principalmente en el contexto de cáncer de mama humano, puede practicarse en el contexto de cáncer de mama de cualquier animal que se sepa que está aquejado potencialmente de cáncer de mama. Los animales preferidos para la aplicación de la presente invención son mamíferos, particularmente los importantes para aplicaciones agrícolas (tales como, pero sin limitación, vacas, ovejas, caballo y otros "animales de granja"), animales modelo de cáncer de mama y animales para compañía humana (tales como, pero sin limitación, perros y gatos).

Los anteriores aspectos y realizaciones de la invención pueden aplicarse igualmente con respecto al uso de más de un agente "antiestrógeno" contra cáncer de mama. En el caso de una combinación de agentes, puede usarse cualquier combinación de más de un SERM, SERD o Al en lugar de TAM u otro agente "antiestrógeno" contra cáncer de mama. La aromatasa es una enzima que proporciona una fuente principal de estrógeno en tejidos corporales incluyendo la mama, hígado, músculo y grasa. Sin quedar ligado a la teoría, y proporcionado solamente para ayudar en un mejor entendimiento de la invención, se entiende que los Al actúan de una manera comparable a TAM y otros agentes "antiestrógeno" contra cáncer de mama, que se cree que actúan como antagonistas de receptor de estrógenos en tejidos mamarios y por lo tanto contra cáncer de mama. Los Al pueden ser agentes no esteroideos o esteroideos. Los ejemplos de los primeros, que inhiben la aromatasa mediante el grupo protético hemo incluyen, pero sin limitación, anastrozol (arimidex), letrozol (femara) y vorozol (rivisor), que se han usado o contemplado como tratamientos para cáncer de mama metastásico. Los ejemplos de Al esteroideos, que inactivan aromatasa, incluyen, pero sin limitación, exemestano (aromasina), androstenediona y formestano (lentaron).

Otras formas de terapia para reducir los niveles de estrógenos incluyen ablación ovárica quirúrgica o química. La primera es la retirada física de los ovarios mientras que la segunda es el uso de agentes para bloquear la producción ovárica de estrógeno. Un ejemplo no limitante de la segunda son agonistas de la hormona liberadora de gonadotropina (GnRH), tales como goserelina (zoladex).

La invención descrita en este documento se basa en parte en el rendimiento de un análisis de micromatriz de todo el genoma de tumores de mama invasivos positivos para el receptor de hormonas de 60 pacientes tratados con adyuvante tamoxifeno solamente, que conduce a la identificación de una relación de expresión de dos genes que es altamente predictiva del resultado clínico. Esta relación de expresión, que se adapta fácilmente a análisis basado en PCR de muestras de ensayo clínicas incluidas en parafina convencionales, se validó en un conjunto independiente de 20 pacientes como se describe posteriormente.

### Breve descripción de las figuras

5

10

15

20

25

35

40

45

50

55

60

65

La Figura 1 muestra análisis de las características operativas del receptor (ROC) de los niveles de expresión de IL17BR, HOXB13 y CACNA1D como predictores de los resultados del cáncer de mama en secciones de tejido completo (los 3 gráficos de la parte superior) y células microdiseccionadas con láser (los 3 gráficos de la parte inferior). AUC se refiere al área bajo la curva.

La Figura 2 contiene seis partes relacionadas con la validación de una proporción entre la expresión de HOXB 13 y la expresión de IL17BR como indicador de la capacidad de respuesta, o la falta de la misma, a TAM. Las partes a y b muestran los resultados del análisis de la expresión génica de las secuencias de HOXB13 y IL17BR mediante Q-PCR en muestras de respondedores y de no respondedores. Los gráficos de los conjuntos de datos de formación y validación de los respondedores y los no respondedores se muestran en las partes c y d, en las que "0" indica los puntos de datos de Respondedores en ambas y "1" indica los puntos de datos de los no tespondedores en ambas. Las partes e y f muestran gráficos de los conjuntos de datos de formación y validación de los respondedores y los no respondedores en función de la supervivencia, en los que la línea superior en cada parte representa los respondedores y la línea inferior representa los no respondedores.

La Figura 3 muestra una representación esquemática de la región 3' conocida de la secuencia del gen CHDH en combinación con las secuencias en 3' no traducidas de CHDH identificadas mediante la presente divulgación.

La Figura 4 muestra los resultados de una reacción de amplificación mediante PCR en la que se produce un amplicón consistente con la prevista a partir del esquema de la Figura 1. Los cebadores para PCR usados fueron los siguientes: cebador de CHDH directo: 5'-AAAGTCTT-GGGAAATGAGACAAGT-3'; cebadores inversos 83R: 5'-AGCTGTCATTTGCCAGTGAGA-3' y 81R: 5'-CTGT-CATTTGCCAGTGAGAC-3'.

La Figura 5 muestra la alineación de 28 secuencias para identificar un cóntigo que comprende la región del extremo 3' de CHDH. La alineación incluye la secuencia de Al240933, que incluye el extremo 3' de la secuencia consenso ensamblada.

La Figura 6 muestra la secuencia de un cóntigo ensamblado que contiene el nuevo extremo 3' de CHDH.

La Figura 7 muestra una representación de una región del cromosoma 3 humano en la que se identifica la localización de CACNA1D mediante "Hs.399966" y la localización de CHDH se identifica mediante "Hs. 126688".

Figura 8, la Parte A contiene seis partes relacionadas con la validación de una proporción entre la expresión de QPRT y la expresión de CHDH como indicador de la capacidad de respuesta, o la falta de la misma, a TAM. Las tres porciones identificadas por "QPRT:CHDH Al240933" reflejan la proporción usando una sonda para la expresión de la secuencia GenBank Al240933. Las tres porciones identificadas por "QPRT:CHDH AJ272267" reflejan la proporción usando una sonda para la expresión de la secuencia GenBank AJ272267, identificada como la de un ARNm parcial para CHDH. La parte B contiene el uso análogo de una proporción de la expresión de HOXB13 y la expresión de IL17BR como indicador de la capacidad de respuesta a TAM. Se muestran los gráficos de los conjuntos de datos de respondedores ("R") y no respondedores ("NR"). Los valores P son la prueba t de dos muestras.

### Modos de llevar a cabo la invención

Definiciones de los términos y expresiones como se usan en el presente documento:

Un "patrón" o "perfil" o "firma" de expresión génica hace referencia a la expresión relativa de genes correlacionada con la capacidad de respuesta al tratamiento del cáncer de mama ER+ con TAM u otro agente "antiestrógenos" contra el cáncer de mama. La capacidad de respuesta, o la falta de la misma, se puede expresar como los resultados de la supervivencia que se correlacionan con un "patrón" o "perfil" o "firma" de la expresión que es capaz de diferenciar dichos resultados y predecirlos.

Un "modulador selectivo del receptor de estrógenos" o SERM es un agente "antiestrógenos" que en algunos tejidos actúa como estrógenos (agonistas) pero bloquea la acción de los estrógenos en otros tejidos (antagonista). Un "regulador por disminución selectivo del receptor de estrógenos" o ("SERD") o antiestrógenos "puros" incluye agentes que bloquean la actividad de los estrógenos en todos los tejidos. Véase Howell y col. (Best Bractice & Res. Clin. Endocrinol. Metab. 18(1):47-66, 2004). Los SERM preferidos de la invención son aquéllos que son antagonistas de los estrógenos en tejidos y células de mama, incluidos los de cáncer de mama. Ejemplos no limitantes de estos incluyen TAM, raloxifeno, GW5638 e ICI 182,780. Se han revisado los posibles mecanismos de acción por varios SERM (véase, por ejemplo, Jordan y col., 2003, Breast Cancer Res. 5:281-283; Hall y col., 2001, J. Biol. Chem. 276(40): 36869-36872; Dutertre y col., 2000, J. Pharmacol. Exp. Therap. 295(2):431-437; y Wijayaratne y col., 1999, Endocrinology 140(12):5828-5840). Otros ejemplos no limitantes de SERM en el contexto de la invención incluyen trifeniletilenos, tales como tamoxifeno, GW5638, TAT-59, clomifeno, toremifeno, droloxifeno e idoxifeno; benzotiofenos, tales como arzoxifeno (LY353381 o LY353381-HCI); benzopiranos, tal como EM-800; naftalenos, tales como CP-336,156; y ERA-923.

Ejemplos no limitantes de SERD o antiestrógenos "puros" incluyen agentes tales como ICI 182,780 (fulvestrant o faslodex) o el análogo oral SR16243 y ZK 191703, así como inhibidores de la aromatasa y agentes químicos de ablación ovárica como se describe en el presente documento.

Otros agentes abarcados por los SERM como se usan en el presente documento incluyen inhibidores del receptor de la progesterona y fármacos relacionados, tales como progestomiméticos como acetato de medroxiprogesterona, megace y RU-486; e inhibidores basados en péptidos de la acción de los ER, tales como análogos de la LH-RH (leuprorelina, zoladex, [D-Trp6]LH-RH), análogos de la somatostatina y miméticos de motivo LXXLL de los ER así como tibolona y resveratrol. Como se ha indicado anteriormente, los SERM preferidos de la invención son aquéllos que son antagonistas de los estrógenos en tejidos y células de mama, incluidos los de cáncer de mama. Ejemplos no limitantes de SERM preferidos incluyen los metabolitos reales o contemplados (in vivo) de cualquier SERM, tal como, entre otros, 4-hidroxitamoxifeno (metabolito del tamoxifeno), EM652 (o SCH 57068 en el que EM-800 es un profármaco de EM-652) y GW7604 (metabolito de GW5638). Véase en Willson y col., (1997, Endocrinology 138(9):3901-3911) y Dauvois y col., (1992, Proc. Nat'l. Acad. Sci., USA 89:4037-4041) debates de algunos SERM específicos.

Otros SERM preferidos son los que producen el mismo perfil de expresión génica relevante que el tamoxifeno o el 4-hidroxitamoxifeno. Un ejemplo de medios para identificar dichos SERM lo proporcionan Levenson y col., (2002, Cancer Res. 62:4419-4426).

65 Un "gen" es un polinucleótido que codifica un producto pequeño, de naturaleza ARN o proteináceo. Se ha apreciado que un polinucleótido puede ser capaz de codificar un producto pequeño. El término incluye alelos y polimorfismos

9

5

10

20

15

25

30

40

35

45

50

55

60

de un gen que codifica el mismo producto, o un análogo del mismo funcionalmente asociado (incluidos ganancia, pérdida o modulación de la función) en base a la localización cromosómica y a la capacidad para recombinarse durante la mitosis normal.

Una "secuencia" o "secuencia génica" como se usa en el presente documento es una molécula de ácido nucleico o polinucleótido compuesta por un orden pequeño de bases nucleotídicas. El término incluye el orden de las bases que codifica un producto pequeño (es decir, "región de codificación"), de naturaleza ARN o proteinácea, así como las bases en orden que preceden o siguen a una "región de codificación"). Ejemplos no limitantes de esto último incluyen las regiones no traducidas en 5' y 3' de un gen. Se ha apreciado que más de un polinucleótido puede ser capaz de codificar un producto pequeño. También se aprecia que pueden existir alelos y polimorfismos de las secuencias divulgadas y se pueden usar en la práctica de la invención para identificar el o los niveles de expresión de las secuencias divulgadas o el alelo o polimorfismo. La identificación de un alelo o polimorfismo depende en parte de la localización cromosómica y la capacidad para recombinarse durante la mitosis.

15

20

25

30

35

40

45

50

55

60

65

Los términos "correlacionan" o "correlación" o equivalentes de los mismos hacen referencia a una asociación entre la expresión de uno o más genes y una respuesta fisiológica de una célula de cáncer de mama y/o un paciente de cáncer de mama en comparación con la falta de respuesta. Un gen se puede expresar a niveles más altos o más bajos y seguir correlacionado con la capacidad de respuesta, la falta de capacidad de respuesta o la supervivencia o el resultado del cáncer de mama. Los inventores describen, por ejemplo, la correlación entre incrementos de la expresión de las secuencias de IL17BR y/o CHDH y la capacidad de respuesta de las células de mama ER+ a TAM o a otro agente "antiestrógenos" contra el cáncer de mama. Por tanto, los incrementos son indicativos de la capacidad de respuesta. Por el contrario, la falta de incrementos, incluidos los niveles de expresión no modificados, son indicadores de falta de capacidad de respuesta. De un modo simular, los inventores describen, por ejemplo, la correlación entre disminuciones de la expresión de las secuencias de HOXB13 y/o QPRT y la capacidad de respuesta de las células de mama ER+ a TAM o a otro SERM. Por tanto, las disminuciones son indicativas de la capacidad de respuesta, mientras que la falta de disminuciones, incluidos los niveles de expresión no modificados, son indicadores de la falta de capacidad de respuesta. Los incrementos y disminuciones se pueden expresar fácilmente en forma de una proporción entre la expresión en una célula no normal y una célula normal, de modo que una proporción de uno (1) indica ausencia de diferencia entre las proporciones de dos (2) y un medio indica el doble v la mitad de la expresión en células no normales frente a las células normales, respectivamente. Los niveles de expresión se pueden determinar fácilmente mediante procedimientos cuantitativos como se describe más adelante.

Por ejemplo, los incrementos en la expresión génica pueden indicarse mediante proporciones de o aproximadamente 1,1, de o aproximadamente 1,2, de o aproximadamente 1,3, de o aproximadamente 1,4, de o aproximadamente 1,5, de o aproximadamente 1,6, de o aproximadamente 1,7, de o aproximadamente 1,8, de o aproximadamente 1,9, de o aproximadamente 2, de o aproximadamente 2,5, de o aproximadamente 3, de o aproximadamente 3,5, de o aproximadamente 4, de o aproximadamente 4,5, de o aproximadamente 5, de o aproximadamente 5,5, de o aproximadamente 6, de o aproximadamente 6,5, de o aproximadamente 7, de o aproximadamente 7,5, de o aproximadamente 8, de o aproximadamente 8,5, de o aproximadamente 9, de o aproximadamente 9,5, de o aproximadamente 10, de o aproximadamente 15, de o aproximadamente 20, de o aproximadamente 30, de o aproximadamente 40, de o aproximadamente 50, de o aproximadamente 60, de o aproximadamente 70, de o aproximadamente 80, de o aproximadamente 90, de o aproximadamente 100, de o aproximadamente 150, de o aproximadamente 200, de o aproximadamente 300, de o aproximadamente 400, de o aproximadamente 500, de o aproximadamente 600, de o aproximadamente 700, de o aproximadamente 800, de o aproximadamente 900, o de o aproximadamente 1000. Una proporción de 2 es un incremento del 100 % (o del doble) en la expresión. Las disminuciones en la expresión génica pueden estar indicadas por proporciones de o aproximadamente 0,9, de o aproximadamente 0,8, de o aproximadamente 0,7, de o aproximadamente 0,6, de o aproximadamente 0,5, de o aproximadamente 0,4, de o aproximadamente 0,3, de o aproximadamente 0,2, de o aproximadamente 0,1, de o aproximadamente 0,05, de o aproximadamente 0,01, de o aproximadamente 0,005, de o aproximadamente 0,001, de o aproximadamente 0,0005, de o aproximadamente 0,0001, de o aproximadamente 0,00005, de o aproximadamente 0,00001, de o aproximadamente 0,000005, o de o aproximadamente 0,000001.

Para un fenotipo dado, una proporción de la expresión de una secuencia génica expresada a niveles incrementados en la correlación con el fenotipo y la expresión de una secuencia génica expresada a niveles disminuidos en correlación con el fenotipo también se puede usar como indicador del fenotipo. Como ejemplo no limitante, el fenotipo de la falta de capacidad de respuesta al tratamiento con tamoxifeno del cáncer de mama se correlaciona con un incremento de la expresión de HOXB13 y/o QPRT así como una expresión disminuida de IL17BR y/o CHDH Por tanto, una proporción de los niveles de expresión de HOXB13 o QPRT a IL17BR o CHDH se puede usar como indicador de la falta de capacidad de respuesta.

Un "polinucleótido" es una forma polimérica de nucleótidos de cualquier longitud, ya sea ribonucleótidos o desoxirribonucleótidos. Este término hace referencia únicamente a la estructura primaria de la molécula. Por tanto, este término incluye formas monocatenarias y bicatenarias de ADN y ARN. También Incluye tipos conocidos de modificaciones, incluidos marcadores conocidos en la técnica, metilación, "capuchones", sustitución de uno o más de los nucleótidos naturales con un análogo y modificaciones internucleotídicas tales como enlaces sin carga (p. ej., fosforotioatos, fosforoditioatos etc.), así como formas no modificadas del polinucleótido.

El término "amplificar" se usa en su sentido más amplio para querer decir que la creación de un producto de amplificación se puede efectuar enzimáticamente con ADN o ARN polimerasas. "Amplificación", como se usa en el presente documento, se refiere, en general, al proceso de producir múltiples copias de una secuencia deseada, en particular las de una muestra. "Múltiples copias" quiere decir al menos 2 copias. Una "copia" no necesariamente significa una perfecta complementariedad de secuencia o identidad con la secuencia molde. En general, los procedimientos para amplificar el ARNm se conocen en la técnica e incluyen PCR con transcripción inversa (RT-PCR) y los descritos en la solicitud de patente de EE.UU. 10/062,857 (presentada el 25 de octubre de 2001), así como las solicitudes de patente provisionales de EE.UU. 60/298,847 (presentada el 15 de junio de 2001) y 60/257,801 (presentada el 22 de diciembre de 2000). Otro procedimiento que se puede usar es la PCR cuantitativa (o Q-PCR). Como alternativa, el ARN puede marcarse directamente como el ADNc correspondiente mediante procedimientos conocidos en la técnica.

10

15

40

45

50

55

60

65

Con "correspondiente" se quiere decir que una molécula de ácido nucleico comparte una cantidad sustancial de identidad de secuencia con otra molécula de ácido nucleico. Cantidad sustancial significa al menos 95 %, normalmente al menos 98 % y más normalmente al menos 99 % y la identidad de secuencia se determina usando el algoritmo BLAST, como se describe en Altschul y col., (1990), J. Mol. Biol. 215:403-410 (usando los parámetros por defecto publicados, es decir los parámetros w=4, t=17).

20 Una "micromatriz" es una matriz lineal o bidimensional o tridimensional (y de fase sólida) de regiones preferentemente pequeñas, teniendo cada una un área definida, formadas sobre la superficie de un soporte sólido tales como, entre otros, cristal, plástico o membrana sintética. La densidad de las regiones pequeñas en una micromatriz se determina con el número total de polinucleótidos inmovilizados que se han de detectar sobre la superficie de un único soporte de fase sólida, preferentemente de al menos aproximadamente 50/cm<sup>2</sup>, más preferentemente de al menos aproximadamente 100/cm<sup>2</sup>, incluso más preferentemente de al menos 25 aproximadamente 500/cm<sup>2</sup>, pero preferentemente inferior a aproximadamente 1.000/cm<sup>2</sup>. Preferentemente, las matrices contienen menos de aproximadamente 500, aproximadamente 1.000, aproximadamente 1.500, aproximadamente 2.000, aproximadamente 2.500 o aproximadamente 3.000 polinucleótidos inmovilizados en total. Como se usa en el presente documento, una micromatriz de ADN es una matriz de oligonucleótidos o 30 polinucleótidos colocados sobre un circuito u otras superficies usadas para hibridar con polinucleótidos amplificados o clonados de una muestra. Dado que la posición en la matriz de cada grupo concreto de cebadores se conoce, las identidades de los polinucleótidos de una muestra se pueden determinar en base a su unión a una posición concreta en la micromatriz. Como alternativa al uso de una micromatriz, en la práctica de la invención se puede usar una matriz de cualquier tamaño, incluida una disposición de una o más posiciones de una disposición bidimensional o 35 tridimensional en una fase sólida para detectar expresión de una única secuencia génica.

Dado que la invención depende de la identificación de los genes que están sobre o subexpresados, una realización de la invención implica determinar la expresión mediante hibridación de ARNm o una versión clonada o amplificada del mismo, de una célula de muestra con un polinucleótido que es único de una secuencia génica concreta. Los polinucleótidos de este tipo preferidos contienen al menos aproximadamente 16, al menos aproximadamente 18, al menos aproximadamente 20, al menos aproximadamente 22, al menos aproximadamente 24, al menos aproximadamente 26, al menos aproximadamente 28, al menos aproximadamente 30 o al menos aproximadamente 32 pares de bases consecutivos de una secuencia génica que no se encuentra en otras secuencias génicas. El término "aproximadamente", como se usa en la frase anterior, hace referencia a un incremento o disminución de 1 con respecto al valor numérico indicado. Incluso más preferidos son los polinucleótidos de al menos o aproximadamente 50, al menos o aproximadamente 100, al menos o aproximadamente 150, al menos o aproximadamente 200, al menos o aproximadamente 250, al menos o aproximadamente 300, al menos o aproximadamente 350, al menos o aproximadamente 400, al menos o aproximadamente 450 o al menos o aproximadamente 500 pares de bases consecutivos de una secuencia que no se encuentra en otras secuencias génicas. El término "aproximadamente", como se usa en la frase anterior, hace referencia a un incremento o disminución del 10 % con respecto al valor numérico indicado. Por supuesto, polinucleótidos más largos pueden contener errores de apareamiento minoritarios (p. ej., mediante la presencia de mutaciones) que no afectan a la hibridación con los ácidos nucleicos de una muestra. Dichos polinucleótidos también se pueden denominar sondas polinucleotídicas que son capaces de hibridar con las secuencias de los genes, o con porciones únicas de las mismas, descritas en el presente documento. Dichos polinucleótidos pueden estar marcados para ayudar a su detección. Preferentemente, las secuencias son las de ARNm codificadas por los genes, el correspondiente ADNc de dichos ARNm y/o versiones amplificadas de dichas secuencias. En realizaciones preferidas de la invención, las sondas polinucleotídicas están inmovilizadas sobre una matriz, otros dispositivos de soporte sólido o manchas individuales que localizan las sondas.

En otra realización de la invención, todo o parte de una secuencia divulgada se puede amplificar y detectar mediante procedimientos tales como la reacción en cadena de la polimerasa (PCR) y variaciones de la misma, tales como, entre otras, PCR cuantitativa (Q-PCR), PCR con transcripción inversa (RT-PCR) y PCR en tiempo real (incluida como medio de medición de las cantidades iniciales de las copias de ARNm para cada secuencia en una muestra), opcionalmente RT-PCR en tiempo real o Q-CPR en tiempo real. Dichos procedimientos usarían uno o dos cebadores que son complementarios a porciones de una secuencia divulgada, en los que los cebadores se usan

para cebar la síntesis de ácidos nucleicos. Los ácidos nucleicos recién sintetizados están opcionalmente marcados y se pueden detectar directamente o mediante hibridación con un polinucleótido de la invención. Los ácidos nucleicos recién sintetizados pueden ponerse en contacto con polinucleótidos (que contienen secuencias) de la invención en condiciones que permitan su hibridación. Procedimientos adicionales para detectar la expresión de ácidos nucleicos expresados incluyen ensayos de protección con RNAsa, incluidas hibridaciones en fase líquida e hibridación *in situ* de células.

5

10

15

25

45

60

Como alternativa, y en otra realización más de la divulgación, la expresión génica se puede determinar mediante análisis de la proteína expresada en una muestra celular de interés mediante el uso de uno o más anticuerpos específicos de uno o más epítopos de productos génicos individuales (proteínas) o fragmentos proteolíticos de los mismos, en dicha muestra celular o en un fluido corporal de un sujeto. La muestra celular puede ser una de células epiteliales de cáncer de mama enriquecida de la sangre de un sujeto, tal como mediante el uso de anticuerpos marcados contra marcadores de superficie celular, seguido de clasificación celular activada por fluorescencia (FACS). Dichos anticuerpos están marcados, preferentemente, para permitir su fácil detección tras la unión al producto génico. Las metodologías de detección adecuadas para usar en la práctica de la divulgación incluyen, entre otras, inmunohistoquímica de muestras o tejido que contienen células, ensayos de inmunosorción ligado a enzimas (ELISA) incluyendo los ensayos con anticuerpos de tipo sándwich de tejidos que contienen células o muestras de sangre, espectroscopia de masas e inmuno-PCR.

20 El término "marcador" se refiere a una composición capaz de producir una señal detectable indicativa de la presencia de la molécula marcada. Marcadores adecuados incluyen radioisótopos, cromóforos nucleotídicos, enzimas, sustratos, moléculas fluorescentes, restos quimioluminiscentes, partículas magnéticas, restos bioluminiscentes y similares. Como tal, un marcador es cualquier composición detectable por medios espectroscópicos, fotoquímicos, bioquímicos, inmunoquímicos, eléctricos, ópticos o químicos.

El término "soporte" se refiere a soportes convencionales tales como soportes de perlas, partículas, tiras reactivas, fibras, filtros, membranas y silano o silicato, tales como portaobjetos de cristal.

Como se usa en el presente documento, una "muestra de tejido de mama" o "muestra de célula de mama" hace referencia a una muestra de tejido o fluido de mama aislada de un individuo que se sospecha que está afectado con cáncer de mama o en riesgo de desarrollarlo. Dichas muestras son aislados primarios (en contraste con las células cultivadas) y se pueden obtener mediante cualquier medio no invasivo o mínimamente invasivo, incluidos, entre otros, lavado ductal, aspiración con aguja fina, biopsia con aguja, los dispositivos y procedimientos descritos en la patente de EE.UU. 6,328,709, o cualquier otro medio adecuado reconocido en la técnica. Como alternativa, la "muestra" se puede obtener mediante un procedimiento invasivo, incluida, entre otras, la biopsia quirúrgica.

"Expresión" y "expresión génica" incluyen transcripción y/o traducción de material de ácido nucleico.

Como se usa en el presente documento, el término "que comprende" y sus afines se usan en su sentido de incluido; es decir, equivalente al término "que incluye" y sus correspondientes afines.

Condiciones que "permiten" que se produzca un acontecimiento o condiciones que son "adecuadas" para que se produzca un acontecimiento, tal como hibridación, extensión de hebra y similares, o condiciones "adecuadas" son condiciones que no impiden que se produzcan dichos acontecimientos. Por tanto, estas condiciones permiten, potencian, facilitan y/o conducen al acontecimiento. Dichas condiciones, conocidas en la técnica y descritas en el presente documento, dependen de, por ejemplo, la naturaleza de la secuencia nucleotídica, la temperatura y las condiciones tampón. Estas condiciones también dependen de qué acontecimiento se desee, tal como hibridación, escisión, extensión de hebra o transcripción.

"Mutación" de secuencia, como se usa en el presente documento, hace referencia a cualquier alteración de secuencia en la secuencia de un gen de interés divulgado en el presente documento en comparación con una secuencia de referencia. Una mutación de secuencia incluye cambios en un solo nucleótido o alteraciones de más de un nucleótido en una secuencia debido a mecanismos tales como sustitución, deleción o inserción. Un polimorfismo de un solo nucleótido (SNP) es también una mutación de secuencia como se usa en el presente documento. Dado que la presente invención se basa en el nivel relativo de la expresión génica, las mutaciones en las regiones no codificantes de genes tal como se divulgan en el presente documento también pueden analizarse en la práctica de la invención.

"Detección" incluye cualquier medio de detección, incluida la detección directa e indirecta de la expresión génica y cambios en la misma. Por ejemplo, los productos "menos detectables" se pueden observar directa o indirectamente, y el término indica cualquier reducción (incluida la ausencia de señal detectable). De un modo similar, producto "más detectable" significa cualquier incremento observado tanto directa como indirectamente.

Los incrementos y disminuciones de la expresión de las secuencias divulgadas se definen en los términos siguientes en base al porcentaje de cambios o al número de cambios sobre la expresión en células normales. Los incrementos pueden ser 10, 20, 30, 40, 50, 60, 70, 80, 90, 100,120, 140, 160, 180 o 200 % respecto a los niveles de expresión en

células normales. Como alternativa, el número de incrementos puede ser 1, 1,,5, 2, 2;5, 3, 3,5, 4, 4,5, 5, 5,5, 6, 6,5, 7, 7,5, 8, 8,5, 9, 9,5, o 10 veces sobre los niveles de expresión en células normales. Las disminuciones pueden ser 10, 20, 30, 40, 50, 55, 60, 65, 70, 75, 80, 82, 84, 86, 88, 90, 92, 94, 96, 98, 99 o 100 % respecto a los niveles de expresión en células normales.

A menos que se defina otra cosa, todos los términos técnicos y científicos usados en el presente documento tienen el mismo significado que un experto en la técnica a la que la presente invención pertenece entiende habitualmente.

#### Realizaciones de la invención

5

10

15

20

25

30

35

40

45

50

55

60

65

En un primer aspecto, la invención divulgada se refiere a la identificación y uso de patrones (o perfiles o "firmas") de expresión génica que discriminan entre (o se correlacionan con) supervivencia del cáncer de mama en un sujeto tratado con tamoxifeno (TAM) u otro agente "antiestrógenos" contra el cáncer de mama. Dichos patrones se pueden determinar mediante los procedimientos de la invención mediante el uso de una serie de muestras de células o tejido de referencia, tales como las revisadas por un patólogo experto en la anatomía patológica del cáncer de mama, que reflejan células de cáncer de mama frente a células normales u otras células no cancerosas. Los resultados experimentados por los sujetos de los que las muestras se pueden correlacionar con los datos de expresión para identificar patrones que se correlacionen con los resultados tras el tratamiento con TAM u otro agente "antiestrógenos" contra el cáncer de mama. Dado que el perfil de expresión génica global difiere de una persona a otra, de un cáncer a otro y de una célula cancerosa a otra, las correlaciones entre ciertas células y genes expresados o subexpresados se pueden realizar como se divulga en el presente documento para identificar genes que son capaces de discriminar entre resultados de cáncer de mama.

La presente divulgación se puede poner en práctica con un número cualquiera de los genes que se cree que se expresan de forma diferencial, o que probablemente lo hagan, con respecto a los resultados de cáncer de mama, en particular en los casos de cáncer de mama ER+. La identificación se puede realizar usando los perfiles de expresión de varias poblaciones de células de cáncer de mama homogéneas que se aislaron mediante microdisección, tales como, entre otras, microdisección por captura por láser (LCM) de 100 - 1.000 células. El nivel de expresión de cada gen del perfil de expresión se puede correlacionar con un resultado concreto. Como alternativa, los niveles de expresión de múltiples genes se pueden agrupar para identificar correlaciones con resultados concretos.

Los genes con correlaciones significativas con la supervivencia del cáncer de mama cuando el sujeto es tratado con tamoxifeno se pueden usar para generar modelos de expresiones génicas que discriminarían de forma máxima entre resultados cuando un sujeto responde al tratamiento con tamoxifeno u otro agente "antiestrógenos" contra el cáncer de mama y resultados en los que el tratamiento no ha tenido éxito. Como alternativa se pueden usar genes con correlaciones significativas en combinación con genes con correlaciones menores sin una pérdida significativa de capacidad para discriminar entre resultados. Dichos modelos se pueden generar por cualquier medio adecuado reconocido en la técnica, incluyendo, entre otros, análisis por grupos, máquinas de vector con soporte, redes neurales u otro algoritmo conocido en la técnica. Los modelos son capaces de predecir la clasificación de una muestra desconocida en base a la expresión de los genes usados para discriminación en los modelos. Se puede usar la validación cruzada de "dejar uno fuera" para analizar el funcionamiento de varios modelos y ayudar a identificar pesos (genes) que no proporcionan información o son perjudiciales para la capacidad de predicción de los modelos. La validación cruzada también se puede usar para identificar genes que potencian la capacidad predictiva de los modelos.

El o los genes identificados que se correlacionan con resultados concretos del cáncer de mama en relación con el tratamiento con tamoxifeno mediante los modelos anteriores proporcionan la capacidad de centrar el análisis de la expresión génica en solo los genes que contribuyen a la capacidad de identificar un sujeto como que probablemente tenga un resultado concreto respecto a otro. La expresión de otros genes en una célula de cáncer de mama sería relativamente incapaz de proporcionar información pertinente y, por tanto, ayudar a la discriminación de un resultado de cáncer de mama.

Como apreciarán los expertos en la técnica, los modelos son muy útiles con incluso un conjunto pequeño de datos de expresión génica de referencia y pueden ser cada vez más precisos con la inclusión de más datos de referencia, aunque el incremento incremental en la precisión probablemente disminuya con cada dato adicional. La preparación de datos de expresión génica de referencia adicionales usando genes identificados y divulgados en el presente documento para discriminar entre diferentes resultados en el cáncer de mama tras el tratamiento con tamoxifeno u otro agente "antiestrógenos" contra el cáncer de mama es rutinario y un experto en la técnica la puede realizar fácilmente para permitir la generación de modelos como se ha descrito en lo que antecede para predecir el estado de una muestra desconocida en base a los niveles de expresión de dichos genes.

Para determinar los niveles de expresión (aumentados o disminuidos) de los genes en la práctica de la presente invención se puede usar cualquier procedimiento conocido en la técnica. En una realización preferida de la invención, se usa la expresión basada en la detección de ARN que hibrida con los genes identificados y divulgados en el presente documento. Esto se realiza fácilmente mediante cualquier procedimiento de detección de ARN o amplificación + detección o reconocido como equivalente en la técnica, tal como, entre otros, PCR-transcripción

inversa, los procedimientos divulgados en la patente de EE.UU. 6,794,141 y los procedimientos para detectar la presencia o ausencia de secuencias estabilizantes o desestabilizantes de ARN.

Como alternativa se puede usar la expresión basada en la detección del estado de ADN. La detección del ADN de un gen identificado como metilado o delecionado se puede usar para genes que tienen una expresión disminuida en correlación con un resultado concreto del cáncer de mama. Esto se puede realizar fácilmente mediante procedimientos basados en PCR conocidos en la técnica, incluidos, entre otros, Q-PCR. Por el contrario, la detección del ADN de un gen identificado como amplificado se puede usar para genes que tienen una expresión aumentada en correlación con un resultado concreto del cáncer de mama. Esto se puede realizar fácilmente mediante procedimientos basados en PCR, hibridación fluorescente *in situ* (FISH) e hibridación cromosómica *in situ* (CISH) conocidos en la técnica.

5

10

15

20

45

50

55

60

65

También se puede usar la expresión basada en la detección de una presencia, incremento o disminución de los niveles o actividad de proteínas. La detección se puede realizar mediante cualquier procedimiento basado en inmunohistoquímica (IHC), basado en sangre (especialmente para proteínas secretadas), basado en anticuerpos (incluidos autoanticuerpos contra la proteína), basado en exfoliados celulares (de cáncer), basado en espectroscopia de masas y basado en imágenes (incluido el uso de ligando marcado) conocido en la técnica y reconocido como adecuado para la detección de la proteína. Los procedimientos basados en anticuerpos e imágenes son útiles adicionalmente para la localización de tumores tras la determinación del cáncer mediante el uso de células obtenidas mediante un procedimiento no invasivo (tal como lavado ductal o aspiración con aguja fina), en los que la fuente de las células cancerosas no se conoce. Un anticuerpo o ligando marcado se puede usar para localizar el o los carcinomas en un paciente o para ayudar en el enriquecimiento de células de cáncer exfoliadas de un fluido corporal.

25 Una realización preferida que usa un ensayo basado en ácido nucleico para determinar la expresión es mediante inmovilización de una o más secuencias de los genes identificadas en el presente documento en un soporte sólido, incluidos, entre otros, un sustrato sólido como matriz o en perlas o en tecnología a base de perlas tal como se conoce en la técnica. Como alternativa, también se pueden usar ensayos de expresión basados en solución conocidos en la técnica. El o os genes inmovilizados pueden estar en forma de polinucleótidos que son únicos o, de 30 otro modo, específicos del o los genes de forma que los polinucleótidos serían capaces de hibridar con un ADN o ARN correspondiente al o los genes. Estos polinucleótidos pueden ser la longitud total del o los genes o ser secuencias cortas de los genes (hasta de un nucléotido más corto que la secuencia de longitud total conocida en la técnica mediante deleción del extremo 5; o 3' de la secuencia) que están opcionalmente mínimamente interrumpidos (tal como mediante errores de apareamiento o pares de bases no complementarias insertados) de modo que no afecta a la hibridación con un ADN o ARN correspondiente al o los genes. Preferentemente, los polinucleótidos 35 usados son del extremo 3' del gen, tal como en aproximadamente 350, aproximadamente 300, aproximadamente 250, aproximadamente 200, aproximadamente 150, aproximadamente 100 o aproximadamente 50 nucleótidos de la señal de poliadenilación o sitio de poliadenilación de un gen o secuencia expresada. Los polinucleótidos que contienen mutaciones respecto a las secuencias de los genes divulgados se pueden usar siempre que la presencia 40 de las mutaciones siga permitiendo hibridación para producir una señal detectable.

El o los genes inmovilizados, o secuencias complementarias de los mismos, se pueden usar para determinar el estado de las muestras de ácido nucleico preparadas de célula(s) de mama de muestra para las que no se conoce el resultado del sujeto de la muestra (p. ej., paciente del que se obtiene la muestra) o para la confirmación de un resultado que ya se ha asignado al sujeto de la muestra. Sin limitar la divulgación, dicha célula puede proceder de un paciente con cáncer de mama ER+ o ER-. El o los polinucleótidos inmovilizados solo tienen que ser suficientes para hibridar específicamente con las correspondientes moléculas de ácido nucleico derivadas de la muestra en condiciones adecuadas. Aunque incluso una única secuencia génica correlacionada puede proporcionar la precisión adecuada en la discriminación entre dos resultados de cáncer de mama, se pueden usar dos o más, tres o más, cuatro o más, cinco o más, seis o más, siente o más, ocho o más, nueve o más, diez o más, once o más, o cualquier número entero de los genes identificados en el presente documento, como subpoblación capaz de discriminar en combinación con un incremento de la precisión del procedimiento. La divulgación contempla específicamente la selección de más de uno, dos o más, tres o más, cuatro o más, cinco o más, seis o más, siete o más, ocho o más, nueve o más, diez o más, once o más o cualquier número entero de los genes divulgados en las tablas y figuras en el presente documento para usar como una subpoblación en la identificación del resultado de supervivencia del cáncer de mama.

Por supuesto, se puede usar 1 o más, 2 o más, 3 o más, 4 o más, 5 o más, 6 o más, 7 o más, 8 o más, 9 o más, cualquier número entero o todos los genes proporcionados en las Tablas 2, 3 y/o XXX más adelante. "Acceso" como se usa en el contexto de las Tablas del presente documento hace referencia al número de acceso en GenBank de una secuencia de cada gen. El valor P hace referencia a los valores asignados como se describe en los ejemplos siguientes. Las indicaciones de "E-xx", en el que "xx" es un número de dos dígitos se refiere a una notación alternativa para cifras exponenciales en las que "E-xx" es "10'-xx". Por tanto, en combinación con los números a la izquierda de "E-xx", el valor que se está representando es el número de la izquierda por 10'xx. "Descripción", como se usa en las Tablas, proporciona un breve identificador de lo que codifica la secuencia/gen.

Los genes con una correlación identificada por un valor p inferior o de aproximadamente 0,02, inferior o de aproximadamente 0,01, inferior o de aproximadamente 0,05 o inferior o de aproximadamente 0,001 se prefieren para usar en la práctica de la divulgación. La presente divulgación incluye el uso de gen(es) cuya expresión identifica diferentes resultados del cáncer de mama tras el tratamiento con TAM u otro agente "antiestrógenos" contra el cáncer de mama para permitir la identificación simultánea del resultado de supervivencia del cáncer de mama de un paciente en base al análisis de una muestra de cáncer de mama de dicho paciente.

5

10

30

35

40

45

En un segundo aspecto, que también sirve como realizaciones del uso de una subpoblación de los genes divulgados en el presente documento, la presente divulgación se refiere a la identificación y uso de múltiples conjuntos de secuencias para la determinación de la capacidad de respuesta del cáncer de mama ER+ al tratamiento con TAM u otro agente "antiestrógenos" contra el cáncer de mama. La expresión diferencial de estas secuencias en el cáncer de emana respecto a las células de mama normales se usa para predecir la capacidad de respuesta al TAM o a otro agente "antiestrógenos" contra el cáncer de mama en un sujeto.

15 Para identificar los patrones de expresión génica en cánceres de mama invasivos, en fase temprana, ER positivos, que podrían predecir la respuesta a terapia hormonal, se realizó el análisis de expresión génica en microserie sobre tumores de 60 mujeres tratadas de forma uniforme trató con advuvante tamoxifeno solo. Estas pacientes se identificaron de un total de 103 casos ER+ en fase temprana que se presentaron en el Hospital General de Massachusetts entre 1987 y 1997, de los cuales se congelaron instantáneamente muestras tumorales y de los 20 cuales se disponía de un seguimiento mínimo de 5 años (véase la Tabla 1 para los detalles). Dentro de esta cohorte, 28 (46%) mujeres desarrollaron metástasis distante con un tiempo medio hasta la recurrencia de 4 años ("no respondedores a tamoxifeno") y 32 (54%) mujeres permanecieron sin enfermedad con un seguimiento medio de 10 años ("respondedores a tamoxifeno"). Los respondedores se hicieron coincidir con los casos de no respondedores con respecto a la estadificación TNM (véase Singletary, S.E. et al. "Revision of the American Joint Committee on Cancer staging system for breast cancer." J Clin Oncol 20, 3628-36 (2002)) y el grado del tumor (véase Dalton, L.W. 25 et al. "Histologic grading of breast cancer: linkage of patient outcome with level of pathologist agreement." Mod Pathol 13, 730-5. (2000)).

Estudios previos que vinculan los perfiles de expresión génica con el resultado clínico en cáncer de mama han demostrado que el potencial de metástasis distante y la probabilidad de supervivencia global puede ser predecible a través de características biológicas del tumor primario en el momento del diagnóstico (véase Huang, E. et al. "Gene expression predictors of breast cancer outcomes." Lancet 361,1590-6 (2003); Sorlie, T. et al. "Gene expression patterns of breast carcinomas distinguish tumor subclasses with clinical implications." Proc Natl Acad Sci U S A 98:10869-74 (2001); Sorlie, T. et al. "Repeated observation of breast tumor subtypes in independent gene expression data sets." Proc Natl Acad Sci U S A 100, 8418-23 (2003); Sotiriou, C. et al. "Breast cancer classification and prognosis based on gene expression profiles from a population-based study." Proc Natl Acad Sci U S A 100, 10393-8 (2003); van't Veer, L.J. et al. "Gene expression profiling predicts clinical outcome of breast cancer." Nature 415, 530-6 (2002); y van de Vijver, M.J. et al. "A gene-expression signature as a predictor of survival in breast cancer." N Engl J Med 347, 1999-2009 (2002)). En particular, una firma de expresión de 70 genes ha demostrado ser un potente factor pronóstico, superando todos los parámetros clínico-patológicos conocidos. Sin embargo, en esos estudios las pacientes recibieron terapia sin adyuvante (van 't Veer, L.J. et al. Nature 2002) o se trataron de forma no uniforme con regímenes hormonales y quimioterapéuticos (Huang, E. et al.; Sorlie, T. et al.; Sorlie, T. et al.; Sotiriou, C. et al.; y van de Vijver, M.J. et al. N Engl J Med 2002). Las pacientes con cáncer de mama ER+ en fase temprana tratadas con tamoxifeno solo, tal como la cohorte estudiada aquí, representan solamente un conjunto de la población ensayada con la firma de 70 genes. Es de observar que 61 de los genes en la firma de 70 genes estuvieron presentes en la microserie usada como se describe a continuación, pero no se observó asociación significativa con el resultado clínico en el subconjunto definido de pacientes.

En comparación con biomarcadores existentes, incluyendo ER1, PGR, ERBB2 y EGFR, las series de secuencias génicas descritas en este documento son significativamente más predictivas de sensibilidad al tratamiento con TAM. Un análisis multivariable indicó que estos tres genes eran predoctores significativos de resultado clínico independiente del tamaño del tumor, el estado nodal y el grado del tumor. La expresión de ER y el receptor de progesterona (PR) han sido los predictores clínico-patológicos principales de de respuesta a TAM. Sin embargo, hasta el 40% de los tumores ER+ no lograron responder o desarrollaron resistencia a TAM. La invención por tanto proporciona el uso de los biomarcadores identificados para permitir un mejor tratamiento del paciente identificando pacientes que tienen mayor probabilidad de beneficiarse de TAM u otra terapia endocrina y aquellos que tienen probabilidad de desarrollar resistencia y recurrencia tumoral.

Como se indica en este documento, la secuencia o secuencias identificadas por la presente invención se expresan en correlación con células cancerosas de mama ER+. Por ejemplo, se ha descubierto que IL17BR, identificado por los grupos I.M.A.G.E. Consortium NM\_018725 y NM\_172234 ("The I.M.A.G.E. Consortium: An Integrated Molecular Analysis of Genomes and their Expression," Lennon et al., 1996, Genomics 33:151-152; véase también image.IInI.gov) es útil para predecir la sensibilidad al tratamiento con TAM.

65 En realizaciones preferidas de la invención, puede usarse cualquier secuencia, o parte única de la misma, de las secuencias IL17BR del grupo, así como el grupo UniGene *Homo sapiens* Hs.5470. Asimismo, puede usarse

cualquier secuencia que codifique todo o una parte de la proteína codificada por cualquier secuencia de IL17BR descrita en este documento. Las secuencias consenso de los grupos I.M.A.G.E. Consortium son las siguientes, con la región codificada asignada (finalizando con un codón de terminación) subrayada y precedida por la región no traducida y/o no codificante 5' y seguida de la región no traducida y/o no codificante 3':

agegeagegt gegggtggee tggateeege geagtggeee ggegatgteg etegtgetge taageetgge egegetgtge aggagegeeg tacceegaga geegaeegtt caatgtgget etgaaactgg gccatctcca gagtggatge tacaacatga tetaatccce ggagacttga gggacctccg agtagaacct gttacaacta gtgttgcaac aggggactat tcaattttga tgaatgtaag ctgggtacto cgggcagatg ccagcatccg cttgttgaag gccaccaaga tttgtgtgac gggcaaaage aacttccagt cctacagetg tgtgaggtgc aattacacag aggeetteea gaeteagace agaeeetetg gtggtaaatg gaeattttee tacategget tccctgtaga gctgaacaca gtctatttca ttggggccca taatattcct aatgcaaata tgaatgaaga tggcccttcc atgtctgtga atttcacctc accaggctgc ctagaccaca taatgaaata taaaaaaaag tgtgtcaagg ccggaagcct gtgggatc<u>cg</u> a<u>ac</u>atcactg cttgtaagaa gaatgaggag acagtagaag tgaacttcac aaccactccc ctgggaaaca gatacatggc tcttatccaa cacagcacta tcatcgggtt ttctcaggtg tttgagccac accagaagaa acaaacgcga gcttcagtgg tgattccagt gactggggat agtgaaggtg ctacggtgca gctgactcca tattttccta cttgtggcag cgactgcatc cgacataaag gaacagttgt gctctgccca caaacaggcg tccctttccc tctggataac aacaaaagca agoogggagg ctggctgcct ctcctcctgc tgtctctgct ggtggccaca tgggtgctgg tggcagggat ctatctaatg tggaggcacg aaaggatcaa gaagacttcc ttttctacca ccacactact geoceccatt aaggitetig tggtttaccc atetgaaata tgittecate acacaatttg\_ttacttcact gaatttcttc aaaaccattg cagaagtgag\_gtcatccttg aaaagtggca gaaaaagaaa atagcagaga tgggtccagt gcagtggctt gccactcaaa agaaggcagc agacaaagtc gtcttccttc tttccaatga cgtcaacagt gtgtgcgatg gtacctgtgg caagagegag ggcagtccca gtgagaactc tcaagacctc ttcccccttg cetttaacet tttctgcagt gatctaagaa gecagattca tetgcacaaa tacgtggtgg totactttag agagattgat acaaaagacg attacaatgc totcagtgtc tgccccaagt accacctcat gaaggatgec actgetttet gtgcagaact tetecatgte aagcagcagg

5

SEC ID  $N^0$  2 (secuencia consenso para IL17BR, variante de transcrito 2, identificada como NIVM72234 o NM\_172234.1):

agegeagegt gegggtggee tggateeege geagtggeee ggegatgteg etegtgetge taageetgge egegetgtge aggagegeeg taceeegaga geegaeegtt caatgtgget

```
ctgaaactgg gccatctcca gagtggatgc tacaacatga tctaatcccc ggagacttga
gggacctccg agtagaacct gttacaacta gtgttgcaac aggggactat tcaattttga
tgaatgtaag ctgggtactc cgggcagatg ccagcatccg cttgttgaag gccaccaaga
tttgtgtgac gggcaaaagc aacttccagt cctacagctg tgtgaggtgc aattacacag
aggeetteea gacteagace agaceetetg gtggtaaatg gacattttee tacategget
teeetgtaga getgaacaca gtetatttea ttggggeeca taatatteet aatgeaaata
tgaatgaaga tggcccttcc atgtctgtga atttcacctc accaggctgc ctagaccaca
taatgaaata taaaaaaaag tgtgtcaagg ccggaagcct gtgggatccg aacatcactg
cttgtaagaa gaatgaggag acagtagaag tgaacttcac aaccactccc ctgggaaaca
gatacatggc tcttatccaa cacagcacta tcatcgggtt ttctcaggtg tttgagccac
accagaagaa acaaacgcga gcttcagtgg tgattccagt gactggggat agtgaaggtg
ctacggtgca_ggtaaagttc_agtgagctgc_tctggggagg_gaagggacat_agaagactgt
tecateatte attgetttta aggatgagtt etetettgte aaatgeactt etgecageag
acaccagtta agtggcgttc atgggggctc tttcgctgca gcctccaccg tgctgaggtc
aggaggeega egtggeagtt gtggteeett ttgettgtat taatggetge tgaeetteea
aagcactttt tattttcatt ttctgtcaca gacactcagg gatagcagta ccattttact
teegeaagee titaaetgea agatgaaget geaaagggtt tgaaatggga aggtttgagt
tecaggeage gtatgaacte tggagagggg etgecagtee tetetgggee geageggaee
cagetggaac acaggaagtt ggagcagtag gtgeteette accteteagt atgtetettt
caactctagt ttttgaggtg gggacacagg aggtccagtg ggacacagcc actccccaaa
gagtaaggag cttccatgct tcattccctg gcataaaaag tgctcaaaca caccagaggg
ggcaggcacc agccagggta tgatggctac taccettttc tggagaacca tagacttccc
ttactacagg gacttgcatg tcctaaagca ctggctgaag gaagccaaga ggatcactgc
tgeteettit tietagagga aatgittgie taegiggiaa gataigaeet ageeettita
ggtaagegaa etggtatgtt agtaaegtgt acaaagttta ggtteagace eegggagtet
tgggcacgtg ggtctcgggt cactggtttt gactttaggg ctttgttaca gatgtgtgac
caaggggaaa atgtgcatga caacactaga ggtatgggcg aagccagaaa gaagggaagt
tttggctgaa gtaggagtet tggtgagatt ttgctctgat gcatggtgtg aactttctga
gestettigtt tittesteags tyastesata tittestast tytogeageg astigsatseg
acataaagga acagttgtgc tctgcccaca aacaggcgtc cctttccctc tggataacaa
caaaagcaag cogggagget ggetgeetet ceteetgetg tetetgetgg tggecacatg
ggtgetggtg geagggatet atetaatgtg gaggeaegaa aggateaaga agaetteett
ttctaccacc acactactgc cocccattaa ggttcttgtg gtttacccat ctgaaatatg
tttccatcac acaatttgtt acttcactga atttcttcaa aaccattgca gaagtgaggt
catcettgaa aagtggcaga aaaagaaaat agcagagatg ggtccagtgc agtggcttgc
cactcaaaag aaggcagcag acaaaqtcgt cttccttctt tccaatgacg tcaacagtgt
gtgcgatggt acctgtggca agagcgaggg cagtcccagt gagaactctc aagacctctt
coccettgee tttaacettt tetgeagtga tetaagaage cagatteate tgeacaaata
eqtqqtqqtc tactttagag agattgatac aaaaqacgat tacaatgctc tcaqtqtctq
coccaagtac caccteatga aggatgccac tgctttctgt gcagaacttc tccatgtcaa
gcagcaggtg tcagcaggaa aaagatcaca agcctgccac gatggctgct gctccttgta
geocaeceat gagaageaag agaeettaaa ggetteetat eecaecaatt aeagggaaaa
aacgtgtgat gatcctgaag cttactatgc agcctacaaa cagccttagt aattaaaaca
ttttatacca ataaaatttt caaatattgc taactaatgt agcattaact aacgattgga
aactacattt acaacttcaa agctgtttta tacatagaaa tcaattacag ttttaattga
aaactataac cattttgata atgcaacaat aaagcatctt cagccaaaca tctagtcttc
catagaccat gcattgcagt gtacccagaa ctgtttagct aatattctat gtttaattaa
tgaatactaa ctctaagaac ccctcactga ttcactcaat agcatcttaa gtgaaaaacc
ttctattaca tgcaaaaaat cattgttttt aagataacaa aagtagggaa taaacaagct
```

A continuación se enumeran los números de ID de clon de I.M.A.G.E. Consortium y los correspondientes números de acceso a GenBank de las secuencias identificadas como pertenecientes a los grupos I.M.A.G.E. Consortium y UniGene. También se incluyen secuencias que no están identificadas con un número de ID de clon pero aún así son de IL17BR. Las secuencias incluyen aquellas de las secuencias de la hebra "con sentido" y complementaria correspondientes a IL17BR. La secuencia de cada número de acceso a GenBank se presenta en el Apéndice adjunto.

5

Número de ID de clon	Números de acceso a GenBank
2985728	AW675096, AW673932, BC000980
5286745	BI602183
5278067	B1458542
5182255	BI823321
924000	AA514396
3566736	IBF110326
3195409	BE466508
3576775	BF740045
2772915	AW299271
1368826	AA836217
1744837	AI203628
2285564	Al627783
2217709	AI744263
2103651	Al401622
2419487	Al826949
3125592	BE047752
2284721	AI911549
3643302	BF194822
1646910	AI034244
1647001	AI033911
3323709	BF064177
1419779	AA847767
2205190	Al538624
2295838	AI913613
2461335	Al942234
12130362	JAI580483
2385555	AI831909
2283817	Al672344
2525596	AW025192
454687	AA677205
1285273	AA721647
3134106	BF115018
342259	W61238, W61239

1651991 AI032064 2687714 AW236941 3302808 BG057174 2544461 AW058532 122014 T98360, T98361 2139250 AI470845 2133899 AI497731 121300 T96629, T96740 T96629, T96740 162274 H25975, He941 3446667 BE539514, BX282554 156864 R74038, R74129 4611491 BG433769 4697316 BG530489 429376 AA007528, AA007529 5112415 BI260259 701357 AA287951, AA287911 721909 T97862, T97745 288037 N40294 1307489 AA609841 1357543 AA832389 48442 H14692 1302619 AA732635 1562857 AA928257 1731938 AI184427 1896025 AI298577 2336350 AI692717 1520997 AA910922 240506 H90761 2258560 AI620122 16604627 BC262833 W04990 5500181 BM45231 2884011 BI492426 4746376 BG674622 233783 BX111256 1569921 BX1117618	Número de ID de clon	Números de acceso a GenBank
3302808 BG057174 2544461 AW058532 122014 T98360, T98361 2133899 Al497731 121300 T96629, T96740 T96629, T96740 162274 H25975, He941 3446667 BE539514, BX282554 156864 R74038, R74129 4611491 BG433769 4697316 BG530489 429376 AA007528, AA007529 55112415 BI260259 701357 AA287951, AA287911 721909 T97852, T97745 268037 N4029 1307489 AA609841 1357543 AA832389 48442 H14692 1302619 AA732635 1562857 AA928257 1731938 AI184427 1896025 AI184427 1896025 AI184427 1520997 AA910922 240506 H90761 2258560 AI620122 240506 H90761 2458011 BM455231 2484011 BI492426 4746376 BG674622 233783 BX111256 BS111256 BS111256 BS111256 BS111256 BS111256 BS111256 BS111256 BS1111256	1651991	Al032064
2544461 AW058532 122014 T98360, T98361 2139250 AI470845 2133899 AI497731 121300 T96629, T96740 T96629, T96740 162274 H25975, He941 3446667 BE539514, BX282554 156864 R74038, R74129 4611491 BG433769 4697316 BG530489 429376 AA007528, AA007529 5112415 BI260259 701357 AA287951, AA287911 721909 T97852, T97745 N40294 1307489 AA809841 1357543 AA832389 48442 H14692 1302619 AA732635 1562857 AA28257 1731938 AI184427 1896025 AI29857 2336350 AI692717 1520997 AA910922 240506 H90761 AI620122 2558560 AI620129 1569921 BM455231 BM455231 BM455231 BM455231 BM45622 233783 BX111256 BX1117618	2687714	AW236941
122014 T98360, T98361 2139250 AI470845 2133899 AI497731 121300 T96629, T96740 T96629, T96740 162274 H25975, He941 3446667 BE539514, BX282554 156864 R74038, R74129 4611491 BG433769 4897316 BG530489 429376 AA007528, AA007529 5112415 BI260259 701357 AA287951, AA287911 721909 T97852, T97745 1307489 AA809841 A357543 AA832389 48442 H14692 1302619 A732635 1562857 A928257 1731938 AI184427 1896025 AI298577 2336350 AI692717 1520997 AA910922 240506 H90761 BM45231 BM45226 BG74622 233783 BX111256 BX1117618	3302808	BG057174
2139250 Al470845 2133899 Al497731 121300 T96629, T96740 T96629, T96740 162274 H25975, He941 3446667 BE539514, BX282554 156864 R74038, R74129 4611491 BG433769 4697316 BG530489 429376 AA007528, AA007529 5112415 BI260259 5112415 BI260259 701357 AA287951, AA287911 121909 T97852, T97745 AA809841 1307489 AA809841 1357543 AA832389 48442 H14692 1302619 AA732635 1562857 AA928257 1731938 Al184427 1398025 Al298577 Al692717 1520997 AA910922 240506 H90761 1569921 Al793318, AA962325, Al733290 6064827 BQ262533 W04990 5500181 BM455231 E484011 B149246 E674622 233783 BX111266 BS1117618	2544461	AW058532
2133899 Al497731 121300 T96629, T96740 T96629, T96740 162274 H25975, He941 3446667 BE539514, BX282554 156864 R74038, R74129 4611491 BG433769 4697316 B6530489 429376 AA007528, AA007529 5112415 B1260259 701357 AA287951, AA287911 721909 T97852, T97745 N86937 N40294 1307489 AA809841 1357543 AA809841 1357543 AA832389 48442 H14692 1302619 AA732635 1562857 AA928257 1731938 AI184427 13938 AI184427 139097 AA910922 40506 H90761 1569921 AI793318, AA962325, AI733290 6064627 B226353 299018 W04990 5500181 BM455231 BK111256 BX111256 BX111256 BX111256 BX111256 BX111256 BX111256 BX111256 BX111256	122014	T98360, T98361
121300 T96629, T96740 162274 H25975, He941 3446667 BE539514, BX282554 156864 R74038, R74129 4611491 BG433769 4697316 BG530489 429376 AA007528, AA007529 5112415 BI260259 701357 AA287951, AA287911 121909 T97852, T97745 AA809841 AA803289 H3367543 AA803289 H34642 H14692 H302619 AA732635 AA928257 1731938 AI184427 AI896025 AI2997 AA910922 240506 H90761 2258560 AI620122 1569921 AI793318, AA962325, AI733290 BG674622 B3783 BX111256 BS4376 BG674622 B3783 BX111256 BK111256 BK111266	2139250	Al470845
162274       H25975, He941         3446667       BE539514, BX282554         156864       R74038, R74129         4611491       BG433769         4697316       BG530489         429376       AA007528, AA007529         5112415       BI260259         701357       AA287951, AA287911         121909       T97852, T97745         268037       N40294         1307489       AA809841         1357543       AA832389         48442       H14692         1302619       AA732635         A6928257       A184427         1731938       AI184427         1896025       AI298577         1520997       AA910922         240506       H90761         2258560       AI620122         1569921       AI793318, AA962325, AI733290         6064627       BQ226353         299018       W04990         5500181       BM455231         B44011       BI492426         4746376       BG674622         233783       BX111256	2133899	Al497731
3446667       BE539514, BX282554         156864       R74038, R74129         4611491       BG433769         4697316       BG530489         429376       AA007528, AA007529         5112415       BI260259         701357       AA287951, AA287911         121909       T97852, T97745         268037       N40294         1307489       AA809841         1357543       AA832389         48442       H14692         1302619       AA732635         1562857       AA928257         1731938       Al184427         1896025       Al298577         2336350       Al692717         AA910922       A910922         40506       H90761         2258560       Al620122         1569921       Al793318, AA962325, Al733290         6064627       BQ226353         299018       W04990         5500181       BM455231         2484011       Bl492426         4746376       BG674622         233783       BX111266         1569921       BX1117618	121300 T96629, T96740	T96629, T96740
156864       R74038, R74129         4611491       BG433769         4697316       BG530489         429376       AA007528, AA007529         5112415       BI260259         701357       AA287951, AA287911         121909       T97852, T97745         268037       N40294         1307489       AA809841         1357543       AA832389         48442       H14692         1302619       AA732635         1562857       AA928257         1731938       Al184427         1896025       Al298577         2336350       Al692717         AA910922       H90761         2258560       Al620122         1569921       Al793318, AA962325, Al733290         6064627       BQ226353         299018       W04990         5500181       BM455231         2484011       Bl492426         4746376       BG674622         233783       BX111256         1569921       BX1117618	162274	H25975, He941
4611491       BG433769         4697316       BG530489         429376       AA007528, AA007529         5112415       BI260259         701357       AA287951, AA287911         121909       T97852, T97745         268037       N40294         1307489       AA809841         1357543       AA832389         48442       H14692         1302619       AA732635         1562857       AA928257         1731938       AI184427         1896025       AI298577         2336350       AI692717         1520997       AA910922         240506       H90761         2258560       AI620122         1569921       AI793318, AA962325, AI733290         6064627       BQ226353         299018       W04990         5500181       BM455231         2484011       BI492426         47746376       BG674622         233783       BX1117618	3446667	BE539514, BX282554
4697316       BG530489         429376       AA007528, AA007529         5112415       BI260259         701357       AA287951, AA287911         121909       T97852, T97745         268037       N40294         1307489       AA809841         1357543       AA832389         48442       H14692         1302619       AA732635         1562857       AA928257         1731938       AI184427         1896025       AI298577         2336350       AI692717         1520997       AA910922         240506       H90761         2258560       AI620122         1569921       AI793318, AA962325, AI733290         6064627       BQ226353         299018       W04990         5500181       BM455231         2484011       BI492426         47746376       BG674622         233783       BX1117618	156864	R74038, R74129
429376       AA007528, AA007529         5112415       BI260259         701357       AA287951, AA287911         121909       T97852, T97745         268037       N40294         1307489       AA809841         1357543       AA832389         48442       H14692         1302619       AA732635         1562857       AA928257         1731938       AI184427         1896025       AI298577         2336350       AI692717         1520997       AA910922         240506       H90761         2258560       AI620122         1569921       AI793318, AA962325, AI733290         6064627       BQ226353         299018       W04990         5500181       BM455231         2484011       BI492426         4746376       BG674622         233783       BX111256         1569921       BX1117618	4611491	BG433769
5112415       BI260259         701357       AA287951, AA287911         121909       T97852, T97745         268037       N40294         1307489       AA809841         1357543       AA832389         48442       H14692         1302619       AA732635         1562857       AA928257         1731938       AI184427         1896025       AI298577         2336350       AI692717         1520997       AA910922         240506       H90761         2258560       AI620122         1569921       AI793318, AA962325, AI733290         6064627       BQ226353         299018       W04990         5500181       BM455231         2484011       BI492426         4746376       BG674622         233783       BX111256         1569921       BX1117618	4697316	BG530489
701357       AA287951, AA287911         121909       T97852, T97745         268037       N40294         1307489       AA809841         1357543       AA832389         48442       H14692         1302619       AA732635         1562857       AA928257         1731938       Al184427         1896025       Al298577         2336350       Al692717         1520997       AA910922         240506       H90761         Al620122       Al793318, AA962325, Al733290         6064627       BQ226353         299018       W04990         5500181       BM455231         2484011       BI492426         4746376       BG674622         233783       BX111256         1569921       BX1117618	429376	AA007528, AA007529
121909       T97852, T97745         268037       N40294         1307489       AA809841         1357543       AA832389         48442       H14692         1302619       AA732635         1562857       AA928257         1731938       Al184427         1896025       Al298577         2336350       Al692717         1520997       AA910922         240506       H90761         2258560       Al620122         1569921       Al793318, AA962325, Al733290         6064627       BQ226353         299018       W04990         5500181       BM455231         2484011       BI492426         4746376       BG674622         233783       BX111256         1569921       BX1117618	5112415	BI260259
268037       N40294         1307489       AA809841         1357543       AA832389         48442       H14692         1302619       AA732635         1562857       AA928257         1731938       Al184427         1896025       Al298577         2336350       Al692717         1520997       AA910922         240506       H90761         2258560       Al620122         1569921       Al793318, AA962325, Al733290         6064627       BQ226353         299018       W04990         5500181       BM455231         2484011       Bl492426         4746376       BG674622         233783       BX111256         1569921       BX1117618	701357	AA287951, AA287911
1307489       AA809841         1357543       AA832389         48442       H14692         1302619       AA732635         1562857       AA928257         1731938       Al184427         1896025       Al298577         2336350       Al692717         1520997       AA910922         240506       H90761         2258560       Al620122         1569921       Al793318, AA962325, Al733290         6064627       BQ226353         299018       W04990         5500181       BM455231         2484011       Bl492426         4746376       BG674622         233783       BX111256         1569921       BX1117618	121909	T97852, T97745
1357543       AA832389         48442       H14692         1302619       AA732635         1562857       AA928257         1731938       Al184427         1896025       Al298577         2336350       Al692717         1520997       AA910922         240506       H90761         2258560       Al620122         1569921       Al793318, AA962325, Al733290         6064627       BQ226353         299018       W04990         5500181       BM455231         2484011       Bl492426         4746376       BG674622         233783       BX111256         1569921       BX1117618	268037	N40294
48442       H14692         1302619       AA732635         1562857       AA928257         1731938       Al184427         1896025       Al298577         2336350       Al692717         1520997       AA910922         240506       H90761         2258560       Al620122         1569921       Al793318, AA962325, Al733290         6064627       BQ226353         299018       W04990         5500181       BM455231         2484011       BI492426         4746376       BG674622         233783       BX111256         1569921       BX1117618	1307489	AA809841
1302619       AA732635         1562857       AA928257         1731938       Al184427         1896025       Al298577         2336350       Al692717         1520997       AA910922         240506       H90761         2258560       Al620122         1569921       Al793318, AA962325, Al733290         6064627       BQ226353         299018       W04990         5500181       BM455231         2484011       Bl492426         4746376       BG674622         233783       BX111256         1569921       BX1117618	1357543	AA832389
1562857       AA928257         1731938       AI184427         1896025       AI298577         2336350       AI692717         1520997       AA910922         240506       H90761         2258560       AI620122         1569921       AI793318, AA962325, AI733290         6064627       BQ226353         299018       W04990         5500181       BM455231         2484011       BI492426         4746376       BG674622         233783       BX111256         1569921       BX1117618	48442	H14692
1731938       Al184427         1896025       Al298577         2336350       Al692717         1520997       AA910922         240506       H90761         2258560       Al620122         1569921       Al793318, AA962325, Al733290         6064627       BQ226353         299018       W04990         5500181       BM455231         2484011       BI492426         4746376       BG674622         233783       BX111256         1569921       BX1117618	1302619	AA732635
1896025       Al298577         2336350       Al692717         1520997       AA910922         240506       H90761         2258560       Al620122         1569921       Al793318, AA962325, Al733290         6064627       BQ226353         299018       W04990         5500181       BM455231         2484011       Bl492426         4746376       BG674622         233783       BX111256         1569921       BX1117618	1562857	AA928257
2336350       Al692717         1520997       AA910922         240506       H90761         2258560       Al620122         1569921       Al793318, AA962325, Al733290         6064627       BQ226353         299018       W04990         5500181       BM455231         2484011       Bl492426         4746376       BG674622         233783       BX111256         1569921       BX1117618	1731938	Al184427
1520997       AA910922         240506       H90761         2258560       Al620122         1569921       Al793318, AA962325, Al733290         6064627       BQ226353         299018       W04990         5500181       BM455231         2484011       Bl492426         4746376       BG674622         233783       BX111256         1569921       BX1117618	1896025	Al298577
240506       H90761         2258560       Al620122         1569921       Al793318, AA962325, Al733290         6064627       BQ226353         299018       W04990         5500181       BM455231         2484011       BI492426         4746376       BG674622         233783       BX111256         1569921       BX1117618	2336350	Al692717
2258560       Al620122         1569921       Al793318, AA962325, Al733290         6064627       BQ226353         299018       W04990         5500181       BM455231         2484011       Bl492426         4746376       BG674622         233783       BX111256         1569921       BX1117618	1520997	AA910922
1569921       AI793318, AA962325, AI733290         6064627       BQ226353         299018       W04990         5500181       BM455231         2484011       BI492426         4746376       BG674622         233783       BX111256         1569921       BX1117618	240506	H90761
6064627       BQ226353         299018       W04990         5500181       BM455231         2484011       BI492426         4746376       BG674622         233783       BX111256         1569921       BX1117618	2258560	Al620122
299018       W04990         5500181       BM455231         2484011       BI492426         4746376       BG674622         233783       BX111256         1569921       BX1117618	1569921	AI793318, AA962325, AI733290
5500181       BM455231         2484011       BI492426         4746376       BG674622         233783       BX111256         1569921       BX1117618	6064627	BQ226353
2484011       BI492426         4746376       BG674622         233783       BX111256         1569921       BX1117618	299018	W04990
4746376 BG674622 233783 BX111256 1569921 BX1117618	5500181	BM455231
233783 BX111256 1569921 BX1117618	2484011	BI492426
1569921 BX1117618	4746376	BG674622
	233783	BX111256
450450 AA682806	1569921	BX1117618
· '	450450	AA682806

Número de ID de clon	Números de acceso a GenBank
1943085	Al202376
2250390	Al658949
4526156	BG403405
3249181	BE673417
2484395	AW021469
30515867	CF455736
285815	AW339874
4556884	BG399724
3254505	BF475787
3650593	BF437145
233783	H64601
Ninguno (secuencias de ARNm)	AF212365, AKp95091 AF208110, AF208111, AF250309, AK095091
Ninguno	BM983744, CB305764, BM715988, BM670929, BI792416, BI715216, N56060, CB241389, AV660618, BX088671, CB154426, CA434589, CA412162, CA314073, BF921554, BF920093, AV685699, AV650175, BX483104, CD675121, BE081436, AW970151, AW837146, AW368264, D25960, AV709899, BX431018, AL535617, AL525465, BX453536, BX453537, AV728945, AV728939, AV727345

En una realización preferida, puede usarse cualquier secuencia, o parte única de la misma, de la siguiente secuencia de IL17BR, identificada por AF208111 o AF208111.1, en la práctica de la invención.

5 SEC ID Nº 3 (secuencia para IL17BR):

CGGCGATGTCGCTCGTGCTGATAAGCCTGGCCGCGCTGTGCAGGAGCGCCGTACCCCGAG AGCCGACCGTTCAATGTGGCTCTGAAACTGGGCCATCTCCAGAGTGGATGCTACAACATG ATCTAATCCCCGGAGACTTGAGGGACCTCCGAGTAGAACCTGTTACAACTAGTGTTGCAA CAGGGGACTATTCAATTTTGATGAATGTAAGCTGGGTACTCCGGGCAGATGCCAGCATCC GCTTGTTGAAGGCCACCAAGATTTGTGTGACGGGCAAAAGCAACTTCCAGTCCTACAGCT GTGTGAGGTGCAATTACACAGAGGCCTTCCAGACTCAGACCCAGACCCTCTGGTGGTAAAT GGACATTTTCCTATATCGGCTTCCCTGTAGAGCTGAACACAGTCTATTTCATTGGGGCCC ATAATATTCCTAATGCAAATATGAATGAAGATGGCCCTTCCATGTCTGTGAATTTCACCT CACCAGGCTGCCTAGACCACATAATGAAATATAAAAAAAGTGTGTCAAGGCCGGAAGCC TGTGGGATCCGAACATCACTGCTTGTAAGAAGAATGAGGAGACAGTAGAAGTGAACTTCA CAACCACTCCCTGGGAAACAGATACATGGCTCTTATCCAACAGCACTATCATCGGGT TTTCTCAGGTGTTTGAGCCACACCAGAAGAAACAAACGCGAGCTTCAGTGGTGATTCCAG TGACTGGGGATAGTGAAGGTGCTACGGTGCAGGTAAAGTTCAGTGAGCTGCTCTGGGGAG GGAAGGGACATAGAAGACTGTTCCATCATTCATTGCTTTTAAGGATGAGTTCTCTCTTGT CAAATGCACTTCTGCCAGCAGACACCAGTTAAGTGGCGTTCATGGGGGGTTCTTTCGCTGC AGCCTCCACCGTGCTGAGGTCAGGAGGCCGACGTGGCAGTTGTCGCTCCCTTTTGCTTGTA TTAATGGCTGCTGACCTTCCAAAGCACTTTTTATTTTCATTTTCTGTCACAGACACTCAG GGATAGCAGTACCATTTTACTTCCGCAAGCCTTTAACTGCAAGATGAAGCTGCAAAGGGT TTGAAATGGGAAGGTTTGAGTTCCAGGCAGCGTATGAACTCTGGAGAGGGGCTGCCAGTC CTCTCTGGGCCGCAGCGAGCCGGAACACAGGAAGTTGGAGCAGTAGGTGCTCCTT CACCTCTCAGTATGTCTCTTTCAACTCTAGTTTTTGAAGTGGGGACACAGGAAGTCCAGT GGGGACACACCCCCAAAGAATAAGGAACTTCCATGCTTCATTCCCTGGCATAAAA AGTGNTCAAACACACCAGAGGGGCAGGCACCAGCCAGGGTATGATGGGTACTACCCTTT TCTGGAGAACCATAGACTTCCCTTACTACAGGGACTTGCATGTCCTAAAGCACTGGCTGA AGGAAGCCAAGAGGATCACTGCTGCTCCTTTTTTGTAGAGGAAATGTTTGTGTACGTGGT AAGATATGACCTAGCCCTTTTAGGTAAGCGAACTGGTATGTTAGTAACGTGTACAAAGTT TAGGTTCAGACCCCGGGAGTCTTGGGCATGTGGGTCTCGGGTCACTGGTTTTGACTTTAG GGCTTTGTTACAGATGTGTGACCAAGGGGAAAATGTGCATGACAACACTAGAGGTAGGGG CGAAGCCAGAAAGAAGGGAAGTTTTGGCTGAAGTAGGAGTCTTGGTGAGATTTTGCTGTG ATGCATGGTGTGAACTTTCTGAGCCTCTTGTTTTTCCTCAGCTGACTCCATATTTTCCTA CTTGTGGCAGCGACTGCATCCGACATAAAGGAACAGTTGTGCTCTGCCCACAAACAGGCG AAAGGATCAAGAAGACTTCCTTTTCTACCACCACACTACTGCCCCCCATTAAGGTTCTTG TGGTTTACCCATCTGAAATATGTTTCCATCACACAATTTGTTACTTCACTGAATTTCTTC AAAACCATTGCAGAAGTGAGGTCATCCTTGAAAAGTGGCAGAAAAAGAAAATAGCAGAGA TTTCCAATGACGTCAACAGTGTGTGCGATGGTACCTGTGGCAAGAGCGAGGGCAGTCCCA GTGAGAACTCTCAAGACCTCTTCCCCCTTGCCTTTAACCTTTTCTGCAGTGATCTAAGAA GCCAGATTCATCTGCACAAATACGTGGTGGTCTACTTTAGAGAGATTGATACAAAAGACG ATTACAATGCTCTCAGTGTCTGCCCCAAGTACCACTTCATGAAGGATGCCACTGCTTTCT GTGCAGAACTTCTCCATGTCAAGCAGCAGGTGTCAGCAGGAAAAAGATCACAAGCCTGCC ACGATGGCTGCTCCTTGTAGCCCACCCATGAGAAGCAAGAGACCTTAAAAGGCTTCCT ATCCCACCAATTACAGGGAAAAAACGTGTGATGATCCTGAAGCTTACTATGCAGCCTACA

En realizaciones preferidas de la descripción, puede usarse cualquier secuencia, o parte única de la misma, de las secuencias CHDH del grupo, así como el grupo UniGene Homo sapiens Hs. 126688. Asimismo, puede usarse cualquier secuencia que codifique todo o una parte de la proteína codificada por cualquier secuencia de CHDH descrita en este documento, incluyendo secuencias del nuevo contig ensamblado. Las secuencias consenso de los grupos I.M.A.G.E. Consortium son los siguientes, con la región codificante asignada (finalizando con un codón de

5

terminación) subrayada y precedida por la región no traducida y/o no codificante 5' y seguida de la región previamente identificada no traducida y/o no codificante 3':

SEC ID Nº 4 (secuencia consenso para CHDH, identificada como NM\_018397 o NM\_018397.1):

5

ageqqqeege qqeeaccege tecteceget cegqteeega etgteqqqet eteqqeegaq tegeceegga caateacaaa gagtgtgtag gecageeeeg gteacagagt geacegtate etgteactte tggatgtgag ggagaagtga gteateteat teeceteegt ggateagagg acttggacta gatagaagca tgtggtgtct cctacgaggc ctgggccggc ctggagccct ggcaegggga gecetgggge ageageaate eetgggtgee egggeeetgg eeagegeagg ctotgagage egggacgagt acagetatgt ggtggtggge gegggetegg egggetgegt getggetggg aggeteaegg aggaeeeege egagegegtg etgetgetgg aggeegggee caaggacgtg cgcgcgggga gcaagcggct ctcgtggaag atccacatgc ccgcggccct ggtggccaac ctgtgcgacg acaggtacaa ctggtgctac cacacagagg tgcagcgggg cetggaegge egegtgetgt aetggeeaeg eggeegegte tggggtgget ceteatecet caatgccatg gtctacgtcc gtgggcacgc cgaggactac gagcgctggc agcgccaggg egocegegge tgggaetaeg egoaetgeet geeetaette egoaaggege agggecaega gctgggegec ageeggtaee ggggegeega tggeeegetg egggtgteee ggggeaagae caaccacccg ctgcactgcg cattectgga ggccacgcag caggccggct acccgctcac egaggacatg aatggettee ageaggaggg etteggetgg atggacatga ecatecatga aggeaaaegg tggagegeag cetgtgeeta eetgeaeeea geaetgagee geaecaaeet caaggeegag geegagaege ttgtgageag ggtgetattt gagggeaeee gtgeagtggg egtggagtat gtcaagaatg gccagagcca cagggcttat gccagcaagg aggtgattet gagtggaggt gccatcaact ctccacaqct gctcatqctc tctggcatcg ggaatgctga tgacetcaag aaactgggca teectgtgqt gtgecaccta cetggggttg gecagaacet geaagaceae etggagatet acatteagea ggeatgeace egecetatea ecetecatte agcacagaag cccctgcgga aggtctgcat tggtctggag tggctctgga aattcacagg

A continuación se enumeran los números de ID de clon I.M.A.G.E. Consortium y los correspondientes números de acceso a GenBank de secuencias identificadas como pertenecientes a los grupos I.M.A.G.E. Consortium y UniGene. También se incluyen secuencias que no están identificadas con un número de ID de clon pero aún así son de CHDH. Las secuencias incluyen aquellas de las secuencias de hebra "con sentido" y complementaria correspondientes a CHDH. Secuencias adicionales para su uso en la práctica de la descripción son aquellas alineadas en la Figura 5, que también se proporcionan en el Apéndice adjunto.

Número de ID de clon / número(s) de acceso a GenBank
4824572/BC034502 y BG720228
5191415/BI765156
5311690/B1667529
5267676/BI460380
11031605/AA609488
3842653/BE732217
4543273/BG336766
3504516/BE279319
3140587BE279968
6297066/BQ648069
2714263/AW449121
2735859/AW450678
2720363/AW139168
3642981/BF195860
5931105/BQ066460
3574335/BF430927
3268842/BF435866
3267752/BF435185

Número de ID de clon / número(s) de acceso a GenBank
1868020/Al264647 y BX116752 y Al733810 y Al792632
2365837/AI741739
3085519BF510364
1647746/AI034449
2695349/AW194S22
2285283/Al628996
2694067/AW235087
2285315/Al629023
2463061/Al928186
2462306/Al927042
2381448/AI768443
2298488/AI650346
3134601/BF197300
2300327/Al631941
2697626/AW167538
3034918/AW779820
2525301/AW024823
2300291/Al631914
2137091/AI473735
4147169/BG060119
2772286/AW299654
2172535/Al564145
2690214/AW241612
1868068/AI241086
1608918/AA991365
3134810/BF197431
1869723/Al245204
2691133/AW242403
6109050/BU500214
2384051/AI796286
12055388/Al308167
3032446/AW771262
2907815/AW340332
1636795//Al792354 y Al017355
2299592/AI640195
2054920/Al334627
2690173/AW237735
1869819/Al245373
3195030BE464406

Número de ID de clon / número(s) de acceso a GenBank
1646613/AI025866
2773291/AW299629
2461358/AI942245
5678397/BM142449 y BM142311
5672209/BM052814 y BM053126
2137904/AI800207
511224/A088689 y M088826
2734357/AW449405
381379/AA052926 y AA052927
2337545/Al914219
2528186/AW337722
2028284/AI262965
3436048BF940636
2344677/AI695649
123940/R00867 y R01524/
240988/H90906 y H91018
240077/H82409 y H82667
Ninguno (secuencias de ARNm)/NM_018397.1 y AJ272267.1 y AK055402.1
Ninguno/AA772473.1 y BM682615.1 y BM713059.1 y BM716959.1 y BU738538.1 y AA324019.1 y AA302740.1 y C20981.1 y BF930030.1 y BQ303877.1 y BM769931.1 y AW900269.1 y F26419.1 y CB147231.1 y BE765491.1 AV656671.1

En una realización preferida, puede usarse cualquier secuencia, o parte única de la misma, de las secuencias CHDH de las Figuras 5 ó 6 en la práctica de la descripción.

En otro conjunto de realizaciones preferidas de la descripción, puede usarse cualquier secuencia, o parte única de la misma, de las secuencias QPRT del grupo I.M.A.G.E. Consortium NM\_014298, así como los grupos UniGene Homo sapiens Hs. 126688. Asimismo, puede usarse cualquier secuencia que codifique todo o parte de la proteína codificada por cualquier secuencia de QPRT descrita en este documento. La secuencia consenso del grupo I.M.A.G.E. Consortium es la siguiente, con la región codificada asignada (finalizando con un codón de terminación) subrayada y precedida por la región no traducida y/o no codificada 5' y seguida de la región no traducida y/o no codificada 3':

SEC ID Nº 5 (secuencia consenso para QPRT, identificada como NM\_014298 o NM\_014298.2):

gtoctgagoa gocaacacac cagoccagac agotgcaagt caccatggac gotgaaggoc tggcgctgct gctgccgccc gtcaccctgg cagccctggt ggacagctgg ctccgaqaqq actgoccagg gotcaactac geagcottgg teagegggge aggocceteg eaggeggege tgtgggccaa atcccctggg gtactggcag ggcagccttt cttcgatgcc atatttaccc aactcaactg ccaagtetee tggtteetee eegagggate gaagetggtg ceggtggeea gagtggeega ggteeggge cetgeecact geetgetget gggggaacgg gtggeectea acacgotggo cogotgoagt ggoattgoca gtgotgocgo cgotgoagtg gaggoogoca ggggggccgg ctggactqgg cacgtggcag gcacgaggaa gaccacgcca ggcttccggc tggtggagaa gtatgggcte etggtgggeg gggeegeete geacegetae gaeetgggag ggotggtgat gttgaaggat aaccatgtgg tgocccccgg tggcgtggag aaggcggtgc gggcggccag acaggcggct gacttcgctc tgaaggtgga agtggaatgc agcagcctgc aggaggtegt ecaggeaget gaggetggeg ecgaeettgt eetgetggae aactteaage cagaggaget geaccecaeg gecaeegege tgaaggeeca gtteeegagt gtggetgtgg aagccagteg gggcatcacc ctggacaacc tcccccagtt ctgcgggccg cacatagacg teateteeat ggggatgetg acceaggegg teceageeet tgatttetee eteaagetgt ttgccaaaga ggtggctcca gtgcccaaaa tccactagtc ctaaaccgga agaggatgac aceggecatg ggttaaegtg geteeteagg accetetggg teacaeatet ttagggteag tgaacaatgg ggcacatttg gcactagett gagcccaact ctggctetge cacetgetge tectgtgace tgtcaggget gactteaect etgeteatet eagttteeta atetgtaaaa 

A continuación se enumeran los números de ID de clon I.M.A.G.E. Consortium y los correspondientes números de acceso a GenBank de secuencias identificadas como pertenecientes a los grupos I.M.A.G.E. Consortium y UniGene. También se incluyen secuencias que no están identificadas con un número de ID de clon pero aún así son de QPRT. Las secuencias incluyen aquellas de las secuencias de hebra "con sentido" y complementaria correspondientes a QPRT. Secuencias representativas de los siguientes números de acceso a GenBank se presentan en el Apéndice adjunto.

Número de ID de clon / número(s) de acceso a GenBank
2960170/BC005060 y BE299670 y BE299712 □
3506460/BE273102 y BC010033 □
3959973/BC018910 y BE902622 □
267692/N23182 y N32648 □
3843834/BE735342 □
4872092/BX283118 y BG769505 □
4845859/13G750434 □
4868806/BG766440 □
4594651/BG441877 🗆
4553618/BG337811 □
4554044/BG338063

Número de ID de clon / número(s) de acceso a GenBank
44731611/BG251163
14581127/BG396079
4136221/BF316915 □
4127089/BF313098
4508387/BG257831 □
4125826/BF312975
4411920/BG115486
4842556/BG748194
4395232/BF980859
4122808/BF304964
6305325/BQ643384
4107138/BF204965
4875437/BG753310/
6337913/BU501237
4136491/BF317004
4131857/13F307788
4302204/BF684687
5092370/B1195027
3353576/BE257622
4473768/BG252578
3912491/BE887856
160124003/BU186666
4873695/BG751315
4873694/BG751234
4080072/BF237708
6300166/BQ876922
896716/B1198351
4877853/BG770209
4896715/BI198375
5087154/BI252426 y BI252874
6085289/BU174626
5741237/BM558378
4995462/BI088884
6720160/CA488404
5764841/BM926410
6208509/BQ879962
4581968/BG396587
5554997/BM477735

3451668/BE538581 58034A0/BC069150 6250974/BC068755 6250974/BC068755 6250974/BC068755 6353758/BM468300 6146330/BU165540 1740729/A1191477 2729947/AW293885 6002577BU174653 2753118/AW275889 2437568/A1884372 2507497/A1961218 5207705/B1771713 2067750/A1383718 2637967/B047205 38041/R6374074974 5531252/BM800219 3629874/BE409186 5001398/B1093643 4381336/BF971224 444451023/BG71244 4451023/BG71244 4451023/BG71244 4451023/BG71244 436145/BF730924 4361638/BF346117 4915206/BG818225 444468/BG118070 6066243/BU180123 4366207/BG108477 3140355/BE280221 5456597/BM012505 567907/BE382922 5418599/BM016313 44862852/BG766156 14877780/BG769917	Número de ID de clon / número(s) de acceso a GenBank
6250974/BQ688755 6251079/BQ685759 5535758/BM468306 6146330/BU165540 1740729/AI191477 2729947/AW293885 60862577BU174653 2753118/AW275889 2437568/AI884372 2507497/AI961218 5207705/BI771713 2067750/AI833718 263894/N26522 y H99843 1148416/AA627205 138014/R63144 70610749073 y 749074 5531252/BM800219 3629874/BE409186 5001398/BI093643 436135/BF73024 4451023/BG121013 3844815/BF730924 4451023/BG121013 3844815/BF73094 456243/BU149745 489906/BG829478 6086128/BU180123 4366207/BG108477 3140355/BE280221 5458595/PM012605 3627907/BE382922 5418599/BM016313 4862852/BG765156	3451668/BE538581
6251079/BQ685759 5535758/BM468306 6146330/BU165540 1740729/AH191477 2729947/AW293885 6082575BU174653 275317B/AW275889 2437568/AB84372 22507497/Al961218 5207705/BI71713 2067750/Al383718 263894/N28522 y H99843 1148416/AA627205 138014/R63144 70610/T49073 y T49074 5531282/BM800219 3629874/BE409186 5001398/B1093643 44361336/BF971224 44451023/B6121013 3844815/BE730924 4361451/BF970190 4154033/BF346117 4915206/BG818225 4444686/BG118070 6086128/BU149745 4889066/BG829478 6086128/BU149745 4366207/BG108477 3140355/BE280221 54589527/BM015015 6627907/BE382922 5418599/BM016313 4862852/BG765156	5803440/BQ069150
5535758/BM468306 6146330/BU165540 1740729/Al191477 2729947/AW293885 6082577BU174653 2753118/AW275889 2437568/Al884372 25507497/Al961218 5207795/BI771713 2067750/Al383718 263894/N28522 y H99843 1148416/AA627205 138014/R63144 70610/T49073 y T49074 5531252/BM800219 362987/BE409186 5001398/B1093643 4361336/BF971224 4451362/BF971924 4451362/BF97190 4154033/BF346117 4915206/BG818225 4444686/BG118070 6086243/BU149745 489906/BG829478 6086128/BU180123 4366207/BG108477 31403356/BE280221 54585927/BH28292 5418599/BM016313 4862852/BG766156	6250974/BQ688755
6146330/BU165540 1740729/Al191477 2729947/AW293885 6082577BU174653 2753118/AW275689 2437568/Al884372 2507497/Al961218 5207705/BI71713 2067750/Al383718 2638947N28522 y H99843 1148416/AA627205 138014/R63144 70610749073 y T49074 5531252/BM800219 3629874/BE409186 5001398/B1093643 4361336/BF971224 4451023/BG121013 3844815/BE730924 4351451/BF970190 4154033/BF346117 4915206/BG818225 444466/BG118070 6086243/BU149745 4899066/BG829478 6086128/BU140123 4366207/BG108477 3140355/BE280221 54585927/BM016313 4862852/BG766156	6251079/BQ685759
1740729/Al191477 2729947/AW293885 6082577BU174653 2753118/AW275889 2437568/Al884372 2507497/Al961218 5207705/B1771713 2067750/Al383718 263894/N28522 y H99843 11148416/A6627205 138014/R63144 706107149073 y T49074 5531252/BM800219 3629874/BE409186 5001398/Bl093643 4361336/BF971224 4451023/BG121013 3844815/BE730924 4361451/BF970190 4154033/BF346117 4915206/BG818225 4444686/BG118070 6086243/BU149745 4899066/BG829478 6086128/BU180123 4366207/BG108477 3140355/BE280221 5458592/BM016313 4862852/BG765156	5535758/BM468306
2729947/AW293885 6082577BU174653 2753118/AW275889 2437568/Al884372 2507497/Al961218 5207705/BI771713 2067750/Al383718 263894/N28522 y H99843 1148416/AA627205 138014/R63144 706107149073 y T49074 553125/BM800219 3629874/BE409186 5001398/B1093643 436136/BF971224 4451023/BG121013 3844815/BE730924 435145/JBF730190 4154033/BF346117 4915206/BG818225 4444686/BG118070 6086243/BU149745 4899066/BG829478 6086128/BU180123 4366207/BG108477 3140355/BE280221 545852/BM016313 4862852/BG765156	6146330/BU165540
6082577BU174653 2753118/AW275889 2437568/Al884372 2507497/Al961218 5207705/BI771713 2067750/Al383718 263894/N28522 y H99843 1148416/AA627205 138014/R63144 70610/T49073 y T49074 5531252/BM800219 3629874/BE409186 5001398/Bl093643 4361336/BF971224 4451023/BG121013 3844815/BE730924 4361451/BF970190 4154033/BF346117 4915206/BG818225 4444686/BG118070 6086243/BU149745 4899066/BG829478 6086128/BU180123 4366207/BG108477 3140355/BE280221 5459527/BM012505 3627907/BE382922 5418599/BM016313 4862852/BG765156	1740729/Al191477
2753118/AW275889 2437568/Al884372 2507497/Al961218 5207705/Bl771713 2067750/Al383718 263894/N28522 y H99843 1148416/AA627205 138014/R63144 70610/T49073 y T49074 5531252/BM800219 3629874/BE409186 5001398/Bl093643 4361336/BF971224 4451023/BG121013 3844815/BE730924 4361451/BF970190 4154033/BF346117 4915206/BG818225 4444686/BG118070 6086243/BU149745 4899066/BG829478 6086128/BU180123 4366207/BG108477 3140355/BE280221 54589527/BM012505 3627907/BE382922 5418599/BM016313 4862852/BG765156	2729947/AW293885
2437568/Al884372 2507497/Al961218 5207705/BI771713 2067750/Al383718 263894/N28522 y H99843 1148416/AA627205 138014/R63144 70610/T49073 y T49074 5531252/BM800219 3629874/BE409186 5001398/Bi093643 4361336/BF971224 4451023/BG121013 3844815/BE730924 4361451/BF970190 4154033/BF346117 4915206/BG818225 4444686/BG118070 6086243/BU149745 4899066/BG829478 6086128/BU180123 4366207/BG108477 3140355/BE280221 5459527/BM012505 3627907/BE382922 5418599/BM016313 4862852/BG765156	6082577BU174653
2507497/Al961218 5207705/BI771713 2067750/Al383718 263894/N28522 y H99843 1148416/AA627205 138014/R63144 70610/T49073 y T49074 5531252/BM800219 3629874/BE409186 5001398/BI093643 4361336/BF971224 4451023/BG121013 3844815/BE730924 4361451/BF970190 4154033/BF346117 491526/BG818225 444468/BG118070 6086243/BU149745 4899066/BG829478 6086128/BU180123 4366207/BG108477 31140355/BE280221 5459527/BM012505 3627907/BE382922 5418599/BM016313 4862852/BG765156	2753118/AW275889
5207705/BI771713 2067750/Al383718 263894/N28522 y H99843 11148416/AA627205 138014/R63144 70610/T49073 y T49074 5531252/BM800219 3629874/BE409186 5001398/BI093643 4361336/BF971224 4451023/BG121013 3844815/BE730924 4361451/BF970190 4154033/BF346117 4915206/BG818225 4444686/BG118070 6086243/BU149745 4899066/BG829478 6086128/BU180123 4366207/BG108477 3140355/BE280221 5459527/BM012505 3627907/BE382922 5418599/BM016313 4862852/BG765156	2437568/AI884372
2067750/Al383718 263894/N28522 y H99843 11148416/AA627205 138014/R63144 70610/T49073 y T49074 5531252/BM800219 3629874/BE409186 5001398/Bl093643 4361336/BF971224 4451023/BG121013 3844815/BE730924 4361451/BF970190 4154033/BF346117 4915206/BG818225 4444686/BG118070 6086243/BU149745 4899066/BG829478 6086128/BU180123 4366207/BG108477 31140355/BE280221 5459527/BM012505 3627907/BE382922 5418599/BM016313 4862852/BG765156	2507497/AI961218
263894/N28522 y H99843  1148416/AA627205  138014/R63144  70610/T49073 y T49074  5531252/BM800219  3629874/BE409186  5001398/Bi093643  4361336/BF971224  4451023/BG121013  3844815/BE730924  4361451/BF970190  4154033/BF346117  4915206/BG818225  4444686/BG118070  6086243/BU149745  4899066/BG829478  6086128/BU180123  4366207/BG108477  3140355/BE280221  5459527/BM012505  3627907/BE382922  5418599/BM016313  4862852/BG765156	5207705/BI771713
1148416/AA627205  138014/R63144  70610/T49073 y T49074  5531252/BM800219  3629874/BE409186  5001398/BI093643  4361336/BF971224  4451023/BG121013  3844815/BE730924  4361451/BF970190  4154033/BF346117  4915206/BG818225  4444686/BG118070  6086243/BU149745  4899066/BG829478  6086128/BU180123  4366207/BG108477  3140355/BE280221  5459527/BM012505  3627907/BE382922  5418599/BM016313  4862852/BG765156	2067750/AI383718
138014/R63144 70610/T49073 y T49074 5531252/BM800219 3629874/BE409186 5001398/BI093643 4361336/BF971224 4451023/BG121013 3844815/BE730924 4361451/BF970190 4154033/BF346117 4915206/BG818225 4444686/BG118070 6086243/BU149745 4899066/BG829478 6086128/BU180123 4366207/BG108477 3140355/BE280221 5459527/BM012505 3627907/BE382922 5418599/BM016313 4862852/BG765156	263894/N28522 y H99843
70610/T49073 y T49074 5531252/BM800219 3629874/BE409186 5001398/Bl093643 4361336/BF971224 4451023/BG121013 3844815/BE730924 4361451/BF970190 4154033/BF346117 4915206/BG818225 4444686/BG118070 6086243/BU149745 4899066/BG829478 6086128/BU180123 4366207/BG108477 3140355/BE280221 5459527/BM012505 3627907/BE382922 5418599/BM016313 4862852/BG765156	1148416/AA627205
5531252/BM800219 3629874/BE409186 5001398/BI093643 4361336/BF971224 4451023/BG121013 3844815/BE730924 4361451/BF970190 4154033/BF346117 4915206/BG818225 4444686/BG118070 6086243/BU149745 4899066/BG829478 6086128/BU180123 4366207/BG108477 3140355/BE280221 5459527/BM012505 3627907/BE382922 5418599/BM016313 4862852/BG765156	138014/R63144
3629874/BE409186 5001398/BI093643 4361336/BF971224 4451023/BG121013 3844815/BE730924 4361451/BF970190 4154033/BF346117 4915206/BG818225 4444686/BG118070 6086243/BU149745 4899066/BG829478 6086128/BU180123 4366207/BG108477 3140355/BE280221 5459527/BM012505 3627907/BE382922 5418599/BM016313 4862852/BG765156	70610/T49073 y T49074
5001398/BI093643 4361336/BF971224 4451023/BG121013 3844815/BE730924 4361451/BF970190 4154033/BF346117 4915206/BG818225 4444686/BG118070 6086243/BU149745 4899066/BG829478 6086128/BU180123 4366207/BG108477 3140355/BE280221 5459527/BM012505 3627907/BE382922 5418599/BM016313 4862852/BG765156	5531252/BM800219
4361336/BF971224 4451023/BG121013 3844815/BE730924 4361451/BF970190 4154033/BF346117 4915206/BG818225 4444686/BG118070 6086243/BU149745 4899066/BG829478 6086128/BU180123 4366207/BG108477 3140355/BE280221 5459527/BM012505 3627907/BE382922 5418599/BM016313 4862852/BG765156	3629874/BE409186
4451023/BG121013 3844815/BE730924 4361451/BF970190 4154033/BF346117 4915206/BG818225 4444686/BG118070 6086243/BU149745 4899066/BG829478 6086128/BU180123 4366207/BG108477 3140355/BE280221 5459527/BM012505 3627907/BE382922 5418599/BM016313 4862852/BG765156	5001398/BI093643
3844815/BE730924 4361451/BF970190 4154033/BF346117 4915206/BG818225 4444686/BG118070 6086243/BU149745 4899066/BG829478 6086128/BU180123 4366207/BG108477 3140355/BE280221 5459527/BM012505 3627907/BE382922 5418599/BM016313 4862852/BG765156	4361336/BF971224
4361451/BF970190 4154033/BF346117 4915206/BG818225 4444686/BG118070 6086243/BU149745 4899066/BG829478 6086128/BU180123 4366207/BG108477 3140355/BE280221 5459527/BM012505 3627907/BE382922 5418599/BM016313 4862852/BG765156	4451023/BG121013
4154033/BF346117  4915206/BG818225  4444686/BG118070  6086243/BU149745  4899066/BG829478  6086128/BU180123  4366207/BG108477  3140355/BE280221  5459527/BM012505  3627907/BE382922  5418599/BM016313  4862852/BG765156	3844815/BE730924
4915206/BG818225 4444686/BG118070 6086243/BU149745 4899066/BG829478 6086128/BU180123 4366207/BG108477 3140355/BE280221 5459527/BM012505 3627907/BE382922 5418599/BM016313 4862852/BG765156	4361451/BF970190
4444686/BG118070 6086243/BU149745 4899066/BG829478 6086128/BU180123 4366207/BG108477 3140355/BE280221 5459527/BM012505 3627907/BE382922 5418599/BM016313 4862852/BG765156	4154033/BF346117
6086243/BU149745 4899066/BG829478 6086128/BU180123 4366207/BG108477 3140355/BE280221 5459527/BM012505 3627907/BE382922 5418599/BM016313 4862852/BG765156	4915206/BG818225
4899066/BG829478 6086128/BU180123 4366207/BG108477 3140355/BE280221 5459527/BM012505 3627907/BE382922 5418599/BM016313 4862852/BG765156	4444686/BG118070
6086128/BU180123 4366207/BG108477 3140355/BE280221 5459527/BM012505 3627907/BE382922 5418599/BM016313 4862852/BG765156	6086243/BU149745
4366207/BG108477 3140355/BE280221 5459527/BM012505 3627907/BE382922 5418599/BM016313 4862852/BG765156	4899066/BG829478
3140355/BE280221 5459527/BM012505 3627907/BE382922 5418599/BM016313 4862852/BG765156	6086128/BU180123
5459527/BM012505 3627907/BE382922 5418599/BM016313 4862852/BG765156	4366207/BG108477
3627907/BE382922 5418599/BM016313 4862852/BG765156	3140355/BE280221
5418599/BM016313 4862852/BG765156	5459527/BM012505
4862852/BG765156	3627907/BE382922
	5418599/BM016313
14877780/BG769917	4862852/BG765156
	14877780/BG769917

Número de ID de clon / número(s) de acceso a GenBank
3162024/BE262076
5182393/BI518189 y BI517759
5417445/BM015407
16015713/BU175170
417111/W87557 y W87461
4580196/BG395022
16271908/BQ648651
6298174BQ652789
6271910/BQ653475
6271630/BQ647246
798664/BM928534
6652195/BU860925
6299767/BQ651366
5225259/BI838658
4895399/BI198873
740128/A477534 y AA479051
617256/BU178924
4562784/BG326197
3957711/BE902093
6293406/BQ650920
Ninguno (secuencias de ARNm)/BT007231.1 y NM_014298.2 y AK090801.1 y D78177.1
Ninguno/CB156177.1 y BM711970.1 y BM675916.1 y BM675420.1 y BM714918.1 y AA337770.1 y AA305670.1 y AA305611.1 y BU622082.1 y AV705250.1 y AL528086.2 y AL531128.2 y AL543783.2 y AL548817.2 y AL554386.2 y AL563056.2 y AL563955.2 y AL570131.2 y AL573234.2 y BF956608.1 y AV648116.1 y AV645766.1 y BF742969.1 y AL577191.2 y CD050133.1 y CD049103.1 y BX417895.1 y CB529044.1 y CD250136.1 y AA054830.1 y BX508036.1 y BX454610.1

En otro conjunto de realizaciones preferidas de la invención, puede usarse cualquier secuencia, o parte única de la misma, de las secuencias HOXB13 del grupo I.M.A.G.E. Consortium NM\_006361, así como los grupos UniGene Homo sapiens Hs.66731. Asimismo, puede usarse cualquier secuencia que codifique todo o parte de la proteína codificada por cualquier secuencia de HOXB13 descrita en este documento. La secuencia consenso del grupo I.M.A.G.E. Consortium es la siguiente, con la región codificada asignada (finalizando con un codón de terminación) subrayada y precedida por la región no traducida y/o no codificada 5' y seguida de la región no traducida y/o no codificada 3':

10 SEC ID Nº 6 (secuencia consenso para HOXB13, identificada como NM\_006361 o NM\_006361.2):

5

cgaatgcagg cgacttgcga gctgggagcg atttaaaacg ctttggattc ccccggcctg ggtggggaga gegagetggg tgecccctag attecccgec eccgeacete atgagecgae cctcggctcc atggagcccg gcaattatgc caccttggat ggagccaagg atatcgaagg cttgctggga gegggagggg ggeggaatet ggtegeeeac teceetetga ceagecacee agoggogot acgetgatge etgetgteaa etatgeceee ttggatetge caggetegge ggagccgcca aagcaatgcc acccatgccc tggggtgccc caggggacgt ccccagctcc egtgeettat ggttactttg gaggegggta etaeteetge egagtgteee ggageteget gaaaccetgt geocaggeag ecaccetgge egegtacece geggagacte ceaeggeegg ggaagagtac cecagtegee ceaetgagtt tgeettetat eegggatate egggaaceta ccacgctatg gecagttace tggacgtgtc tgtggtgcag actctgggtg ctcctggaga accgcgacat gactccctgt tgcctgtgga cagt<u>taccag tcttgggctc tcgctggtgg</u> ctggaacago cagatgtgtt gocagggaga acag<u>aac</u>cca<u>ccaggtocot tttgga</u>aggo ageatttgea gaeteeageg ggeageacee teetgaegee tgegeettte gtegeggeeg caagaaacgc attccgtaca gcaaggggca gttgcgggag ctggagcggg agtatgcggc taacaagttc atcaccaagg acaagaggcg caagatctcg gcagccacca gcctctcgga gogocagatt accatotygt ttoagaaccy coggetoaaa gagaagaagg ttotogocaa ggtgaagaac agcgctaccc cttaagagat ctccttgcct gggtgggagg agcgaaagtg ggggtgtcct ggggagacca gaaacctgcc aagcccaggc tggggccaag gactctgctg agaggeeet agagacaaca ceetteeeag gecaetgget getggaetgt teeteaggag eggeetgggt acceagtatg tgeagggaga eggaaceeea tgtgaeagge ceaeteeace agggttecca aagaacetgg eccagteata ateatteate etcacagtgg caataateae gataaccagt

A continuación se enumeran los números de ID de clon I.M.A.G.E. Consortium y los correspondientes números de acceso a GenBank de secuencias identificadas como pertenecientes a los grupos I.M.A.G.E. Consortium y UniGene. También se incluyen secuencias que no están identificadas con un número de ID de clon pero aún así son de HOXB13. Las secuencias incluyen aquellas de las secuencias de hebra "con sentido" y complementaria correspondientes a HOXB13. La secuencia de cada número de acceso a GenBank se presenta en el Apéndice adjunto.

Número de ID de clon	Números de acceso a GenBank
4250486	BF676461, BC007092
5518335	BM462617
4874541	BG752489
4806039	BG778198
3272315	CB050884, CB050885
4356740	BF96519
6668163	BU930208
1218366	AA807966
2437746	Al884491
11187697	AA652388
3647557	BF446158
1207949	AA657924
1047774	AA644637
3649397	BF222357
971664	AA527613
996191	AA533227
813481	AA456069, AA455572, BX117624

Número de ID de clon	Números de acceso a GenBank
6256333	BQ673782
2408470	Al814453
2114743	Al417272
998548	AA535663
2116027	AI400493
3040843	AW779219
1101311	AA594847
1752062	Al150430
898712	M494387
1218874	AA662643
2460189	Al935940
986283	AA532530
1435135	AA857572
1871750	Al261980
3915135	BE888751
2069668	Al378797
667188	AA234220, AA236353
1101561	AA588193
1170268	Al821103, Al821851, AA635855
2095067	Al420753
4432770	BG180547
783296	AA468306, AA468232
3271646	CB050115, CB050116
1219276	AA661819
30570598	CF146837
30570517	CF146763
30568921	CF144902
3099071	CF141511
3096992	CF139563
3096870	CF139372
3096623	CF139319
3096798	CF139275
30572408	CF122893
2490082	Al972423
2251055	Al918975
2419308	AI826991
2249105	Al686312
2243362	AI655923

Número de ID de clon	Números de acceso a GenBank
30570697	CF146922
3255712	BF476369
3478356	BF057410
3287977	BE645544
3287746	BE645408
3621499	BE388501
30571128	CF147366
30570954	CF147143
Ninguno (secuencias de ARNm)	BT007410, BC007092, U57052, U81599
Ninguno	CB120119, CB125764, AU098628, CB126130, BI023924, BM767063, BM794275, BQ363211, BM932052, AA357646, AW609525, CB126919, AW609336, AW609244, BF855145, AU126914, CB126449, AW582404, BX641644

En una realización preferida, puede usarse cualquier secuencia, o parte única de la misma, de la siguiente secuencia de HOXB13, identificada por BC007092 o BC007092.1, en la práctica de la invención.

### 5 SEC ID Nº 7 (secuencia para HOXB 13):

10

15

AGACTCCCACGGCCGGGAAGAGTACCCCAGCCGCCCCACTGAGTTTGCCTTCTATCCGG GATATCCGGGAACCTACCAGCCTATGGCCAGTTACCTGGACGTGTCTGTGGTGCAGACTC TGGGTGCTCCTGGAGAACCGCGACATGACTCCCTGTTGCCTGTGGACAGTTACCAGTCTT GGGCTCTCGCTGGTGGCTGGAACAGCCAGATGTGTTGCCAGGGAGAACAGAACCCACCAG GTCCCTTTTGGAAGGCAGCATTTGCAGACTCCAGCGGCAGCACCCTCCTGACGCCTGCG CCTTTCGTCGCGGCCGCAAGAAACGCATTCCGTACAGCAAGGGGCAGTTGCGGGAGCTGG AGCGGGAGTATGCGGCTAACAAGTTCATCACCAAGGACAAGAGGCGCAAGATCTCGGCAG CCACCAGCCTCTCGGAGCGCCAGATTACCATCTGGTTTCAGAACCGCCGGGTCAAAGAGA AGAAGGTTCTCGCCAAGGTGAAGAACAGCGCTACCCCTTAAGAGATCTCCTTGCCTGGGT GGGAGGAGCGAAAGTGGGGGTGTCCTGGGGAGACCAGGAACCTGCCAAGCCCAGGCTGGG GCCAAGGACTCTGCTGAGAGGCCCCTAGAGACACCCCTTCCCAGGCCACTGGCTGCTG GACTGTTCCTCAGGAGCGGCCTGGGTACCCAGTATGTGCAGGAGACGGAACCCCATGTG AGTGGCAATAATCACGATAACCAGTACTAGCTGCCATGATCGTTAGCCTCATATTTTCTA TCTAGAGCTCTGTAGAGCACTTTAGAAACCGCTTTCATGAATTGAGCTAATTATGAATAA ATTTGGAAAAAAAAAAAAAAAAAAAAAAAAAAAAAA

Las secuencias identificadas por SEC ID Nº se proporcionan usando representaciones convencionales de una hebra de ADN empezando a partir del extremos ligado a 5' fosfato hasta el extremo ligado a 3' hidroxilo. La asignación de las regiones codificantes es generalmente por comparación con la secuencia o secuencias consenso y por lo tanto pueden contener inconsistencias relativas a otras secuencias asignadas al mismo grupo. Éstas no tienen efecto sobre la práctica de la invención porque la invención puede ponerse en práctica por el uso de segmentos más cortos (o combinaciones de los mismos) de secuencias únicas para cada una de las tres series descritas anteriormente y afectadas por inconsistencias. Como ejemplos no limitantes, puede usarse un segmento de la secuencia de ácido nucleico IL17BR, CHDH, QPRT, o HOXB13 compuesta por una secuencia de la región no traducida 3' y/o una secuencia desde el extremo 3' de la región codificante como sonda para la detección de la expresión de IL17BR,

CHDH, QPRT, o HOXB13, respectivamente, sin verse afectada por la presencia de ninguna inconsistencia en las regiones codificantes debidas a diferencias entre las secuencias. Asimismo, el uso de un anticuerpo que reconozca específicamente una proteína, o fragmento de la misma, codificada por las secuencias IL17BR, CHDH, QPRT, o HOXB13 descritas en este documento, para detectar su expresión no se vería afectada por la presencia de ninguna inconsistencia en la representación de las regiones codificantes proporcionadas anteriormente.

5

10

15

35

50

55

60

65

Como apreciarán los especialistas en la técnica, algunas de las secuencias anteriores incluyen tramos 3' poli A (o poli T en la hebra complementaria) que no contribuyen a la singularidad de las secuencias descritas. La invención por tanto puede ponerse en práctica con secuencias que carecen de los tramos 3' poli A (o poli T). La singularidad de las secuencias descritas se refiere a las partes o las totalidades de las secuencias que se encuentran solamente en los ácidos nucleicos IL17BR, CHDH, QPRT, o HOXB13, incluyendo las secuencias únicas encontradas en la parte no traducida 3' de los genes. Secuencias únicas preferidas para la práctica de la descripción son aquellas que contribuyen a las secuencias consenso para cada una de las tres series de modo que las secuencias únicas serán útiles para detectar la expresión en una diversidad de individuos en lugar de ser específicas para un polimorfismo presente en algunos individuos. Como alternativa, pueden usarse secuencias únicas para un individuo o una subpoblación. Las secuencias únicas preferidas son preferiblemente de las longitudes de los polinucleótidos de la invención como se analiza en este documento.

Para determinar los niveles de expresión (aumentados o disminuidos) de las secuencias descritas anteriormente en la práctica de la presente invención, puede utilizarse cualquier método conocido en la técnica. En una realización preferida de la invención, se usa la expresión basada en la detección de ARN que hibrida con polinucleótidos que contienen las secuencias descritas anteriormente. Esto se realiza fácilmente por cualquier método de detección o amplificación+detección de ARN conocido o reconocido como equivalente en la técnica tal como, aunque sin limitación, PCR de transcripción inversa (opcionalmente PCR a tiempo real), los métodos descritos en la patente de Estados Unidos 6.794.141, los métodos descritos en la patente de Estados Unidos 6.291.170, y PCR cuantitativa. También pueden usarse métodos para identificar la estabilidad aumentada del ARN (que provoca la observación de una expresión aumentada) o estabilidad disminuida del ARN (que provoca una observación de expresión disminuida). Estos métodos incluyen la detección de secuencias que aumentan o disminuyen la estabilidad de los ARNm que contienen las secuencias IL17BR, CHDH, QPRT, o HOXB13 descritas en este documento. Estos métodos también incluyen la detección de degradación aumentada de ARNm.

En realizaciones particularmente preferidas de la descripción, se usan polinucleótidos que tienen secuencias presentes en las regiones no traducidas y/o no codificantes 3' de las secuencias descritas anteriormente para detectar la expresión o ausencia de expresión de las secuencias IL17BR, CHDH, QPRT, o HOXB13 en células mama en la práctica de la descripción. Dichos polinucleótidos pueden contener opcionalmente secuencias en las partes 3' de las regiones codificantes de las secuencias descritas anteriormente. Los polinucleótidos que contienen una combinación de secuencias de las regiones codificantes y no codificantes 3' preferiblemente tienen las secuencias dispuestas de forma contigua, sin secuencias o secuencias heterólogas intermedias.

Como alternativa, la descripción puede ponerse en práctica con polinucleótidos que tienen secuencias presentes en las regiones no traducidas y/o no codificantes 5' de las secuencias IL17BR, CHDH, QPRT, o HOXB13 en células de mama para detectar sus niveles de expresión. Dichos polinucleótidos pueden contener opcionalmente secuencias encontradas en las partes 5' de las regiones codificantes. Los polinucleótidos que contienen una combinación de secuencias de las regiones codificantes y no codificantes 5' preferiblemente tienen las secuencias dispuestas de forma contigua, son secuencia o secuencias intermedias. La descripción también puede ponerse en práctica con secuencias presentes en las regiones codificantes de IL17BR, CHDH, QPRT, o HOXB13.

Los polinucleótidos preferidos contienen secuencias de regiones no traducidas y/o no codificantes 3' ó 5' de al menos aproximadamente 16, al menos aproximadamente 18, al menos aproximadamente 20, al menos aproximadamente 24, al menos aproximadamente 26, al menos aproximadamente 28, al menos aproximadamente 30, al menos aproximadamente 32, al menos aproximadamente 34, al menos aproximadamente 36, al menos aproximadamente 38, al menos aproximadamente 40, al menos aproximadamente 42, al menos aproximadamente 44, o al menos aproximadamente 46 nucleótidos consecutivos. El término "aproximadamente" como se usa en la fresa previa se refiere a un aumento o disminución de 1 desde el valor numérico establecido. Son incluso más preferidos polinucleótidos que contienen secuencias de al menos o aproximadamente 50, al menos o aproximadamente 100, al menos o aproximadamente 150, al menos o aproximadamente 200, al menos o aproximadamente 250, al menos o aproximadamente 300, al menos o aproximadamente 350, o al menos o aproximadamente 400 nucleótidos consecutivos. El término "aproximadamente" como se usa en la frase precedente se refiere a un aumento o disminución del 10% a partir del valor numérico establecido.

Las secuencias del extremo 3' o 5' de las regiones codificantes descritas anteriormente encontradas en polinucleótidos de la invención son de las mismas longitudes que los descritos anteriormente, excepto que estarían limitadas de forma natural por la longitud de la región codificante. El extremo 3' de una región codificante puede incluir secuencias hasta la mitad 3' de la región codificante. A la inversa, el extremo 5' de una región codificante puede incluir secuencias hasta la mitad 5' de la región codificante. Por supuesto, las secuencias descritas

anteriormente, o las regiones codificantes y polinucleótidos que contienen partes de las mismas, pueden usarse en sus totalidades.

Los polinucleótidos que combinan las secuencias de una región no traducida y/o no codificante 3' y el extremo 3' asociado de la región codificante son preferiblemente de al menos o aproximadamente 100, al menos o aproximadamente 150, al menos o aproximadamente 250, al menos o aproximadamente 300, al menos o aproximadamente 350, o al menos o aproximadamente 400 nucleótidos consecutivos. Preferiblemente, los polinucleótidos usados son del extremo 3' del gen, tal como en aproximadamente 350, aproximadamente 300, aproximadamente 250, aproximadamente 200, aproximadamente 150, aproximadamente 100, o aproximadamente 50 nucleótidos desde la señal de poliadenilación o sitio de poliadenilación de un o gen o secuencia expresada. También pueden usarse polinucleótidos que contienen mutaciones relativas a las secuencias de los genes descritos también siempre que la presencia de las mutaciones aún permita la hibridación para producir una señala detectable.

En otra realización de la invención, pueden usarse polinucleótidos que contienen deleciones de nucleótidos desde el extremo 5' y/o 3' de las secuencias descritas anteriormente. Las deleciones son preferiblemente de 1-5, 5-10, 10-15, 15-20, 20-25, 25-30, 30-35, 35-40, 40-45, 45-50, 50-60, 60-70, 70-80, 80-90, 90-100, 100-125, 125-150, 150-175, ó 175-200 nucleótidos desde el extremo 5' y/o 3', aunque la extensión de las deleciones estaría limitada de forma natural por la longitud de las secuencias descritas y la necesidad de ser capaz de usar los polinucleótidos para la detección de los niveles de expresión.

Otros polinucleótidos de la invención desde el extremo 3' de las secuencias descritas anteriormente incluyen aquellos de cebadores y sondas opcionales para PCR cuantitativa. Preferiblemente, los cebadores y sondas son aquellos que amplifican una región de menos de aproximadamente 350, menos de aproximadamente 300, menos de aproximadamente 250, menos de aproximadamente 150, menos de aproximadamente 150, o menos

En otra realización de la invención, pueden usarse polinucleótidos que contienen partes de las secuencias descritas anteriormente que incluyen el extremo 3' en la práctica de la invención. Dichos polinucleótidos contendrían al menos o aproximadamente 50, al menos o aproximadamente 100, al menos o aproximadamente 150, al menos o aproximadamente 200, al menos o aproximadamente 300, al menos o aproximadamente 350, o al menos o aproximadamente 400 nucleótidos consecutivos desde el extremo 3' de las secuencias descritas.

La descripción, por tanto, también incluye polinucleótidos usados para detectar la expresión de IL17BR, CHDH, QPRT, o HOXB13 en células de mama. Los polinucleótidos pueden comprender un polinucleótido más corto que consiste en secuencias halladas en las SEC ID Nº proporcionadas anteriormente en combinación con secuencias heterólogas no halladas de forma natural en combinación con las secuencias IL17BR, CHDH, QPRT, o HOXB13.

Como ejemplos no limitantes, puede usarse un polinucleótido que comprende una de las siguientes secuencias en la práctica de la invención.

SEC ID Nº 8:

5

10

25

35

40

55

60

65

45 GCTCTCACTGGCAAATGACAGCTCTGTGCAAGGAGCACTCCCAAGTATAAAAATTATTAC

SEC ID Nº 9

TGCCTAATTTCACTCTCAGAGTGAGGCAGGTAACTGGGGCTCCACTGGGTCACTCTGAGA

50 SEC ID Nº 10:

GATCGTTAGCCTCATATTTTCTATCTAGAGCTCTGTAGAGCCACTTTAGAAACCGCTTTCA

La SEC ID Nº 8 es una parte de la secuencia Al240933 mientras que la SEC ID Nº 9 es una parte de la secuencia AJ272267 (ARNm de CHDH). Corresponden a las dos posiciones "60meras" indicadas en la Figura 3. La SEC ID № 10 es un polinucleótido capaz de hibridar con algunas secuencias de HOXB13 como se describe en este documento.

Por tanto, la descripción puede ponerse en práctica con un polinucleótido que consiste en la secuencia de las SEC ID Nº 8, 9 ó 10 en combinación con una o más secuencias heterólogas que no se hallan normalmente con las SEC ID Nº 8, 9 ó 10. Como alternativa, la descripción también puede ponerse en práctica con un polinucleótido que consiste en la secuencia de las SEC ID Nº 8, 9 ó 10 en combinación con una o más secuencias de origen natural que se hallan normalmente con las SEC ID Nº 8, 9 ó 10.

Pueden usarse polinucleótidos con secuencias que comprenden las SEC ID Nº 8 ó 9, de origen natural o sintético, para detectar ácidos nucleicos que se sobre-expresan en células de cáncer de mama que son sensibles, y aquellos que no se sobre-expresan en células de cáncer de mama que son no sensibles, al tratamiento con TAM u otro agente "antiestrógenos" contra el cáncer de mama. Pueden usarse polinucleótidos con secuencias que comprenden

la SEC ID Nº 10, de origen natural o sintético, para detectar ácidos nucleicos que se infra-expresan en células de cáncer de mama que son sensibles, y aquellos que no se Infra-expresan en células de cáncer de mama que son no sensibles, al tratamiento con TAM u otro agente "antiestrógenos" contra el cáncer de mama.

Secuencias adicionales que pueden usarse en polinucleótidos como se ha descrito anteriormente para la SEC ID Nº 8 y 9 es la siguiente, que es complementaria a una parte de las secuencias de IL17BR descritas en este documento:

### SEC ID Nº 11: TCCAATCGTTAGTTAATGCTACATTAGTT

10 Secuencias adicionales que pueden usarse en polinucleótidos como se ha descrito anteriormente para la SEC ID № 10 son la siguiente, que es complementaria a una parte de las secuencias de IL17BR descritas en este documento:

#### SEC ID Nº 12: CAATTCATGAAAGCGGTTTCTAAAG

20

25

30

35

40

45

50

55

60

Además, pueden usarse cebadores de secuencias definidas para amplificar por PCR partes de las secuencias de CHDH para determinar su nivel de expresión. Por ejemplo, pueden usarse cebadores que comprenden las siguientes secuencias para amplificar una parte de la secuencia Al240933.

Cebador directo (SEC ID Nº 13): TGAAGTGTTTTTGCCTGGATCA Cebador inverso (SEC ID Nº 14): CACCACTTTGTTATGAAGACCTTACAA

En algunas realizaciones de la descripción, lo cebadores pueden usarse en métodos de RT-PCR cuantitativa conocidos en la técnica, opcionalmente en presencia de una sonda marcada o detectable que se une a ácidos nucleicos bicatenarios (tal como Sybr Green™) o una sonda específica tal como una sonda "TaqMan". En una realización, dicha sonda puede comprender la secuencia AGTAAGAATGTCTTAAGAAGAGG (SEC ID № 15) para la detección de la expresión de Al240933.

Además, pueden usarse polinucleótidos que contienen otras secuencias, particularmente secuencias únicas, presentes en moléculas de ácido nucleico de origen natural que comprenden las SEC ID Nº 8-15 en la práctica de la descripción.

Otros polinucleótidos para su uso en la práctica de la descripción incluyen aquellos que tienen suficiente homología con aquellos descritos anteriormente para detectar la expresión por el uso de técnicas de hibridación. Dichos polinucleótidos preferiblemente tienen aproximadamente o el 95%, aproximadamente o el 96%, aproximadamente o el 97%, aproximadamente o el 98%, o aproximadamente o el 99% de identidad con secuencias de IL17BR, CHDH, QPRT, o HOXB13 descritas en este documento. La identidad se determina usando el algoritmo BLAST, como se ha descrito anteriormente. Los otros polinucleótidos para su uso en la práctica de la descripción también pueden describirse en base a la capacidad de hibridar con polinucleótidos de la invención en condiciones rigurosas de aproximadamente el 30% v/v a aproximadamente el 50% de formamida y de aproximadamente 0,01 M a aproximadamente 0,15 M de sal para hibridación y de aproximadamente 0,01 M a aproximadamente 0,15 M de sal para las condiciones de lavado a aproximadamente 55 a aproximadamente 65°C o superior, o condiciones equivalentes a las mismas.

En una realización adicional de la descripción, se proporciona una población de moléculas de ácido nucleico monocatenario que comprenden una o ambas hebras de una secuencia humana de IL17BR, CHDH, QPRT, o HOXB13 como sonda, de modo que pueda hibridarse al menos una parte de dicha población con una o ambas hebras de una molécula de ácido nucleico amplificada cuantitativamente a partir del ARN de una célula de cáncer de mama. La población puede ser solamente la hebra antisentido de una secuencia humana de IL17BR, CHDH, QPRT, o HOXB13 de modo que pueda hibridarse una hebra con sentido de una molécula a partir de, o amplificarse a partir de, una célula de cáncer de mama con una parte de dicha población. En el caso de IL17BR o CHDH, la población preferiblemente comprende una cantidad suficientemente en exceso de dicha una o ambas hebras de una secuencia humana de IL17BR o CHDH en comparación con la cantidad de moléculas de ácido nucleico expresadas (o amplificadas) que contienen una secuencia de IL17BR o CHDH complementaria a partir de una célula de mama normal. Esta condición de exceso permite que la cantidad aumentada de expresión de ácido nucleico en una célula de cáncer de mama sea fácilmente detectable como un aumento.

Como alternativa, la población de moléculas monocatenarias es igual a o en exceso de todo de una o ambas hebras de las moléculas de ácido nucleico amplificadas a partir de una célula de cáncer de mama de modo que la población es suficiente para hibridar con todo de una o ambas hebras. Las células preferidas son aquellas de una paciente con cáncer de mama que es ER+ o para la cual se contempla el tratamiento con tamoxifeno o uno o más agentes "antiestrógenos" diferentes contra el cáncer de mama. Las moléculas monocatenarias pueden, por supuesto, ser la forma desnaturalizada de cualquier secuencia de IL17BR, CHDH, QPRT, o HOXB13 que contenga la molécula de ácido nucleico bicatenaria o polinucleótido descrito en este documento.

65 La población también puede describirse como hibridada con una secuencia de IL17BR o CHDH que contiene moléculas de ácido nucleico a un nivel al menos dos veces tan elevado como por moléculas de ácido nucleico de

una célula de mama. Como en las realizaciones descritas anteriormente, las moléculas de ácido nucleico `pueden ser aquellas amplificadas cuantitativamente a partir de una célula de cáncer de mama de modo que reflejen la cantidad de expresión en dicha célula.

La población preferiblemente se inmoviliza en un soporte sólido, opcionalmente en forma de una localización en una microserie. Una parte de la población se hibrida preferiblemente con moléculas de ácido nucleico amplificadas cuantitativamente a partir de una célula de mama no normal o anormal por amplificación de ARN. El ARN amplificado puede ser el obtenido de una célula de cáncer de mama, siempre que la amplificación usada fuera cuantitativa con respecto a secuencias que contienen IL17BR, CHDH, QPRT, o HOXB13.

En otra realización de la descripción, puede usarse expresión basada en la detección del estado de ADN. La detección del ADN de QPRT o HOXB13 metilado, delecionado o inactivado de otro modo, puede usarse como indicación de expresión disminuida hallada en células de mama no normales. Esto puede realizarse fácilmente por métodos basados en PCR conocidos en la técnica. El estado de las regiones promotoras de QPRT o HOXB13 también puede ensayarse como una indicación de expresión disminuida de secuencias de QPRT o HOXB13. Un ejemplo no limitante es el estado de metilación de secuencias halladas en la región promotora.

A la inversa, puede usarse la detección del ADN de una secuencia amplificada como indicación de expresión aumentada hallada en células de mama no normales. Esto puede realizarse fácilmente por métodos basados en PCR, de hibridación fluorescente *in situ* (FISH) e hibridación de cromosomas *in situ* (CISH) conocidos en la técnica.

Una realización preferida que usa un ensayo basado en ácido nucleico para determinar la expresión es por inmovilización de una o más de las secuencias identificadas en este documento en un soporte sólido incluyendo, aunque sin limitación, un sustrato sólido como una serie o perlas o tecnología basada en perlas como se sabe en la técnica. Como alternativa, también pueden usarse ensayos de expresión basados en solución conocidos en la técnica. La secuencia o secuencias inmovilizadas pueden estar en forma de polinucleótidos como se describe en este documento, de modo que el polinucleótidos sería capaz de hibridar con un ADN o ARN correspondiente a la secuencia o secuencias.

30 El polinucleótido o polinucleótidos inmovilizados pueden usarse para determinar el estado de muestras de ácido nucleico preparadas a partir de una célula o células de cáncer de mama de muestra, opcionalmente como parte de un método para detectar el estado ER en dicha célula o células. Sin limitar la descripción, dicha célula puede ser de un paciente sospechoso de estar afectado con, o en riesgo de desarrollar, cáncer de mama. El polinucléotido o polinucleótidos inmovilizados tiene que se solamente suficientes para hibridar específicamente con las moléculas de ácido nucleico correspondientes obtenidas de la muestra (y para la exclusión de hibridación detectable o significativa con otras moléculas de ácido nucleico).

En otra realización de la descripción, puede usarse una proporción de los niveles de expresión de dos de los genes descritos para predecir la respuesta al tratamiento con TAM u otro SERM. Preferiblemente, la proporción es la de dos genes con patrones opuestos de expresión, tal como un gen infra-expresado a un gen sobre-expresado, en correlación con el mismo fenotipo. Ejemplos no limitantes incluyen la proporción de HOXB13 sobre IL17BR o la proporción de QPRT sobre CHDH. Este aspecto de la invención se basa en parte en la observación de que dicha proporción tiene una correlación más fuerte con el resultado del tratamiento con TAM que el nivel de expresión de cualquier gen solo. Por ejemplo, la proporción de HOXB13 sobre IL17BR tiene una precisión de clasificación observada del 77%.

Como ejemplo no limitante, pueden usarse los valores Ct de detección basada en Q-PCR de los niveles de expresión génica para obtener una proporción para predecir la respuesta al tratamiento con uno o más agentes "antiestrógenos" contra el cáncer de mama.

#### Realizaciones adicionales de la invención

10

15

20

25

40

45

50

55

60

65

En realizaciones en las que tiene que analizarse solamente uno o unos pocos genes, el ácido nucleico obtenido de la célula o células de cáncer de mama de muestra puede amplificarse preferentemente por el uso de cebadores apropiados de modo que se amplifiquen solamente los genes a analizar para reducir las señales de fondo contaminantes de otros genes expresados en la célula de mama. Como alternativa, y cuando tienen que analizarse múltiples genes o cuando se usan muy pocas células (o una célula), el ácido nucleico de la muestra puede amplificarse de forma global antes de la hibridación de los polinucleótidos inmovilizados. Por supuesto, puede marcarse directamente y usarse el ARN o el equivalente de ADNc del mismo, sin amplificación, por métodos conocidos en la técnica.

También puede usarse la expresión de secuencias basada en la detección de una presencia, aumento o disminución en los niveles de proteínas o actividad. La detección puede realizarse por cualquier procedimiento basado en inmunohistoquímica (IHC), basado en fluido corporal (en el que un polipéptido IL17BR, CHDH, QPRT o HOXB13, o fragmento del mismo, se encuentra en un fluido corporal tal como, pero no se limita, a sangre), basado en anticuerpos (incluyendo autoanticuerpos contra la proteína, si están presente), basado en células exfoliadas (del

cáncer), basado en espectroscopía de masas y basado en imágenes (incluyendo el uso de ligando marcado, cuando esté disponible) conocido en la técnica y reconocido según convenga para la detección de la proteína. Los procedimientos basados en anticuerpos y en imágenes son adicionalmente útiles para la localización de tumores después de la determinación de cáncer usando células obtenidas por un procedimiento no invasivo (tal como lavado ductal o aspiración con aguja fina), en el que la fuente de las células cancerosas es desconocida. Un anticuerpo marcado o ligando puede usarse para localizar el (los) carcinoma(s) dentro de una paciente.

Anticuerpos para su uso en tales procedimientos de detección incluyen anticuerpos policionales, opcionalmente aislados de fuentes que se producen naturalmente cuando están disponibles, y anticuerpos monoclonales, que incluyen aquellos preparados por el uso de polipéptidos IL17BR, CHDH, QPRT o HOXB13 (o fragmentos de los mismos) como antígenos. Tales anticuerpos, además de fragmentos de los mismos (que incluyen, pero no se limitan a, fragmentos Fab) sirven para detectar o diagnosticar células de mama no normales o cancerosas en virtud de su capacidad para unirse específicamente a polipéptidos IL17BR, CHDH, QPRT o HOXB13 para la exclusión de otros polipéptidos que producen una señal detectable. También pueden usarse anticuerpos recombinantes, sintéticos e híbridos con la misma capacidad en la práctica de la divulgación. Los anticuerpos pueden generarse fácilmente por inmunización con un polipéptido IL17BR, CHDH, QPRT o HOXB13 (o fragmento del mismo), y también pueden usarse sueros policionales en la práctica de la divulgación.

Los procedimientos de detección basados en anticuerpos son muy conocidos en la técnica e incluyen ensayo tipo sándwich y de ELISA, además de ensayos basados en transferencia Western y citometría de flujo como ejemplos no limitantes. Muestras para análisis en tales procedimientos incluyen cualquiera que contenga polipéptidos IL17BR, CHDH, QPRT o HOXB13 o fragmentos de los mismos. Ejemplos no limitantes incluyen aquellos que contienen células de mama y contenidos de células, además de fluidos corporales (incluyendo sangre, suero, saliva, líquido linfático, además de secreciones de la mucosa y otras celulares como ejemplos no limitantes) que contienen los polipéptidos.

Las realizaciones de ensayo anteriores pueden usarse de varias formas diferentes para identificar o detectar la respuesta al tratamiento con TAM u otro agente "antiestrógeno" contra cáncer de mama basándose en la expresión génica en una muestra de células de cáncer de mama de una paciente. En algunos casos, esto reflejaría un cribado secundario para la paciente, que puede ya haberse sometido a una mamografía o examen físico como cribado primario. Si el cribado primario es positivo, la posterior biopsia con aguja, lavado ductal, aspiración con aguja fina u otro procedimiento mínimamente invasivo análogo puede proporcionar la muestra para su uso en las realizaciones de ensayo antes, simultáneamente con o después de ensayar el estado de RE. La presente invención es particularmente útil en combinación con protocolos no invasivos tales como lavado ductal o aspiración con aguja fina, para preparar una muestra de células de mama.

La presente invención proporciona un conjunto más objetivo de criterios en forma de perfiles de expresión génica de un conjunto discreto de genes para discriminar (o delinear) un conjunto discreto de genes, para discriminar (o delinear) entre desenlaces de cáncer de mama. En realizaciones particularmente preferidas de la invención, los ensayos se usan para discriminar entre desenlaces buenos y malos después del tratamiento con tamoxifeno u otro agente "antiestrógeno" contra cáncer de mama. Pueden realizarse comparaciones que discriminan entre desenlaces después de aproximadamente 10, aproximadamente 20, aproximadamente 30, aproximadamente 40, aproximadamente 50, aproximadamente 60, aproximadamente 70, aproximadamente 80, aproximadamente 90, aproximadamente 100 o aproximadamente 150 meses.

Aunque los desenlaces de supervivencia buenos y malos pueden definirse relativamente en comparación entre sí, un desenlace "bueno" puede visualizarse como una tasa de supervivencia mejor del 50% después de aproximadamente 60 meses de la intervención posquirúrgica para extirpar tumor(es) de cáncer de mama. Un desenlace "bueno" también puede ser una tasa de supervivencia mejor de aproximadamente el 60%, aproximadamente el 70%, aproximadamente el 80% o aproximadamente el 90% después de aproximadamente 60 meses de la intervención posquirúrgica. Un desenlace "malo" puede visualizarse como una tasa de supervivencia del 50% o menos después de aproximadamente 60 meses de la intervención posquirúrgica para extirpar tumor(es) de cáncer de mama. Un desenlace "malo" también puede ser una tasa de supervivencia de aproximadamente el 70% o menos después de aproximadamente 40 meses, o aproximadamente una tasa de supervivencia de aproximadamente el 80% o menos después de aproximadamente 20 meses de la intervención posquirúrgica.

En otra realización de la divulgación basada en la expresión de algunos genes, el aislamiento y el análisis de una muestra de células de cáncer de mama puede realizarse del siguiente modo:

- (1) Se realiza lavado ductal u otro procedimiento no invasivo en una paciente para obtener una muestra.
- (2) La muestra se prepara y se recubre sobre un portaobjetos de microscopio. Obsérvese que el lavado ductal produce agrupaciones de células que se examinan citológicamente como se ha establecido anteriormente.
- (3) El anatomopatólogo o software de análisis de imágenes barre la muestra para la presencia de células atípicas.

65

60

5

10

15

20

25

30

35

40

45

50

55

- (4) Si se observan células atípicas, aquellas células se recogen (por ejemplo, por microdisección tal como LCM).
- (5) Se extrae ARN de las células recogidas.

10

15

20

25

30

35

50

55

60

65

(6) Se ensaya el ARN, directamente o después de la conversión en ADNc o amplificación del mismo, para la expresión de secuencias de IL17BR, CHDH, QPRT y/o HOXB13.

Con el uso de la presente invención, los médicos expertos pueden prescribir o detener el tratamiento con TAM u otro agente "antiestrógeno" contra cáncer de mama basándose en el pronóstico determinado por la práctica de la presente invención.

La discusión anterior también es aplicable cuando se detecta una lesión palpable, seguido de aspiración con aguja fina o biopsia con aguja de células de la mama. Las células se siembran en placa y son revisadas por una anatomopatólogo o sistema de obtención de imágenes automatizado que selecciona células para el análisis como se ha descrito anteriormente.

Sin embargo, la presente invención también puede usarse con biopsias de tejido sólido, que incluyen aquellas guardadas como un espécimen FFPE. Por ejemplo, una biopsia sólida puede recogerse y prepararse para visualización, seguido de determinación de la expresión de uno o más genes identificados en el presente documento para determinar el desenlace del cáncer de mama. Como otro ejemplo no limitante, una biopsia sólida puede recogerse y prepararse para visualización, seguido de determinación de la expresión de IL17BR, CHDH, QPRT y/o HOXB13. Un medio preferido es mediante el uso de hibridación *in situ* con sonda(s) que identifican polinucleótidos o proteínas para ensayar la expresión de dicho(s) gen(es).

En un procedimiento alternativo, la biopsia de tejido sólido puede usarse para extraer moléculas, seguido de análisis de la expresión de uno o más genes. Esto proporciona la posibilidad de excluir la necesidad de visualización y recogida de sólo células cancerosas o células que se sospecha que son cancerosas. Este procedimiento puede por supuesto modificarse de forma que sólo se recojan células que han sido seleccionadas positivamente y se usan para extraer moléculas para el análisis. Esto requeriría la visualización y selección como un requisito previo al análisis de la expresión génica. En el caso de una muestra FFPE, las células pueden obtenerse seguido de extracción, amplificación y detección de ARN como se describe en el presente documento.

En una alternativa a lo anterior, la(s) secuencia(s) identificada(s) en el presente documento puede(n) usarse como parte de una PCR simple o ensayo basado en matriz simplemente para determinar la respuesta al tratamiento con TAM u otro agente "antiestrógeno" contra cáncer de mama mediante el uso de una muestra de un procedimiento de muestreo no invasivo o mínimamente invasivo. La detección de la expresión de secuencias de muestras puede ser mediante el uso de una única micromatriz capaz de ensayar la expresión de las secuencias desveladas, además de otras secuencias, que incluyen secuencias conocidas por no variar en los niveles de expresión entre células de mama normales y no normales, por comodidad y precisión mejorada.

- 40 Otros usos de la presente invención incluyen proporcionar la capacidad para identificar muestras de células de cáncer de mama que tienen diferentes respuestas a tratamiento con TAM u otro agente "antiestrógeno" contra cáncer de mama para investigación o estudio adicional. Esto proporciona un avance basado en criterios genéticos/moleculares objetivos.
- 45 En otra realización más de la divulgación basada en la expresión de múltiples genes en un patrón o perfil de expresión, el aislamiento y análisis de una muestra de células de cáncer de mama puede realizarse del siguiente modo:
  - (1) Se realiza lavado ductal u otro procedimiento no invasivo en un paciente para obtener una muestra.
  - (2) La muestra se prepara y se recubre sobre un portaobjetos de microscopio. Obsérvese que el lavado ductal produce agrupaciones de células que se examinan citológicamente como se ha establecido anteriormente.
  - (3) El anatomopatólogo o software de análisis de imágenes barre la muestra para la presencia de células no normales y/o de cáncer de mama atípicas.
  - (4) Si se observan células atípicas, aquellas células se recogen (por ejemplo, por microdisección tal como LCM).
  - (5) Se extrae ARN de las células recogidas.
  - (6) El ARN se purifica, se amplifica y se marca.
  - (7) El ácido nucleico marcado se pone en contacto con una micromatriz que contiene polinucleótidos complementarios a todo o parte de uno o más de los genes identificados en el presente documento como que guardan relación con discriminaciones entre desenlaces de cáncer de mama bajo condiciones de hibridación adecuadas, luego se procesan y se barren para obtener un patrón de intensidades de cada sitio (con respecto a un control para la expresión génica general en células) que determinan el nivel de expresión del (de los) gen(es) en las células.
  - (8) El patrón de intensidades se analiza por comparación con los patrones de expresión de los genes en muestras de células de cáncer de mama conocidas que guardan relación con desenlaces (con respecto al mismo control).

Un ejemplo específico del procedimiento anterior sería realizar lavado ductal tras un cribado primario, observar y recoger células no normales y/o atípicas para el análisis. La comparación con patrones de expresión conocidos tales como aquellos hechos posibles por un modelo generado por un algoritmo (tal como, pero no se limitan a, análisis tipo vecino más próximo, SVM o redes neurales) con datos de expresión génica de referencia para los diferentes desenlaces de supervivencia de cáncer de mama identifica las células que guardan relación con sujetos con desenlaces buenos o malos. Otro ejemplo sería tomar un tumor de mama extirpado de un sujeto después de intervención quirúrgica, opcionalmente convirtiendo todo o parte de él en una muestra FFPE antes del posterior aislamiento y preparación de células de cáncer de mama del tumor para la determinación/identificación de células atípicas, no normales o cancerosas, y aislamiento de dichas células seguido de las etapas 5 a 8 anteriores.

Alternativamente, la muestra puede permitir la recogida de células tanto normales, además de cancerosas, para análisis. Los patrones de expresión génica para cada una de estas dos muestras se compararán entre sí, además del modelo, y dichas comparaciones normales frente a individuales basadas en el conjunto de datos de referencia. Este enfoque puede ser significativamente más poderoso que el que las células cancerosas sólo se aproximan debido a que utiliza significativamente más información de las células normales y las diferencias entre células normales y cancerosas (en tanto los conjuntos de datos de la muestra como de referencia) para determinar el desenlace de cáncer de mama de la paciente basándose en expresión génica en las células cancerosas de la muestra

Los genes identificados en el presente documento también pueden usarse para generar un modelo que puede predecir los desenlaces de supervivencia y reaparición de cáncer de mama de una muestra de células de mama RE+ basándose en la expresión de los genes identificados en la muestra. Un modelo tal puede generarse por cualquiera de los algoritmos descritos en el presente documento o de otro modo conocidos en la técnica, además de aquellos reconocidos como equivalentes en la materia usando gen(es) (y subconjuntos de los mismos) desvelados en el presente documento para la identificación de desenlaces de cáncer de mama. El modelo proporciona un medio para comparar los perfiles de expresión de gen(es) del subconjunto de la muestra con los perfiles de datos de referencia usados para construir el modelo. El modelo puede comparar el perfil de la muestra con cada uno de los perfiles de referencia o con un modelo que define delineaciones hechas basándose en los perfiles de referencia. Adicionalmente puede usarse valores relativos del perfil de la muestra en comparación con el modelo o perfiles de referencia.

En una realización preferida de la invención, muestras de células de mama identificadas como normales y cancerosas del mismo sujeto pueden analizarse, opcionalmente mediante el uso de una única micromatriz, para sus perfiles de expresión de los genes usados para generar el modelo. Esto proporciona un medio ventajoso de identificar desenlaces de supervivencia y reaparición basados en diferencias relativas de los perfiles de expresión de la muestra normal. Esas diferencias pueden luego usarse en la comparación con diferencias entre datos de referencia normales y cancerosos individuales que también se usaron para generar el modelo.

# Artículos de fabricación

10

15

20

25

30

35

40

45

50

55

60

Los materiales y procedimientos de la presente invención son idealmente aptos para la preparación de kits producidos según procedimientos muy conocidos. Los presentes inventores describen kits que comprenden agentes (como los polinucleótidos y/o anticuerpos descritos en el presente documento como ejemplos no limitantes) para la detección de la expresión de las secuencias desveladas. Se proporcionan tales kits, que opcionalmente comprenden el agente con una descripción identificadora o etiqueta o instrucciones referentes a su uso en los procedimientos de la presente invención. Un kit tal puede comprender recipientes, cada uno con uno o más de los diversos reactivos (normalmente en forma concentrada) utilizados en los procedimientos que incluyen, por ejemplo, micromatrices prefabricadas, tampones, los trifosfatos de nucleótidos apropiados (por ejemplo, dATP, dCTP, dGTP y dTTP; o rATP, rCTP, rGTP y UTP), transcriptasa inversa, ADN polimerasa, ARN polimerasa, y uno o más complejos de cebadores de la presente invención (por ejemplo, poli(T) de longitud apropiada o cebadores al azar ligados a un promotor reactivo con la ARN polimerasa). Normalmente también se incluirá un conjunto de instrucciones.

Los procedimientos proporcionados por la presente invención también pueden automatizarse por completo o en parte. Todos los aspectos de la presente invención también pueden ponerse en práctica de forma que consistan esencialmente en un subconjunto de los genes desvelados para la exclusión de material irrelevante para la identificación de desenlaces de supervivencia de cáncer de mama mediante una muestra que contiene células.

Habiendo descrito ahora generalmente la invención, la misma se entenderá más fácilmente mediante referencia a los siguientes ejemplos que se proporcionan a modo de ilustración, y que no pretenden ser limitantes de la presente invención, a menos que se especifique.

## **Ejemplos**

## Ejemplo 1

20

25

30

50

55

60

65

### 5 Procedimientos generales

### Criterios de selección de pacientes y tumores y diseño del estudio

Los criterios de inclusión de pacientes para este estudio fueron: mujeres diagnosticadas en el Hospital general de Massachusetts (MGH) entre 1987 y 2000 con cáncer de mama positivo para RE, tratamiento con cirugía de mama convencional (mastectomía radical modificada o lumpectomía) y radiación, seguido de cinco años del adyuvante sistémico tamoxifeno; ninguna paciente recibió quimioterapia antes de la reaparición. Los datos clínicos y de seguimiento se derivaron del registro de tumores del MGH. No faltaron datos del registro y todos los registros médicos disponibles se registraron como un segundo escalón de la confirmación de datos.

Todos los especímenes de tumor recogidos en el momento del diagnóstico inicial se obtuvieron de repositorios de tejidos congelados e incorporados en parafina fijada a formalina (FFPE) en el Hospital general de Massachusetts. Las muestras tumorales con más del 20% de células tumorales se seleccionaron con una mediana superior al 75% para todas las muestras. Cada muestra se evaluó para las siguientes características: tipo de tumor (ductal frente a lobular), tamaño del tumor y grado histológico combinado de Nottingham. La expresión del receptor de estrógeno y progesterona se determinó por análisis de unión a hormona bioquímicos y/o por tinción inmunohistoquímica como se ha descrito (Long, A.A. y col. "High-specificity in-situ hybridization. Methods and application." Diagn Mol Pathol 1, 45-57 (1992)); la positividad del receptor se definió como superior a 3 fmol/mg de tejido tumoral (Long y col.) y superior al 1% de tinción nuclear para los ensayos bioquímicos e inmunohistoquímicos, respectivamente.

El diseño del estudio es del siguiente modo: se seleccionó un conjunto de entrenamiento de 60 especímenes de cáncer de mama congelados para identificar firmas de expresión génica predictivas de desenlace o respuesta, en el entorno de terapia de tamoxifeno adyuvante. Los tumores de pacientes que respondieron al tratamiento se hicieron corresponder con los de pacientes que no respondieron al tratamiento con respecto a estadificación de TNM y grado del tumor. La expresión génica diferencial identificada en el conjunto de entrenamiento se validó en un grupo independiente de 20 tumores de mama invasivos con muestras de tejido incorporado en parafina fijado a formalina (FFPE).

## LCM, aislamiento y amplificación de ARN

Con cada muestra tumoral congelada dentro de la cohorte de 60 casos, el ARN se aisló de tanto una sección de tejido completo de 8 μm de espesor como de una población altamente enriquecida de 4.000-5.000 células epiteliales malignas adquiridas por una microdisección de captura láser usando un sistema de LCM PixCell Ile (Arcturus, Mountain View, CA). De cada muestra tumoral dentro del conjunto de prueba de 20 casos, el ARN se aisló de cuatro secciones de tejido FFPE de 8 μm de espesor. El ARN aislado se sometió a una ronda de transcripción *in vitro* con T7 polimerasa usando el kit RiboAmp™ (muestras congeladas) u otro sistema para muestras FFPE según instrucciones del fabricante (Arcturus Bioscience, Inc., Mountain View, CA para RiboAmp™). Se generó ARNc marcado por una segunda ronda de transcripción *in vitro* de ARN basada en T7 en presencia de 5-[3-aminoalil]uridin-5'-trifosfato (Sigma-Aldrich, St. Louis, MO). El ARN de referencia humano universal (Stratagene, San Diego, CA) se amplificó del mismo modo. El ARNa purificado se conjugó después con colorante Cy5 (muestras experimentales) o Cy3 (muestra de referencia) (Amersham Biosciences).

### Análisis de micromatrices

Se fabricó una micromatriz de oligonucleótidos (60-meros) de 22.000 genes diseñada por encargo usando tecnología de síntesis *in situ* de chorro de tinta (Agilent Technologies, Palo Alto, CA). Se co-hibridaron ARN de muestra marcado con Cy5 y ARN de referencia marcado con Cy3 a 65°C, 1X tampón de hibridación (Agilent Technologies). Los portaobjetos se lavaron a 37°C con 0,1X SSC/ 0,005% de Triton X-102. El análisis de imágenes se realizó usando el software de análisis de imágenes Agilent. Las relaciones brutas de Cy5/Cy3 se normalizaron usando regresión no lineal dependiente de la intensidad.

Una matriz de datos matriz que consistía en relaciones de Cy5/Cy3 normalizadas de todas las muestras se centró en la mediana para cada gen. Se calculó la varianza de cada gen con respecto a todas las muestras y se seleccionó el primer 25% de genes de alta varianza (5.475) para análisis adicionales. Las pruebas de identificación y permutación para la significancia de la expresión génica diferencial se realizaron usando BRB ArrayTools, desarrollado por Dr. Richard Simon y Amy Peng (véase el sitio http en linus.nci.nih.gov/BRB-Array-Tools.html). El análisis de agrupaciones jerárquicas se realizó con el software GeneMaths (Applied-Maths, Bélgica) usando correlación de cosenos y enlace completo. Todos los otros procedimientos estadísticos (prueba de la t de dos muestras, análisis de la característica de operación del receptor, regresión logística multivariable y análisis de supervivencia) se realizaron en el entorno estadístico R de fuente abierta (véase el sitio http en <a href="www.r-project.org">www.r-project.org</a>). La prueba estadística de significancia de curvas ROC fue mediante el procedimiento de DeLong ("Comparing the areas under two or more correlated receiver operating characterístic curves: a nonparametric approach". Biometrics 44, 837-45 (1988)). La

supervivencia sin enfermedad se calculó a partir de la fecha del diagnóstico. Los acontecimientos se puntuaron como la primera metástasis distante, y se censuraron los pacientes que siguieron sin enfermedad en el último seguimiento. Las curvas de supervivencia se calcularon por las estimaciones de Kaplan-Meier y se compararon por pruebas del orden logarítmico.

### Análisis por PCR cuantitativa en tiempo real

La PCR en tiempo real se realizó en muestras de entrenamiento de 59 de los 60 casos (se excluyó un caso debido a materiales insuficientes) y las muestras de validación de 20 casos. Brevemente, 2 μg de ARN amplificado se convirtieron en ADNc bicatenario. Para cada caso se usaron 12 ng de ADNc por triplicado para PCR en tiempo real con un ABI 7900HT (Applied Biosystems) como se ha descrito (Gelmini, S. y col. "Quantitative polymerase chain reaction-based homogeneous assay with fluorogenic probes to measure c-erbB-2 oncogene amplification". Clin Chem 43, 752-8 (1997)). Las secuencias de los pares de cebadores de PCR y la sonda MGB fluorogénica (5' a 3'), respectivamente, que se usaron para cada gen son del siguiente modo:

HoxB13
TTCATCCTGACAGTGGCAATAATC,
CTAGATAGAAAATATGAGGCTAACGATCAT,
VIC- CGATAACCAGTACTAGCTG;
IL17BR
GCATTAACTAACGATTGGAAACTACATT,
GGAAGATGCTTTATTGTTGCATTATC,
VIC-ACAACTTCAAAGCTGTTTTA.

Los niveles de expresión relativa de HOXB13 en muestras normales, de DCIS y de IDC se calcularon del siguiente modo. Primero, todos los valores de CT se ajustan restando la mayor CT (40) de entre todas las muestras, luego la expresión relativa = 1 / 2^CT.

## Hibridación in situ

5

10

15

20

30

35

Se prepararon sondas de ARN marcadas con Dig usando el kit de marcado de ADN con DIG (SP6/T7) de Roche Applied Science siguiendo el protocolo proporcionado con el kit. La hibridación *in situ* se realizó en secciones de tejido congeladas como se ha descrito (Long y col.).

Tabla 1. Pacientes y características de tumor del conjunto de entrenamiento.

ID de muestra	Tipo de tumor	Tamaño	Grado	Nodos	RE	RP	Edad	SSE	Estado
1389	D	1,7	2	0/1	Pos	Pos	80	94	0
648	D	1,1	2	0/15	Pos	ND	62	160	0
289	D	3	2	0/15	Pos	ND	75	63	1
749	D	1,8	2	2/9	Pos	Pos	61	137	0
420	D/L	2	3	ND	Pos	Pos	72	58	
633	D	2,7	3	0/11	Pos	ND	61	20	
662	D	1	3	6/11	Pos	Pos	79	27	
849	D	2	1	0/26	Pos	Neg	75	23	
356	D	1	2	2/20	Pos	ND	58	24	
1304	D	2	3	0/14	Pos	Pos	57	20	
1419	D	2,5	2	1/8	Pos	Pos	59	86	0
1093	D	1	3	1/14	Pos	Pos	66	85	0
1047	D/L	2,6	2	0/18	Pos	Neg	70	128	0
1037	D/L	1,5	2	0/4	Pos	Pos	85	83	0
319	D	4	2	1/13	Pos	ND	67	44	1
25	D	3,5	2	0/9	Neg	Pos	62	75	1
180	D	1,6	2	2/19	Pos	Pos	69	169	0
687	D	3,5	3	3/16	Pos	ND	73	142	0
856	D	1,6	2	0/16	Pos	Pos	73	88	0
1045	D	2,5	3	1/12	Pos	Neg	73	121	0
1205	D	2,7	2	1/19	Pos	Pos	71	88	0
1437	D	1,7	2	2/22	Pos	Pos	67	89	0
1507	D	3,7	3	0/40	Pos	Pos	70	70	0

469	D	1	1	0/19	Pos	ND	66	161	0
829	D	1,2	2	0/9	Pos	ND	69	136	0
868	D	3	3	0/13	Pos	Pos	65	130	0
1206	D	4,1	3	0/15	Pos	Neg	84	56	
843	D	3,4	2	11/20	Pos	Neg	76	122	
342	D	3	2	9/21	Pos	ND	62	102	
1218	D	4,5	1	3/16	Pos	Pos	62	10	
547	D/L	1,5	2	ND	Pos	ND	74	129	
1125	D	2,6	2	0/18	Pos	Pos	54	123	0
1368	D	2,6	2	ND	Pos	Pos	82	63	0
605	D	2,2	2	6/18	Pos	ND	70	110	0
59	L	3	2	33/38	Pos	ND	70	21	
68	D	3	2	0/17	Pos	ND	53	38	
317	D	1,2	3	1/10	Pos	Pos	71	5	
374	D	1	3	0/15	Pos	Neg	57	47	
823	D	2	2	0/6	Pos	Pos	51	69	
280	D	2,2	3	0/12	Pos	ND	66	44	
651	D	4,7	3	10/13	Pos	ND	48	137	
763	D	1,8	2	0/14	Pos	Pos	63	118	0
1085	D	4,7	2	0/8	Pos	Pos	48	101	
1363	D	2,1	2	0/15	Pos	Pos	56	114	0
295	D	3,5	2	3/21	Pos	Pos	52	118	
871	D	4	3	0/16	Pos	Neg	61	6	
1343	D	2,5	3	ND	Pos	Pos	79	21	
140	L	>2,0	2	18/28	Pos	ND	63	43	
260	D/L	0,9	2	1/13	Pos	ND	73	42	
297	D	0,8	2	1/16	Pos	Pos	66	169	0
1260	D	3,5	2	0/14	Pos	Pos	58	79	0
1405	D	1	3	ND	Pos	Pos	81	95	0
518	L	5,5	2	3/20	Pos	ND	68	156	0
607	D	1,2	2	5/14	Pos	Pos	76	114	0
638	D	2	2	1/24	Pos	Pos	67	148	0
655	D	2	3	ND	Pos	Pos	73	143	0
772	D	2,5	2	0/18	Pos	Pos	68	69	1
878	D/L	1,6	2	0/9	Pos	Neg	76	138	0
1279	D	2	2	0/12	Pos	Pos	68	102	0
1370	D	2	2	ND	Pos	Pos	73	61	0

Abreviaturas: D, ductal; L, lobular; D/L, características de ductal y lobular; pos, positivo; neg, negativo; ND, no determinado; RE, receptor de estrógeno; RP, receptor de progesterona; SSE, supervivencia sin enfermedad (número de meses); estado = 1, recurrido; restado = 0, sin enfermedad.

## Ejemplo 2

5

10

15

# Identificación de genes diferencialmente expresados

El perfilado de la expresión génica se realizó usando una micromatriz de oligonucleótidos de 22.000 genes como se ha descrito anteriormente. En el análisis inicial se usó ARN aislado de secciones de tejido de tumor congeladas tomadas de las biopsias primarias archivadas. El conjunto de datos de la expresión resultante se filtró primero basándose en la varianza global de cada gen con los primeros 5.475 genes de alta varianza (centil 75) seleccionados para análisis adicional. Usando este conjunto de datos reducido se realizó la prueba de la t en cada gen comparando los pacientes que respondieron y los pacientes que no respondieron a tamoxifeno, conduciendo a la identificación de 19 genes diferencialmente expresados en el corte de valor p de 0,001 (Tabla 2). Se estimó que la probabilidad de seleccionar muchos genes o genes más diferencialmente expresados por casualidad era 0,04 permutando al azar la clase de paciente con respecto al desenlace del tratamiento y repitiendo el procedimiento de la prueba de la t 2.000 veces. Por tanto, este análisis demostró la existencia de diferencias estadísticamente significativas en la expresión génica entre los cánceres de mama primarios de pacientes que respondieron y pacientes que no respondieron a tamoxifeno.

Tabla 2. Firma de 19 genes identificados por la prueba de la t en el conjunto de datos de secciones

	Valor p paramétrico	Media en pacientes que responden al tratamiento	Media en pacientes que no responden al tratamiento	Veces de diferencia de las medias	Acc de GB	Descripción
1						SCYA4   citocina A4
	1,96E-05	0,759	1,317	0,576	AW006861	inducible pequeña
2	2,43E-05	1,31	0,704	1,861	Al240933	EST
3	8,08E-05	0,768	1,424	0,539	X59770	IL1R2   receptor de interleucina 1, tipo II
4	9,57E-05	0,883	1,425	0,62	AB000520	Proteína adaptadora APS con homología con pleckstrina y dominios de homología 2 con src
5						IL17BR   receptor de
	9,91 E-05	1,704	0,659	2,586	AF208111	interleucina 17B
6	0,0001833	0,831	1,33	0,625	AI820604	EST
7	0,0001935	0,853	1,459	0,585	AI087057	DOK2   proteína de acoplamiento 2, 56 kD
8						CHDH   colina
0	0,0001959	1,29	0,641	2,012	AJ272267	deshidrogenasa
9	0,0002218	1,801	0,943	1,91	N30081	EST, débilmente similares a la proteína hipotética 138022 [H. sapiens]
10	0,0004234	1,055	2,443	0,432	AI700363	EST
11	0,0004357	0,451	1,57	0,287	AL117406	ABCC11   casete de unión a ATP, subfamilia C (CFTR/MRP), miembro 11
12	0,0004372	1,12	3,702	0,303	BC007092	Homeocaja de HOXB13 B13
13	0,0005436	0,754	1,613	0,467	M92432	guanilato ciclasa 2D GUCY2D, membrana (específica para retina)
14	0,0005859	1,315	0,578	2,275	AL050227	ARNm de Homo sapiens; ADNc DKFZp586M0723 (del clon DKFZp586M0723)
15	0,000635	1,382	0,576	2,399	AW613732	ADNc de Homo sapiens FLJ31137 fis, clon IMR322001049
	0,00000	1,002	0,070	2,000	7,0010102	SCYA3   citocina A3
16	0,0008714	0,794	1,252	0,634	BC007783	inducible pequeña
17	0,0008912	2,572	1,033	2,49	X81896	C11 orf25   marco de lectura abierto 25 del cromosoma 11
18	0,0009108	0,939	1,913	0,491	BC004960	MGC10955   proteína hipotética MGC10955
19	0,0009924	1,145	0,719	1,592	AK027250	ADNc de Homo sapiens: FLJ23597 fis, clon LNG15281

Para perfeccionar nuestro análisis con respecto a las células tumorales y evitar una posible variabilidad atribuible a una contaminación por células estromales, se reanalizó la misma cohorte después de una microdisección por captura láser (LCM, Lasser Capture Microdissection) de las células tumorales dentro de cada sección de tejido. Usando varianza basada en exploración por filtrado génico y ensayo *t* idéntico al utilizado para el conjunto de datos de todas las secciones tisulares, se identificaron 9 secuencias génicas expresadas diferencialmente con un valor de P < 0,001 (Tabla 3).

Tabla 3. Firma de 9 genes identificados por ensayo t en el conjunto de datos de LCM

	Valor p paramétrico	Media de respondedores	Media de no respondedore s	Factor de diferencia de medias	GBacc	Descripción
1	2,67E-05	1,101	4,891	0,225	BC007092	HOXB13homeoboxB13
2	0,0003393	1,045	2,607	0,401	AI700363	MSE (marcador de secuencia expresada)
3	0,0003736	0,64	1,414	0,453	NM_ 014298	QPRT   quinolinato fosforribosiltransferasa (nicotinato-nucleótido pirofosforilasa (carboxilación))
4	0,0003777	1,642	0,694	2,366	AF208111	IL17BR   receptor de interleucina 17B
5	0,0003895	0,631	1,651	0,382	AF033199	ZNF204   proteína de dedos de cinc 204
6	0,0004524	1,97	0,576	3,42	Al688494	FLJ13189 proteína teórica FLJ 13189
7	0,0005329	1,178	0,694	1,697	AI240933	MSE
8	0,0007403	0,99	1,671	0,592	AL157459	ARNm de Homo sapiens; ADNc DKFZp434B0425 (del clon DKFZp434B0425)
9	0,0007739	0,723	1,228	0,589	BC002480	FLJ 13352   proteína teórica FLJ 13352

Solo se identificaron 3 genes como diferencialmente expresados tanto en el análisis de LCM como de sección de tejido completo: el gen homeobox HOXB13 (identificado dos veces como Al700363 y BC007092), el receptor 17B de interleucina 17B, IL17BR (AF208111) y el canal de calcio regulado por voltaje CACNA1D (Al240933). HOXB 13 se sobreexpresó diferencialmente en casos no sensibles a tamoxifeno mientras que IL17BR y CACNA1D se sobreexpresaron en casos sensibles a tamoxifeno. Cabe destacar, que la secuencia QPRT TUVO similitudes con la secuencia HOXB13 en relación con los niveles de expresión en respondedores y no respondedores. Basándose en su identificación como marcadores derivados de tumores significativamente asociados con resultados clínicos en dos análisis independientes, la utilidad de cada uno de estos genes se evaluó por sí mismo y en combinación con el resto.

Para definir la sensibilidad y especificidad de la expresión de HOXB13, IL17BR y CACNA1D como marcadores de resultado clínico, se utilizó un análisis Característico Operativo del Receptor (ROC) (Pepe, M.S. "An interpretation for the ROC curve and inference using GLM procedures." Biometrics 56, 352-9 (2000)). Para datos derivados de secciones de tejido completo, los valores del Área Bajo la Curva (ABC) para IL17BR, HOXB 13 y CACNA1D fueron de 0,79, 0,67 y 0,81 para IL17BR, HOXB 13 y CACNA1D, respectivamente (véase la Tabla 4 y la Figura 1, parte superior). El análisis ROC de los datos generados a partir de las células tumorales microdiseccionadas produjo valores del ABC de 0,76, 0,8 y 0,76 para estos genes (véase la Tabla 4 y la Figura 1, parte inferior).

Tabla 4. Análisis ROC del uso de la expresión de IL17BR, CACNA1D y HOXB13 para predecir respuestas a tamoxífeno

	tamexione							
	Secciones de tejido	•						
	ABC	Valor P	ABC	valor P LCM				
IL17BR	0,79	1,58E-06	0,76	2,73E-05				
CACNA1D	0,81	3,02E-08	0,76	1,59E-05				
HOXB13	0,67	0,012	0,79	9,94E-07				
ESR1	0,55	0,277	0,63	0,038				
PGR	0,63	0,036	0,63	0,033				
ERBB2	0,69	0,004	0,64	0,027				
EGFR	0,56	0,200	0,61	0,068				

ABC, área bajo la curva; los valores de P son ABC > 0,5

5 Un ensayo de significado estadístico indicó que todos estos valores del ABC son significativamente mayores de 0,5, el valor esperado del modelo nulo que predice al azar resultados clínicos. Por lo tanto, estos tres genes tienen posible utilidad para predecir resultados clínicos de terapia adyuvante con tamoxifeno. Como comparativa, se analizaron marcadores que son normalmente útiles en la evaluación de la probabilidad de respuesta a tamoxifeno en comparación. Los niveles del ER (símbolo del gen ESR1) y del receptor de progesterona (RP, símbolo del gen PGR) 10 se sabe que se correlacionan positivamente con la respuesta a tamoxifeno (véase Fernández, M. D., et al. "Quantitative oestrogen and progesterone receptor values in primary breast cancer and predictability of response to endocrine therapy." Clin Oncol 9, 245-50 (1983); Ferno, M. et al. "Results of two or five years of adjuvant tamoxifen correlated to steroid receptor and S-phase levels." South Sweden Breast Cancer Group, and South-East Sweden Breast Cancer Group. Breast Cancer Res Treat 59, 69-76 (2000); Nardelli, G. B., et al. "Estrogen and progesterone 15 receptors status in the prediction of response of breast cancer to endocrine therapy (preliminary report)." Eur J Gynaecol Oncol 7, 151-8 (1986); and Osborne, C. K., et al. "The value of estrogen and progesterone receptors in the treatment of breast cancer." U 46, 2884-8 (1980)).

Además, se piensa que las rutas de señalización del factor de crecimiento (EGFR, ERBB2), regulan negativamente la señalización dependiente de estrógeno y por tanto contribuye a pérdida de sensibilidad a tamoxifeno (véase Dowsett, M. "Overexpression of HER-2 as a resistance mechanism to hormonal therapy for breast cancer." Endocr Relat Cancer 8, 191-5 (2001)). El análisis ROC de estos genes confirmó su correlación con resultados clínicos, pero con valores de ABC que variaban solamente de 0,55 a 0,69 alcanzando un significado estadístico para PGR y ERBB2 (véase la Tabla 4).

El conjunto de datos de LCM es particularmente relevante, ya que EGFR, ERBB2, ESR1 y PGR se miden normalmente a nivel de células tumorales usando inmunohistoquímica o como hibridación *in situ* con fluorescencia. Como marcadores individuales de resultado clínico, HOXB13, IL17BR y CAC1D sobrepasaron el rendimiento de ER1, PGR, EGFR y ERBB2 (véase la Tabla 4).

## Ejemplo 3

### Identificación de la proporción de la expresión de HOXB13:IL17BR

La proporción de la expresión de HOXB13:IL17BR se identificó de la siguiente manera como un fuerte indicador de resultado compuesto. Dado que HOXB13 e IL17BR tienen modelos de expresión opuestos, la proporción de la expresión de HOXB13 sobre IL17BR se examinó para determinar si esto proporciona un mejor indicador compuesto de respuesta a tamoxifeno. De hecho, tanto el ensayo *t* como el análisis ROC demostraron que la proporción de los dos genes tenía una correlación más fuerte con resultados de tratamiento que cualquier gen en solitario, tanto en los conjuntos de datos de secciones de tejido completo como de LCM (véase la Tabla 5). Los valores del ABC de HOXB13:IL17BR alcanzaron 0,81 para el conjunto de datos de las secciones de tejidos y 0,84 para el conjunto de datos de LCM. El emparejamiento de HOXB13 con CACNA1D o el análisis de los tres marcadores juntos no proporcionó un poder predictivo adicional.

20

25

30

Tabla 5. La proporción de HOXB13:IL17BR es un fuerte indicador de resultados de tratamiento

		Ensayo <i>t</i>		ROC
		t-estadístico	Valor P	Valor P ABC
	IL17BR	4,15	1,15E-04	0,79 1,58E-06
Sección	HOXB13	-3,57	1,03E-03	0,67 0,01
de tejido	HOXB13:IL17B R	-4,91	1,48E-05	0,81 1,08E-07
LCM	IL17BR	3,70	5,44E-04	0,76 2,73E-05
		HOXB13	-4,39	8,00E-05 0,79 9,94E-07
		HOXB13:IL17BR	-5,42	2,47E-06 0,84 4,40E-11

ABC, área bajo la curva; los valores de *P son* ABC > 0,5.

La proporción HOXB13/IL7BR se comparó con factores de pronóstico bien establecidos para cáncer de mama, tales como edad del paciente, tamaño del tumor, grado y estado del nódulo linfático (véase Fitzgibbons, P. L. et al. "Prognostic factors in breast cancer. College of American Pathologists Consensus Statement 1999." Arch Pathol Lab Med 124, 966-78 (2000)). El análisis univariado de regresión logística indicó que solo el tamaño del tumor fue marginalmente significativo en esta cohorte (P=0,04); esto no fue sorprendente dado que el grupo de respondedores era muy parecido al grupo de no respondedores con respecto al tamaño del tumor, grado del tumor y estado del nódulo linfático durante la selección de los pacientes. Entre los indicadores conocidos positivos (ESR1 y PGR) y negativos (ERBB2 y EGFR) de respuesta a tamoxifeno, el análisis ROC de los datos de las secciones de tejidos indicó que solo PGR y ERBB2 fueron significativos (véase la Tabla 4). Por lo tanto, se realizó una comparación de los modelos de regresión logística que contenía la proporción HOXB13: IL17BR en sí misma o en combinación con el tamaño del tumor, y los niveles de expresión de PGR y ERBB2 (véase la Tabla 6). La proporción HOXB13:IL17BR en solitario fue un indicador muy significativo (P=0,0003) y tuvo una razón de probabilidades de 10,2 (IC del 95% de 2,9-35,6). En el modelo multivariado, la proporción HOXB13:IL17BR es la única variable significativa (P=0,002) con una razón de probabilidades de 7,3 (IC del 95% de 2,1-26). Por tanto, la proporción de la expresión de HOXB13:IL17BR es un fuerte indicador independiente del resultado de tratamiento en el caso de terapia adyuvante con tamoxifeno.

20

5

10

15

Tabla 6. Análisis de Regresión Logística Modelo Univariado

Indicador HOXB13:IL17BR	Razón de Probabilidades 10,17	IC del 95% 2,9-35,6	Valor P 0,0003				
Modelo Multivariado							
Indicadores	Razón de Probabilidades	IC del 95%	Valor P				
Tamaño del	1,5	0,7-3,5	0,3289				
tumor							
PGR	0,8	0,3-1,8	0,5600				
ERBB2	1,7	0,8-3,8	0,1620				
HOXB13:IL17BR	7,3	2,1-26,3	0,0022				

Todos los indicadores son variables continuas. Los valores de expresión de genes eran de mediciones de micromatrices. La razón de probabilidades es la proporción de probabilidad intercuartil, en base a la diferencia de un indicador de su cuartil inferior (0,25) con respecto a su cuartil superior (0,75); IC, intervalo de confianza.

# Ejemplo 4

25

30

## Validación independiente de la proporción de la expresión HOXB13:IL17BR

La reducción de una firma de micromatriz compleja a una proporción de expresión de dos genes permite el uso de estrategias de detección más sencillas, tales como análisis por PCR cuantitativa en tiempo real (RT-QPCR). Se analizó la proporción de la expresión HOXB13:IL17BR mediante RT-QPCR utilizando secciones de tejidos congeladas que se encontraban disponibles en 59 de los 60 casos de entrenamiento (Figura 2, parte a). Los datos de la RT-QPCR eran fuertemente concordantes con los datos de la micromatriz de los especímenes tumorales

congelados (coeficiente de correlación r=0,83 para HOXB13, 0,93 para IL17BR). Además, las proporciones HOXB13:IL17BR derivadas de la PCR, representadas como las ΔCT, en el que CT son los ciclos de amplificación de la PCR para conseguir una cantidad umbral predeterminada (por ejemplo, Figura 2, partes a y b) y ΔCT es la diferencia de CT entre HOXB13 e IL17BR, se correlacionaron altamente con los datos derivados de micromatrices (r= 0,83) y con resultados de tratamiento (ensayo t P=0,0001, Figura 2, parte c). Por tanto, parece que el análisis de RT-QPCR convencional para la proporción de la expresión de HOXB13 con respecto a IL17BR es equivalente al análisis basado en micromatrices de especímenes tumorales congelados.

Para validar la utilidad predictiva de la proporción de la expresión HOXB13:IL17BR en una cohorte de pacientes independiente, se identificaron 20 tumores de mama primarios de fase temprana ER-positivos adicionales, de mujeres tratadas con tamoxifeno adyuvante solo a MGH entre 1991 y 2000, y para los que se disponía de registros médicos y tejidos incluidos en parafina. De los 20 casos del archivo, 10 habían sido recurrentes con un tiempo medio de recurrencia de 5 años y 10 permanecieron libres de enfermedad con un seguimiento medio de hasta 9 años (véase la Tabla 7 para más detalles).

Tabla 7. Características de los pacientes y de los tumores del conjunto de validación.

Muestra	Tipo de Tumor	Tamaño	Grado	Nódulos	ER	PR	Edad	DFS	Estado
Ensayo 1	D	1,9	3	0/10	Pos	Pos	69	15	1
Ensayo 2	D	1,7	3	0/19	Pos	Pos	61	117	1
Ensayo 3	D	1,7	2	0/26	Pos	ND	65	18	1
Ensayo 4	D	1,2	2	0/19	Pos	Pos	63	69	1
Ensayo 5	D	1,7	2	2/2	Pos	Pos	60	52	1
Ensayo 6	D	1,1	1	0/10	Pos	Pos	54	59	1
Ensayo 7	D	>1,6	2	0/17	Pos	Neg	66	32	1
Ensayo 8	L	2,6	1-2	0/14	Pos	Pos	58	67	1
Ensayo 9	D	1,2	2	ND	Pos	Pos	93	58	1
Ensayo 10	D	4	3	0/20	Pos	Pos	66	27	1
Ensayo 11	D	1,1	2	0/19	Pos	Pos	64	97	O
Ensayo 12	D	2,7	2	0/10	Pos	Pos	66	120	O
Ensayo 13	D	0,9	1	0/22	Pos	Pos	66	123	O
Ensayo 14	D	2,1	2	0/16	Pos	Pos	57	83	O
Ensayo 15	D	0,8	1-2	0/8	Pos	Pos	74	80	O
Ensayo 16	D	1	2	0/13	Pos	Pos	74	93	C
Ensayo 17	D	1,6	2	0/29	Pos	Pos	66	121	O
Ensayo 18	L	1,5	1-2	0/8	Pos	Pos	65	25	O
Ensayo 19	D	1,5	3	0/19	Pos	Pos	60	108	O
Ensayo 20*	L	4	1-2	0/19	Pos	Pos	60	108	O

El ARN se extrajo de secciones de tejido completo incluidas en parafina fijadas con formalina (FFPE, Formalin-Fixed Paraffin-Embedded), amplificadas linealmente y se usaron como molde para análisis RT-QPCR. Coherente con los resultados de la cohorte de entrenamiento, la proporción de la expresión HOXB13:IL17BR en esta cohorte de pacientes independiente estuvo muy correlacionada con el resultado clínico (ensayo t P=0,035) con una mayor expresión de HOXB13 (ΔCT inferior) correlacionada con un mal resultado (Figura 2, parte d). Para ensayar la

20

10

15

precisión predictiva de la proporción HOXB13:IL17BR, se usaron los datos de la RT-QPCR de las secciones tisulares congeladas (n=59) para construir un modelo de regresión logística. En este conjunto de entrenamiento, el modelo predijo un resultado de tratamiento con una precisión global del 76% (P=0,000065, intervalo de confianza del 95% del 63%-86%). Los valores predictivos positivos y negativos fueron 78% y 75%, respectivamente. Aplicando este modelo a los 20 pacientes independientes en la cohorte de validación, el resultado del tratamiento para 15 de los 20 pacientes se predijo correctamente (precisión global 75%, P=0,04, intervalo de confianza del 95% del 51%-91%), con valores predictivos positivos y negativos de 78% y 73%, respectivamente.

El análisis de Kaplan-Meier de los grupos de pacientes como se predice mediante el modelo dio como resultado curvas de supervivencia libre de enfermedad significativamente diferentes tanto en el conjunto de entrenamiento con en el conjunto de ensayo independiente (Figura 2, partes e y f).

Un ejemplo adicional representativo de la aplicación de la proporción a las muestras de sección y muestras LCM de la cohorte de 60 pacientes se muestra en la Figura 8, Parte B (indicado por "Secciones" y "LCM", respectivamente). En esta figura también se muestra una aplicación ejemplar de la proporción de 31 muestras FFPE (indicado por "FFPE").

## Ejemplo 5

15

25

35

20 <u>Identificación de secuencias adicionales como resultado de la expresión de CHDH</u>

El hecho de que la secuencia de Al240933 fuese complementaria con la cadena codificante de CACNA1D conduce a la cuestión de si en el Ejemplo 2 anterior se detectó la expresión de una secuencia distinta de la de CACNA1D. Por lo tanto se realizó un ensamblaje de secuencias que condujo a la identificación de una región 3' más larga de las secuencias conocidas expresadas como parte de CHDH (véanse las Figuras 5 y 3). Esta secuencia más larga se confirmó que se expresaba por análisis PCR usando sondas que eran capaces de amplificar una región calculada de 4283 nucleótidos que abarcaba las partes de la secuencia de CHDH previamente identificada y las de la secuencia de Al240933 (véase la Figura 4).

30 El ensamblaje de las secuencias de la Figura 5 condujo a la identificación de un cóntigo de secuencias más largo mostrado en la Figura 6. Se proporcionó un refuerzo adicional para la probabilidad de un cóntigo más largo mediante un alineamiento del cóntigo con las secuencias CHDH de ratón.

En la Figura 7 se muestra la relación de probabilidad entre las secuencias de CHDH y CACNA1D.

### Ejemplo 6

# Identificación y uso de la proporción de expresión de QPRT:CHDH

La proporción de la expresión de AQPRT:CHDH se identificó como un identificador fuerte y compuesto de resultado de una manera similar a la descrita en el Ejemplo 3 anterior. Dado que QPRT y CHDH tienen patrones de expresión opuestos, la proporción de la expresión de QPRT sobre CHDH se examinó para determinar su capacidad de funcionar como un indicador compuesto de respuesta a tamoxifeno. Los resultados de la aplicación de la proporción con respecto a las muestras de sección y muestras de LCM de la cohorte de 60 pacientes se muestran en la Figura 8, Parte A (indicado como "Secciones" y "LCM" respectivamente). En la figura también se muestra una aplicación ejemplar de la proporción con respecto a 31 muestras FFPE (indicadas como "FFPE").

## Referencias adicionales

50 Ma, X. J. et al. Gene expression profiles of human breast cancer progression. Proc Natl Acad Sci U S A 100, 5974-9 (2003).

Nicholson, R. I. et al. Epidermal growth factor receptor expression in breast cancer: association with response to endocrine therapy. Breast Cancer Res Treat 29, 117-25 (1994).

### Anexo

Secuencias identificadas como las del grupo de IL17BR AW675096

AW673932

ggeceggega tgtegetegt getgetaage etggeegege tgtgeaggag egeegtaeee

# BC000980

.5555-5-	-333-	333-		-3-3333	- 3 3
cgagagccga	ccgttcaatg	tggctctgaa	actgggccat	ctccagagtg	gatgctacaa
catgatctaa	tcccgggaga	cttgagggac	ctccgagtag	aacctgttac	aactagtgtt
gcaacagggg	actattcaat	tttgatgaat	gtaagctggg	tactccgggc	agatgccagc
atccgcttgt	tgaaggccac	caagatttgt	gtgacgggca	aaagcaactt	ccagtcctac
agctgtgtga	ggtgcaatta	cacagaggcc	ttccagactc	agaccagacc	ctctggtggt
aaatggacat	tttcctacat	cggcttccct	gtagagctga	acacagtcta	tttcattggg
gcccataata	ttcctaatgc	aaatatgaat	gaagatggcc	cttccatgtc	tgtgaatttc
acctcaccag	gctgcctaga	ccacataatg	aaatataaaa	aaaagtgtgt	caaggccgga
agcctgtggg	atccgaacat	cactgcttgt	aagaagaatg	aggagacagt	agaagtgaac
ttcacaacca	ctcccctggg	aaacagatac	atggctctta	tccaacacag	cactatcatc
gggttttctc	aggtgtttga	gccacaccag	aagaaacaaa	cgcgagcttc	agtggtgatt
		aggtgctacg			
		taaaggaaca			
		aagcaagccg			
		gctggtggca			·
		taccaccaca			
		ccatcacaca			
cattgcagaa	gtgaggtcat	ccttgaaaag	tggcagaaaa	agaaaatagc	agagatgggt
	_	tcaaaagaag			
aatgacgtca	acagtgtgtg	cgatggtacc	tgtggcaaga	gcgagggcag	tcccagtgag
aacteteaag	acctettece	ccttgccttt	aaccttttct	aceataetat	2202200020
attcatctcc	acaaatacot	ggtggtctac	tttagagaga	ttoatacaaa	anacoattac
aatgctctca	atatetacce	caagtaccac	ctcatgaagg	atgccactgc	tttctataca
gaacttctcc	atotcaagca	gcaggtgtca	gcaggaaaaa	gatcacaage	ctaccacaat
gactactact	ccttqtaqcc	cacccatgag	aaggaagaga	cettaaacge	ttectateee
accaattaca	qqqaaaaaac	gtgtgatgat	cctgaagett	actatocacc	ctacaaacad
		tataccaata			
		tacatttaca			
attacagttt	taattqaaaa	ctataaccat	tttgataatg	caacaataaa	gcatcttcag
ccaaacatct	agtettecat	agaccatgca	ttacagtata	cccagaactg	tttagctaat
		atactaactc			
		tattacatgc			
		cccactttta			
aa					

BI602183

### BI458542

BI823321

## GGCGATGTCGCTCGTGCTAAGCCTGGCCGCGCTGTGCAGGAGCGCCGTACCCCGAGA

AA514396

#### BF110326

TTTGTTTGGCTGAAGATGCTTTATTGTTGCATTATCAAAATGGTTATAGTTTTCAATTAA
AACTGTAATTGATTTCTATGTATAAAACAGCTTTGAAGTTGTAAATGTAGTTTCCAATCG
TTAGTTAATGCTACATTAGTTAGCAATATTTGAAAATTTTATTGGTATAAAATGTTTTAA
TTACTAAGGCTGTTTGTAGGCTGCATAGTAAGCTTCAGGATCATCACACGTTTTTTCCCT
GTAATTGGTGGGATAGGAAGCCTTTAAGGTCTCTTGCTTTTCATGGGTGGCTACAAGGA
GCAGCCATCGTGGCAGGCTTGTGATCTTTTCCTGCTGACACCTGCTTGACATG
GAGAAGTTCTGCACAGAAAGCAGTGGCATCCTTCATGAGGTGGTACTTGGGGCAGACACT
GAGAGCATTGTAATCGTCTTTTGTATCAATCTCTCTAAAGTAGACCACCACGTATTTGTG
CAGATGAATCTGGCCTTCTTAGATCACTGC

#### BE466508

### BF740045

AW299271

#### AA836217

#### Al203628

## Al627783

CATTGTAATCGTCTTTTGTATCAATCTCTCTAAAGTAGACCACCACGTATTTGTGCAGAT GAATCTGGCTTCTTAGATCACTGCAGAAAAGGTTAAAGGCAAGGGGGAAGAGGTCTTGAG AGTTCTC

Al744263

#### AI401622

AGTTAGCAATATTTGAAAATTTTATTGGTATAAAATGTTTTAATTACTAAGGCTGTTTGT
AGGCTGCATAGTAAGCTTCAGGATCATCACACGTTTTTTCCCTGTAATTGGTGGGATAGG
AAGCCTTTAAGGTCTCTTGCTTCTCATGGGTGGGCTACAAGGAGCAGCAGCCATCGTGGC
AGGCTTGTGATCTTTTTCCTGCTGACACCTGCTACTTGACATGGAGAAGTTCTGCACAGA
AAGCAGTGGCATCCTTCATGAGGTGGTACTTGGGGCAGACACTGAGAGCATTGTAATCGT
CTTTTGTATCAATCTCTCTAAAGTAGACCACCACGTATTTGTGCAGATGAATCTGGCTTC
TTAGATCACTGCAGAAAAAGGTTAAAGGCAAGGGGGAAGAGGTCTTGAGAGTTCTCACTGG

#### AI826949

# BE047352

# AI911549

TTTGGCTGAAGATGCTTTATTGTTGCATTATCAAAATGGTTACAGTTTTCAATTAAAGCT GTAATTGATTTCTATGTATAAAACAGCTTTGAAGTTGTAAATGTAGTTTCCAATCGTTAG TTAATGCTACATTAGTTAGCAATATTTGAAAATTTTATTGGTATAAAATGTTTTAATTAC TAAGGCTGTTTGTAGGCTGCATAGTAAGCTTCAGGATCATCACACGTTTTTTCCCTGTAA

### BF194822

### AI034244

TTTTTTTTTTTTTACAACCTTGAAAGCTGTTTTATACATAGAAATCAATTACAGTTT
TAATTGAAAACTATAACCATTTTGATAATGCAACAATAAAGCATCTTCAGCCCAAACATCT
AGTCTTCCATAGACCATGCATTGCAGTGTACCCCAGAACTGTTTAGCTAATATTCTATGTT
TAATTAATGAATACTAACTCTAAGAACCCCTCACTGATTCACTCAATAGCATCTTAAGTG
AAAAACCTTCTATTACATGCAAAAAATCATTGTTTTTAAGATAACAAAAGTAGGGAATAA
ACAAGCTGAACCCACTTTTACTGGACCAAATGATCTATTATATGTGTAACCACTTGTATG
ATTTGGATTTGCATAAGACCTTCCCTCTACAAACTAGATTCATATCTTGATTCT

#### AI033911

TTTTTTTTTTTTTACAACTGCAAAGCTGTTTTATACATAGAAATCAATTACAGTTTT
AATTGAAAACTATAACCATTTTGATAATGCAACAATAAAGCATCTTCAGCCAAACATCTA
GTCTTCCATAGACCATTGCAGTGTACCCAGAACTGTTTAGCTAATATTCTATGTTT
AATTAATGAATACTAAACTCTAAGAACCCCTCACTGATTCACTCAATAGCATCTTAAGTGA
AAAACCTTCTATTACATGCAAAAAATCATTGTTTTTAAGATAACAAAAGTAGGGAATAAA
CAAGCTGAACCCACTTTTACTGGACCAAATGATCTATTATATGTGTAACCACTTGTATGA
TTTGGTATTTGCATAAGACCTTCCCTCTACAAACTAGATTCATATCTTGATTCT

### BF064177

# AA847767

# AI538624

#### AI913613

### AI942234

### AI580483

# AI831909

## **AAGTTCTGCACAGAAAGCAGTGGCAT**

AI672344

### AW025192

### AA677205

GCATATTTTAAAATTTTATTGGTATAAAATGTTTTAATTACTAAGGCTGTTTGTAGGCT
GCATAGTAAGCTTCAGGATCATCACACGTTTTTTCCCTGTAATTGGTGGCATAGGAAGCC
TTTAAGGTCTCTTGCTTCTCATGGTGTGGGCTACAAGGAGCAGCAGCCATCGTGGCAGGC
TTGTGATCTTTTCCTGCTGACACCTGCTGCTTGACATGGAGAAGTTCTGCACAGAAAGC
AGTGGCATCCTTCATGAGGTGGTACTTGGGGCAGACACTGAGAGCATTGTAATCGTCTTT
TGTATCAATCTCTCTAAAGTAGACCACCACGTATTTGTGCAGATGAATCTGGCTTCTTAG
ATCACTGCAGAAAAAGGTTAAAGGCAAGGGGGAAGAGGTCTTGAGAGTTCTCACTGGGACT
GCCCTCGCTCTTGCCACAGGTACCATCGCACACACTG

# AA721647

### BF115018

GTTTCGCTGAAGATGCTTTATTGTTGCATTATCAAAATGGTTATAGTTTTCAATTAAAAC
TGTAATTGATTTCTATGTATAAAACAGCTTTGAAGTTGTAAATGTATTCCAATCGTTA
GTTAATGCTACATTAGTTAGCAATATTTGAAAATTTTATTGGTATAAAATGTTTTAATTA
CTAAGGCTGTTTGTAGGCTGCATAGTAAGCCTTAAGGCCCATCACACGTTTTTTCCCTGTA
ATTGGTGGGATAGGAAGCCTTTAAGGTCTCTTGCTTNTCATGGGTGGGCTACAAGGAGCA
GCAGCCATCGTGGCAGGCTTGNGATCTTTTCCTGCTGGCCCCTGCTGCTTGACAT

W61238

NAAAGCACTGGCTGAAGGAAGCCAAGAGGATCACTGCTGCTCCTTTTTTCTAGAGGAAAT
GTTTGTCTACGTGGTAAGATATGACCTAGCCCTTTTTAGGTAAGCGAACTGGTATGTTAGT
AACGTGTACAAAGTTTAGGTTCAGACCCCCGGGAGTCTTGGGCACGTGGGTCTCGGGTCAC
TGGTTTTGACTTTAGGGCTTTGTTACAGATGTGTGACCAAGGGGAAAATGTGCATGACAA
CACTAGAGGTATGGGCGACACGANAACGAACGGGAAGTTTTGGCTGAAGTAGGAGTCTTG
GTGAGATTTTGCTCTGATGCATGGTGTGAACTTTCTGAGCCTCTTGTTTTTCCTCAAGCT
GACTCCATATTTTCCTACTTGTGGCAGCGACTCCACATAAAGGAACAG

### W61239

TAGCAATATTTGAAAATTTTATTGGTATAAAATGTTTTAATTACTAAGGCTGTTTGTAGG
CTGCATAGTAAGCTTCAGGATCATCACACGTTTTTTCCCTGTAATTGGTGGGATAGGAAG
CCTTTAAGGTCTCTTGCTTCTCATGGGTGGGCTACAAGGAGCAGCAGCCATCGTGGCAGG
CTTGTGATCTTTTTCCTGCTGACACCTGCTGCTTGACATGGAGAAGTTCTGCACAGAAAG
CAGTGGCATCCTTCATGAGGTGGTACTTGGGGCAGACACTGAGAGCATTGTAATCGTCTT
TTGTATCAATCTCTCTAAAGTAGACCACCACGTATTTGTGCAGATGAATCTGGCTTCTTA
GATCACTGCAGAAAAGGTTAAAGGCAAGGGGGGA

### AI032064

AGCAATATTTGAAAATTTTATTGGTATAAAATGTTTTAATTACTAAGGCTGTTTGTAGGC
TGCATAGTAAGCTTCAGGATCATCACACGTTTTTTCCCTGTAATTGGTGGCATAGGAAGC
CTTTAAGGTCTCTTGCTTCTCATGGGTGGGCTACAAGGAGCAGCCATCGTGGCAGGC
TTGTGATCTTTTTCCTGCTGACACCTGCTGCTGACATGGAGAAGTTCTGCACAGAAAGC
AGTGGCATCCTTCATGAGGTGGTACTTGGGGCAGACACTGAGAGCATTGTAATCGTCTTT
TGTATCAATCTCTCTAAAGTAGACCACCACGTATTTGTGCAGATGAATCTGGCTTCTTAG
ATCACTGCAGAAAAGGTTAAAGGCAAGGGGGAAGAGGTCTTGAGAGTTCTCACTGGGACT
GCCCTCGCTCTTGCCAC

## AW236941

# AW236941

### BG057174

TTTTATACATAGAAATCAATTACAGCTTTAATTGAAAACTATAACCATTTTGATAATGCA ACAATAAAGCATCTTCAGCCAAACATCTAGTCTTCCATAGACCATGCATTGCAGTGTACC CAGAACTGTTTAGCTAATATTCTATGTTTAATTAATGAATACTAACTCTAAGAACCCCTC
ACTGATTCACTCAATAGCATCTTAAGTGAAAAACCTTCTATTACATGCAAAAAATCATTG
TTTTTAAGATAACAAAAGTAGGGAATAAACAAGCTGAACCCACTTTTACTGGACCAAATG
ATCTATTATATGTG

#### AW058532

### T98360

TNAGGAANGAGAAGCAGAGATNNANNTNNAGAAATANGTGGTGGCNTANTTTAGAGAG ATTGATNCAAAAGCNGATTNCAATNNNCTCAGTGNCTNCCCAAGTNCCNCCTCATGAAGG ATNCACTNCTTTCTGTGCAGACTNNNCATGTCAAGCAGCAGGTGTCAGCAGGAAAAAGAN CACAAGCTCCNCGATGGCTGCTGCTCCTTGTAGCCCNCCATGAGAAGCAAGAGNCTTAAA GGCTTCCTATCCCACCAATTACAGGGAAAAACGTGTGATGACCTGAGCTTACTATGCAGC CTACAANCAGCCTTAGTAATTAAACCNTTTATT

#### T98361

NANNATGAAGATGCTTTATTGTTGCATTATCAAAATGGTTACAGTTTTCAATTAAAGCTG
TAATTGATTTCTATGTATAAAACAGCTTTGAAGTTGTAAATGTAGTTTCCAATCGTTAGT
TAATGCTACATTAGTTAGCAATATTTGAAAATTTTATTGGNATAAAATGTTTTAATTACT
AAGGCTGTTTGTAGGCTGCATAGTAAGCTTCAGGATCATCACACGTTTTTTCCCTGTAAT
TGGGTGGGGATAGGGAAGCCCTTTAAGGGTCTCTTGCTTCTCATGGGGTGGGGCCTACNA
AGGGAGCAGCCAGCCCATCGTGGCCAGGGCCTTGTGGANCCTTTTTCCCTGCCTGGACAC
CCTGCCTTGGACCATGGGGAGGAAGGTTCTGGCACCAGGAAAGCCAGGTGGCCAT
CCCTTCCATGAGGGTGGGGTACTTNGGGGGGGCCAGGACCACTGAGGNGCCATTGGTAATC
CGTCCTTTTNGTATCCAATCCCCTCCTAAGGTAGGNCCCCCC

# AI470845

TTTTGTGGGTTCAGCTTGTTTATTCCCTACTTTTGTTATCTTAAAAACAATGATTTTTTG CATGTAATAGAAGGTTTTTCACTTAAGATGCTATTGAGTGAATCAGTGAGGGGTTCTTAG AGTTAGTATTCATTAATTAAACATAGAATATTAGCTAAACAGTTCTGGGTACACTGCAAT GCATGGTCTATGGAAGACTAGATGTTTGGCTGAAGATGCTTTTATTGTTGCATTATCAAN ATGGTTTATAGTTTTCAATTAAAACTGTAATTGATTT

### AI497731

T96629

#### T96740

# H25975

GGTCCAGTGCAGTGCTTGCNTGCAGAAAGAAGGCAGCAGACAAAGTCGTCTTCCTTCT
TTCCAATGACGTCAACAGTGTGTGCGATGGTACCTGTGGCAAGAGCGAGGGCAGTCCCAG
TGAGAACTCTCAAGACCTCTTCCCCCTTGCCTTTAACCTTTTCTGCAGTGATCTAAGAAG
CCAGATTCATCTGCACAAATACGTGGTGGTCTACTTTAGAGAGATTGATACAAAAGACGA
TTACAATGCTCTCAGTGTCTGCCCCAAGTACCACCTCATGAAGGATGCCACTGCTTTCTG
TGCAGAACTTCTCCATGTCAAGCAGCAGGTGTCAGCAGGAAAAAGATTCACAAGCCTGCC
ACGATGGCTGCTTGCTTCTTTTTAGCCCCACCCATGAGGAAGACAAGACCTTNAAAGG
GTTCCTTTTCCCATCANTTTACAGGGGAAAAAACGTGTGATGATC

### H25941

TTTTGTTTGGCTNATNTNNTTCTTATTGTTGCATTATCAAAATGGTTATAGTTTTCAATT
AAAACTGTAATTGATTNCTATGTATAAAACAGCTTTGAAGTTGTAAATGTAGTTTCCAAT
CGTTAGTTAATGCTACATTAGCTAGCAATATTTGAAAATTTTATTGGTATAAAANGTTTT
AATTACTAAGGCTGTTTGTAGGCTGCATAGTAAGCTTCAGGATCATCACACGTTTTTCCC
CTGTAATTGGTGGGATAGGAAGCCTTTAAGGTCTCTNGCTTCTCATGGGTGGGCTACAAG
GAGCAGCAGCCATCGTGGCAGGCTTGTGANCTTTTNCCTGCTGACACCTGCTGCTTGACA
TGGGAGAAGTTCTGCACAGAAAGGCAGTGGGCATCCTTCATGAGGTGGGTACTTGGGGGN
CAGACACTGAGGAGCATTGT

## BE539514

ACTCAAAAGAAGCCAGACAAAGTCGTCTTCCTTCTTTCCAATGACGTCAACAGTGTG
TGCGATGGTACCTGTGGCAAGAGCGAGGGCAGTCCCAGTGAGAACTCTCAAGACCTCTTC
CCCCTTGCCTTTAACCTTTTCTGCAGTGATCTAAGAAGCCAGATTCATCTGCACAAATAC
GTGGTGGTCTACTTTAGAGAGATTGATACAAAAGACGATTACAGTGCTCTCAGTGTCTGC
CCCAAGTACCACCTCATGAAGGATGCCACTGCTTCTGTGCAGAACTTCTCCATGTCAAG
CAGCAGGTGTCAGCAGGAAAAAGATCACAAGCCTGCCACGATGGCCGCTGCTCCTTGTAG
CCCACCCATGAGAAGCAAGAGACCTTAAAAGGCTTCCTATCCCACCAATTACAGGGAAAAA
ACGTGTGATGATCCTGAAGCTTACTATGCAGCCTTACAAACAGCCTTAGTAATTAAAACAT
TTTATACCAATAAAATTTTCAAATATGCTAACTAATGTAGCATTACAGCTTTAATTGAAA
ACTGTAACCATTTGATAATGCAACAATAAAGCATCTTCAG

#### BX282554

#### R74038

#### R74129

GGGTCCAGTGCAGTGCTTGCNTNCAAAAGAAGCAGCAGACAAAGTCGTCTTCCTTTTCCAATGACGTCAACAGTGTGTGCGATGGTACCTGTGGCAAGAGCGAGGGCAGTCCCAGTGAGAACTCTCAAGACGTGTGCCCTTTAACCTTTTCTGCAGTGATCTAAGAAGCCAGATTCATCTGCACAAATACGTGGTGGTCTACTTTAGAGAGATTGATACAAAAGACGATTACAATGCTCTCAGTGTCTGCCCCAAGTACCACCTCATGAAGGATGCCACTGCTTTCTGTGCAGAAACTTCTCCATGTCAAGCAGCAGGTGTCAGCAGGAAAAAAGATCACAAGCCTGCCACGATNGCTGCTGCTCCTTGTAGNCCACCCATGAGAAGCAAGTGACCTTTAAAGGNTTTCCTATNCCACCNATTTACAGGG

### BG433769

GACTAGATGTTTGGCTGAAGATGCTTTATTGTTGCATTATCAAAATGGTTATAGTTTTCA
ATTAAAACTGTAATTGATTTCTATGTATAAAACAGCTTTGAAGTTGTAAATGTAGTTTCC
AATCGTTAGTTAATGCTACATTAGTTAGCAATATTTGAAAATTTTATTGGTATAAAATGT
TTTAATTACTAAGGCTGTTTGTAGGCTGCATAGTAAGCTTCAGGATCATCACACGTTTTT
TCCCTGTAATTGGTGGGATAGGAAGCCTTTAAGGTCTCTTGCTTCTCATGGGTGGCTAC
AAGGAGCAGCCATCGTGGCAGGCTTGTGATCTTTTTCCTGCTGACACCTGCTGCTTG
ACATGGAGAAGTTCTGCACAGAAAGCAGTGGCATCCTTCATGAGGTGGTACTTGGGGCAG
ACACTGAGAGCATTGTAATCGTCTTTTGTATCAATCTCTCTAAAGTAGACCACCACGTAT
TTGTGCAGATGAATCTGCTCTTTAGATCACTGCAGAAAAGGTTAAAGGCAAGGGGGAAG
AGGTCTTGAGAGTTCTCACTGGGACTGCCCTCGCTCTTTGCCACAGGTACCATCGCACACA
CTGTTGACGTCATTGGAAAAGAAGAAGGAAGAC

### BG530489

GAGTTCTCACTGGGACTGCCTCGCTCTTGCCACAGGTACCATCGCACACACTGTTGACG

### AA007528

AGAAGCCAGATTCATCTGCACAAATACGTGGTGNTCTACTTTAGAGAGATTGATACAAAA GACGATTACAATGCTCTCAGTGTCTGCCCCAAGTACCACCTCATGAAGGATGCCACTGCT TTCTGTGCAGAACTTCTCCATGTCAAGCAGCAGGTGTCAGCAGGAAAAAGATCACAAGCC TGCCACGATGGCTGCTGCTTGTAGCCCACCCATGAGAAGCAAGAGACCTTAAAGGCT TCCTATCCCACCAATTACAGGGNAAAAACNGTAGTGATNATCCCTGACAGCTTACTATGC CAGCCNT

#### AA007529

### BI260259

# AA287951

 GCCACTTTTCAAGGATGACCTCACTTCTGCAATGGTTTTGAAGAAATTCAGTGAAGTAAC AAATNTGTGTGATGGAAACATATTTCAGATGGGTAAACCACAAGAACCTTAATGGGGGGC AGTAGTGTGGTGGTAGAAAAGGAAGTCTTCTTGATCCTTTCTTGTGAGAGGAGAAAGC

### AA287911

### T97852

AACAGTTGTGCTCTGCCCACAAACAGGCGTCCCTTTCCCTCTGGATAACAACAAAAGCAA GCCGGGANGNCTGNCGCTCTCCTCCTGCTGTCTCTGCTGGTGGCCACATGGGTGCTGGTN GCAGGGATCTATCTAATGTNGAGGCACGAAAGGGATCAAGAGGACTTCCTTTTCTACCAC CACACTACTGCCCCCCATTAAGGTTCTTGTNGGTTTACCCATCTGGAAATATGTTTCCAT CACACAATTTGTTACTTCACTGGAATTTCTTCAAAACCATTGGCAGGANGTGAGGGTCAT CCTTGGAAAAGTGGGC

#### T97745

# N40294

GTTTCAACACAATTTTGGATCAGCTGCCTGTTTGCAAAAACATAATATATTTCTGTTAAA
CAGTTCTTCACCTAACAGCATATTGCTCTTATAACTGGTAGAGCTGTTTCAAAGGAAGTT
GGTTTCTGGTCCAAGTTTTGACCTAAACCATGTCCATCTTCTATTACCAGCACTTACAAG
CACTGTGAAAACTGATCATGACAAATAAGTAAAATTTGCTACATTAAACATATTGCCTCA
GCCATTACTAAGCGTCCACTTGTAAAGCTGGACACAGTTTTTACTTTATGCTTCATTTTG
ATTTTTTATCCGTAAGACATAAATTAGAAGGCATGAGGTGGCCCTTTAAGGATAATCTGC
AAATATACACATTTTAAATAGTCATCCATCTGGAAATCGNTCCACCATTCCAGGGGAAGG
ATTCCAGGTATTGGTGGTGGGAAATAAAGCATTCCCCNGGGAAAAAAACCATTTTA
TGNCTAAATAATTACCACCATTAACCTCNTGGGGTT

### AA809841

GAATACTAACTCTAAGAACCCCTCACTGATTCACTCAATAGCATCTTAAGTGAAAAACCT TCTATTACATGCAAAAAATCATTGTTTTTAAGATAACAAAAGTAGGGAATAAACAAGCTG AACCCACTTTTACTGGACCAAATGATCTATTATATGTGTAACCACTTGTATGATTTGGGA TTTGCAT

#### AA832389

TTTTTTACAACTTCAAAGCTGTTTTATACATAGAAATCAATTACAGTTTTAATTGAAAAC
TATAACCATTTTGATAATGCAACAATAAAGCATCTTCAGCCAAACATCTAGTCTTCCATA
GACCATGCATTGCAGTGTACCCAGAACTGTTTAGCT

#### H14692

CTGAGTGTGATGGTGTAAGCCTGTGGTCCCAGCTACTAGGGAGGCTGAGATGGGATTACA
GGTGTGAGCCACGGCGCCTGGCCTAAAAGCATCTTTTTCTTTAACGCAGAGGTTATGTTG
TATTATTAGCATAAATGTTTTTTTCTGGGAATGCTTATTTCACACAGCACAATACTGAAT
CTTCTCTGGAATGTGGATCGATTCAGATGGATGACTATTAAAATGTGTATATTTGCAGA
TTATCCTTAAAGGGCCACCTCATGCCTTCTAATTTATGTCTTACGGATAAAAAAATCAAAA
TGAAGCATAAAGTAAAAACTGTGTCCAGCTTTACAAGTGGACGCTTAGTAATGGCTGAGG
CAATATGTTTAATGTAGCCAAAATTTTACTTATTTGTCCATGATCCAGTTTTTCACAGTGC
TTGTTAAGTGCTGGTAATTAGGAAGGTGGGACATGGGTTAGGTCAAAACTTGGGACCNGA
AACCAACTTGN

### AA732635

### AA928257

## AI184427

# Al298577

 GTGACCTCTAATAGGTAACTTTAGGCAAAAGTAGACAAGTTTGTGGGTATTTTGTTGTTC
ATGTTAAAAGGCACCTGTACAAGAATCAAGATATGAATCTAGTTTGTAGAGGGAAGGTCT
TATGCAAATACCAAATCATACAAGTGGT

### AI692717

### AA910922

#### H90761

TTCACTCAATAGCATCTTAAGTGAAAAACCTTCTATTACATGCAAAAAATCATTGTTTTT
AAGATAACAAAAGTAGGGAATAAACAAGCTGAACCCACTTTTACTGGACCAAATGANCTA
TTATATGTATAACCACTTGTATGATTTGGTATTTGCATAAGACCTTCCCTCTACAAACTA
GATTCATATCTTGATTCTTGTACAGGTGCCTTTTTAATATTCTGTGATGAAATCGTTCAC
AGTCAGAGTACATGTCTGCTGCATATGGGAAATAGGGACTGTTGTTCTGAGGGACAAGGC
ACTCAATTCAGCCGTAAAGGCTGACCCGGGCTACTTTTTTTCCANGGGAATACAATTTTT
TTACCTTGGAATAAAATNGGGCCCGACNGGAC

### AI620122

### AI793318

AAATTTTAACTTTAATAGTTAAAATAGTTAACTATTGGTATGGTAGGAAATGATAAAG
TAGACTAGTATCTGTATACATTTTCTGCATTTATGACATACCTTTTTCTTCATTTTTTTC
AATATTTTAATTGAAAAGTTCATCCGAGTTTCATCTAAGTTTTTTCAAAGTGATACAAAT
CTCCAAAAAATTTTCCAATATATGTATTGAAAAAATCCAGGTGTAAGTGGCTCTGCGCAG
TCCAAACCTGTGTTGTTCAAGGGTCAACTGTGTATGAATCCAAGCGAAAGCTTTTCTTAA
CACCTCATAAGAACTATTTTTTAAAAAACAGGAACTAGCATAGAGTAACCATCACAGGTA
AAGTGTAATTTGTTATCAGCCATCTTTTGCCCATTTCAGTACTGGTAGAAGGCTCAATGG
TAAAAATAAA

#### AA962325

TTTTTTTTTTTTTTTTTTTTTTTTCTGACTGTCCCGTTTTTATTTTTACCATTGAGCCTT
CTACCAGTACTGAAATGGGCAAAAGATGGCTGATAACAAATTACACTTTACCTGTGATGG
TTACTCTATGCTAGTTCCTGTTTTTTAAAAAATAGTTCTTATGAGGTGTTAAGAAAAAGCT
TTCGCTTGGATTCATACACAGTTGACCCTTGAACAACACAGGTTTGGACTGCGCAGACCA
CTTACACCTGGATTTTTTCAATACATATATTGGAAAAATTTTTTTGGGGATTTGTATCACTT
TGAAAAAAACTTAGATGAAAACTCGGATGGACTTTTCCATTAAAATATTGGAAAAAAATGAAG
AAAAAGGT

#### AI733290

#### BQ226353

# W04890

# BM455231

CTTTTAATAGTTAAAATAGTTAACTATTGGTATGGTAGGAAATGATAAAGTAGACTAGTA TCTGTATACATTTTCTGCATTTATGACATACCTTTTTCTTCATTTTTTCAATATTTTAA TTGAAAAGTTCATCCGAGTTTCATCTAAGTTTTTTCAAAGTGATACAAATCTCCAAAAAA TTTTCCAATATATGTATTGAAAAAATCCAGGTGTAAGTGGCTCTGCGCAGTCCAAACCTG TGTTGTTCAAGGGTCAACTGTGTATGAATCCAAGCGAAAGCTTTTCTTAACACCTCATAA GAACTATTTTTAAAAAACAGGAACTAGCATAGAGTAACCATCACAGGTAAAGTGTAATT TGTTATCAGCCATCTTTTGCCCATTTCAGTACTGGTAGAAGGCTCAATGGTAAAAATAAA AACGGGACAGTCAGAAGATCTGGAAGTCCTGACCCTGCTTTCACCTGGCATGTGTAATCC AGTCATGCTCGTATCAGTCTCTGTAGGAGCACTTGAAGGTATTACATAAATGCTATCTAA AATGTTATTTCCTTACTAGGATGTCTTTAAAGAATTATAACCCTTACCGTGCCTCCACAT TAGATAGATCCCTGCCACCAGCACCCATGTGGCCACCAGCAGAGACAGCAGGAGGAGAGG CAGCCAGCCTCCCGGCTTGCTTTGTCTGGAAAAAAACAAAGCTTATTCACCTTTGGAAA AAAATCCACACTTATCTCTTAATTTAAAAACTAAGACTTGGTATACTTTATAGAGGGTTA TTTATTTTTTATTTTTTTTTTGCTTTTGAGACAGAGTCTCGCTTTGTTGCCTANGCTGGAG TGCAGTGCCGCAATCTCGGTTCACTGCAGCCTCCGTTCTCCGGGGTTCAAGGCATGCTGG CTCAGCCTCCTGTATAGCTGGGGATTAAAGGCATGTGTTCACGCGGCCCAGCCCCTTTTG TAAAAGATTTAGATCCCTTTTAAAACCATCAGTCAGGGGGCTCCTTTAAAAAGTCTGGCC ATCTAATCTTTTTTCCCCCAAAAGGGG

#### BI492426

TTTTTTTTTTTTTTTTCTGAGTAAGAACAGGCTTTATTTGTAAAACCACTCGTGACTC
TTTACAAAGCAGGATACACAGAAGGGAAAAAAATACACAGTGCAAAATGGATGTTCTGAG
TGCCACAAGGATCTGCTGAAAAAAAGCCAAAGATGTAAGATGGCTGGGTATATATGAGAAT
GAATATTTCACTATATTCTGATTCAATTACCAGTCTCAGTGGCCCAGGATGAGCTTTTGG
TGTGGTCACATGGCCAACATTTGGATAACAAATGAGGAATAATCTCGTGC

### BG674622

AATTTATAGAGTATTGATGTCATTTATGTTTCTGAGGTGTTTCAACACAATTTTGGATCA
GCTGCCTGTTTGCAAAAACATAATATATTTCTGTTAAACAGTTCTTCACCTAACAGCATA
TTGCTCTTATAACTGGTAGAGCTGTTTCAAAGGAAGTTGGTTTCTGGTCCAAGTTTTGAC
CTAAACCATGTCCATCTTCTATTACCAGCACTTACAAGCACTGTGAAAACTGATCATGAC
AAATAAGTAAAATTTGCTACATTAAACATATTGCCTCAGCCATTACTAAGCGTCCACTTG
TAAAGCTGGACACAGTTTTTACTTTATGCTTCATTTTGATTTTTTATCCGTAAGACATAA
ATTAGAAGGCATGAGGTGGCCCTTTAAGGATAATCTGCAAATATACACATTTTAATAGTC
ATCCATCTGAAATCGATCCACATTCCAGAGAAGATTCAGTATTGTGCTGTGTGAAATAAG
CATTCCCAGAAAAAAAACATTTATGCTAATAATACAACATAACCTCTGCATTAAAGAAA
AGATGCTTTTAGGCCAGGCGCCGTGGCTCACGCCTGTAATCCCTGCACTTTGAGAGGCTG
AGGTGGGTGGATCATGAGGTCAGGAGATCAAGACCATCCTGGCTAACAGGGTGAAACCCC
GTCTCTACTGGGGATATAACAAAGTTAGCTGGGTGTGTGGTGCTTGTGGTCCCAG
CTACTCAGGAGGCTGAGGCAGGAGAATGGCGTGAACCCCGGAAGGCAGAGGTTGTAGTGAC
GCGAGGTTCACGCCACTGCATTCCAGTCTGGG

### BX111256

CAGGAAGNTAAGAACAGTCCTAAAATCTCTTTGGCTTCTTTGTCCTGATATGCACCGGCA
TTTTCACAGTAGGAACTAGGGTTTCTGTCCAGTTTTTTTGGTTCTTTAAGGAATTAATGT
TATTCTGGGTACAACTGCTTACATACATAGCACATATAGATGACATTTTTACAGGCCGTC
TTGTTAGACTGACATACATGGAGGATAGTGCCACCCGCCTCACAAGAACATCAGGTAAGC
TCAGGCACAGAGTGCCCAGGAATCTGTAAGGCTTCGCCCACGCACAAGTCAGGGCTGCCA
GTCACCTGGGTTGTCTCACTTTATTTGGCTGCGTCTAATGACACCTTCCAACTTTTGAC

## BX117618

AAATTTTTAACTTTAATAGTTAAAATAGTTAACTATTGGTATGGTAGGAAATGATAAAG
TAGACTAGTATCTGTATACATTTCTGCATTTATGACATACCTTTTTCTTCATTTTTTC
AATATTTAATTGAAAAGTTCATCCGAGTTTCATCTAAGTTTTTTCAAAGTGATACAAAT
CTCCAAAAAATTTTCCAATATATGTATTGAAAAAATCCAGGTGTAAGTGGCTCTGCGCAG
TCCAAACCTGTGTTGTTCAAGGGTCAACTGTGTATGAATCCAAGCGAAAGCTTTTCTTAA
CACCTCATAAGAACTATTTTTTTAAAAAACAGGAACTAGCATAGAGTAACCATCACAGGTA
AAGTGTAATTTGTTATCAGCCATCTTTTGCCCCATTTCAGTACTGGTAGAAGGCTCAATGG
TAAAAATAAAAACGGGACAGTCAGAAAAA

### AA682806

### AI202376

CTGACTGTCCCGTTTTTATTTTTACCATTGAGCCTTCTACCAGTACTGAAATGGGCAAAA GATGGCTGATAACAAATTACACTTTACCTGTGATGGTTACTCTATGCTAGTTCCTGTTTT TTAAAAAATAGTTCTTATGAGGTGTTAAGAAAAGCTTTCGCTTGGATTCATACACAGTTG ACCCTTGAACAACACAGGTTTGGACTGCGCAGAGCCACCCTCGTGCCGAATT

### AI658949

CTGACTGTCCCGTTTTTATTTTTACCATTGAGCCTTCTACCAGTACTGAAATGGGCAAAA GATGGCTGATAACAAATTACACTTTACCTGTGATGGTTACTCTATGCTAGTTCCTGTTTT TTAAAAAATAGTTCTTATGAGGTGTTAAGAAAAGCTTTCGCTTGGATTCATACACAGTTG ACCCT

### BG403405

GGAAATGATAAAGTAGACTAGTATCTGTATACATTTTCTGCATTTATGACATACCTTTTT
CTTCATTTTTTCAATATTTTAATTGAAAAGTTCATCCGAGTTTCATCTAAGTTTTTTCA
AAGTGATACAAATCTCCAAAAAATTTTCCAATATATGTATTGAAAAAAATCCAGGTGTAAG
TGGCTCTGCGCAGTCCAAACCTGTGTTGTTCAAGGGTCAACTGTGTATGAATCCAAGCGA
AAGCTTTTCTTAACACCTCATAAGAACTATTTTTTAAAAAAACAGGAACTAGCATAGAGTA
ACCATCACAGGTAAAGTGTAATTTGTTATCAGCCATCTTTGCCCATTTCAGTACTGGTAG
AAGGCTCAATGGTAAAAATAAAAACGGGACAGTCAGAAGATCTGGAAGTCCTGACCCTGC
TTTCACCTGGCATGTGTAATCCAGTCATGCTCGTATCAGTCTCTGTAGGAGCACTTGAAG

GTATTACATAAATGCTATCTAACTCTGGGAAACGCCAACATGTGATTGCCTCCAGAGGAA TCTTCTTTAAAAAAAATTCAAAATGTTATTTCCTTACTAGGATGTCTTTAAAGAATTAT AACCCTTACCGTGCCTCCACATTAGATAGATCCCTGCAACAGACCCATGTGGCACCAGCA GAGACAGCAGGAGGAGGCAGCAGCTCCCGGTTGTTTGTCTGGAAAAACAAAGGTTATC ACTTTG

BE673417

CTGACTGTCCCGTTTTTATTTTTACCATTGAGCCTTCTACCAGTACTGAAATGGGCAAAA GATGGCTGATAACAAATTACACTTTACCTGTGATGGTTACTCTATGCTAGTTCCTGTTTT TTAAAAAATAGTTCTTATGAGGTGTTAAGAAAAGCTTTCGCTTGGATTCATACACAGTTG ACCCT

AW021469

CF455736

AW339874

BG399724

CATGATGTTCAGTATGATCAGTTAACCTTAACCTCTGAGCATCCTGAAGCAAAATCTAAA TAATGCAGCTATTACCACTGGTGGTCCAGGCTCTGGTGAAGCCCTCTGAGCCCAGGAGGA AGAGAAAGCATTGTCCAGAGGTAGGAACACAGTCTGGGAGCCCCAGAGCTCTGGGAGGAGT GGGAAAATGCTGCTTCCTGCTTGCTTCTAGGCACCTGCTTCCGCCATCTCACTTACC ATGGCTAGAGATGGGGTGAGACTGGGGAAGGACAGAAAGCAGGGAACAGATAAGGGATGG AAATCAGAAGGGAATATAGAAAGAACTCTGGATGTGGAGAAATGCCGGTACCTGAGCATT TTGTATCAATGGGAGTACCCTCTGTAACTGCTCAGTAGGTTACAAATGAAGAGTCCACCA GTATTAGAAACAATTTAAACTTGCCAGTACCAACTGGGATGTGTGCCTTCAATTTGAAAA TTGTATGTTTTATTTTTTAAATTTGTTAACAGCATTAATTTATAGAGTATTGATGTCATT

#### BF475787

#### BF437145

CTGACTGTCCCGTTTTTATTTTTACCATTGAGCCTTCTACCAGTACTGAAATGGGCAAAA GATGGCTGATAACAAATTACACTTTACCTGTGATGGTTACTCTATGCTAGTATCCTGTTT TTTAAAAAATAGTTCTTATGAGGTGTTAAGAAAAGCTTTCGCTTGGATTCATACACAGTT GACCCT

# H64601

AGGAAGTTAAGAACAGTCCTAAAATCTCTTTGGCTTCTTTGTCCTGATATGCACCGGCAT
TTTCACAGTAGGAACTAGGGTTTCTGTCCAGTTTTTTTTGGTTCTTTAAGGAATTAATGTT
ATTCTGGGTACAACTGCTTACATACATAGCACATATAGATGACATTTTTACAGGCCGTCT
TGTTAGACTGACATACATGGAGGATAGTGCCACCCGCCTCACAAGAACATCAGGTAAGCT
CAGGCACAGAGTCCNAGGGNATCTGTAAGGGCTTCGCCCACGCACAAGTCAGGGCTGCCA
GTCACCNGGGTTGTCTTCACTTTATTTGGGCTGCTTAATGACACCTTNCCAACTTTTT
GACCCCACCCTGGGGCTTGTTGTGTAAACCATTTTTCCCCNTCTGTAATGGAAAA
AGGTTAACACNTTTTTAACTTCCGGNGACATTTTTC

## AF212365

```
gcacgagega tgtegetegt getgetaage etggeegege tgtgeaggag egeegtacee egagageega cegtteaatg tggetetgaa actgggeeat etecagagtg gatgetacaa catgatetaa teeceggaga ettgagggae etecgagtag aacetgttae aactagtgtt gcaacagggg actatteaat tttgatgaat gtaagetggg tacteeggge agatgeeage atecgettgt tgaaggeeae caagatttgt gtgaegggea aaageaactt eeagteetae agetgtgtga ggtgeaatta cacagaggee ttecagaete agaecagaee etetggtggt aaatggaeat ttteetacat eggetteeet gtagagetga acacagteta ttteattggg geecataata tteetaatge aaatatgaat gaagatggee etteeatgte tgtgaattte aceteaceag getgeetaga eeacataatg aaatataaaa aaaagtgtgt caaggeegga ageetgtggg ateegaacat eactgettgt aagaagaatg aggagaeagt agaagtgaae tteacaacca eteecetggg aaacagatae atggetetta teeaacacag cactateate gggttttee aggtgtttga gecacaccag aagaaacaaa egegagette agtggtgatt eeagtgaetg gggatagtga aggtgetaeg gtgeagetga eteeatattt teetaettgt
```

ggcagcgact gcatccgaca taaaggaaca gttgtgctct gcccacaaac aggcgtccct tteeetetgg ataacaacaa aagcaageeg ggaggetgge tgeeteteet eetgetgtet ctgctggtgg ccacatgggt gctggtggca gggatctatc taatgtggag qcacgaaagq atcaagaaga cttccttttc taccaccaca ctactgcccc ccattaaggt tcttgtgqtt tacccatctg aaatatgttt ccatcacaca atttgttact tcactgaatt tcttcaaaac cattgcagaa gtgaggtcat ccttgaaaag tggcagaaaa agaaaatagc agaqatqqgt ccagtgcagt ggcttgccac tcaaaagaag gcagcagaca aagtcgtctt ccttctttcc aatgacgtca acagtgtgtg cgatggtacc tgtggcaaga gcgagggcag tcccagtgag aacteteaag actetteece ttgeetttaa cettttetge agtgatetaa gaageeagat tcatctgcac aaatacgtgg tggtctactt tagagagatt gatacaaaag acgattacaa tgotetcagt gtetgececa agtaccacct catgaaggat gecactgett tetgtgcaga acttetecat gtcaagtage aggtgtcage aggaaaaaga teacaageet gecaegatgg ctgctgctcc ttgtagccca cccatgagaa gcaagagacc ttaaaggctt cctatcccac caattacagg gaaaaaacgt gtgatgatee tgaagettac tatgcageet acaaacagee ttagtaatta aaacatttta taccaataaa attttcaaat attgctaact aatgtagcat taactaacga ttggaaacta catttacaac ttcaaagctg ttttatacat agaaatcaat tacagtttta attgaaaact ataaccattt tgataatgca acaataaagc atcttcagcc aaaaaaaaa aaaaaa

### AF208110

eggegatgte getegtgetg ataageetgg eegegetgtg eaggagegee gtaceeegag ageogacogt teaatgtgge tetgaaactg ggccatetee agagtggatg etacaacatg atctaatccc cggagacttg agggacctcc gagtagaacc tgttacaact agtgttgcaa caggggacta ttcaattttg atgaatgtaa gctgggtact ccgggcagat gccagcatcc gettgttgaa ggccaccaag atttgtgtga cgggcaaaag caacttccag tectacaget qtqtqaqqtq caattacaca qaqqcettcc aqactcaqac cagaccctct qqtqqtaaat ggacattttc ctatateggc ttccctgtag agctgaacac agtctatttc attggggccc ataatattee taatgeaaat atgaatgaag atggeeette catgtetgtg aattteacet caccaggotg cotagaccac ataatgaaat ataaaaaaaa gtgtgtcaag gccggaagcc tgtgggatcc gaacatcact gcttgtaaga agaatgagga gacagtagaa gtgaacttca caaccactcc cctgggaaac agatacatgg ctcttatcca acacagcact atcatcgggt tttctcaggt gtttgagcca caccagaaga aacaaacgcg agcttcagtg gtgattccag tgactgggga tagtgaaggt gctacggtgc agctgactcc atattttcct acttgtggca gegactgcat cegacataaa ggaacagttg tgctctgccc acaaacaggc gtccctttcc ctctggataa caacaaaagc aagccgggag gctggctgcc tctcctcctg ctgtctctgc tggtggccac atgggtgctg gtggcaggga tctatctaat gtggaggcac gaaaggatca agaagacttc cttttctacc accacactac tgccccccat taaggttctt gtggtttacc catctgaaat atgtttccat cacacaattt gttacttcac tgaatttctt caaaaccatt gcagaaqtqa gqtcatcctt gaaaaqtqqc agaaaaaqaa aatagcagag atqqqtccag tgcagtgget tgccactcaa aagaaggcag cagacaaagt cgtcttcctt ctttccaatg acgtcaacag tgtgtgcgat ggtacctgtg gcaagagcga gggcagtccc agtgagaact ctcaagacet cttccccett geetttaace ttttctgcag tgatctaaga agccagatte atotgoacaa atacgtggtg gtotacttta gagagattga tacaaaagac gattacaatg ctctcaqtgt ctgccccaag taccacttca tgaaggatgc cactgctttc tgtgcagaac ttetecatqt caaqcaqcaq qtqtcaqcaq qaaaaagate acaagcetge cacgatqget gctgctcctt gtagcccacc catgagaagc aagagacctt aaaggcttcc tatcccacca attacaggga aaaaacgtgt gatgatcctg aagcttacta tgcagcctac aaacagcctt actaacqatt ggaaactaca tttacaactt caaagctgtt ttatacatag aaatcaatta cagetttaat tgaaaactgt aaccattttg ataatgcaac aataaagcat ettecaaaaa aaaaaaaaa aaaaaaaaa aaaaaaaaa

AF208111

eggegatgte getegtgetg ataageetgg eegegetgtg eaggagegee gtaceecgag ageogacogt teaatgtggc tetgaaactg ggecatetee agagtggatg etacaacatg atctaatccc cggagacttg agggacctcc gagtagaacc tgttacaact agtgttqcaa caggggacta ttcaattttg atgaatgtaa gctgggtact ccgggcagat gccagcatcc gettgttgaa ggccaccaag atttgtgtga cgggcaaaag caacttccag tectacaget gtgtgaggtg caattacaca gaggcettee agacteagae cagaccetet ggtgqtaaat ggacattttc ctatateggc ttccctgtag agctgaacac agtctatttc attggggccc ataatattee taatqeaaat atqaatgaag atggeeette catqtetgtq aattteacet caccaggetg cetagaccac ataatgaaat ataaaaaaaa gtgtgtcaag geeggaagee tgtgggatec gaacatcact gettgtaaga agaatgagga gacagtagaa gtgaacttca caaccactee cetgggaaac agatacatgg etettateca acacageact atcategggt tttctcaggt gtttgagcca caccagaaga aacaaacgcg agcttcagtg gtgattccag tgactgggga tagtgaaggt gctacggtgc aggtaaagtt cagtgagctg ctctggggag ggaagggaca tagaagactg ttccatcatt cattgctttt aaggatgagt tctctcttgt caaatgcact totgccagca gacaccagtt aagtggcgtt catgggggtt ctttcgctgc agectecace gtgctgaggt caggaggeeg acgtggcagt tgtggteect tttgcttgta ttaatggctg ctgaccttcc aaagcacttt ttattttcat tttctgtcac agacactcaq ggatagcagt accattttac ttccgcaagc ctttaactgc aagatgaagc tgcaaagggt ttgaaatggg aaggtttgag ttccaggcag cgtatgaact ctggagaggg gctgccagtc ctctctgggc cgcagcggac ccagctggaa cacaggaagt tggagcagta ggtgctcctt cacctctcag tatgtctctt tcaactctag tttttgaagt ggggacacag gaagtccagt ggggacacag ccactoccca aagaataagg aacttccatg cttcattccc tggcataaaa agtgntcaaa cacaccagag ggggcaggca ccagccaggg tatgatgggt actaccettt tetggagaac catagaette eettaetaca gggaettgea tgteetaaag caetggetga aggaaqccaa qaggatcact gctgctcctt ttttgtagag gaaatgtttg tgtacgtggt aagatatgac ctagcccttt taggtaagcg aactggtatg ttagtaacgt gtacaaagtt taggttcaga coccegggagt cttgggcatg tgggtctcgg gtcactggtt ttgactttag ggotttgtta cagatgtgtg accaagggga aaatgtgcat gacaacacta gaggtagggg cgaagccaga aagaagggaa gttttggctg aagtaggagt cttggtgaga ttttgctgtg atgeatggtg tgaactttet gageetettg ttttteetea getgaeteca tatttteeta cttgtggcag cgactgcatc cgacataaag gaacagttgt gctctgccca caaacaggcg tecettteee tetggataac aacaaaagca ageegggagg etggetgeet etecteetge tgtetetget ggtggceaca tgggtgetgg tggcagggat etatetaatg tggaggcaeg aaaqqatcaa qaaqacttcc ttttctacca ccacactact qcccccatt aaqqttcttq tggtttaccc atctqaaata tgtttccatc acacaatttg ttacttcact gaatttcttc aaaaccattg cagaagtgag gtcatccttg aaaagtggca gaaaaagaaa atagcagaga tgggtccagt gcagtggctt gccactcaaa agaaggcagc agacaaagtc gtcttccttc tttccaatga cgtcaacagt gtgtgcgatg gtacctgtgg caagagcgag ggcagtccca gtgagaactc tcaagacctc ttcccccttg cctttaacct tttctgcagt gatctaagaa gecagattea tetgeacaaa taegtggtgg tetaetttag agagattgat acaaaagaeg attacaatgc totcagtgtc tgccccaagt accacttcat gaaggatgcc actgctttct gtgcagaact tctccatgtc aagcagcagg tgtcagcagg aaaaagatca caagcctgcc acgatggetg etgeteettg tageceacce atgagaagea agagacetta aaggetteet atcccaccaa ttacaqqqaa aaaacqtqtq atqatcctga agcttactat gcagcctaca gtagcattaa ctaacgattq qaaactacat ttacaacttc aaagctgttt tatacataga aatcaattac agctttaatt gaaaactgta accattttga taatgcaaca ataaagcatc ttccaaaaa aaaaaaaaa aaaaaaaaa aaaaaa

AF250309

atgtegeteg tgetgetaag eetggeegeg etgtgeagga gegeegtaee eegagageeg accettcaat gtggctctga aactgggcca tctccagagt ggatgctaca acatgatcta atcccgggag acttgaggga cctccgagta gaacctgtta caactagtgt tgcaacaqqq gactattcaa ttttgatgaa tgtaagctgg gtactccggg cagatgccag catccgcttg ttgaaggcca ccaagatttg tgtgacgggc aaaagcaact tccagtccta cagctgtgtg aggtgcaatt acacagagge ettecagaet cagaccagae cetetggtgg taaatggaca ttttcctata tcggcttccc tgtagagctg aacacagtct atttcattgg qqcccataat attectaatg caaatatgaa tgaagatgge cettecatgt etgtgaattt caceteacca ggctgcctag accacataat gaaatataaa aaaaagtgtg tcaaggccgg aaqcctgtqq gatccgaaca tcactgcttg taagaagaat gaggagacag tagaagtgaa cttcacaacc actecectgg gaaacagata catggetett atecaacaca geactateat egggttttet caggigtitig agccacacca gaagaaacaa acgcgagcit cagiggigat tccagigact ggggatagtg aaggtgetac ggtgcagctg actccatatt ttcctacttg tggcagcgac tgcatccgac ataaaggaac agttgtgctc tgcccacaaa caggcgtccc tttccctctg gataacaaca aaagcaagcc gggaggctqq ctqcctctcc tcctgctqtc tctgctqtq gccacatggg tgctggtggc agggatctat ctaatgtgga ggcacgaaag gatcaagaag acttcctttt ctaccaccac actactgccc cccattaagg ttcttgtggt ttacccatct gaaatatgtt tccatcacac aatttgttac ttcactgaat ttcttcaaaa ccattgcaga agtgaggtca tccttgaaaa gtggcagaaa aagaaaatag cagagatggg tccagtgcag tggcttgcca ctcaaaagaa ggcagcagac aaagtcgtct tccttctttc caatgacgtc aacagtgtgt gcgatggtac ctgtggcaag agcgagggca gtcccagtga gaactctcaa spacetottee ecettgeett taacetttte tgeagtgate taagaageea gatteatetg cacaaatacg tggtggtcta ctttagagag attgatacaa aagacgatta caatgctctc agtgtetgee ccaagtacca ceteatgaag gatgecactg etttetgtge agaacttete catqtcaaqc aqcaqqtqtc aqcaqqaaaa aqatcacaaq cctqccacqa tqqctqctqc tecttgtage ceacceatga gaageaagag acettaaagg gtteetttte ceatcattta caggggaaaa acgtgtgatg atc

# AK095091

catattagag totacagata tgcctttctt acagcaatcc tgcacccaca taaaagctac attttcaata caagattaaa aggtattctg caaaatgtgc aaggttttca tgtctgctgg tgtagetgta gtgatggett catgaattit titettitti gactatggte ettacgetgg atteatttat ettgaaatgg tgaacaatca cagetgeaga eeeteaattt atggtacata tgacactgct tcttgggage actgccagca ttactagtgg cacttcgtat gggtcctaag gtgttattga aggtttacga tattgcacta aacacgaaaa ataccagaga accactggag atacttttta ctgtgatatg taatttactg gagacaggaa ctgctcgttt ggagatggtt agcatcacag ggtgttttaa gtcgatactt gcaacccttg agctcaccac agtagcaaca ggaggtgget aggaaattat teacageagg acagtaegea etgeaattaa ttgtatgeag ttatgattta ataccacate tttatgetca eqtttetete aactgtgaat ggtgecatgt acagttggta tgtgtgtgtt taagttttga taaattttta acttttaata gttaaaatag ttaactattg gtatggtagg aaatgataaa gtagactagt atctgtatac attttctgca tttatgacat accititict tcattitit caatalitta attgaaaagt tcatccgagt ttcatctaag ttttttcaaa gtgatacaaa tctccaaaaa attttccaat atatgtattg aaaaaatcca ggtgtaagtg getetgegea gtecaaacet gtgttgttea agggteaact gtgtatgaat ccaagcgaaa gcttttctta acacctcata agaactattt tttaaaaaaac aggaactagc atagagtaac catcacaggt aaagtgtaat ttgttatcag ccatcttttg cccatttcag tactggtaga aggctcaatg gtaaaaataa aaacgggaca gtcagaagat etggaagtee tgaccetget tteacetgge atgtgtaate cagteatget egtateagte totgtaggag cacttgaagg tattacataa atqctatcta actotgggaa acgccaacat gtgattgcct ccagaggaat cttctttaaa aaaaaattca aaatgttatt tccttactag gatgtettta aagaattata accettaceg tgeeteeaca ttagatagat ceetgeeace agcacccatg tggccaccag cagagacage aggaggagag gcagccaqce teccqqettq cttttgtctg gaaaaaacaa agcttattca cctttggaaa acaaatccac acttatctct taatttaaaa actaagactt ggtatacttt atagaggttt atttatttt tattatttt tagttttgag acagagtete getttgttge etaggetgga gtgeagtgge geaatetegg tteactgeag ceteegtete cegggtteaa geaatgetge etcageetee tgagtagetg ggattacagg catgtgtcac cgcgcccagc cactttgtag agatttagat ccctttaaaa ccatcagtca gaagetettt agatagtetg ccaatcatat ettttteeet agagtgtgea ggtcttgcat tagattctca aaagggatat gggacccagg aagttaagaa cagtcctaaa atticting cttcttigtc cigatatgea coggeattit cacagiagga actagggitt ctgtccaqtt tttttqqttc tttaaqqaat taatqttatt ctqqqtacaa ctqcttacat acatagcaca tatagatgac attittacag gccqtcttqt tagactqaca tacatqqaqq atagigocae cegecicaca agaacateag giaaqeteag geacagagig eecaggaate tgtaaggett egeccaegea caagteaggg etgecagtea eetgggttgt etteaettta tttggctgcg tctaatgaca ccttccaact tttgacccca cccctggact gttgtgtaaa cattgtattt ctccatctgt aatgaaaaag ctaacacatc tctaactcca gagacatttt ccagaacatg ctgttctcag gcactagtga ggcggtacca ttattcctca tttgttatcc aaatgttgge catgtgacca caccaaaage teatcetggg ceactgagae tagtaattga atcagaatat agtgaaatat tcattctcat atatacccaq ccatcttaca tctttqqctt ttttcagcag atccttqtqq cactcagaac atccattttq cactqtqtat ttttttccct totgtgtato otgotttgta aagagtoaog agtggtttta caaataaago otgttottao tcag

### BM983744

TTTTTTTTTTTTTTTTCTGAGTAAGAACAGGCTTTATTTGTAAAACCACTCGTGACTCTT
TACAAAGCAGGATACACAGAAGGGAAAAAAATACACAGTGCAAAATGGATGTTCTGAGTG
CCACAAGGATCTGCTGAAAAAAGCCAAAGATGTAAGATGGCTGGGTATATATGAGAATGA
ATATTCACTATATTCTGATTCAATTACCAGTCTCAGTGGCCCAGGATGAGCTTTTGGTG
TGGTCACATGGCCAACATTTGGATAACAAATGAGGAATAATGGTACCGCCTCACTAGTGC
CTGAGAACAGCATGTTCTGGAAAATGTCTCTGGAGTTAGAGATGTGTTAGCTTTTTCATT
ACAGATGGAGAAATACAATGTTTACACAACAGTCCAGGGGTGGGGTCAAAAGTTGGAAGG
TGTCATTAGACGCAGCCAAATAAAGTGAAGACACCCAGGTGACTGGCAGCCCTGACTTG
TGCGTGGGCGAAGCCTTACAGATTCCTGGGCACTCTGTGCCTGAGCTTACCTGATGTTCT
TGTGAGGCGGGTGGCACTATCCTCCATGTATGTCAGTCTAACAAGACGGCCTGTAAAAAT
GTCATCTATATGTGCTATGTATGTAAGCAGTTGTACCCAGGAATAACATTAATCCTCGTGC
CGAAT

## CB305764

TTTTTTTTTTTTTTTGGGCTGAAGATGCTTTATTATTGCATTATCAAAATGGTTATA
GTTTCAATTAAAACTGTAATTGATTTCTATGTATAAAACAGCTTTGAAGTTGTAAATGT
AGTTTCCAATCGTTAGTTAATGCTACATTAGTTAGCAATATTTGAAAATTTTATTGGTAT
AAAATGTTTTAATTACTAAGGCTGTTTGTAGGCTGCATAGTAAGCTTCAGGATCATCACA
CGTTTTTTCCCTGTAATTGGTGGGATAGGAAGCCTTTAAGGTCTCTTGCTTCTCATGGGT
GGGCTACAAGGAGCAGCAGCCATCGTGGCAGGCTTGTGATCTTTTTCCTGCTGACACCTG
CTGCTTGACATGGAGAAGTTCTGCACAGAAAAGCAGTGGCATCCTTCATGAGGTGGTACTT
GGGGCAGACACTGAGAGCATTGTAATCGTCTTTTGTATCAATCTCTCTAAAGTAGACCAC
CACGTATTTGTGCAGATGAATCTGGCTTCTTAGATCACTGCAGAAAAGGTTAAAGGCAAG
GGGGAAGAGGGTCTTGAGAGTTCTCACTGGGACTGCCCTCGCTCTTGCCACAGGTACCATC
GCACACACTGTTNACGTCATTGGAAAGAAGAGGAAGACGACTTTGTCTGCTTCTTTTG
AGTG

BM715988

### BM670929

## BI792416

GCTGAAGATGCTTTATTGTTGCATTATCAAAATGGTTACAGTTTTCAATTAAAGCTGTAA TTGATTTCTATGTATAAAACAGCTTTGAAGTTGTAAATGTAGT

## BI715216

## N56060

AGAAAAGAAATAGCAGAGATGGGTCCAGTGCAGTGGCTTGCATAAAAAAGAAGGCAGC
AGACAAAGTCGTCTTCCTTTTCCAATGACGTCAACAGTGTGTGCGATGGTACCTGTGG
CAAGAGCGAGGGCAGTCCCAGTGAGAACTCTCAAGACCTCTTCCCCCCTTGCCTTTAACC
TTTTCTGCAGTGATCTAAGAAGCCAGATTCATCTGCACAAATACGTGGTGGTCTACTTTA
GAGAGATTGATACAAAAGACGATTACAATGCTCTCAGTGTCTGCCCCAAGTACCACCTCA
TGAAGGATGCCACTGCTTTCTGTGCAGAACTTCTCCATGTCAAGCAGCAGGTTTCAGCAG
G

## CB241389

### AV660618

CGCTCGTGCTGCTAAGCCTGGCCGCGCTGTGCAGGAGCGCCGTACCCCGAGAGCCGACCG
TTCAATGTGGCTCTGAAACTGGGCCATCTCCAGAGTGGATGCTACAACATGATCTAATCC
CCGGAGACTTGAGGGACCTCCGAGTAGAACCTGTTACAACTAGTGTTGCAACAGGGGACT
ATTCAATTTTGATGAATGTAAGCTGGGTACTCCGGGCAGATGCCACACCAGAAGAAACAA
ACGCGAGCTTCAGTGGTGATTCCAGTGACTGCGGTATGTGAAGGTGCTACGGTGCAGCTG
ACTCCATATTTTCCTACTTGTGGCAGCGACTGCATCCGACATAAAGGAACAGTTGTGCTC
TGCCCACAAACAGGCGTCCCTTTCCCTCTGGATAACAAC

### BX088671

# CB154426

## CA434589

TTTTTTTTTTTTTTTTCTGAGTAAGAACAGGCTTTATTTGTAAAACCACTCGTGACTC
TTTACAAAGCAGGATACACAGAAGGGAAAAAAATACACAGTGCAAAATGGATGTTCTGAG
TGCCACAAGGATCTGCTGAAAAAAGCCAAAGATGTAAGATGGCTGGGTATATATGAGAAT
GAATATTTCACTATATTCTGATTCAATTACCAGTCTCAGTGGCCCAGGATGAGCTTTTGG
TGTGGTCACATGGCCAACATTTGGATAACAAATGAGGAATAATGGTACCGCCTCACTAGT
GCCTGAGAACAGCATGTTCTGGAAAATGTCTCTGGAGTTAGAGATGTGTTAGCTTTTTCA
TTACAGATGGAGAAAATACAATGTTTACACAACAGTCCAGGGGTGGGGTCAAAAGTTGGAA

### CA412162

TTTTTTTTTTTTTTTTGGCTGAAGATGCTTTATTGTTGCATTATCAAAATGGTTATAG
TTTTCAATTAAAACTGTAATTGATTTCTATGTATAAAACAGCTTTGAAGTTGTAAATGTA
GTTTCCAATCGTTAGTTAATGCTACATTAGTTAGCAATATTTGAAAATTTTATTGGTATA
AAATGTTTTAATTACTAAGGCTGTTTGTAGGCTGCATAGTAAGCTTCAGGATCATCACAC
GTTTTTTCCCTGTAATTGGTGGGATAGGAAGCCTTTAAGGTCTCTTTGCTTCTCATGGGTG
GGCTACAAGGAGCAGCCATCGTGGCAGGCTTGTGATCTTTTTCCTGCTGACACCTGC
TGCTTGACATGGAGAAGTTCTGCACAGAAAGCAGTGGCATCCTTCATGAGGTGGTACGTG
GGGCAGACACTGAGAGACTTGTAATCGTCTTTTGTATCAATCTCTCTAAAGTAGACCACC
ACGTATTTGTGCAGATGAATCTGGCTTCTTAGATCACTGCAGAAAAGGTTAAAGGCAAGG
GGGAAGA

#### CA314073

### BF921554

GTGGTGACCGTGCCTTGCCACTCAAAAGAAGCCAGCAGACAAAGTCGTCTTCCTTTT
CCAATGACGTCAACAGTGTGTGCGATGGTACCTGTGGCAAGAGCGAGGGCAGTCCCAGTG
AGAACTCTCAAGACCTCTTCCCCCCTTGCCTTTAACCTTTTCTGCAGTGATCTAAGAAGCC
AGATTCATCTGCACAAATACGTGGTGGTCTACTTTAGAGAGATTGATACAAAAGACGATT
ACAATGCTCTCAGTGTCTGCCCCAAGTACCACCTCATGAAGGATGCCACTGCTTCTGTG
CATAACTTCTCCATGTCAAGCAGCAGGTGTCAGCAGGAAAAAGATCACAAGCCTGCCACG
ATGGCTGCTGCTCCTTGTAGCCCACCCATGAGAAGCAAGAGACCTTAAAGGCTTCCTATC
CCACCAATTACAGGGAAAAAAAACGTGTGATGATCCTGAAGCCACGGTCAA

### BF920093

AATCGTCTTTTGTATCAATCTCTCTAAAGTAGACCACCACGTATTTGTGCAGATGAATCT GGCTTCTTAGATCACTGCAGAAAAGGTTAAAGGCAAGGGGGAAGAGGTCTTGAGAGTTCT CACTGGGACTGCCCTCGCTCTTGCCACAGGTACCATCGCACACACTGTTGACGTCATTGG AAAGAAGGAAGACGACTTTGTCTGCTGCCTTCTTTTGAGTGGCAAGCCACGGTCAACCCA CAAGCCACGGTCAACCCAC

#### AV685699

TCTACGTGGTAAGATATGACCTAGCCCTTTTAGGTAAGCGAACTGGTATGTTAGTAACGT
GTACAAAGTTTAGGTTCAGACCCCGGGAGTCTTGGGCATGTGGGTCTCGGGTCACTGGTT
TTGACTTTAGGGCTTTGTTACAGATGTGTGACCAAGGGGAAAATGTGCATGACAACACTA
GAGGTAGGGGCGAAGCCAGAAAGAAGGGAAGTTTTGGCTGAAGTAGGAGTCTTGCGACTG
CATCCGACATAAAGGAACAGTTGTGCTCTGCCCACAAACAGGCGTCCCTTTCCCTCTGGA
TAACAACAAAAGCAAGCCGGGAGGCTGGCTGCCTCTCCTCCTGCTGTCTCTGCTGGTGGC
CACATGGGTGCTGGTGGCAGGGATCTATCTAATGTGGAGGCACGAAAGGATCAAGAAGAC
TTCCTTTTCTACCACCACACACTACTGCCCCCCCATTAAGGTTCTTGTGGTTTACCCATCTGA
AATATGTTTCCATCACACAAATTTGTTACTTCACTGAATTTCTTCAAAACCATTGCAGAAG
TGAGGTCATCCTTGAAAGTGGCAGAGTAGCAGAGATGGGTCCAGTGCAGTGCCTTGCCAC
TCGTGCGATGGTCTT

#### AV650175

GGCACGAGCACTGGCTGAAGGAAGCCAAGAGGATCACTGCTGCTCCTTTNTTCTAGAGGA
AATGTTTGTCTACGTGGTAAGATATGACCTAGCCCTTTTAGGTAAGCGAACTGGTATGTT
AGTAACGTGTACAAAGTTTAGGTTCAGACCCCGGGAGTCTTGGGCATGTGGGTCTCGGGT
CACTGGTTTTGACTTTAGGGCTNTGTTACAGATGTGTGACCAAGGGGAAAATGTGCATGA
CAACACTAGAGCTGACTCCATATTTTCCTACTTGTGGCAGCGACTGCATCCGACATAAAG
GAACAGTTGTGCTCTGCCCACANACAGGCGTCCCTTTCCCTCTGGATAACAACATAAGCA
AGCCGGGAGGCTGGCTCTCCTCCTGCTGTCTCTTGCTGGTGGCACATGGGTGCTGGT
GGAGGGATCTATCTAATGTGGAGGCACGGATCAAGAAGACTTNCTTNTCTACCACCACAC
TACTGGCCCCAATAAGGGTCTNGTGGNTACCCCATCTGAATATGTTCATACACAATTTGT
ACTCACTGAATTCTCAAAACATTGAGAGTGAGGCATCCTGAAAGTGCGAAAAGANATGCN
AATGGTCAGTGCATGCACTAGCAGCATGGACTT

### BX483104

## CD675121

GTCTTGCATTAGATTCTCAAAAGGGATATGGGACCCAGGAAGTTAAGAACAGTCCTAAAA TCTCTTTGGCTTCTTTGTCCTGATATGCACCGGCATTTTCACAGTAGGAACTAGGGTTTC

#### BE081436

#### AW970151

CTGAAATATGTTTCCATCACACAATTTGTTACTTCACTGAATTTCTTCAAAACCATTGCA
GAAGTGAGGTCATCCTTGAAAAGTGGCAGAAAAAGAAAATAGCAGAGATGGGTCCAGTGC
AGTGGCTTGCCACTCAAAAGAAGGCAGCAGACAAAGTCGTCTTCCTTTTCCAATGACG
TCAACAGTGTGTGCGATGGTACCTGTGGCAAGAGCGAGGCAGTCCCAGTGAGAACTCTC
AAGACCTCTTCCCCCTTGCCTTTAACCTTTTCTGCAGTGATCTAAGAAGCCAGATTCATC
TGCACAAATACGTGGTGGTCTACTTTAGAGAGATTGATACAAAAGACGATTACAATGCTC
TCAGTGTCTGCCCCAAGTACCACCTCATGAAGGATGCCACTGCTTTCTGTGCAGAACTTC
TCCATGTCAAGTAGCAGGTGTCAGCAGGAAAAAGATCACAAGCCTGCCACGATGGCTGCT
GCTCCTTGTAGCCCCACCCATGAGAAGCCAAGAGACCTTAAAGGCTTCCTATCCCACCAATT
ACAGGGAAAAAAACGTGTGATGATCCCTGAAGCTTACTATGCAGCCTACANACAGCCTTA
GTAATAAAACATTTTATCCAATAAAATTTCAAATTTTGCTTAACTATGTGCATAAACTAC
GATTGAAAAACTCTTTACACT

### AW837146

# AW368264

 TTTTAAAGAAGATTCCTCTGGAGGCAATCACCTGTTGGCGTTTCCCAGAGTTAGATAGCA TTTATGTAATACCTTCAAGTGCTCCTACAGAGACTGATACGAGCATGACTGGATTACACA TGCCAGGTGAAAGCAGGCCAGGACTTCCAGATCTTCTGACTGTCCCGTTTTTATTTTTA CCATTGAGCCTTCTACCAGAACTGAAATGGGCAAAAGATGGCTGATAACAAATTACACTT TACCTGTGATGGTTACTCTATGCTAGTTCCTGTTTTTTAAAAAAATAGTTCTTATGAGGTG TCAAGAAAAGCTTTCGCTTGGATTCATACACAGTTGACCCTTGAACAACACAG

#### D25960

### AV709899

### BX431018

## AL535617

TAGGTGACACTATAGAACAAGTTTGTACAAAAAAGCAGGCTGGTACCGGTCCGGAATTCC CGGGATAGTGGMCCGGCGAKGTCGCTCGTGCTGCTAAGCCTGGCCGCGCTGTGCAGGAGC GCCGTACCCCGAGAGCCGACCGTTCAATGTGGCTCTGAAACTGGGCCATCTCCARAGTGG ATGSKACAACATGATCTAATCCCGGGAGACTTGAGGGGACCTCCGAGTAGAACCTGTTACA ACTAGTGTTGCAACAGGGGACTATTCAATTTTGATGAATGTAAGCTGGGTACTCCGGGSA
GATGCCAGCATCCGCTTGTTGAAGGCCACCAAGATTTGTGTGAMGGGCAAAAGCAACWTC
CAGTCCTACAGCWGTGTGAGGTAGCAATTACACAGAGAGCACATATCCAGACTCTAGACC
AGACCCTCTGGWGGTAAATGGACATTTTCCTATATCGGCTTCCCTGTAGAGCTGAACACA
GTCTATATTCATTGGGGCCCAWAATAWWCCTAATGCAAATATGAAATAWAAAAAAA
GTGTGTCTGTGAATTTCACCTCACCAGGCTGCCTAGACCACATAATGAAATAWAAAAAAA
GTGTGTCAAGGCCGGAAGCCTGTGGGATCCGAACATCACTGCTTGTAAGAAGAATGARGA
GACAGTAGAAGTGAACTTCACAACCACTCCCCTGGGAAACAGATAMATKGCTCTTATCCA
ACACARMACTATCATCGGGTTTTCTCAGGTGTTTGAGCCACACCAGAAGAAACGCG
AGCTTCAGTGGTGATTCCAGTGACTGCGGATAGTGAAGGTGCTACGGTGCAGCTGCCC
ATATTTTCCTACTTGTGGCAGCGWCTGCATCCGACATAAAGGAACAGTTGTGCTCTTGCCC
ACAAACAGGCGTCCCTTTYCCTCTGGATAACAAAAGCAACCAGGAGGTGGTTGCTC

#### AL525465

WAATWAKADDRATANHTGAAAACTATAACCATTTNTGATAATNGNAANAATAAAGCATCT TCAGCCAAACATCTAGTCTTCCATAGACCATGCATTGCAGTGTACCCAGAWCTGTTTAGC TAATATTCTATGTTTAATTAATGAATACTAACTCTAAGAACCCCTCACTGATTCACTCAA TAGCATCTTAAGTGAAAAACCTTCTATTACATGCAAAAAATCATTGTTTTTAAGATAACA AAAGTAGGGAATAAACAAGCTGAACCCACTTTTACTGGACCAAATGATCTATTATATGTG TAACCACTTGTATGATTTGGTATTTGCATAAGACCTTCCCTCTACAAACTAGATTCATAT CTTGATTCTTGTACAGGTGCCTTTTAACATGAACAACAAAATACCCACAAACTTGTCTAC TTTTGCCTAAAGTTACCTATTAGAGGTCACTGTSAGAGTKCTCAGTTTCTTAGTTACTAT TTAASTTTTSATGTTCAAAATGAAAATAATTCTKAAGTKGAAAGSGCTCTTGAAGTAACC TTTTTATAATGAGTTATTATAATGGTTTACTTAAATAAAVAGAGGGGKTTTTGCGGTG GCTCATGCCTCCAATCCCAGCACTTTGGCAAGGCCAAGGCAAAAVGATCGCTCAAGACCA GGCTACGTCACAAAGCGAGACCTCCATCTCTACAAAAGATTTAAAAAATTAGCTGAGTGT GATGGTGTGAGCCTGTGGTCCCAGCTACTAGGGAGGCTGAGATGGGAGGATCACTTGAGC CCTGGAGGTCAAGGGTGCAGTAAACGGTGATTGTGCCACTGCACTCCATCCTGGGTGAGA GCAGACCCTGTCTAAAACAAACAAACGAAAAAACCCCCCACAGAATGACAGAACATAAAAG ATGCACATTTTGTCTTCCAACTTTTTACTCTTCTAAAAGCATCTTTTTTAAATTTTTTAA ATTTTTTTTTTTTGAGACAGAGTTTCACTCTGTCACACAGGCTGGAGTGMGTGGCGTGA CTCGGCTCACTAMAACTCTGCYTCCGGGGTYACSCATCTCCTGCWCAGCTCCTGAGAAGC KGGAYAMAGGMCCACACAAACCAGTAAYTTTATWTTTTGAAAAAGGGTTYACCTGTASMA GRAGGCTGAATCCGACMAARTMACCMCCACYYCAAADGAGGAWAAGKGKRSMGGSCBGGC A

# BX453536

### GTACAGGGTTTTACTTGGGGGGCCCCTCTAAGTTTCCCCGGGATATAAACAAAGTGTGG

#### BX453537

#### AW28945

CAAATATGAATGAAGATGGCCCTTCCATGTCTGTGAATTTCACCTCACCAGGCTGCCTAG
ACCACATAATGAAATATAAAAAAAAGTGTGTCAAGGCCGGAAGCCTGTGGGATCCGAACA
TCACTGCTTGTAAGAAGAATGAGGAGACAGTAGAAGTGAACTTCACAACCACTCCCCTGG
GAAACAGATACATGGCTCTTATCCAACACAGCACTATCATCGGGTTTTCTCAGGTGTTTG
AGCCACCAGAAGAAACAAACGCGAGCTTCAGTGGTGATTCCAGTGACTGGGGATAGTG
AAGGTGCTACGGTGCAACTGACTCCATATTTTCCTACTTGTGGCAGCGACTGCATCCGAC
ATAAAGGAACAGTTGTGCTCTGCCCACAAACAGGCGTCCCTTTCCCTCTGGATAACAAC

### AV728939

GCAAATATGAATGAAGATGGCCCTTCCATGTCTGTGAATTTCACCTCACCAGGCTGCCTA
GACCACATAATGAAATATAAAAAAAAGTGTGTCAAGGCCGGAAGCCTGTGGGATCCGAAC
ATCACTGCTTGTAAGAAGAATGAGGAGACAGTAGAAGTGAACTTCACAACCACTCCCCTG
GGAAACAGATACATGGCTCTTATCCAACACAGCACTATCATCGGGTTTTCTCAGGTGTTT
GAGCCACACCAGAAGAAACAAACGCGAGCTTCAGTGGTGATTCCAGTGACTGCGATAGT
GAAGGTGCTACGGTGCAGCTGACTCCATATTTTCCTACTTGTGGCAGCGACTGCATCCGA
CATAAAGGAACAGTTGTGCTCTGCCCACAAACAGGCGTCCCTTTCCCTCTGGATAACAAC

## AV727345

# CTCTTGAAAGGGCGTG

Secuencias identificadas como las de CHDH

5 >gi|26011703|gb|CA774243.1 |CA774243 en 24a07.x1 Páncreas Fetal Humano 1B, ADNc de Homo sapiens clon IMAGE: 3'

TAAATAACAAAÇACCACTITGTTATGAAGACCTTACAAACCTCTTCTTAAGACATTCTTA
CTCTGATCCAGGCAAAAACACTTCAAGGTTTGTAAATGACTCTTTCCTGACATAAATCCT
TTTTTATTAAAATGCAAAATGTTCTTCAGAATAAAACTGTGTAATAATTTTTATACTTGGG
AGTGCTCCTTGCACAGAGCTGTCATTTGCCAGTGAGAGCCTCCGACGGGGCAGGTACTGT
GCCAGGGCAGCTCTGAAATTATGGATATTCTTATCCTCCTGGTTCCTTCGGTGCCAATGGT
AACCTAATACCAGCCGCAGGGAGCGCCATTTCTCCTAAAGGGCTACACCACTGTCAACAT
TATCCTGGACTCTGTGTCTCTCTCTGTTGGGTCTTGTGGCATCACATCAGGCCAAAATTGC
CAGACCAGGACCCTAAGTGTCTGATAGAGGCGATGATCTTTTCCAAAGTCAGTACTTACA
AACTGGCATTCTTACAGGCTGCACCATTTCCTAGTATGTCTGCTTTAAGCCTGGTTCAACC
TCTCATCGAATATTAAATTTTTCTTTGTA

>gi|23527150|gb|BU679327.1|BU679327UI-CF-DU1-aau-i-03-0-Ul.s1 UI-CF-DU1 ADNc de Homo sapiens clon UI-10 CF-DU1-aau-i-03-0-Ul.s1

>gi|23274053|gb|BU608029.1|BU608029 UI-CF-FN0-aes-I-02-0-UIs1 UI-CF-FNO ADNc de Homo sapiens clon UI-CF-FN0-aes-1-02-0-UI 3'

TITTITTTTTTTTTTGTAAATAACAAACACCACTTTGGTTATGAAGACCTTACAAACCTC
TTCTTAAGACATTCTTACTCTGATCCAGGCAAAAACACTTCAAGGTTTGTAAATGACTCTT

TCCTGACATAAATCCTTTTTATTAAAATGCAAAATGTTCTTCAGAATAAAACTGTGTAAT
AATTTTATACTTGGGAGTGCTCCTTGCACAGAGCTGTCATTTGCCAGTGAGAGCCTCCG
ACAGGGCAGGTACTGTGCCAGGGCAGCTCTGAAATTATGGATATTCTTATCCTCCTGGTT
CCTTCGGTGCCAATGGTAACCTAATACCAGCCGCAGGGAGCGCCATTTCTCCTAAAGGGC
TACACCACTGTCAACATTATCCTGGACTCTGTGTCTCTCTGTTGGGTCTTGTGGCATCA
CATCAGGCCAAAATTGCCAGACCAGGACCCTAAGTGTCTGATAGAGGCGATGATCTTTTC
CAAAGTCAGTACTTACAAACTGGCATTCTTACAGGCTGCACCATTTCCTAGTATGTCTGC
TTTAAGCCTGGTTCAACCTCTCATCGAATATTAAATTTTTCTTTGTAAGAAAAAATTTGAAG
TTGTAGAGCATGGTTTTTTGTTTTCCCTTGTCTTAGGAAAAGTTTTAAGATGAAATGTTTTT
CC

>gi| 11451784|gb|BF439267.1 |BF439267 nab62a07.x1 Soares\_NSF\_F8\_9W\_OT\_PA\_P\_S1\_ ADNc de Homo sapiens clon IMAGE:3272340 3'

5

10

>gi|11448468|gb|BF436153.1|BF436153 nab77h10.x1 Soares\_NSF\_F8\_9W\_OT\_PA\_P\_S1 ADNc de Homo sapiens clon IMAGE:3273859 3'

>gi|10033200|gb|BE672659.1|BE672659 7b71b03.x1NCI\_CGAP\_Lu24 ADNc de Homo sapiens clon IMAGE: 3233645 3'

TTTGTAAATAACAAACACCACTTTGTTATGAAGACCTTACAAACCTCTTCTTAAGACATT
CTTACTCTGATCCAGGCAAAAACACTTCAAGGTTTGTAAATGACTCTTTCCTGACATAAA
TCCTTTTTTATTAAAATGCAAAATGTTCTTCAGAATAAAACTGTGTAATAATTTTTATACT
TGGGAGTGCTCCTTGCACAGAGCTGTCATTTGCCAGTGAGAGCCTCCGACAGGGCAGGT
ACTGTGCCAGGGCAGCTCTGAAATTATGGATATTCTTATCCTCCTGGTTCCTTCGGTGCCA
ATGGTAACCTAATACCAGCCGCAGGGAGCGCCATTTCTCCTAAAGGGCTACACCACTGTC
AACATTATCCTGGACTCTGTGTCTCTCTCTGTTGGGTCTTGTGGCATCACATCAGGCCAAA
ATTGCCAGACCAGGACCCTAAGTGTCTGATAGAGGCGATGATCTTTTCCAAAGTCAGTAC
TTACAAACTGGCATTCTTACAGGCTGCACCATTTCCTAGTATGTCTGCTTTTAAGCCTGGTT
CAACC

>gi|6837905|gb|AW341279.1|AW341279 xz97e03.x1NCI\_CGAP\_Lu24 ADNc de Homo sapiens clon IMAGE: 2872156.3'

TAAATAACTAACACCATTTGTTATGAAGACCTTACAAACCTCTTCTTAAGACATTCTTAC
TCTGATCCAGGCAAAAACACTTCAAGGTTTGTAAATGACTCTTTCCTGACATAAATCCTT
TTTTTATTAAAATGCAAAATGTTCTTCAGAATAAAACTGTGTAATAATTTTTATACTTGGG
AGTGCTCCTTGCACAGAGCTGTCATTTGCCAGTGAGAGCCTCCGACGGGGCAGGTACTGT
GCCAGGGCAGCTCTGAAATTATGGATATTCTTATCCTCCTGGTTCCTTCGGTGCCAATGGT
AACCTAATACCAGCCGCAGGGAGCGCCATTTCTCCTAAAGGGCTACACCACTGTCAACAT
TATCCTGGACTCTGTGTCTCTCTGTTGGGTCTTGTGGCATCACATCAGGCCAAAATTGC
CAGACCAGGACCCTAAGTGTCTGATAGAGGCGATGATCTTTTCCAAAAGTCAGTACTTACA
AACTGGCATTCTTACAGGCTGCACCATTTCCTAGTATGTCTG

>gi|5543775|gb|Al869807.1|Al869807wm04b02.x1 NCI\_CGAP\_Ut4 ADNc de Homo sapiens clon IMAGE:24349233'

GTAAATAACAAACACCACTTTGTTATGAAGACCTTACAAACCTCTTCTTAAGACATTCTT
ACTCTGATCCAGGCAAAAACACTTCAAGGTTTGTAAATGACTCTTTCCTGACATAAATCC
TTTTTTATTAAAATGCAAAATGTTCTTCAGAATAAAACTGTGTAATAATTTTTATACTTGG
GAGTGCTCCTTGCACAGAGCTGTCATTTGCCAGTGAGAGCCTCCGACGGGCAGGTACTGT
GCCAGGGCAGCTCTGAAATATGGATATTCTTACCTCCTGGTTCTTTCGGTGCAAATGGTA
ACCTAATACCAGCCGCAGGGAGCGCCATTTCT

10 >gi|5543768|gb|Al869800.1|Al869800wm04a03.x1 NCI\_CGAP\_Ut4 ADNc de Homo sapiens clon IMAGE:24349243'

GTAAATAACAAACACCACTTTGTTATGAAGACCTTACAAACCTCTTCTTAAGACATTCTT
ACTCTGATCCAGGCAAAAACACTTCAAGGTTTGTAAATGACTCTTTCCTGACATAAATCC
TTTTTTATTAAAAATGCAAAATGTTCTTCAGAATAAAACTGTGTAATAATTTTTATACTTGG
GAGTGCTCCTTGCACAGAGCTGTCATTTGCCAGTGAGAGCCTCCGACGGNGCAGGTACTG
TGCCAGGGCAGCTCTGAATTATGGATATTCTTATCCTCCTG

# ES 2 399 246 T3

>gi|4610281|gb|Al601252.1|Al601252 ar88c09.x1 colon Barstead HPLRB7 ADNc de Homo sapiens clon IMAGE: 2152336 3'

TTTGTAAATAACAAACACCACTTTGTTATGAAGACCTTACAAACCTCTTCTTAAGACATT
CTTACTCTGATCCAGGCAAAAACACTTCAAGGTTTGTAAATGACTCTTTCCTGACATAAA
TCCTTTTTTATTAAAATGCAAAATGTTCTTCAGAATAAAACTGTGTAATAATTTTTATACT
TGGGAGTGCTCCTTGCACAGAGCTGTCATTTGCCAGTGAGAGCCTCCGACGGGGCAGGT
ACTGTGCCAGGGCAGCTCTGAAATTATGGATATTCTTATCCTCCTGGTTCCTTCGGTGCCA
ATGGTAACCTAATACCAGCCGCAGGGAGCGCCATTTCTCCTAAAGGGCTACACCACTGTC
AACATTATCCTGGACTCTGTGTCTCTCTCTGTTGGGTCTTGTGGCATCACATCAGGCCAAA
ATTGCCAGACCAGGACCCTAAGTGTCTGATAGAGGCGATGATCTTTTCCAAAGTCAGTAC
TTACAAACT

5

>gi|4330088|gb|Al467998.1|Al467998tj84e10.x1 Soares\_NSF\_F8\_9W\_OT\_PA\_P\_S1 ADNc de Homo sapiens clon IMAGE:2148234 3'

10

>gi|4311745|gb|Al459166.1 |Al|459166 tj65h07.x1 Soares\_NSF\_F8\_9W\_OT\_PA\_P\_S1 ADNc de Homo sapiens clon IMAGE:2146429 3'

TTGGGAGTGCTCCTTGCACAGAGCTGTCATTTGCCAGTGAGAGCCTCCGACGGGGCAGGT ACTGTGCCAGGGCAGCTCTGAAATTATGGATATTCTTATCCTCCTGGTTCCTTCGGTGCCA ATGGTAACCTAATACCAGCCGCAGGGAGCGCCATT

T

15

>gi|4222874|gb|Al393327.1|Al393327 tg44a12.x1 Soares\_NFL\_T\_GBC\_S1 ADNc de Homo sapiens clon IMAGE: 21116143'

TTTATATTATTCACCACTITGTTATGAAGACCTTACAAACCTCTTCTTAAGACATTCTTAC
TCTGATCCAGGCAAAAACACTTCAAGGTTTGTAAATGACTCTTTCCTGACATAAATCCTT
TTTTATTAAAATGCAAAATGTTCTTCAGAATAAAACTGTGTAATAATTTTTATACTTGGGA
GTGCTCCTTGCACAGAGCTGTCATTTGCCAGTGAGAGCCTCCGACAGGGCAGGTACTGTG
CCAGGGCAGCTCTGAAATTATGGATATTCTTATCCTCCTGGTTCCTTCGGTGCCAATGGTA
ACCTAATACCAGCCGCAGGGAGCGCCATTTCTCCTAAAGGGCTACACCACTGTCAACATT
ATCCTGGACTCTGTGTCTCTCTGTTGGGTCTTGTGGCATCACATCAGGCCAAAATTGCC
AGACCAGGACCCTAAGTGTCTGATAGAGGCGATGATCTTTT

>gi|3933768|gb|Al290994.1|Al290994qm09e05.x1 NCI\_CGAP\_Lu5 ADNc de Homo sapiens clon IMAGE:18813443'

TAAATAACAAACACCACTTTGTTATGAAGACCTTACAAACCTCTTCTTAAGACATTCTTA
CTCTGATCCAGGCAAAAACACTTCAAGGTTTGTAAATGACTCTTTCCTGACATAAATCCT
TTTTTATTAAAATGCAAAATGTTCTTCAGAATAAAACTGTGTAATAATTTTTATACTTGGG
AGTGCTCCTTGCACAGAGCTGTCATTTGCCAGTGAGAGCCTCCGACGGGCAGGTACTGT
GCCAGGGCAGCTCTGAAATTATGGATATTCTTATCCTCCTGGTTCCTTCGGTGCCAATGGT
AACCTAATACCAGCCGCAGGGAGCGCCATTTCTCCTAAAGGGCTACACCACTGTCAACAT
TATCCTGGACTCTGTGTCTCTCTCTGTTGGGTCTTTGTGGCATCACATCAGGCCAAAATTGC
CAGACCAGGACCCTAAGTGTCTGATAGA

5

10

>gi|3844395|gb|Al248998.1|Al248998 qh80f04.x1 Soares\_fetal\_higado\_bazo\_1NFLS\_S1 ADNc de Homo sapiens clon IMAGE:1851007 3'

TGTAAATAACAAACACCACTTTGTTATGAAGACCTTACAAACCTCTTCTTAAGACATTCT
TACTCTGATCCAGGCAAAAACACTTCAAGGTTTGTAAATGACTCTTTCCTGACATAAATC
CTTTTTTATTAAAATGCAAAATGTTCTTCAGAATAAAACTGTGTAATAATTTTTATACTTG
GGAGTGCTCCTTGCACAGAGCTGTCATTTGCCAGTGAGAGCCTCCGACGGGGCAGGTACT
GTGCCAGGGCAGCTCTGAAATTATGGATATTCTTATCCTCCTGGTTCCTTCGGTGCCAATG
GTAACCTAATACCAGCCGCAGGGAGCGCCATTTCTCCTAAAGGGCTACACCACTGTCAAC

ATTATCCTGGACTCTGTGTCTCTCTGTTGGGTCTTGTGGCATCACATCAGGCCAAAATT GCCAGACCAGGACCCTAAGTGTCTGATAGAGGCGATGATCTTTTCCAAAGTCAGTACTTA CAAACTGGCATTCTTACAG

>gi|3405022|gb|Al075844.1|Al075844 oz16d08.x1 Soares\_fetal\_higado\_bazo\_1NFLS\_S1 ADNc de Homo sapiens clon IMAGE:1675503 3'

TTTTTTTTTTGTAAATAACAAACACCACTTTGTTATGAAGACCTTACAAACCTCTTCTTA
AGACATTCTTACTCTGATCCAGGCAAAAACACTTCAAGGTTTGTAAATGACTCTTTCCTG
ACATAAATCCTTTTTTATTAAAATGCAAAAATGTTCTTCAGAATAAAACTGTGTAATAATTT
TTATACTTGGGAGTGCTCCTTGCACAGAGCTGTCATTTGCCAGTGAGAGCCTCCGACGGG
GCAGGTACTGTGCCAGGGCAGCTCTGAAATTATGGATATTCTTATCCTCCTGGTTCCTTCG
GTGCCAATGGTAACCTAATACCAGCCGCAGGGAGCGCCATTTCTCCTAAAGGGCTACAC
CACTGTCAACATTATCCTGGACTCTGTGTCTCTCTGTTGGGTCTTG

>gi|3307963|gb|Al051972.1|Al051972 ow83h10.x1 Soares\_fetal\_higado\_bazo\_1NFLS\_S1 ADNc de Homo sapiens clon IMAGE:1653475 3'

5

TTTTTTTTTGTAAATAACAAACACCACTTTGTTATGAAGACCTTACAAACCTCTTCTTAAG
ACATTCTTACTCTGATCCAGGCAAAAACACTTCAAGGTTTGTAAATGACTCTTTCCTGAC
ATAAATCCTTTTTTATTAAAATGCAAAATGTTCTTCAGAATAAAACTGTGTAATAATTTTT
ATACTTGGGAGTGCTCCTTGCACAGAGCTGTCATTTGCCAGTGAGAGCCTCCGACAGGGC
AGGTACTGTGCCAGGGCAGCTCTGAAATTATGGATATTCTTATCCTCCTGGTTCCTTCGGT
GCCAATGGTAACCTAATACCAGCCGCAGGGAGCGCCATTTCTCCTAAAGGGCTACACCA
CTGTCAACATTATCCTGGACTCTGTGTCTCTCTCTGTTGAGTCTTGTGGCATCACATCAGG
CCAAAATTGCCAGACCAGGACCCTAAGTGTCTGATAGAGGCGATGATCTT

>gi|3254601|gb|Al033648.1|Al033648ow22e09.x1 Soares\_tumor\_paratiroideo\_NbHPA ADNc de Homo sapiens clon IMAGE: 1647592 3'

10

TGTAAATAACAAACACCACTTGGTTATGAAGACCTTACAAACCTCTTCTTAAGACATTCT
TACTCTGATCCAGGCAAAAACACTTCAAGGTTTGTAAATGACTCTTTCCTGACATAAATC
CTTTTTTATTAAAATGCAAAATGTTCTTCAGAATAAAACTGTGTAATAATTTTTATACTTG
GGAGTGCTCCTTGCACAGAGCTGTCATTTGCCAGTGAGAGCCTCCGACGGGGCAGGTACT
GTGCCAGGGCAGCTCTGAAATTATGGATATTCTTATCCTCCTGGTTCCTTCGGTGCCAATG
GTAACCTAATACCAGCCGCAGGGAGCGCCATTTCTCCTAAAGGGCTACACCACTGTCAAC
ATTATCCTGGACTC

>gi|3229367|gb|AI015031.1|AI015031 ot30f04.s1 Soares\_testículo\_NHT ADNc de Homo sapiens clon MAGE:1618303 3'

TTTTCTTACAAAGAAAAATTTAATATTCGATGAGAGGTTGAACCAGGCTTAAAGCAGAC
ATACTAGGAAATGGTGCAGCCTGTAAGAATGCCAGTTTGTAAGTACTGACTTTGGAAAA
GATCATCGCCTCTATCAGACACTTAGGGTCCTGGTCTGGCAATTTTGGCCTGATGTGATG
CCACAAGACCCAACAGAGAGAGACACAGAGTCCAGGATAATGTTGACAGTGGTGTAGCC
CTTTAGGAGAAATGGCGCTCCCTGCGGCTGGTATTAGGTTACCATTGGCACCGAAGAGAC
CAGGAGGATAAGAATATCCATAATTTCAGAGCTGCCCTGGCACAGTACCTGCCCCGTCG
GAGGCTCTCACTGGCAAATGACAGCTCTGTGCAAGGAGCACTCCCAAGTATAAAAATTA
TTACACAGTTTTATTCTG

>gi|3055333|gb|M915941.1 |M915941 on18d06.s1 NCI\_CGAP\_Lu5 ADNc de Homo sapiens con IMAGE: 155703 3'

TTGTAAATAACAAACACCACTTTGTTATGAAGACCTTACAAACCTCTTCTTAAGACATTC
TTACTCTGATCCAGGCAAAAACACTTCAAGGTTTGTAAAATGACTCTTTCCTGACATAAAT
CCTTTTTTATTAAAATGCAAAATGTTCTTCAGAATAAAACTGTGTAATAATTTTTATACTT
GGGAGTGCTCCTTGCACAGAGCTGTCATTTGCCAGTGAGAGCCTCCGAAGGGGCAGGTA
CTGTGCCAGGGCAGCTCTGAAATTATGGATATTCTTATCCTCCTGGTTCCTTCGGTGCCAA
TGGTAACCTAATACCAGCCGCAGGAGCGCCATTTCTCCTAAAGGGCTACACCACTGTCAA
CATTATCCTGGACTCTGTGTCTCTCTCTGTTGGGTCTTGTGGCATCACATCAGGCCAAAAT
TGCCAGACCAGGACCCTAAGTGTCTGATAGAGGCGATGATCTTTTCCAAAGTCAGTACTT

Α

5

>gi|2953300|gb|AA861160.1|AA861160 ak36b12.s1Soares\_testículo\_NHT ADNc de Homo sapiens clon IMAGE: 1408031 3'

TTTGTAAATAACAAACACCACTTTGTTATGAAGACCTTACAAACCTCTTCTTAAGACATT
CTTACTCTGATCCAGGCAAAAACACTTCAAGGTTTGTAAATGACTCTTTCCTGACATAAA
TCCTTTTTTATTAAAATGCAAAATGTTCTTCAGAATAAAACTGTGTAATAATTTTTATACT
TGGGAGTGCTCCTTGCACAGAGCTGTCATTTGCCAGTGAGAGCCTCCGAC

10

>gi| 1782040|gb| AA192157.1 |AA192157 zq02g05.s1 músculo Stratagene 937209 ADNc de Homo sapiens clon MAGE: 628568 3'

GTAAATAACAAACACCACTTTGTTATGAAGACCTTACAAACCTCTTCTTAAGACATTCTT
ACTCTGATCCAGGCAAAAACACTTCAAGGTTTGTAAAATGACTCTTTCCTGACATAAATCC
TTTTTTATTAAAATGCAAAATGTTCTTCAGAATAAAACTGTGTAATAATTTTTATACTTGG

GAGTGCTCCTTGCACAGAGCTGTCATTTGCCAGTGAGAGCCTCCGACGGGGCAGGTACTG
TGCCAGGGCAGCTCTGAAATTATGGATATTCTTATCCTCCTGGTTCCTTCGGTGCCAATGG
TAACCTAATACCAGCCGCAGGAGCGCCATTTCTCCTAAAGGGCTACACCACTGTCAACAT
TATCCTGGGACTCTGTGTCTCTCTCTGTTGGGTCTTGTGGCATCACATCAGGCCAAAATTG
GCCAGACCAGGACCCCAAGTGGTCTGATAGAAGGCGATGATCTTTTCCAAAGTCAGTAC
TTACA

>gi|1230953|gb|N73668.1|N73668 yz78h05.s1 Soares\_esclerosis\_múltiple\_2NbHMSP ADNc de Homo sapiens clon IMAGE:289209 3'

5

>gi|2142013|gb|AA437099.1|AA437099 zv53b09.s1Soares\_testúculos\_NHT ADNc de Homo sapiens clon IMAGE: 757337 3'

10

CTTACAAAGAAAAATTTAATATTCGATGAGAGGTTGAACCAGGCTTAAAGCAGACATAC
TAGGAAATGGTGCAGCCTGTAAGAATGCCAGTTTGTAAGTACTGACTTTGGAAAAGATC
ATCGCCTCTATCAGACACTTAGGGTCCTGGTCTGGCAATTTTGGCCTGATGTGATGCCAC
AAGACCCAACAGAGAGACACAGAGTCCAGGATAATGTTGACAGTGGTGTAGCCCTTT
AGGAGAAATGGCGCTCCCTGCGGCTGGTATTAGGTTACCATTGGCACCGAAGAGACCAG
GAGGATAAGAATATCCATAATTTCAGAGCTGCCCTGGCACAGTACCTGCCCCGTCGGAG
GCTCTCACTGGCAAATGACAGCTCTGTGCAAGGAGCACTCCCAAGTATAAAAATTAT

>gi|3836330|gb|Al240933.1 |Al240933 qk01 b11 .x1 NCI\_CGAP\_Kid3 ADNc de Homo sapiens con IMAGE: 1867677 3'

15

>gi|2669971|gb|AA682690.1|AA682690 zj86f07.s1 Soares\_fetal\_hígado\_bazo\_1NFLS\_S1 ADNc de Homo sapiens clon IMAGE:461797 3'

>gi|1162804|gb|N39597.1|N39597 yy51e04.s1 Soares\_esclerosis\_múltiple\_2NbHMSP ADNc de Homo sapiens clon IMAGE:277086 3'

5

ACAAAGAAAATTTAATATTCGATGAGAGGTTGAACCAGGCTTAAAGCAGACATACTAG
GAAATGGTGCAGCCTGTAAGAATGCCAGTTTGTAAGTACTGACTTTGGAAAAGATCATC
GCCTCTATCAGACACTTAGGGTCCTGGTCTGGCAATTTTGGCCTGATGTGATGCCACAAG
ACCCAACAGAGAGAGACACAGAGTCCAGGATAATGTTGACAGTGGTGTAGCCCTTTAGG
AGAAATGGCGCTCCCTGCGGCTGGTATTAGGTTACCATTGGCACCGAAGAACCAGGAGG
ATAAGAATATCCATAATTTCAGAGCTTGCCCTGGCACAGTACCTGCCCCGTCGGAGGCTC
TCACTGGGCAAATGGACAGCTCTGTGCAAGGAGCACTCCCAAGTATAANAATTATTACA
CAGTTTTATTCTGAAGAACATTTTGCATTTTAATAAAAAAANGGA

>gi|3838507|gb|Al243110.1|Al243110 qh26f06.x1 Soares\_NFL\_T\_GBC\_S1 ADNc de Homo sapiens clon IMAGE: 1845827 3'

10

TTTTCTTACAAAGAAAAATTTAATATTCGATGAGAGGTTGAACCAGGCTTAAAGCAGAC
ATACTAGGAAATGGTGCAGCCTGTAAGAATGCCAGTTTGTAAGTACTGACTTTGGAAAA
GATCATCGCCTCTATCAGACACTTAGGGTCCTGGTCTGGCAATTTTGGCCTGATGTGATG
CCACAAGACCCAACAGAGAGAGACACAGAGTCCAGGATAATGTTGACAGTGGTGTAGCC
CTTTAGGAGAAATGGCGCTCCCTGCGGCTGGTATTAGGTTACCATTGGCACCGAAGGAAC
CAGGAGGATAAGAATATCCATAATITCAGAGCTGCCCTGGCACAGTACCTGCCCCGTCG
GAGGCTCTCACTGGCAAATGACAGCTCTGTGCAAGGAGCACTC

Secuencias identificadas como las del grupo QPRT

15

BC005060

```
1 caccagocca gacagotyca agtoaccaty gacyctyaay gootygcyct gotyctyceg
  61 coogtcacco tggcagccot ggtggacago tggctccgag aggactgccc agggctcaac
 121 tacgcagcct tggtcagcgg ggcaggcccc tcgcaggcgg cgctgtgggc caaatcccct
 181 gggatactgg cagggcagec tttcttcgat gecatattta cccaactcaa ctgccaagtc
 241 tectggttcc tececgaggg ategaagetg gtgceggtgg ccagagtggc egaggteegg
 301 ggccctgccc actgcctgct gctgggggaa cgggtggccc tcaacacgct ggcccgctgc
 361 agtggcattg ccagtgctgc cgccgctgca gtggaggccg ccaggggggc cggctggact
 421 gggcacgtgg caggcacgag gaagaccacg ccaggcttcc ggctggtgga gaagtatggg
 481 ctcctggtgg gcggggccgc ctcgcaccgc tacgacctgg gagggctggt gatggtgaag
 541 gataaccatg tggtggccgc cggtggcgtg gagaaggcgg tgcgggcggc cagacaggcg
 601 getgaetteg etetgaaggt ggaagtggaa tgeageagee tgeaggagge egtgeaggea
 661 getgaggetg gtgeegaeet tgteetgetg gacaacttea agecagagga getgeaeeee
 721 acggccaccg tgctgaaggc ccagttcccg agtgtggctg tggaagccag tgggggcatc
 781 accetggaca acctececca gttetgeggg cegcacatag aegtcatete catggggatg
 841 ctgacccagg cggccccagc ccttgatttc tccctcaagc tgtttgccaa agaggtggct
 901 ccagtgccca aaatccacta gtcctaaacc ggaagaggat gacaccggcc atgggttaac
 961 gtggctcctc aggaccctct gggtcacaca tctttagggt cagtggccaa tggggcacat
1021 ttggcactag cttgagccca actctggctc tgccacctgc tgctcctgtg acctgtcagg
1081 getgaettea eetetgetea teteagttte etaatetgta aaatgggtet, aataaaggat
1141 caaccacatg gggttetgeg gtgataatga geacatagtg aggggteage aaatgteaga
1201 agttacetgg gacageeggg caegatgget cacacetgta atcccageae tttgggagge
1261 tgaggcggga agatcacttg agttcaggag tttgagacca gcctggccaa catggtgaaa
1321 occoatetet accaaaaata gaagaattag etgggtgtgg tggcacgege etgtaatece
1381 agctacttag gaggctgagg caggagaatc gcttgaaccc aggaagtgga ggttgcagtg
1441 agctgatggt gccactgcac tccagcctgg gtgatagagc gagactctgt ctccaaagaa
1501 gaaacaaaaa aaaaaaaaaa aaaa
```

## BE299670

```
1 gtggccacca ctcagctcga tgcaacctac acttcctggg ttcaagcgat tctcctgcct
 61 cagoctocta agtagotggg attacaggog ogtgocacca cacccageta attettetat
121 ttttggtaga gatggggttt caccatgttg gccaggctgg tctcaaactc ctgaactcaa
181 gtgatettee egecteagee teccaaagtg etgggattae aggtgtgage categtgeee
241 ggctgtccca ggtaacttet gacatttgct gacccctcac tatgtgctca ttatcaccgc
301 agaaccccat gtggttgatc ctttattaga cccattttac agattaggaa actgagatga
361 gcagaggtga agtcagccet gacaggtcac aggagcagca ggtggcagag ccagagttgg
421 gctcaagcta gtgccaaatg tgccccattg gccactgacc ctaaaagatg tgtgacccag
481 agggteetga ggageeaegt taacceatgg eeggtgteat cetetteegg titaggaeta
541 gtggattttc gggcactgga gccacctctt tggcaaacta gctttgaggg agaaatcaag
601 ggctggggcc gctgggtcag catccccatg gagatgacgt ctatgtgcgg ccgccgaact
661 gggggaggtt gtccaggttg atgccccact ggcttcccag ccacactcgg gaaccggggc
721 ttccgcacgg tggccgttgg ggtgcagctc ctctggcttg aagttgtcca gcaggccaag
781 gtcggcacgc tcagctgctg cacgctctgc agctgcgtcc cactccactt cgagcaaccg
841 egetqtttgc egecaaeget ateaggeaeg gggeaectgt atettacete eegeeeegt
901 taggggeggg cecacaggea tteaegegae tggtaaceeg ageegaeege cggcaggaga
961 caggogtgcc acgaggccac cqtcqcagtt tcgtcccqtg cctc
```

## BE273102

```
1 atggacgetg aaggeetgge tgetgetget geetgeeetg teaccettge agceetggtg
61 gacagegtgg etcegagagg actgeecagt ggeteaacta egcageettg gteagegggg
121 caggeeett egcagtgegg egcgttgtgg ggeaagatee eetgggtgta etggeagtgg
```

```
181 cagccgtttc gttcgatgcc gatatttacc cagactcaac ttgccaaggt ctccttggtt
241 ccgtccctg agggcgatcg aagcttggtt gcctggttgg gccagagttg gcctgagtgt
301 cctgtgtggc cgctgccgca cttgccttgc ttggctgggg ggaacggggt tggccgggtc
361 aagcactgct tgtgccctgg ctgcatgttg tgcatttgcc catgtgcttg cctggcctgc
421 ttgcatgttg tgagtgcctg cccagtgtgg tgcctgtgct gtgagctggt gcacgtgtgt
481 gcagtggcga ctgagggaat gacccactgc ccgaggggct tcctggcctg tgttggacgc
541 aacgtattgg ggcgtcctgt gtgggcggg gcgcgctc tgcaccggct tacggaccct
601 gggtgagggc tgcgtgcatg cgtgaagggg attaacgcat gttgttttgg cccgcctggt
661 ggcgctgtgt gacagtgcgg tgctggcctg tgccaacatg gcgtgctgac gttcgggc
```

## BC010033

1	cagacagetg	caagtcacca	tggacgctga	aggcctggcg	ctgctgctgc	cgcccgtcac
		ctggtggaca				
121	cttggtcagc	ggggcaggcc	cctcgcaggc	ggcgctgtgg	gccaaatccc	ctggggtact
181	ggcagggcag	cctttcttcg	atgccatatt	tacccaactc	aactgccaag	tctcctggtt
241	cctccccgag	ggatcgaagc	tggtgccggt	ggccagagtg	gccgaggtcc	ggggccctgc
301	ccactgcctg	ctgctggggg	aacgggtggc	cctcaacacg	ctggcccgct	gcagtggcat
361	tgccagtgct	geegeegetg	cagtggaggc	cgccaggggg	gccggctgga	ctgggcacgt
421	ggcaggcacg	aggaagacca	cgccaggctt	ccggctggtg	gagaagtatg	ggctcctggt
		gcctcgcacc				
541	tgtggtggcc	gccggtggcg	tggagaaggc	ggtgcgggcg	gccagacagg	cggctgactt
		gtggaagtgg				
661	tggtgccgac	cttgtcctgc	tggacaactt	caagccagag	gagctgcacc	ccacggccac
721	cgtgctgaag	gcccagttcc	cgagtgtggc	tgtggaagcc	agtgggggca	tcaccctgga
781	caacctcccc	cagttctgcg	ggccgcacat	agacgtcatc	tccatgggga	tgctgaccca
841	ggcggcccca	gcccttgatt	teteceteaa	gctgtttgcc	aaagaggtgg	ctccagtgcc
901	caaaatccac	tagtcctaaa	ccggaagagg	atgacaccgg	ccatgggtta	acgtggctcc
961	tcaggaccct	ctgggtcaca	catctttagg	gtcagtggcc	aatggggcac	atttggcact
1021	agcttgagcc	caactctggc	tctgccacct	gctgctcctg	tgacctgtca	gggctgactt
1081	cacctctgct	catctcagtt	tcctaatctg	taaaatgggt	ctaataaagg	atcaaccaca
1141	tggggttctg	cggtgataat	gagcacatag	tgaggggtca	gcaaatgtca	gaagttacct
1201	gggacagccg	ggcacgatgg	ctcacacctg	taatcccagc	actttgggag	gctgaggcgg
1261	gaagatcact	tgagttcagg	agtttgagac	cagcctggcc	aacatggtga	aaccccatct
1321	ctaccaaaaa	tagaagaatt	agctgggtgt	ggtggcacgc	gcctgtaatc	ccagctactt
1381	<b>ag</b> gaggctga	ggcaggagaa	tegettgaac	ccaggaagtg	gaggttgcag	tgagctgatg
1441	gtgccactgc	actccagcct	gggtgataga	gcgagactct	gtctccaaag	aagaaaaaaa
1501	aaaaaaaaa	a				

# BC018910

```
1 gteetgagea geeaacacae cageecagae agetgeaagt caccatggae getgaaggee 61 tggegetget getgeegee gteaecetgg cageectggt ggacagetgg etcegagagg 121 actgeeagg geteaactae geageettgg teageggge aggeeecteg caggeggege 181 tgtgggeea ateecetggg gtactggeag ggeageettt ettegatgee atatttacee 241 aacteaactg ecaagtetee tggtteetee eegagggate gaagetggtg eeggtggeea 301 gagtggeega ggteeggge ectgeeact geetgetget gggggaacgg gtggeeeta 361 acacgetgge eegetgeagt ggeattgeea gtgetgeeg eggtgaacgg gtggeeeta 361 acacgetgge eegetgeagt ggeattgeea gtgetgeege egetgeagtg gaggeegea 421 ggggggaaca gtatggget etggtggeag geacgaggaa gaccacgea ggetteegge 481 tggtggagaa gtatggget etggtgggeg gggeegeete geacegetae gacctgggag 541 ggetggtgat ggtgaaggat aaccatgtgg tggeegeegg tggetggag aaggeggtge 601 gggeggeeag acaggegget gacttegete tgaaggtgga agtggaatge ageageetge 661 aggaggeegt geageaget gaggetggtg eegacettgt eetgetggae aactteaage 721 cagaggaget geacecaeg geeacegtge tgaaggeea gtteeegagt gtggetgtgg 781 aageeagtgg gggeateaee etggacaace teececagtt etgegggeeg cacatagaeg 841 teateteeat ggggatgetg acceagggg eececaggeet tgaattetee etcaagetgt
```

#### BE902622

1 ageccagaca getgeaagte acatggaege tgaaggeetg gegetgetge tgeegeegt 61 caccetggea gecetggtg acagetgget eegagaggae tgeecaggge teaactaege 121 agecttggte ageggggeag geceetegea ggeggeetg tgggeeaaat eeeetggggt 181 actggeaggg eageettet tegatgeeat atttaceeaa eteaactgee aagteteetg 241 gtteeteece gagggatega agetggtgee ggggeeaga gtggeegagg teeggggee 2301 tgeecaetge etgetgetgg gggaaegggt ggeecteaae aegetggeeg etgeaggge etgeaggge etgeaggge tggaaegggg ggeeggetgg actgggeaeg 421 tggeaggeae gaggaagaee aegeeagget teeggetggt ggagaagtat gggeteetgg 481 tgggegggee getegeaeeg taegaeetgg gagggetggt gatggtgaag gataaeeatg 1 tggtggeege eggtggetg gagaaggegg tgegggeege agacaggegg tgaetteget 601 etgaaggtgg aagtggaatg eageageetg eageaggeeg tgeaggeaeg tgeaggeaeg tgetgaagge 1 tgetg

### N23182

1 gtggttgate etttattaga eccattttae agattaggaa aetgagatga geagaggtga 61 agteageet gacaggteae aggageagea ggtggeagag eagaggttgg geteaageta 121 gtgceaaatg tgceceattg geeactgace etaaagatgt gtgaceeaga ggnettgagg 181 ageeaegtta acceatggee ggtgteatee tetteeggtt taggaetagt ggattttggg 241 caetggage acctetttgg caaacagett gaagggagaa ateaaggget ggggeegeet 301 gggteageat ecceatggag atgaegteta tntgeggeee geagaaetgg gggaggttgt 361 ceagggtgat geeeeaetg getteeaeag ecaeaetegg gaaetgggee tteageaegg 421 tggeegtg

## N32648

1 agccaacac ccannecaga cagetgeaag teaceatgga egetgaagge tggegetget 61 getgeegee gteaceetgg cageeetggt ggacagetgg eteegagaga etgeecaggg 121 eteaactacg cageettggt cagegggea ggeectegea ggegggetg tgggeeaaat 181 eccetgggt aetggeaggg cageettet tegatgeeat atttaceeaa eteaactgee 241 aagteteetg gtteeteece gagggatega agetggtgee ggtgneagag tggegaaggt 301 eeggggeeet geeaactgee tgetgetggg ggaacgggtg geeeteaaca egetggeeeg 361 etgeagtgge attneagtge tgeegeeget g

# BE735342

1 tagtcagget gggtgttaat eggcaecgag ggcaagteae catggaeget gaaggetgge
61 getgetgetg eegeeegeae eetggeagee etggtggaea getggeteeg agaggaetge
121 ceaggeteaa etaegeagee ttggteageg gggcaggeee etegeaggeg gegetgtggg
181 ceaaateee tggggtaetg geagggeage etttettega tgecatattt acceaaetea
241 actgceaagt eteetggte eteecegagg gategaaget ggtgeeggtg gecagagtgg
301 eegaggteeg gggeegeete geacegetae gaeetgggag ggetggtgat ggtgaaggat
361 aaceatgtgg tggeegeegg tggegtgaga aaggeggtge gggeggeeag acaggegget
421 gaettegete tgaaggtgga agtggaatge ageageetge aggaggeegt geagecaget
481 gaggetggtg eegaeettgt eetgeegget gtggetgtgg aageeagetg gggegeeag
541 geeacegtge tgaaggeea gtteeegagt gtggetgtgg aageeagtg gggeateaee

```
601 ctggacaact cccccagttc tgcgggccgc acatagacgt catctccatg gggatgctga
661 cccaggcggc ccagcccttg atttctccct caagetgttt tgccacagag gtggctccag
721 tgcccaaaaa tcactagtcc taaaccggaa gaggatgaca ccggcatggg taacgtggct
781 cctcagaccc tctgggtcac acatcttagg gtccaggcca atgggcccat ttggccctac
841 ttgagcccaa tctggtctgc actgctgtct gtgaccgtca gggtagcttc acttctgctc
901 ctctcagttc taacctgtaa cggtcctcta agcgtcaccc caaaaaaaaa aaactcggtc
961 ttttcgtcgg cgaaaggtcg aaggctgtcc gtccgcacct g
```

### BX283118

1 gacagetgca agteaceatg gacgetgaag geetggeget getgetgeeg eeegteacee 61 tggcageect ggtggacage tggeteegag aggaetgeec agggeteaac tacgeageet 121 tggteagegg ggcaggeece tegeaggegg egetgtggge caaateceet ggggtaetgg 181 cagggeagee tttettegat geeatattta eeeaacteaa etgeeaagte teetggttee 241 teecegaggg ategaagetg gtgeeggtgg eeaggtgge egaggteegg ggeeetgeec 301 aetgeetget getgggggaa egggtggeec teaacaeget ggeeegetge agtggeantg 361 ceagtgetge egeegetgea gtggaggeeg eeagggggge eggetggaet gggeaegtgg 421 caggeacgag gaagaceacg eeaggettee ggetggtgga gaagtatggg etcetggtgg 481 geggggeege etcgeacege tacgaectgg gaggg

## BG769505

1 ggacgetgaa ggcetggege tggtgetgee geeegteace etggcageee tggtggacag
61 etggeteega gaggactgee cagggeteaa etacgeagee ttggteagee gggcaggeee
121 etegeaggeg gegetgtggg ceaaateeee tggggtaetg geagggeage etttettega
181 tgeeatattt acceaactea actgeeaagt etectggtee eteceogag gategaaget
241 ggtgeeggtg geeagagtgg eegaggteeg gggeeetgee eactgeetge tgetggggg
301 aegggtggee eteaacaege tggeeegetg eagtggeatt geeagtgetg eegeegtge
361 agtggaggee geeaggggg eeggetggae tggggaeegtg geaggeaega ggaagaeeae
421 geeaggette eggetggtgg agaagtatgg geteetggtg ggeggggeeg eetegeaeg
481 ntacgacetg ggagggetgg tgatggtgaa ggataaceat gtggtggeeg eeggtggeg
541 ggagaaaggeg gtgegggeg eagacaggeg getgaetteg etetgaaegg
601 aetgeageag eetgeagga ggeegtgaa geagetgagg etggtgeega eettgteetg
661 etggaeaaet teaageeaga ggagetgeaa eeecaeggee aegtgetgaa ggeeagttee
721 agagtgtgge tgtggaegee agtggegga teaectggae aaecteeee agtetgegg
781 geegeaeata gaegteatet teeatggega tgetgaeeea teaectggae geegegeeea geeetggatt
841 teteeteage tggttgeaea gaggtgeete agtgeeeaaa teaecteeee ageeetggatt

# BG750434

1 ggacagetge aagteaceat ggacgetgaa ggeetggege tgetgetgee geeegteace 61 ctggcagccc tggtggacag ctggctccga gaggactgcc cagggctcaa ctacgcagcc 121 ttggtcagcg gggcaggccc ctcgcaggcg gcgctgtggg ccaaatcccc tggggtactg 181 geagggeage etttettega tgecatattt acceaactea actgecaagt etcetggtte 241 ctccccgagg gatcgaagct ggtgccggtg gccagagtgg ccgaggtccg gggccctgcc 301 cactgootge tgotggggga acgggtggec ctcaacaege tggcccgctg cagtggcatt 361 gecagtgetg cegeegetge agtggaggee gecagggggg ceggetggae tgggcaegtg 421 gcaggcacga ggaagaccac gccaggcttc cggctggtgg agaagtatgg gctcctggtg 481 ggcggggccg cctcgcaccg ctacgacctg ggagggctgg tgatggtgaa cggataacca 541 tgtggtggcc gccggtggcg tggagaaggc ggtgcgggcg gccagaccag gcggctgact 601 tegetetgaa ggtggaagtg gaatgeagea geetgeagga ggeegtgeag geagettgag 661 getggtgeeg acettgteet gettggacaa etteaaagee aggaggaget ggacceaegg 721 ccaccgtgct gaaggccagt tcccgagtgt ggctgtggaa gccagtgggg gcatcagcct 781 ggacaagetc eccecagtte etggagggec egeacattaa acegteatet ecatggggga 841 ttgctgaacc aaggeggacc cagecettgg attteteete aagetgttge cacaggaggt 901 ggtccagtgg ccaaaatcca ctagtcctaa acgggaagga tgacccgggc catggttacc 961 gggtcctaag acct

#### BG766440

```
1 ggctgcaagt caccatggac gctgaaggce tggcgctgct gctgccgcc gtcacctgg
61 cagccctggt ggacagctgg ctccgagagg actgcccagg gctcaactac gcagccttgg
121 tcagcggggc aggcccctcg caggcggcgc tgtggggccaa atcccctggg gtactggcag
181 ggcagccttt cttcgatgcc atatttaccc aactcaactg ccaagtctcc tggttcctcc
241 ccgagggatc gaagctggtg ccggtggcca gagtggccga ggtccggggc cctgccact
301 gcctgctgct gggggaacgg gtggccccaa acacgctggc ccgctgcagt ggcattgcca
361 gtgctgccgc cgctgcagtg gaggccgcaa gggggggccgg ctggactggg cacgtggcag
421 gcacgaggaa gaccacgccaa ggcttccggc tggtggagaa gtatgggctc ctggtgggcg
481 gggccgcctc gcaccgctac gacctgggag ggctggtgat ggtgaaggat aaccatgtgg
541 tggccgccgg tggcgtggag acaggcggt cggggggccaa gacaggcggc ttgacttcgc
601 tctgaaggtg gaagcggaat tgcagcagcc tgcaggagg cgtgaaccca cggcaccgtg
721 ctgaaagcca gttcccgagt gtggctgtgg aagccagtgg ggcatcacc tggaaccct
781 cccca
```

### BG401877

```
1 agcettggte etgageage aacacacag cecagacage tgeaagteae catggaeget 61 gaaggeetgg egetgetget geegeegte accetggeag eeetggtgga eagetggete 121 egagaggaet geecaagtee aactaegeag eettggteag eggggeagge eeetegeagg 181 eggegetgt ggeeaaatee eetggggtae tggeagagge ageetttett egatgeeata 241 tttacecaae teaactgeea agteteetgg tteeteeeg agggategaa getggtggag 301 aagtatggge teetggtggg eggageegae tegeaceget aegaceetga gagggetggt 361 gatggtgaag gataaceatg tggtggeege eggtggegtg gagaaggegg tgegggegge 421 cagacaggeg getgaetteg etetgaaggt ggaagtggaa tgeageagge etggeggeg481 ggeegtgeag geagetgagg etggtggag etggtggaa tgeageage etggeagag 481 ggeegtgeag geagetgagg etggtggaa ettgteaetg etggtgaga eetggtgaa tgeageaett eaageeagag 541 aagetgeace eeaggagea etggtggaa eetetgeae eeetgtgaea eetegeeege ggeattagae gteateteea 661 tgggatgetg eeaggatgee ageetgaate teeeteaget gtgeeaaaag tgteeagtee 721 aateaetate taegaaaaga taeeggaeag egagtetgag agagaagaee ggaacataea 841 aggaaagaee agteagaaat ggagageage aagaaaggae ggeecacatg etaaetet
```

### BG337811

```
1 gagecaacac accageceag acagetgeaa gteaccatgg acgetgaagg cetggegetg
 61 ctgctgccgc ccgtcaccct ggcagccctg gtggacagct ggctccgaga ggactgccca
 121 gggeteaact acgeageett ggteageggg geaggeeect egeaggegge getgtgggee
 181 aaatcccctg gggtactggc agggcagcct ttcttcgatg ccatatttac ccaactcaac
 241 tgecaagtet cetggtteet eecegaggga tegaagetgg tgeeggtgge cagagtggee
 301 gaggtccggg gccctgccca ctgcctgctg ctgggggaac gggtggccct caacacgctg
361 geoegetgea gtggeattge cagtgetgee geogetgeag tggaggeege cagggggee
421 ggctggactg ggcacgtggc aggcacgagg aagaccacgc caggcttccg gctggtggag
 481 aagtatgggc teetggtggg eggggeegee tegeaceget aegacetggg agggetggtg
541 atggtgaagg ataaccatgt ggtggccgac ggtggcgtgg aagaaggcgg tgcgggcggc
601 cagacaggeg getgaetteg etetgaaggt ggaagtggaa tgeageagae tgeaggaggg
 661 cgtgcacgca gctgaggctg gctgccgact tgtcctggtg gacaccttca agccagagga
 721 getggaegea aggeaaegtg etgaaggaea gtteegagtg ttggtgtgga agecaeatgg
781 agggcatate actggaaaaa etcocccaaa tetgeggaac ggaactaaac gataageace
 841 aggeggaaat cagaccccag gaaggeecag accegaaata etecceaaga ggatggeeaa
901 gagggggeac acgcccaaaa cacacaaacc aacgcgaaag aacacggcag gcaaaatggc
 961 ccaagacacg ggaccaacct acgcagggcc aaggcaatgg aacatgccaa gagccacgac
1021 ccagcaggac cag
```

# BG338063

### BG251163

1	gctgcaagtc	accatggacg	ctgaaggcct	ggcgctgctg	ctgccgcccg	tcaccctggc
61	agccctggtg	gacagetgge	tccgagagga	ctgcccaggg	ctcaactacg	cagcettggt
121	cagcggggca	ggcccctcgc	aggcggcgct	gtgggccaaa	teceetgggg	tactggcagg
181	gcagcctttc	ttcgatgcca	tatttaccca	actcaactgc	caagtctcct	ggttcctccc
241	cgagggatcg	aagctggtgc	cggtggccag	agtggccgag	gtccggggcc	ctgcccactg
301	catgatgatg	ggggaacggg	tggccctcaa	cacgetggee	cgctgcagtg	gcattgccag
361	tgctgccgcc	gctgcagtgg	aggccgccag	gggggccggc	tggactgggc	acgtggcagg
421	cacgaggaag	accacgccag	gcttccggct	ggtggagaag	tatgggctcc	tggtgggcgg
481	ggccgcctcg	caccgctacg	acctgggagg	gctggtgatg	gtgaaggata	accatgtggt
541	ggccgccggt	ggcgtggaga	aggcggtgcg	ggcggcagac	aggcggctga	cttcgctctg
601	aaggtggaag	tggaatgcag	cagcctgcag	gaggccgtgc	aggcagctga	ggctggtgcc
661	gacttgctcc	tgctggacaa	ccttcaagcc	agaggagctg	cacccacggc	acgtgctgaa
721	ggccagttcc	cgatgtggct	gtggaaccct	ggggctcacc	tggaaaactc	cccatn

## BG396079

```
1 gettggtet gageageaa cacaceagee cagacagetg caagteacea tggaegetga 61 aggeetggeg etgetgetge egecegteae cetggeagee etggtggaea getggeteeg 121 agaggaetge ecagggetea actacgeage ettggteage ggggeaggee eetegagge eetegagge 181 ggegetgtgg gecaaateee etggggtaet ggeagggeag eetttetteg atgecatatt 241 tacceaacte aactgeeag teteetggt ectecegag ggategaage tggtgeeggt 301 ggecagagtg geegaggtee ggggeeetge ecaetgeetg etgetggggg aacgggtgge 361 ceteaacaeg etggeeeget geagtggeat tgecagtget geegaggeg 2421 egecaggggg geeggetgga etgggeaegt ggeaggeaeg aggaagaeea egecaggett 481 eeggetggtg gagaagtatg ggeteetggt gggeggggee getegeaeeg etaegaeetg 541 ggagggetgg tgatggtga ggataaceat gtggtggeeg eeggtgget gtaagaaggeg 601 gtgegggegg eagacaggeg gtgaettege tetgaaggtg gaagtggaat geageagetg 661 eaggaggeeg tgeaaggeag tgaagtggtg eegaettgt etgetggaaa tteageaagg 721 agtgaeea
```

# BF316915

```
1 ggtcaccatg gacgctgaag gcctggcgct gctgctgccg cccgtcaccc tggcagccct
61 ggtggacagc tggctccgag aggactgccc agggctcaac tacgcagcct tggtcagcgg
121 ggcaggccc tcgcaggcgg cgctgtgggc caaatcccct ggggtactgg cagggcagcc
181 tttcttcgat gccatattta cccaactcaa ctgccaagtc tcctggttcc tccccgaggg
241 atcgaagctg gtgccggtgg ccagagtggc cgaggtccgg ggccctgccc actgcctgct
301 gctgggggaa cgggtggccc tcaacacgct ggcccgctgc agtggcattg ccagtgctgc
361 cgcgctgcag tggaggccg cagggggccg gctggactgg gcacgtggca ggcacgagga
421 agaccacgcc aggcttccgg ctggtggaga agtatgggct cctggtgggc ggggcgctcg
481 caccgtacga ctggagggc tggtgatggt gaaggataac atgtggtggc gcggtggagt
541 ggagaagggt gcgggctggc agaaggcggt gacttcgct ctgaaggtgg aaggtggaat
```

```
601 gaggagetgt aggaggegtg caggeagtga ggetggtgea gaettgttet gtggaaatte 661 aageagagga gtgaeecaeg geaegggtga ggeagtteee agtgtggtgg tggageagtg 721 gggteaeetg aaaceteeca ggetgggega atgagtgtte catgggateg acaggggeag 781 cetgatttee teaaggt
```

### BF313098

```
1 gcagacaget gcaagtcace atggacgetg aaggeetgge getgetgetg cegeeegtea
 61 coetggcage cetggtggae agetggetee gagaggaetg cecagggete aactaegeag
121 cettggtcag eggggcagge ecetegeagg eggegetgtg ggccaaatce eetggggtac
181 tggcagggca gcctttcttc gatgccatat ttacccaact caactgccaa gtctcctggt
241 teeteeeega gggategaag etggtgeegg tggeeagagt ggeegaggte eggggeeetg
301 cccactgcct gctgctgggg gaacgggtgg ccctcaacac gctggcccgc tgcagtggca
361 ttgccagtgc tgccgccgct gcagtggagg ccgccagggg gccggctgga ctgggcacgt
421 ggcaggcacg aggaagacca cgccaggctt ccggctggtg gagaagtatg ggctcctggt
481 gggcggggcc gtctcgcacc gctacgacct gggagggctg gtgatggtga aggataacca
541 tgtggtggcc gccggtggcg tggaaagcag cggtgcgggc ggcaacaggc ggtgacttcg
601 totgaaggtg gaagtggact goagcaggoo tgcaggaggo cgtgcacggo agotgaggo
661 tggttgccga cettgtctgc tgcacaette aagecaggag gagetgcaec ccaegecaec
721 gtgctgactg cccagtcccg agtgtgggtg tggaacgcag gggggcatca cctggacact
781 cccagttttg egggeegeat gaegtetete etggggtgtt gecagggeee ggetgaettt
841 cetecaetgt tgccagtgge ggccaeette caeggaggga eggeggttgg geeegeetge
901 c
```

## BG257831

```
1 gcagacaggt tgacctgcaa aaaaagacag gggaggcatg gaaacaaagg acccatcgca 61 aatgtttcc atgctgatct ccaaagtgte ccaccccag cctggggcet ctgggagcct 121 tggtectgag cagccaacac accagccag acagctgcaa gtcaccatgg acgctgaagg 181 cctggcgctg ctgctgccge ccgtcaccct ggcagccctg gtggacagct gcaggcggg 241 ggactgcca ggctcaacta cgcagccttg gtcagcgggg caggccctc gcaggcggg 301 ctgtgggcca aatcccctgg ggtactggca gggcagcctt tcttcgatgc catatttacc 361 caactcaact gccaagtctc ctggttcctc cccgagggat cgaagctggt gccggtggcc 421 agagtgggcc gaggtccggg gccctgcca ctgcctgctg ctgggggaac gggtggacct 481 caacacgctg gccgctgcag tggcattgcc acgtgccgc cgctgcagtg gccgctgca tggtggccg ctggacggc ctggactgc acgtggcgg cacgaggaag acacccagg ttccggcgg 601 tggagaagta tgggtgaagg gatacaccat gtgttggccg cggttgagtg gagacctggagg 661 gggctggta tgggtgaagg gatacaccat gtgttggccg cggttgagtg gagaagcggt 721 ggggggagcc caaacaggcg gtgattgtct gaggtggaag tgaatgcaga cactgagagg 781 cagagcaga gtgaaggttg tgagaactgt ctgaggacaa taacacaaag atgaaca
```

# BF312975

```
1 ggacagetge aagteaceat ggacgetgaa ggeetggege tgetgetgee geeegteace 61 etggeagee tggtggacag etggeteega gaggactgee cagggeteaa etacgeagee 121 ttggteageg gggeaggee etegeaggeg gegetgtggg ccaaaateee tggggtactg 181 geagggeage etttettega tgecatattt acceaactea actgeeaagt etectggtte 241 eteceogagg gategaaget ggtgeeggt geeagagtgg eegaagteeg gggeeetgee 301 cactgeetge tgetgggga acgggtgge eteaacaege tggeeeggtg eagtggeatt 361 geeagtgetg eegeegtge agtggaggee geeaggggge eggetggaet gggeaegtgg 421 caggeaegag gaagaceaeg eeaggettee ggetggtga gaagtatggg eteetggtg 481 ggeggggeeg eetegeaeeg etacgaeetg ggagggetgg tgatggtgaa ggataeeatg 541 tggtggeege eegtgegg gaageeggte ggagggeeg eggetggae ggetggeeg eggetggae ggagaeegte ggaggeggeeg eggetggae ggagaeegt tgaaggeggt tgatggtga gagaeetge 661 geegaeettt ggtetgetgg taceaetteg ageeagagga getgaeeeea egggeaeegt 721 getgeaggee eegtteeeeg agtgtggetg tggaaggeet actettggae
```

# 781 accteccegg ttetgeggge geoctagaeg tecteteetg gggtgetgae eaggggeee

### BG115486

```
1 gteetgagea geeaacacae cageecagae agetgeaagt caccatggae getgaaggee 61 tggegetget getgeegeee gteaecetgg cageectggt ggacagetgg etcegagagg 121 actgeecagg geteaactae geageettgg teageggge aggeeceteg caggeggege 181 tgtgggeeaa ateceetggg gtaetggeag ggeageettt ettegatgee atatttaeee 241 aacteaactg eeaagtetee tggtteetee eegagggate gaagetggtg eeggtggeea 301 gagtggeega ggteegggge eetgeeeaet geetgetget gggggaaegg gtggeeeta 361 acacgetgge eegetgeagt ggeattgeea gtgetgeege eggtggeege eegetgeagt ggeattgeea gtgetgeege eegetgeagt ggggggaaegg gaggeegeea 421 ggggggagaa gtatggget eeggtggeag gageegeete geacegeea ggetteegge 481 tggtggagaa gtatggget etggtggge gggeegeete geacegetae gagetgggag 541 ggetggtgat ggtgaaaggat aaccatgtgg tggeeegeege tggegtggag aaggeggtge 601 gggeeggeag acaggeggtg gactteegee tgaaggtgga agtggaatge aggageetge 661 aggaggegtg aacgaeeaea geeaaeggge tgaaggeeag gteeegagag tgeagaggaa 781 eeaaagggge tacaccaca geeaaeggge tgaaggeeag geeaaaaage geateeggg
```

### BG748194

1	ggcctggcag	aggacaggag	ggaggcttgg	ggagcctggg	aagggccggc	tgacagcttg
61	atgggccctc	cctccctcca	cagteccace	cccagcctgg	ggcctctggg	agccttggtc
121	ctgagcagcc	aacacaccag	cccagacagc	tgcaagtcac	catggacgct	gaaggcctgg
181	cgctgctgct	geegeeegte	accetggeag	ccctggtgga	cagctggctc	cgagaggact
241	gcccaggctc	aactacgcag	ccttggtcag	cggggcaggc	ccctcgcagg	cggcgctgtg
301	ggccaaatcc	cctggggtac	tggcagggca	gcctttcttc	gatgccatat	ttacccaact
361	caactgccaa	gtetectggt	tecteccega	gggatcgaag	ctggtgccgg	tggccagagt
421	ggccgaggtc	cggggccctg	cccactgcct	getgetgggg	gaacgggtgg	ccctcaacac
481	gctggcccgc	tgcagtggca	ttgccagtgc	tgccgccgct	gcagtggagg	ccgccagggg
541	ggccggctgg	actgggcacg	tggcaggcac	gaggaagacc	acgccaggct	tccggctggt
601	ggagaagtat	gggctcctgg	tgggccgggc	cgcctcgcac	cgctacgacc	tgggaggg

### BF980859

```
1 ccccagcctg gggcctctgg gagccttggt cctgagcagg ccaacacacc agcccagaca
 61 getgeaagte accatggaeg etgaaggeet ggegetgetg etgeegeeeg teaccetgge
121 agecetggtg gacagetgge teegagagga etgeecagge teaactaege ageettggte
181 ageggggeag geceetegea ggeggegetg tgggceaaat eeeetggggt aetggeaggg
241 cagcettet tegatgeeat atttacecaa etcaactgee aagteteetg gtteeteece
301 gagggatega agetggtgee ggtggeeaga gtggeegagg teeggggeee tgeeeaetge
361 etgetgetgg gggaacgggt ggeceteaac acgetggeee getgeagtgg cattgecagt
421 getgeegeeg etgeagtgga ggeegeeagg ggggeegget ggaetgggea egtggeagge
481 acgaggaaga ccacgccagg cttccggctg gtggagaagt atgggctcct ggtgggcggg
541 geogeotego acegetaega cetgggaggg etggtgatgg tgaaggataa ceatgtggtg
601 gccgccggtg gcgtggagaa agcggtgcgg gcggccagac aggcgggtga cttcgcctct
661 gaatgtggag tggaatgaga getgeagagg egtgeagage tgaggtgggg cacetggtet
721 ggtggacaac tcagcaagga gctggccacg gcacggctga aggccatccg agtgtggcgt
781 gagccggggc gttccgggac ccgcagtcgg gggcaaaagc ccccgggggg gccagggccc
841 ccatttecce caggegacag ggcgegegea ccaegaaaag egcegegggg egceeegeac
901 aagaggegga aacacaceeg eggegegaca egggegaege gteteagett gtegen
```

Secuencias identificadas como las del grupo HOXB 13

# 5 BF676461

## BC007092

ggatteecec ggeetgggtg gggagagega getgggtgee ceetagatte ceegeeceeg caceteatga geogaecete ggetecatgg ageoeggeaa ttatgecace ttggatggag ccaaggatat cgaaggettg ctgggagegg gaagggggeg gaatetggte geccaeteee ctctgaccag ccacccagcg gegectacgc tgatgcctgc tgtcaactat gececettgg atetgecagg eteggeggag eegecaaage aatgecacce atgecetggg gtgececagg gqacqtcccc agctcccgtq ccttatggtt actttggagg cgggtactac tcctqccgag tgteeeggag etegetgaaa ceetgtgeee aggeageeae eetggeegeg tacceegegg agacteceae ggeeggggaa gagtaceeea geegeeeeae tgagtttgee ttetateegg gatateeggg aacctaceag cetatggeea gttacetgga egtgtetgtg gtgeagaete tgggtgctcc tggagaaccg cgacatgact ccctgttgcc tgtggacagt taccagtctt gggetetege tggtggetgg aacagecaga tgtgttgeca gggagaacag aacecaccag qtecettttg qaaqqcagca tttgcagact ccagcgggca gcaccetcct gacgcctgcg cetttegteg eggeegeaag aaaegeatte egtacageaa ggggeagttg egggagetgg agegggagta tgeggetaac aagtteatea eeaaggacaa gaggegeaag ateteggeag ccaccageet eteggagege cagattacea tetggtttea gaaccgeegg gtcaaagaga agaaggttet egecaaggtg aagaacageg etacecetta agagatetee ttgeetgggt gggaggageg aaagtggggg tgteetgggg agaccaggaa cetgeeaage ceaggetggg qecaaqqaet etqetqaqaq qeceetaqaq acaacaceet teecaqqeea etggetqetg gactgtteet caggagegge etgggtacee agtatgtgea gggagaegga acceeatgtg acageceact ceaceaggst teceaaagaa cetggeeeag teataateat teateetgae agtggcaata atcacgataa ccagtactag ctgccatgat cgttagcctc atattttcta tctagagctc tgtagagcac tttagaaacc gctttcatga attgagctaa ttatgaataa atttggaaaa aaaaaaaaa aaaaaaaa aaaaaa

### BM462617

GGTGCTCCTGGAGAACCGCGACATGACTCCCTGTTGCCTGTGGACAGTTACCAGTCCTGG GCTCTCGCTGGTGGCTGGAACAGCCAGATGTGTTGCCAGGGAGAACAGAACCCACCAGGT CCCCTTTTGGAAGGCAGCATTTGCAGACTCCAGCGGGCAGCACCCTCCTGACGCCTGCGC CTTTCGT

#### BG752489

#### BG778198

### CB050884

# CB050885

### BF965191

GGGTGGGGAGAGCGAGCTGGGTGCCCCCTAGATTCCCCGCCCCCGCACCTCATGAGCCGA GCTTGCTGGGAGCGGGGGGGGGGGAATCTGGTCGCCCACTCCCCTCTGACCAGCCACC CAGCGGCGCCTACGCTGATGCCTGCTGTCAACTATGCCCCCTTGGATCTGCCAGGCTCGG CGGAGCCGCCAAAGCAATGCCACCCATGCCCTGGGGTGCCCCAGGGGGACGTCCCCAGCTC CCGTGCCTTATGGTTACTTTGGAGGCGGGTACTACTCCTGCCGAGTGTCCCGGAGCTCGC TGAAACCCTGTGCCAGGCAGCCACCCTGGCCGCGTAACCCGACGGAGACTCTCACGTGCG GGGAAGAGTACCCCTAGCGCCCCACATGAGTTTGCCTTCTATCCGGGATATCCGGGACCG TACCAGCCTATGGCAGTTACCTGGACGTGTCTGTGGTGCCGACTCTGGGTGCTCCTGGAG AACCGCGGACATGACTCCTTGTTTGCTGTGCGACGCTCACCAGTCTGGGCTCCTCGTCGG TGGTCGCACTCCCACTTTTTGCCGGCGACATCCCCCGGGCCCCTTCCGGAACAGCGAC CTTGCGAGCCCCGGGGACACCCCCCGTAAGCGGCCTATCATCGCTGATAAACCTCATC AGAGGGCACCGAAAGCCGCGACTCTAACCCCCCCACTACGACTCACGACCGCACAGGTAC TCGAACCGCCCAATATCTGGTTCTAACCCATGGCGCATCTCAGCCGCTAGAGAGCCAACC AAACGCGCCACGCGCAACCACACTACACCACGGCACCCCTTTCATCTCACTCCCACGCCG CTCATCGACTCCTGTCTCATCTCAACCACAGTACTACCAGCTCCAACACACCACTCACC CCAAGCTATCCATCACCTACACGCTTTCACCCCTCACCGCTCCCAAGTAATTCAGATCAC TCAAACACAATCTGCTACATACTCATCCCTCCCCACTCCCAGTACAGTCCAACCACCGA GCACGCACCCCCGGCAACCGCGGATCCGGCCGTACACACTCTTGGGCGGCACGCAGCT GAGGACATTCCGCGGGAGCGCCCCACCGTGGGCTACGTGGGTCGCGACCCGGCGGGGGGCGC GTGCGGCGTCGCCCGCCCGCCGACTGCGACCCAGTCGAG

# BU930208

### AA807966

#### AI884491

#### AA652388

## BF446158

### AA657924

GACGCNAGGTATGCGGCTAACAAGTTCATCACCAAGGACAAGAGGCGCAAGATCTCGGCA GCCACCAGCCTCTCGGAGCGCCAGATTACCATCTGGTTTCAGAACCGCCGGGTCAAAGAG AAGAAGGTTCTCGCCAAGGTGAAGAACAGCGCTACCCCTTAAGAGATCTCCTTGCCTGGG TGGGAGGAGCGAAAGTGGGGGTGTCCTGGGGAGACCAGGAACCTGCCAAGCCCAGGCTGG GGCCAAGGACTCTGCTGAGAGGCCCCTAGAGACACCCCTTCCCAGGCCACTGGCTGCT GGACTGTTCCTCAGGAGCGGCCTGGGTACCCATGTATGTGCAGGGAGACGGAACCCCATG

#### TGACAGCCCACTCCACCAGNGTTCCTAAAGAACCCTGGCCAGTCA

### AA644637

GCAGGCGACTTGCGAGCTGGGAGCGGTTTAAAACGCTTTGGATTCCCCCGGCCTGGGTGG GGAGAGCGAGCTGGGTGCCCCCTAGATTCCCCGCCCCCGCACCTCATGAGCCGACCCTCG GTCCATGGACACGGCAATTATGCCACCTTGGATGGAGCCAAGGATATCGAAGGCTTGCTG GGAGCGGAGGGGGGGGAATCTGGTCGCCCACTCCCCTCTGACCAGCCACCCAGCGGCG CCTACGCTGATGCCTGCTGACTATGCCCCCTTGGATCTGCCAGGCTCGGCGGACTCT NAAAGCATATGCCACCCNATGCCCTGGGGTGCCCCAGGGGAACGTCCCCAGCTCCCGTGC CTTATGGTT

### BF222357

### AA527613

### AA533227

### AA456069

CTCCTGGCAACACATCTGGCTGTTCCAGCACCAGGAGACCCAAGACTGGTAACTGTCC
ACAGGCAACAGGGAGTCATGTCGCGGTTCTCCAGGAGCACCCAGAGTCTGCACCACAGAC
ACGTCCAGGTAACTGGCCATAGCTGAGTAGGTTCCCGGGATATCCCGGGATAGAAGGCAAAC
TCAGTGGGGCGGCTGGGGTACTCTTCCCCGGCCGTGGAGAGTCTCCGCGGGGTACGGCCC
AGGGTGGCTGCCTGGGCATCAGGGTTCCAGGGACACTCCGGCAGGAGTAGTA
CCCGCCTCCAAAGTAACCATAAGGCACGGGAGCTGGGGGACCTCCCTGGGGCACCCCAG

### AA455572

### BX117624

CAGGCGACTTGCGAGTCTGGGAGCGATTTAAAACGCTTTGGATTCCCCCGGCCTGGGTGG
GGAGAGCGAGCTGGGTGCCCCCTAGATTCCCCGCCCCCGCACCTCATGAGCCGACCCTCG
GCTCCATGGAGCCGGCAATTATGCCACCTTGGATGGAGCCAAGGATATCGAAGGCTTGC
TGGGAGCGGGAGGGGGGGGGAATCTGGTCGCCCACTCCCCTCTGACCAGCCACCCAGCGG
CGCCTACGCTGATGCCTGCTGTCAACTATGCCCCCTTGGATCTGCCAGGCTCCCGGGGAC
CGCCAAAGCAATGCCACCCATGCCCTGGGGTGCCCCAGGGGACGTCCCCAGGTCCCGTGC
CTTATGGTTACTTTGGAGGCGGGTACTACTCCTGCCGAGTGTCCCGGAGCTCGCTGAAAC
CCTGTGCCCAGGCAGCCACCCTGGCCGCGTACCCCGCGGAGACTCCCACGGCCGGGAAG
AGTACCCCAGCCGCCCACTGAGTTTGCCTTCTATCCGGGATATCCGGGAACCTACCAGC
CTATGGCCAGTTACCTTGGACGTGTCTGTGGTGCAGACTCTCGCTGGAGAACCG
CGACATGACTCCCTGNTGCCTGTGGACAGTTTTGGGCTCTTTTGGAAGGCAGAT
TTGCAGACTNCAGCGGGCA

TTGCAGACTNCAGCGGGCA

## BQ673782

AGGCAGCCACCTGGCCGCTACCCCGCGGAGACTCCCACGGCCGGGAAGAGTACCCCA GCCGCCCACTGAGTTTGCCTTCTATCCGGGATATCCGGGAACCTACCAGCCTATGGCCA GTTACCTGGACGTGTCTGTGGTGCAGACTCTGGGTGCTCCTGGAGAACCGCGACATGACT CCCTGTTGCCTGTGGACAGTTACCAGTCTTGGGCTCTCGCTGGTGGCTGGAACAGCCAGA TGTGTTGCCAGGGAGAACAGAACCCACCAGGTCCCTTTTGGAAGGCAGCATTTGCAGACT CCAGCGGCAGCACCCTCCTGACGCCTGCGCCTTTCGTCGCGGCCGCAAGAAACGCATTC CGTACAGCAAGGGGCAGTTGCGGGAGCTGGAGCGGGAGTATGCGGCTAACAAGTTCATCA CCAAGGACAAGAGGCGCAAGATCTCGGCAGCCACCAGCCTCTCGGAGCGCCAGATTACCA TCTGGTTTCAGAACCGCCGGGTCAAAGAGAAGATCTCTCGCCAAGGTGAAGAACAGCG CTACCCCTTAAGAGATCTCCTTGCCTGGGTGGGAGGAGCGAAAGTGGGGGTGTCCTGGGG AGACCAGGAACCTGCCAAGCCCCAGGCTGGGGCCAAGGACTCTGCTGAGAGGCCCCTAGA GACAACACCCTTCCCAGGCCACTGGCTGCTGGACTGTTCCTCAGGAGCGGCCTGAGTACC CCGTATGTGCAGGGGAGACGGAACCCCCTGTGACCAGCCCCCTCCACCCGTGGTCTCCC AGATAACCTGGCCCCCACTCATAAATCATTTCTTCCCGGGCCGGGGGCCAATCATTCCCC GAACTACCCCGGTACCTTATACAATTAGATTGGACATGAATCCTCTCGGGGGCATTCCCT ATGGCGCTGAGGCCCCTCACACCT

### AI814453

GGTGCTGTCCTCTGGAGTCTGCAAATGCTGCCTTCCAAAAGGGACCTGGTGGGTTCTGT
TCTCCCTGGCAACACATCTGGCTGTTCCAGCCACCAGCGAGAGCCCAAGACTGGTAACTG
TCCACAGGCAACAGGGAGTCATGTCGCGGTTCTCCAGGAGCACCCAGAGTCTGCACCACA
GACACGTCCAGGTAACTGGCCATAGGCTGGTAGGTTCCCGGGATATCCCGGATAGAAGGCA
AACTCAATGGGGCGGCTGGGGTACTCTTCCCCGGCCGTGGGAGCACTCCGGGGGTACGCG
GCCAGGGTGGCTGCCTGGGCACAGGGTTTCAGCGAGCTCCCGGGACACTCGGCAGGAGTAG
TACCCGCCTCCAAAGTAACCATAAGGCACGGGAGCTCGGGGACCCCCCA

NGGCATGGGTGCCATTGCTTTGGCGGCTCCGCCGAGCCTGGCAGATCCAAGGGGGCATAG TTGACAGCAGGCATCAGCCGTAGGCGCCGCTGGGTGGCTGAAAAGGGAGTGGCGACCA NATTCCGCCCCCCTCCCGCTTCCCAG

#### AI417272

GGGTGCTGCCGCTGGAGTCTGCAAATGCTGCCTTCCAAAAGGGACCTGGTGGGTTCTGT
TCTCCCTGGCAACACATCTGGCTGTTCCAGCCACCAGCGAGAGCCCAGGACTGGTAACTG
TCCACAGGCAACAGGGAGTCATGTCGCGGTTCTCCAGGAGCACCCAGAGTCTGCACCACA
GACACGTCCAGGTAACTGGCCATAGGCTGGTAGGTTCCCGGATATCCCGGATAGAAGGCA
AACTCAGTGGGGCGGCTGGGGTACTCTTCCCCGCCGTGGGAGTCTCCGCGGGTACGCGG
CCAGGGTGGCTGCCTGGGCACAGGGTTTCAGCGAGCTCCCGGGACACTCGGCAGGAGTAGT
ACCCGCCTCCAAAGTAACCATAAGGCACGGGAGCTGGGGACGTCCCCTGGGGCACCCCAG
GGCATGGGTGGCATTGCTTTGGCGGCTCCGCCGAGCCTGGCAGATCCAAGGNGGCATAGT
TGACAGCAGGCATCAGCGTANGCGCCGCTGGGTGCCTTCAAGAGG

### AA535663

### AI400493

# AW779219

# AA594847

#### AI150430

#### AA494387

GGGTGCTGCCGCTGGAGTCTGCAAATGCTGCCTTCCAAAAGGGACCTGGTGGGTTCTGT
TCTCCCTGGCAACACATCTGGCTGTTCCAGCCACCAGGGAGCCCAAGACTGGTAACTGT
CCACAGGCAACAGGGAGTCATGTCGCGGTTCTCCAGGAGCACCCAGAGTCTGCACCACAG
ACACGTCCAGGTAACTGGCCATAGGCTGGTAGGTTCCCGGATATCCCGGATAGAAGGCAA
ACTCAGTGGGGCGCTGGGGTACTCTTCCCCGGCCGTGGGAGTCTCCGGCGGGTACGCGT
CCAGGGTGGCTGCCTGGGCACAGGGTTTCAGCGAGCTCCGGGACACTCGGCAGGAGTAGT
ACCCGCCTCCAAAGTAACCATAAGGCACGGGAGCTGGGGACGTCCCTG

### AA662643

GGGTGCTGCCCGCTGGAGTCTGCAAATGCTGCCTTCCAAAAGGGACCTGGTGGGTTCTGT
TCTCCCTGGCAACACATCTGGCTGTTCCAGCCACCAGCGAGACCCAAGACTGGTAACTGT
CCACAGGCAACAGGGAGTCATGTCGCGGTTCTCCAGGAGCACCCAGAGTCTGCACCACAG
ACACGTCCAGGTAACTGGCCATAGGTGGTAGGTTCCCGGGATATCCCGGATAGAAGGCAAA
CTCAGTGGGGCGGGGTACTCTTCCCCGGCCGTGGGAGTCTCCGCGGGGTACGCGGC
CAGGGTGGCTGCCTGGGCACAGGGTTTCAGCGAGCTCCCGGGACA

### AI935940

GGGTGCTGCCGCTGGAGTCTGCAAATGCTGCCTTCCAAAAGGGACCTGGTGGGTTCTGT TCTCCCTGGCAACACATCTGGCTGTTCCTGCCACCAGCGAGAGCCCAAGACTGGTAACTG TCCACAGGCAACAGGGAGTCATGTCGCGGTTCTCCAGGAGCACCCAGAGTCTGCACCACA GACACGTCCAGGTAACTGGCCATAGGCTGGTAGGTTCCCGGATATCCCGGATAGAAGGCA AACTCAGTGGGGCGGCTGGGGTACTCTTCCCCGGCCGTGGGAGTCTCCGCGGGGTACGCG GCCAGGGTGGCTGCCTGGGCACAGGGTTTCAGCG

## AA532530

GGGTGCTGCCGCTGGAGTCTGCAAATGCTGCCTTCCAAAAGGGACCTGGTGGGTTCTGT TCTCCCTGGCAACACATCTGGCTGTTCCAGCCACCAGCGAGACCCAAGACTGGTAACTGT CCACAGGCAACAGGGAGTCATGTCGCGGTTCTCCAGGAGCACCCAGAGTCTGCACCACAG ACACGTCCAGGTAACTGGCCATAGGTNGGTAGGTTCCCGGATATCCCGGATAGAAGGCAA ACTCAGTGGGGCGGCTGGGGTACTCTTCCCCGGCCGTGGGAGTCTCCG

#### AA857572

CTCCCTGGCAACACATCTGGCTGTTCCAGCACCAGCGAGAGCCAAGACTGGTAACTGTCC
ACAGGCAACAGGGAGTCATGTCGCGGTTCTCCAGGAGCACCCAGAGTCTGCACCACAGAC
ACGTCCAGGTAACTGGCCATAGGTCGGTAGGTTCCCCGGATATCCCGGATAGAAGGCAAAC
TCAGTGGGGCGACTGGGGTACTCTTCCCCCGGCCGTGGGAGTCTCCGCGGGGTACGGCNAC
AGGGTGGCTGCCTGGGCACAGGGTTTCAGCGAGCTCCGGGACACTCGGCAGGAGTAGTAN
CCGCCTCAAAGTAACCATAANGCACGGGAGCTGGGGACGTCCC

## Al261980

#### BE888751.1

GAGCGAGCTGGGTGCCCCTAGATTCCCCGCCCCGCACCTCATGAGCCGACCCTCGGCT
CCATGAGCCCGGCAATTATGCCACCTTGGATGAGCCAAGGATATCGAAGGCTTGCTGG
GAGCGGAGGGGGGGGGAATCTGGTCGCCCACTCCCCTCTGACCAGCCACCCAGCGGCGC
CTACGCTGATGCCTGCTGTCAACTATGCCCCCTTGGATCTGCCAGGCTCGCGGAGCCGC
CAAAGCAATGCCACCCATGCCCTGGGGTGCCCCAGGGACGTCCCCAGCTCCCGTGCCTTA
TGGTTACTTTGGAGGCGGGTACTCCTGCCGAGTGTCCCGGAGCTCGCTGAAACCCTG
TGCCCAGGCAGCCACCCTGGCCGCGTACCCCGCGGAGACTCCCACGGCCGGGAAAGAGTA
CCCCAGCCGCCCCACTGAGTTTGCCTTCTATCCGGGATATCCGGGAACCTACCAGCCTAT
GGCCAGTTACCTGGACGTGTCTGTGGTGCAGACTCTCGCTGGAGAACCGCGACA
TGACTCCCTGTTGCCTGTGGACAGTTACCAGTCTTTGGGTTCTCTTTTTGGAAGGCAGCATTTG
CCAGACTCCAGCGGCAGGACCTCCTGAACGCCTGCGCCTTTTTTTGGAAGGCAGCATTTT
CAGACTCCAGCGGCAGGACCTCCTGAACGCCTGCGCCTTTCGTCGCGGCGTCTAAAGTAA
TCCTCGAGG

## Al378797

### AA234220

# AA236353

# AA588193

# AI821103

# AI821851

# AA635855

# GGTGAGAGGTGTAATGGAAGG

## AI420753

#### BG180547

#### AA468306

# AA468232

# CB050115

# CB050116

# AA661819

# CF146837

# CF146763

# CF144902

# CF141511.1

CACGAGGCCTGGTAACAGCAGGAAGACTGAGGAGAGGGGAACGGGCAGATTCGTTGTGTG
GCTGTGATGTCCGTTTAGCATTTTTCTCAGCTGACAGCTGGGTAGGTGGACAATTGTAGA
GGCTGTCTCTTCCTCCCTCCTTGTCCACCCCATAGGGTGTACCCACTGGTCTTGGAAACA
CCCATCCTTAATACGATGATTTTTCTGTCGTGTGAAAATGAAGCCAGCAGGCTGCCCCTA
GTCAGTCCTTCCAGAGAAAAAGAGATTTGAGAAAGTGCCTGGGTAATTCACCATTA
ATTTCCTCCCCCAAACTCTCTGAGTCTTCCCTTAATATTTCTGGTGGTTCTGACCAAAGC
AGGTCATGGTTTGTTGAGCATTTGGGATCCCAGTGAAGTAGATGTTTGTAGCCTTGCATA
CTTAGCCCTTCCCAGGCACAAACGGAGTGGCAGAGTGGTGCCAACCCTGTTTTCCCAGTC
CACGTAGACAGATTCACAGTGCGGAATTCTGGAA

#### CF139563.1

# CF139372

# CF139319

CACGAGGAAGGCGATCCCTTTGCAGGGAAGCTTTCTCTCAGACCCCCTTCCATTACACCT
CTCACCCTGGTAACAGCAGGAAGACTGAGGAGAGGGGAACGGGCAGATTCGTTGTGTGGC
TGTGATGTCCGTTTAGCATTTTTCTCAGCTGACAGCTGGGTAGGTGGACAATTGTAGAGG
CTGTCTTCCTCCCTCCTTGTCCACCCCATAGGGTGTACCCACTGGTCTTGGAAACACC
CATCCTTAATACGATGATTTTTCTGTCGTGTGAAAATGAAGCCAGCAGGCTGCCCCTAGT
CAGTCCTTCCTCCAGAGAAAAAGAGATTTGAGAAAGTGCCTGGGTAATTCACCATTAAT
TTCCTCCCCCAAACTCTCTGAGTCTTCCCTTAATATTTCTGGTGGTTCTGACCAAAGCAG
GTCATGGTTTGTTGAGCATTTGGGATCCCAGTGAAGTAGATGTTTGTAGCCTTGCATACT
TAGCCCTTCC

#### CF139275

# CF122893

CACGAGGATTTTCTATCTAGAGCTCTGTAGAGCACTTTAGAAACCGCTTTCATGAATTGA
GCTAATTATGAATAAATTTGGAAGGCGATCCCTTTGCAGGGAAGCTTTCTCTCAGACCCC
CTTCCATTACACCTCTCACCCTGGTAACAGCAGGAAGACTGAGGAGAGGGGAACGGGCAG
ATTCGTTGTGTGGCTGTGATGTCCGTTTAGCATTTTTCTCAGCTGACAGCTGGGTAGGTG
GACAATTGTAGAGGCTGTCTCTTCCTCCCTCCTTGTCCACCCCATAGGGTGTACCCACTG
GTCTTGGAAACACCCATCCTTAATACGATGATTTTTCTGTCGTGTGAAAATGAAGCCAGC
AGGCTGCCCCTAGTCAGTCCTTCCTCCAGAGAAAAAGAGATTTGAGAAAGTGCCTGGGT
AATTCACCATTAATTTCCTCCCCCAAACTCTCTGAGTCTTCCCTTAATATTTCTGGTGGT
TCTGACCAAAGCAGGTCATGGTTTGTTGAGCATTTGGGATCCCAGTGAAGTANATGTTTG
TAGCCTTGCATACTTAGCCCTT

#### AI972423

# Al918975

# AJ826991

# AI686312

## AI655923

# CF146922

CACGAGGCGACTTGCGAGCTGGGAGCGATTTAAAACGCTTTGGATTCCCCGGCCTGGGTG
GGGAGAGCGAGCTGGGTGCCCCCTAGATTCCCCGCCCCCGCACCTCATGAGCCGACCCTC
GGCTCCATGGAGCCCGGCAATTATGCCACCTTGGATGGAGCCAAGGATATCGAAGGCTTG
CTGGGAGCGGGAGGGGGGGGGAATCTGGTCGCCACTCCCCTCTGACCAGCCACCCAGCG
GCGCCTACGCTGATGCCTGCTGTCAACTATGCCCCCTTGGATCTGCCAGGCTCCGCGGAG
CCGCCAAAGCAATGCCACCCATGCCCTGGGGTGCCCCAGGGGACGTCCCCAGGTCCCGTG
CCTTATGGTTACTTTGGAGGCGGGTACTCCTGCCGAGTGTCCCGGAGCTCGCTGAAA
CCCTGTGCCCAGGCAGCCACCCTGGCCGCGTACCCCGCGGAGACTCCCACGGCCGGGAA
GAGTACCCCAGCCGCCCCACTGAGTTTGCCTTCTATCCGGGATATCCGGGAACCTACCAG
CCTATGGCCAGTTACCTGGACGTGTCTGTGGTGCAGACTCTCGGTGCTCCTGGAGAACGC
GACATGACTCCCTGTTGCCTTGTGGTCCAGGTCTCTGGTGGTGCTCCTGGAGAACGC
GACATGACTCCCTGTTGCCTTGTGGACAGTTTTGCGTTCTCTGGTGCTCCTGGTGGTGCTCGAAAACGC

# BF476369

# BF057410

#### BE645544

# BE645408

## BE388501

# CF147366

GACGAGGACAATTGTAGAGGCTGTCTCTTCCTCCCTCCTTGTCACCCCATAGGGTGTACC
ACTGGTCTTGGAAGCACCCATCCTTAATACGATGATTTTTCTGTCGTGTGAAAATGAAGC
CAGCAGGCTGCCCCTAGTCAGTCCTTCCTTCCAGAGAAAAAGAGATTTGAGAAAAGTGCCT
GGGTAATTCACCATTAATTTCCTCCCCCAAACTCTCTGAGTCTTCCCTTAATATTTCTGG
TGGTTCTGACCAAAGCAGGTCATGGTTTGTTGAGCATTTGGGATCCCAGTGAAGTAGATG
TTTGTAGCCTTGCATACTTAGCCCTTCCCAGGCACAAACGGAGTGGCAGAGTGGTGCCAA
CCCTGTTTTCCCAGTCCACGTAGACAGATTCACAGTGCGGAATTCTGGAAGCTGGAGACA
GACGGGCTCTTTGCAGAGCCGGGACTCTGAGAGGGACATGAGGGCCTCTGCCTCTGTTT
CATTCTCTGATGTCCTGTACCTGGGCTCAGTGCCCGGTGGGACTCATCTCCTGGCCGCGCACAAAGCCAGCGGGTTCCTGCTTCTTCTGC

# CF147143

#### BT007410

atggagecg geaattatge cacettggat ggagecaagg atategaagg ettgetggga gegggaggg ggeggaatet ggtegecaa teeeetetga eeagetegge ggageegeet aegetgatge etgetgteaa etatgeece ttggatetge eaggetegge ggageegeea aageaatgee aeceatgeee tggggtgeee eaggtgaegt eeeeagetee egtgeettat ggttaetttg gaggegggta etaeteetge egagtgteee ggageteget gaaaceetgt geeagetage eeaetgge egegtaeeee geggagaete eeaeggeegg ggaaagatae eeeageegee eeaetggee tggettetat eegggatate egggaaeeta eeageetatg geeagttaee tggaegtge ttgtggtgeag aetetgggtg eteetggaga aeegegaeat gaeteeetgt tgeetgtga eagttaeeag tettgggte tegetggtgg etggaaeage eagatgtgtt geeaggaga aeagaaeeea eeaggteeet tttggaagge ageatttgea gaeteeageg ggeageaeee teetgagga etggagegg agtatgegg eaagaaege atteegtaea geaaggggaa gttgegggag etggagegg agtatgegge taacaagtte aeeatetggt tteagaaeeg eagateteg geageeaeea geetetegga gegeeagatt aeeatetggt tteagaaeeg eegggteaaa gagaagaagg ttetegeaa ggtgaagaae agegetaeee ettag

BC007092

ggattccccc ggcctgggtg gggagagcga gctgggtgcc ccctagattc cccgcccccg caectcatga geegaeeste ggeteeatgg ageeeggeaa ttatgeeaee ttggatggag ccaaggatat cgaaggettg etgggagegg gaaggggggg gaatetggte geceaeteee ctctgaccag ccacccageg gegectaege tgatgcctgc tgtcaactat gcccccttgg atctgccagg ctcggcggag ccgccaaagc aatgccaccc atgccctggg gtgccccagg qqacqtcccc agctcccgtg ccttatggtt actttggagg cgggtactac tcctgccgag tgtcccggag ctcgctgaaa ccctgtgccc aggcagccac cctggccgcg taccccgcgg agactoccac ggccggggaa gagtacccca gccgccccac tgagtttgcc ttctatccgg gatatccggg aacctaccag cctatggcca gttacctgga cgtgtctgtg gtgcagactc tgggtgetec tggagaaceg egacatgaet coetgttgec tgtggacagt taccagtett gggetetege tggtggetgg aacagecaga tgtgttgeca gggagaacag aacecaccag gtocottttg gaaggoagea tttgcagact ccagegggca gcaccetect gacgcetgeg cetttegteg eggeegeaag aaaegeatte egtacageaa ggggeagttg egggagetgg agegggaqta tgeggetaac aagtteatea eeaaggacaa gaggegeaag ateteggeag ccaccagect ctcggagege cagattacca tctggtttca gaaccgccgg gtcaaagaga agaaggttet egecaaggtg aagaacageg etacecetta agagatetee ttgeetgggt gqqaqqaqcq aaaqtqqqqq tqtcctqqqq aqaccaqqaa cctqccaaqc ccaqqctqqq gecaaggaet etgetgagag geceetagag acaacacect teccaggeca etggetgetg gactgtteet caggagegge ctgggtaccc agtatgtgca gggagacgga accccatgtg acageceaet ceaccagggt teccaaagaa eetggeeeag teataateat teateetgae agtggcaata atcacgataa ccagtactag ctgccatgat cgttagcctc atattttcta tctagagctc tgtagagcac tttagaaacc gctttcatga attgagctaa ttatgaataa atttggaaaa aaaaaaaaaa aaaaaaa aaaaaa

# U57052

egggtgecee etagatteee egeceeegea eeteatgage egaceetegg etecatggag eeegggaatt atgecacett ggatggagee aaggatateg aaggettget gggageggga ggggggegga atetggtege eeacteeeet etgaceagee acceagegge gectaegetg atgectgetg teaactatge eeeetgggat etgecagget eggegggagee gecaaageaa tgecaceat geeetggggt geeeeagggg acgteeeeag eteeegtgee ttatggttae tttggaggeg ggtactaete etgecgggg acteeeeag eeggggaagee eggeggaage eggegeacee eggegegga eeeeegggag acteeeacgg eeggggaaga gtaceeeag eggegeacee tggeegggta eeeeggggag acteeeacgg eeggggaaga gtaceeeag eggeeeactg agtttgeett etateeggga tateegggaa eetaeeacge tatggeeagt tacetggaeg tgtetggga gagaacegeg acatgaetee etgttgeeagg gagaacagaa eeeacaggt eeetttgga ggggetggaa eaggeagatg tgttgeeagg gagaacagaa eeeacaggt eeetttgga aggeagaat tgeagaetee agggggeage acceteetga egecteegee tttegtege geegeaagaa acgeatteeg tacageaaga ggegeaagat eteggeagee aeeacaggt egggagtatg eggetaacaa gtteateace aaggacaaga ggegeaagat eteggeagee aeeageetet eggagegeea gattaeeace tggttteaga aeegeegggt eaaagaagaa aaggtteteg eeaaggtgaa gaacageget

accecttaag agateteett geetgggtgg gaggagegaa agtgggggtg teetggggag accaggaace tgeeaagece aggetgggge caaggaetet getgagagge ceetagagae

U81599

aacacc

tectaataeg aeteactata gggetegage ggeegeeegg geaggtegaa tgeaggegae ttgcgagctg ggagcgattt aaaacgcttt ggattccccc ggcctgggtg gggagagcga getgggtgee ceetagatte ceegeeeeeg caceteatga geegaeeete ggeteeatgg ageceggeaa ttatgecace ttggatggag ceaaggatat egaaggettg etgggagegq gaggggggg gaatotggto goccactooc ototgaccag coaccoagog gogcotacgo tgatgcctgc tgtcaactat geccecttgg atctgccagg ctcggcggag ccgccaaagc aatgecacee atgecetqqq qtqccccaqq qqacqtcccc agetcccqtq cettatqqtt actitggagg cgggtactac tectgeegag tgteeeggag etegetgaaa eeetgtgeee aggeageeac cetggeegeg tacceegegg agacteecac ggeeggggaa gagtaceeea gtegececae tgagtttgee ttetateegg gatateeggg aaeetaeeae getatggeea gttacetgga egtgtetgtg gtgeagaete tgggtgetee tggagaaceg egacatgaet ccctgttgcc tgtggacagt taccagtctt gggctctcgc tggtggctgg aacagccaga tgtgttgcca gggagaacag aacccaccag gtcccttttg gaaggcagca tttgcagact ecagoggoa geacceteet gacgoetgog cetttoqtog oggoogoaag aaacgoatto cgtacagcaa ggggcagttg cgggagetgg agcgggagta tgcggctaac aagttcatca ccaaggacaa gaggcgcaag atctcggcag ccaccagcct ctcggagcgc cagattacca totggtttca gaaccgccgg gtcaaagaga agaaggttct cgccaaggtg aagaacagcg ctacccctta agagatetee ttgcctgggt gggaggageg aaagtggggg tgtcctgggg agaccagaaa cetgecaage ceaggetggg gecaaggaet etgetgagag geceetagag acaacaccet teccaggeea etggetgetg gaetgtteet caggagegge etgggtacce agtatgtgca gggagacgga accccatgtg acaggcccac tccaccaggg ttcccaaaga acctggccca gtcataatca ttcatcctca cagtggcaat aatcacgata accagt

#### CB120119

# CB125764

# AU098628

#### CB126130

#### BI023924

AGGCCGCACCCAGTCTTAAGGTGCAGTGAAGGACAGCACGAACCCGCTGTGCTTTGCTGC
GCGGCAGGAGATGAGTCCCACCGGGCACTGAGCCCAGGTACAGGACATCAGAGAATGAAC
ACAGAGGCAGAGGCCCTCATGTCCCTCTCAGAGTCCCGGCTCTGCAAAGAGCCCGTCTGT
CTCCAGCTTCCAGAATTCCGCACTGTGAATCTGTCTACGTGGACTGNGAAAACAGGGTTG
GCACCACTCTGCCACTCCGTTTGTGCCTNGGGGCGGGCAGAGGG

# BM767063.1

# BM794275

# GCAGACTCTGGGTGCTCCTGGAGAACCGCGACGTGACTCCCTGTTGCCTGTGGACAGTTA

CCACTCTTGGGCTCTCGCTGGTGGCTGAACAGCCAGATGTGTTGCCAGGGAGAACAGAA CCCACCAGGTCCCTTTTGGAAGGCAGCATTTGCAGACTCCAGCGGGCAGCACCCTCCTGA CGCCTGCGCCTTTCGTCGCGGCCGCAAGAAACGCATTCCGTACAGCAAGGGGCAGTTGCG GGAGCTGGAGCGGGAGTATGCGGCTAACAAGTTCATCACCAAGGACAAGAGGCGCAAGAT CTCGGCAGCCACCAGCCTCTCGGAGCGCCAGATTACCATCTGGTTTCAGAACCGCCGGGT CAAAGAGAAGAAGATCTCGCCAAGGTGAAGAACAGCGCTACCCCTTAAGAGATCTCCTT GCCTGGGTGGGAGGATCTAAAGTGGGGGTGTCCTGGGGAGACCAGGAACCTGCCAAGCCC AGGCTGGGGCCAAGGACT

#### BQ363211

ACGCTGCACTGCGTTTCAAAGAGAAGAAGGTTCTCGCCAAGGTGAAGAACAGCGCTACCC CTTAAGAGATCTCCTTGCTTGGGTGGGAGGAGCGAAAGTGGGGGTGTCCTGGGGAGACCA GGAACCTGCCATCACCAGGCTGGGCCCAAGGACTCTGCTGAGAGGCCCCTAGAGACAACA CCCTTCCCAGGCCATTGCTTGCTGGACTGTGCCTCAGGAGCGGCCTGGGTACC

#### BM932052

#### AA357646.1

# AW609525

ACCGCGGGTCAAATTTATTCATAATTAGCTCAATCATGAAAGCGGTTCTAAAGTGCTCTA
CAGAGCTCTAGATAGAAAATATGAGGCTAACGATCATGGCAGCTAGTACTGGTTATCGTG
ATTATGGCCACTGTCAGGATGAATGATAATGACTGGGCCAGGTCCTTTGGAAACCCTGGT
GGAGTGGGCTGTCACATGGGGTCCCGTCTCCCTGCACATACTGGGTACCCAGGCCGCTCC
TGAGGAACAGTCCAGCCAGCCAGTGGCCTGGGAAGGGTGTGGTCTCTAGGGGCCTCTCAGC
AGAGTCCTTGGCCCCAGCCTGGCTTGGCAGGTCCCTGGTCTCCCCAGGACACCCCCACT
TTCGCTCCTCCCACCCAGGCAAGGAGATCTCTTAAGGGGTAGCGCTGTTCTTCACCTTGG
CGAGAACCTTCTTCTCTTTTGAACCGGCGGTGCGGCGTGGGGTACCGAGC

# CB126919

CAAACGGAGTGGCAGAGTGCCAACCCTGTTTTCCCAGTCCACGTAGACAGATTCACA GTGCGGAATTCTGGAAGCTGGAGACAGACGGGCTCTTTGCAGAGCCGGGACTCTGAGAGG GACATGAAGGCCTCTGCCTCTGTTTCATTCTCTGATGTCCTGTACCTGGGCTCAGTGCC CGGTGGGACTCATCTCCTGGCTGCGCAGCAAAGCCAGCGGGTTCGTGCTGGT

# AW609336

CCAACGAGAAGAAGGTTCTCGCAAGGTGAAGAACAGCGCTACCCCTTAAGAGATCTCCTT
GCGTGGGTGGAGGAGCGAAAGTGGGGGTGTCCTGGGGAGACCAGGAACCTGCCAGCCCA
GGCTGAGGCCAAGGACTCTGCTGAGAGGCCCCTAGAGACAACACCCTTCCCAGGCCACTG
GATGCTGAACTGTCCCTCAGGAGCGGCCTGGGTACCCAGTATGTGCAGGGAGACCCCATGTGACAGCCCCACTCCACCAGGGTTCCCAAAGAACCTGGCCCCAGTCATAATCATTC
ATCCTGACAGTGGCAATAATCACGATAACCAGTACTAGCTGCCATGATCGTAAGCCTCAT
ATTTGCTATCTAGAGCTCTGTAGAGCACTTTAGAAACCGCTTTCATGAATTGAGCTAATT
ATGACTCAATTTGAACCGGCGTCCGGCGTG

# AW609244

ACGCGCACCGCGGTCAAGAGAAGAAGATCTCGCAAGGTGAAGAACAGCGCTACCCCTTA
AGAGATCTCCTTGCGTGGGTGGGAGGAGCGAAAGTGGGGGTGTCCTGGGGAGACCAGGAA
CCTGCCAAGCCCAGGCTGTGGCCAAGGACTCTGCTGAGAGGCCCCTATGAGACAACACCC
TTCCCAGGCCACTGGCTGCTGGGACTGTTCCTCAGGAGCGGCCTGGGTACCCGAGTAATG
TGCAGGGGAGACGCATGTGACAGCCCACTCCACCAGGGTTCCCAAAAGAACCCT
GGCCCAGTCATAATCATCCTGACAGTGGCAATAATCACGATAACCAGTACTAGCTG
CCATGATCGTAAGCCTCATATTTGCTATCTAGAGCTCTGTAGAGCCCTTTAGAAACCGCT
TTCATGAATGGAGCTAAATTATGAATACATTTGAACCGGCGATCCGACGTGA

# BF855145

CTAGAGGATCCCGGAAGCAACTGCAACAGGTTCCCAAAGAACCGGGCCAGTCATAATCAT
TCATCCTGACAGGGCAATAATCACGATAACCAGTTCTAGCCTCATCATCATCATCATCATCATCTAGAGCTCTCTAGAGCCACTTTAGAAACCGCTTTCATGAATGGAGCTAAT
TATGAATAAATTTGGAAGGCGATCCCTTGGCAGGGAAGCTTTCTCTCAGACCCCCTTCCA
TTACACCTCTCACCCTGGTAACAGCAGGAAGACTGAGGAGAGGGGAACGGGCAGATTCGT
GGTGTTGCAGTGTGCTTCCG

# AU126914

# CB126449

# AW582404

ACGCTGCACCGCCGGTCCAAGAGAAGAAGATCTCTCGCCAAGGTGAAGAACAGCGCTACCC
CTTTAAGAGATCTCCTTGCTGGGGTGGGAGAGCCAAAGTGGGGGTGTCTGGGGAGACCA
GGAACCTGCCAGCCCCAGGCTGGGCCCAAGGACTCTGCTGAGAGGCCCCTAGAGACAACA
CCCTTCCCAGGCCACTGTCTGCTGGACTGTTCCTCAGGAGCGGCCTGGGTACNCAGTATG
TGCAGGGAGACGGAACCCCATGTGACAGCCCACTCCACCAGGGTTCCCAAAGAACCTGGC
CCAGTCATAATCATCATCCTGACAGTGGCAATAATCACGATAACCAGTACTAGCTGCCA
TGATCGTTAGCCTCATATTTTCTATCTAGAGCTCTGTAGAGCACTTTAGAAACCGCTTTC
ATGAATTGAGCTACTTATGAATCACTTTGAACCGGCGGTGCGCGTG

# BX641644

[0187] Secuencias de la Tabla 4 no descritas anteriormente

AW006861 (Clon IMAGE ID::2497262)

# X59770

GCCACGTGCTGCTGGGTCTCAGTCCTCCACTTCCCGTGTCCTCTGGAAGTTGTCAGGAGC AATGTTGCGCTTGTACGTGTTGGTAATGGGAGTTTCTGCCTTCACCCTTCAGCCTGCGGC ACACACAGGGGCTGCCAGAAGCTGCCGGTTTCGTGGGAGGCATTACAAGCGGGAGTTCAG GCTGGAAGGGGAGCCTGTAGCCCTGAGGTGCCCCCAGGTGCCCTACTGGTTGTGGGCCCTC TGTCAGCCCCCGCATCAACCTGACATGGCATAAAAATGACTCTGCTAGGACGGTCCCAGG AGAAGAAGACACGGATGTGGGCCCAGGACGCTGCTCTGTGGCTTCTGCCAGCCTTGCA GGAGGACTCTGGCACCTACGTCTGCACTACTAGAAATGCTTCTTACTGTGACAAAATGTC CATTGAGCTCAGAGTTTTTGAGAATACAGATGCTTTCCTGCCGTTCATCTCATACCCGCA AATTTTAACCTTGTCAACCTCTGGGGTATTAGTATGCCCTGACCTGAGTGAATTCACCCG TGACAAAACTGACGTGAAGATTCAATGGTACAAGGATTCTCTTCTTTTTGGATAAAGACAA TGAGAAATTTCTAAGTGTGAGGGGGACCACTCACTTACTCGTACACGATGTGGCCCTGGA AGATGCTGGCTATTACCGCTGTGTCCTGACATTTGCCCATGAAGGCCAGCAATACAACAT CACTAGGAGTATTGAGCTACGCATCAAGAAAAAAAAGAAGAGACCATTCCTGTGATCAT TTCCCCCTCAAGACCATATCAGCTTCTCTGGGGTCAAGACTGACAATCCCGTGTAAGGT GTTTCTGGGAACCGGCACACCCTTAACCACCATGCTGTGGTGGACGGCCAATGACACCCA CATAGAGAGCGCCTACCCGGGAGGCCGCGTGACCGAGGGGCCACGCCAGGAATATTCAGA AAATAATGAGAACTACATTGAAGTGCCATTGATTTTTTGATCCTGTCACAAGAGAGGGATTT GCACATGGATTTTAAATGTGTTGTCCATAATACCCTGAGTTTTCAGACACTACGCACCAC AGTCAAGGAAGCCTCCTCCACGTTCTCCTGGGGCCATTGTGCTGGCCCCCACTTTCACTGGC CTTCTTGGTTTTGGGGGGAATATGGATGCACAGACGGTGCAAACACAGAACTGGAAAAGC AGATGGTCTGACTGTGCTATGGCCTCATCATCAAGACTTTCAATCCTATCCCAAGTGAAA 

## AB000520

GGATCCAAGCTATTGTCCTGCCCATGGCTTCCCATCTCAGGACGCTCTCTGGCCGCTATC ATCCCAGCAGTGGAGTTCAGCCCACTACTCTGAACCAGCCGCAGGTGGCTGCTATGGGAC TGAAGCCATGAATGGTGCCGGCCCTGGCCCCGCCGCAGCCGCCCCGGTCCCAGTCCCGGT CCCGGTCCCGGACTGCCGCAGTTCTGCGAGCTGCATGCGCAGGCGGCCGCCGTGGACTT TGCGCACAAGTTCTGCCGTTTCCTGCGGGACAACCCAGCTTACGACACGCCCGACGCCGG CGCCTCTTCTCCCGCCACTTCGCCGCCAACTTCCTGGACGTCTTCGGCGAGGAGGTGCG CCGCGTGCTGGTGGCTGGCCGACGACGACTCGGGGCGGCCGTGAGCGCAGAGGCCATGGA GCCGGAGCTCGCGGACACCTCTGCACTCAAGGCGGCGTCCTACGGCCACTCGCGGAGCTC GGAGGACGTGTCCACGCGCCGCCCACCAAGGCCCGCGTTCGCAAGGGCTTCTCGCTGCG CAACATGAGCCTGTGCTGGTGGACGGCGTGCGCGACATGTGGCACCGGCGCGCCTCGCC CGAGCCCGACGCGCACCTGCCCCCGCGCACCCCGAGCCCCGCGACAAGTGGACGCGGCG CCTGAGGCTGTCGCGGACGCTGGCTGCCAAGGTGGAGCTGGTGGACATTCAACGCGAGGG GGCGCTGCGCTTCATGGTGGCCGACGACGCGGCCGCGGGCTCCGGGGGCTCAGTG GCAGAAGTGCCGCCTGCTCCTGCGCAGGGCTGTGGCCGAGGAACGCTTCCGCCTGGAGTT CTTCGTGCCGCCAAAGCCTCCAGGCCCAAGGTCAGCATCCCACTGTCAGCCATCATTGA GGTCCGCACCACCATGCCCCTGGAAATGCCAGAGAAGGATAACACATTCGTCCTCAAGGT AGAGAATGGAGCCGAATACATCTTGGAGACCATCGACTCTCTGCAGAAGCACTCGTGGGT AGCTGACATCCAGGGCTGCGTGGACCCCGGTGACAGTGAGGAAGACACCGAGCTCTCCTG TGCAGTCGACCTGCCCCGCCCCCAGAGACGACAGCCGTGGGTGCAGTGGTGACAGCCCC CCACAGCCGAGGTCGAGATGCCGTCAGAGAATCCCTGATCCACGTCCCGCTAGAGACCTT TCTGCAGACCCTGGAATCCCCGGGCGCAGCGCAGTGACAGCAATAACACAGGGGAACA GGGTGCAGAGACGGATCCCGAGGCTGAACCCGAGCTGGAGCTATCCGACTACCCATGGTT CCACGGGACACTGTCCCGGGTCAAGGCTGCTCAACTGGTTCTGGCAGGGGGGCCCCGGAA CCACGGCCTCTTCGTGATCCGCCAAAGTGAGACTCGGCCTGGGGAGTACGTGCTGACCTT CAACTTCCAGGGCAAGGCCAAGCACCTGCGCCTGTCCCTGAACGGCCACGGCCAGTGTCA CATCCCACTGGAGTCAGGGGGCTCGGCCGACATCACCCTTCGCAGCTATGTGCGGGCCCA GAGCGACTCGCCCGGCCAGCACTACTTCTCCAGCCTCGCCGCCGCCCTGCCCGCCTGC CTCGCCTCCGACGCCGCCGCCTCCTCTCTCCGCCTCGTCGTCCTCTGCCGCGTC GGGGCCGGCCCCGCGCCCCGTCGAGGGCCAGCTCAGCGCGCGGAGCCGCAGCAACAG CGCCGAGCGCCTGCTGGAGGCCGTGGCCGCCACCGCCGAGGAGCCCCCGGAGGCCGC GCCCGGCCGCGCGCGCGCGAGAACCAGTACTCCTTCTACTAGCCCGCGCGCCCCCCGGGTGGGACACGCCAAGCTCTTCAGTGAAGACACGATGTTATTAAAAGCCTGTTTTAGGGACTGCAAAA

Al820604 (Clon IMAGE ID: 1605108

GATTCCAGCACGGGCTTCGCAGACTGCAGGACACAGAGGCACGCGTGCACATCATGTCTT
CTAAGGAATTTGAACACTGTTGAGAAGACTGTGTACAAGAGAGATGTGCCATGTCAGCCT
TGCAAGGGACAGCGTGAAAACTACCCATCTCCGGTCACCAAGTTGCAGGAGGCCAGGAGC
CAGGAGGGGAAACCGCTCAGTTTGCAAAACGTCGCTTCCACAAGCCTGATGGCTGAAACT
GCTCACTGTACCCTGAAACCAGCTTTACCTACAGCTTCTGAGATAAACTGCTGCAACTCT
GGGACCCACGATGCCTATCACAGTGGCTCATCAATGGAACCTGCCGGCTCCCAACCCTTC
CTAGGGCCCATGAACTCTCTGAAAAGAGGGAACAGAAATATTTCTCCTTTTTTGTAAAATCT
TTAACCTTCCCTTTGTTCTTCATGTACACGCTGAACTGCAATTCTTCTTCCCAAATAAAA
CATTAAATTTAAAAAA

5

AI087057 (Clon IMAGE ID:1671188)

# AJ272267

GGCGGCCTGGACGGCCGCGTGCTGTACTGGCCACGCGGCCGCGTCTGGGGTGGCTCCTC ATCCCTCAATGCCATGGTCTACGTCCGTGGGCACGCCGAGGACTACGAGCGCTGGCAGCG CCAGGGCGCCGCGGCTGGGACTACGCGCACTGCCTGCCTACTTCCGCAAGGCGCAGGG CCACGAGCTGGGCGCCAGCCGGTACCGGGGCGCCGATGGCCCGCTGCGGGTGTCCCGGGG CAAGACCAACCACCGCTGCACTGCGCATTCCTGGAGGCCACGCAGCAGGCCGGCTACCC GCTCACCGAGGACATGAATGGCTTCCAGCAGGAGGGCTTCGGCTGGATGACATGACCAT CCATGAAGGCAAACGGTGGAGCGGGCCTGTGCCTACCTGCACCCAGCACTGAGCCGCAC CAACCTCAAGGCCGAGGCCGAGACGCTTGTGAGCAGGGTGCTATTTGAGGGCACCCGTGC AGTGGGCGTGGAGTATGTTAAGAATGGCCAGAGCCACAGGGCTTATGCCAGCAAGGAGGT GATTCTGAGTGGAGGTGCCATCAACTCTCCACAGCTGCTCATGCTCTCTGGCATCGGGAA GAACCTGCAAGACCACCTGGAGATCTACATTCAGCAGGCATGCACCCGCCCTATCACCCT CCATTCAGCACAGAGCCCCTGCGGAAGGTCTGCATTGGTCTGGAGTGGCTCTGGAAATT GGTCCCCCACCGGACATCCAGTTCCATTTCCTGCCATCCCAAGTGATTGACCACGGGCG GGTCCCCACCCAGCAGGAGGCTTACCAGGTACATGTGGGGCCCATGCGGGGCACGAGTGT GGGCTGGCTCAAACTGAGAAGTGCCAATCCCCAAGACCACCCTGTGATCCAGCCCAACTA 

TCAGTCAGATAAAGAGATAGATGCCTTTGTGCGGGCAAAAGCCGACAGCGCCTACCACCC CTCGTGCACCTGTAAGATGGGCCAGCCCTCCGATCCCACTGCCGTGGTGGATCCGCAGAC AAGGTCCTCGGGGTGGAAAACCTCAGGGTCGTCGATGCCTCCATCATGCCTAGCATGGT CAGCGGCAACCTGAACGCCCCCACAATCATGATCGCAGAGAGGCCAGCTGACATTATCAA GGGGCAGCCTGCACTCTGGGACAAAGATGTCCCTGTCTACAAGCCCAGGACGCTGGCCAC CCAGCGCTAAGACAGTTGCTGCTGGAGGATGACCAGGGAAGCCCCCTGATAAGCCAAGAG GGCCAGCACAGCCCTTGCTCCCAGGCTCCTGCCTGAAACTATCTAGCACACTAGGACCCA GGTGGTACCCTACTCAGTGGCTGAGAATTGGATAAAGTCTTKGGGAAATGAGACAAGTAC TGGGCAGTGAATCCAGCTCCTTTTCCCCAGCCTTTCCCTGTGGGCCATTTGGGGAAGGCC AGCATTYCAGCCTGAGATGTTCCTCCCTGCCTCCTGGGGGGGCARAAGGGVTAGGWTGGT TAACTCCTGCCGCATCCTTCCCTGCCTCCTGGAGGGACAGAAGGGGAGGATGGTTAACTC CTGCCGCATCCTTTTTCTTGTGTTCACGTGGCATTCTCTAACCCAGGGCAGTGGTTCCTT TCAGCCTGGGCTGGCACATAAGTCCCCAGTGTCCCTGTTGAGAGGGGGAAAGTTGCCTGCT GGTTGAAAAACTGGCTTTTCCTTTCTCGCTGCCTAATTTCACTCTCAGAGTGAGGCAGGT AACTGGGGCTCCACTGGGTCACTCTGAGAGGGTTGTGGCTCTGGTTCTTATTAAACCAGG GCCAGGTGCAGGGCTCACACCTGTAATCCCAGCACTTTGGGAAGGTCACTTGAGCTCAGG AGTTCAAGACCAGCCTGGGCAACATAGTGAGACCTTGTCTCTGGAAAACAATTAGCTGGG CATGGTGGTACACCTGTAGTCCCAGCTACTTGGGAGGCTGAGGCGGGAGGATGGCTTT AGCCCAGGAGGTTGAGGCTCCTGTGAACCCTGATGGCACCACTGCACTCCAGCCTGGGTG ACAGGGTGAGACCCTGTCTCAAAAAAAAA

N30081 (Clon IMAGE ID: 258695)

# 5 AI700363 (Clon IMAGE ID: 2327403)

AL117406

CAATAGGCCGGCTTTTGAACTGCTTCGCAGGGGACTTGGAACAGCTGGACCAGCTCTTGC CCATCTTTCAGAGCAGTTCCTGGTCCTGTCCTTAATGGTGATCGCCGTCCTGTTGATTG TCAGTGTGTCTCCATATATCCTGTTAATGGGAGCCATAATCATGGTTATTTGCTTCA tttattatatgatgttcaagaaggccatcggtgtgttcaagagactggagaactatagcc ACCTGCTGTTGTTTCTATCTTCCACACGATGGCATTGAGGCTGGAGATCATGACCA ACCTTGTGACCTTGGCTGTTGCCCTGTTCGTGGCTTTTGGCATTTCCTCCACCCCCTACT CCTTTAAAGTCATGGCTGTCAACATCGTGCTGCAGCTGCCGCCTCCAGCTTCCAGGCCACTG CCCGGATTGGCTTGGAGACAGAGGCACAGTTCACGGCTGTAGAGAGGATACTGCAGTACA TGAAGATGTGTCTCGGAAGCTCCTTTACACATGGAAGGCACAAGTTGTCCCCAGGGGT GGCCACAGCATGGGGAAATCATATTTCAGGATTATCACATGAAATACAGAGACAACACAC CCACCGTGCTTCACGGCATCAACCTGACCATCCGCGGCCACGAAGTGGTGGGCATCGTGG GAAGGACGGCTCTGTAGGTTTTTACTGAGCACCTACTATGTGCCTGGGAACCGAAAGGG AAGTCCTCCTTGGGCATGGCTCTCTTCCGCCTGGTGGAGCCCATGGCAGGCCGGATTCTC ATTGACGCCTGGACATTTGCAGCATCGCCTGGAGGACTTGCGGTCCAAGCTCTCAGTG ATCCCTCAAGATCCAGTGCTGCTCTCAGGAACCATCAGATTCAACCTAGATCCCTTTGAC CGTCACACTGACCAGCAGATCTGGGATGCCTTGGAGAGGCCATTCCTGACCAAGGCCATC TCAAAGTTCCCCAAAAAGCTGCATACAGATGTGGTGGAAAACGGTGGAAACTTCTCTGTG GGGGAGAGCCACCTCTCCATTGCCAGGCCTGTGCTTCGCAACTCCAAGATCATCCTT CGTGAAGCCTTCCAGGGCTGCACCGTGCTCGTCATTGCCCACCGTGTCACCACTGTGCTG **AACTGTGACCACATCCTGGTTATGGGCAATGGGAAGGTGGTAGAATTTGATCGGCCGGAG** GTACTGCGGAAGAAGCCTGGGTCATTGTTCGCAGCCCTCATGGCCACAGCCACTTCTTCA CTGAGATAAGGAGATGTGGAGACTTCATGGAGGCTGGCAGCTGAGCTCAGAGGTTCACAC AGGTGCAGCTTCGAGGCCCACAGTCTGCGACCTTCTTGTTTGGAGATGAGAACTTCTCCT ACTTGATGGCTCTCAAGACCTTAGAACCCCAGAACCATCTAAGACATGGGATTCAGTGAT CATGTGGTTCTCCTTTTAACTTACATGCTGAATAATTTTATAATAAGGTAAAAGCTTATA GTTTTCTGATCTGTGTAGAAGTGTTGCAAATGCTGTACTGACTTTGTAAAATATAAAAC TAAGGAAAACTCAAAAAAAAAAA

# M92432

CCCACAGGGGGACCGGCCTGTGACCCCTCACCGGGGCCGTGGGCCCGAGCCCCGGACTT CCCTAAGCCGCCAATGACCGCCTGCGCCCGAGCGGGTGGGCTTCCGGACCCCGGGCT CTGCGGTCCCGCGTGGGGCTCCGTCCCTGCCCCGGGCCCTGCCCCGGCT CCCGCTCCTGCTCCTGCTTCTGCTGCAGCCCCCGCCCTCTCCGCCGTGTTCACGGT GGGGGTCCTGGGCCCCTGGGCTTGCGACCCCATCTTCTCTCGGGCTCGCCCGGACCTGGC CGCCCGCCTGGCCGCCCGCCTGAACCGCGACCCCGGCCTGGCAGGCGGTCCCCGCTT CGAGGTAGCGCTGCCCGAGCCTTGCCGGACGCCGGGCTCGCTGGGGGCCGTGTCCTC CGCGCTGGCCCGCGTGTCGGGCCTCGTGGGTCCGGTGAACCCTGCGGCCTGCCGGCCAGC CGAGCTGCTCGCCGAAGAAGCCGGGATCGCGCTGGTGCCCTGGGGCTGCCCCTGGACGCA GGCGGAGGCACCACGCCCCTGCCGTGACCCCCGCCGCGGATGCCCTCTACGCCCTGCT GGCGGGACGCTCACTGTCCACGGCACTCAGGGCCCGGGGGCTGCCTGTCGCCTCCGTGAC TTCCATGGAGCCCTTGGACCTGTCTGGAGCCCGGGAGGCCCTGAGGAAGGTTCGGGACGG GCCCAGGGTCACAGCAGTGATCATGGTGATGCACTCGGTGCTGGGTGGCGAGGAGCA GCGCTACCTCCTGGAGGCCGCAGAGGAGCTGGCCTGACCGATGGCTCCCTGGTCTTCCT GCCCTTCGACACGATCCACTACGCCTTGTCCCCAGGCCCGGAGGCCTTGGCCGCACTCGC CAACAGCTCCCAGCTTCGCAGGGCCCACGATGCCGTGCTCACCCTCACGCGCCCACTGTCC

CTCTGAAGGCAGCGTGCTGGACAGCCTGCGCAGGGCTCAAGAGCGCCGCGAGCTGCCCTC TGACCTCAATCTGCAGCAGGTCTCCCCACTCTTTGGCACCATCTATGACGCGGTCTTCTT GCTGGCAAGGGGCGTGGCAGAAGCGCGGGGCTGCCGCAGGTGGCAGATGGGTGTCCGGAGC AGCTGTGGCCCGCCACATCCGGGATGCGCAGGTCCCTGGCTTCTGCGGGGACCTAGGAGG AGACGAGGAGCCCCCATTCGTGCTGCTAGACACGGACGCGGGGGGAGACCGGCTTTTTGC CACATACATGCTGGATCCTGCCCGGGGCTCCTTCCTCTCCGCCGGTACCCGGATGCACTT CCCGCGTGGGGGATCAGCACCCGGACCTGACCCCTCGTGCTGGTTCGATCCAAACAACAT CTGCGGTGGAGGACTGGAGCCGGGCCTCGTCTTTCTTGGCTTCCTCCTGGTGGTTGGGAT GGGGCTGGCTGGGCCCTTCCTGGCCCATTATGTGAGGCACCGGCTACTTCACATGCAAAT TGGGGGCACCTCTCGAAAGGTGGCCCAGGGGAGTCGATCAAGTCTGGGTGCCCGCAGCAT GTCAGACATTCGCAGCGCCCCAGCCAACACTTGGACAGCCCCAACATTGGTGTCTATGA GGGAGACAGGGTTTGGCTGAAGAAATTCCCAGGGGATCAGCACATAGCTATCCGCCCAGC AACCAAGACGGCCTTCTCCAAGCTCCAGGAGCTCCGGCATGAGAACGTGGCCCTCTACCT GGGGCTTTTCCTGGCTCGGGGAGCAGAAGGCCCTGCGGCCCTCTGGGAGGGCAACCTGGC TGTGGTCTCAGAGCACTGCACGGGGGCTCTCTTCAGGACCTCCTCGCTCAGAGAGAAAT AAAGCTGGACTGCATGTTCAAGTCCTCCTCCTGCTGGACCTTATCAAGGGAATAAGGTA TCTGCACCATCGAGGCGTGGCTCATGGGCGGCTGAAGTCACGGAACTGCATAGTGGATGG CAGATTCGTACTCAAGATCACTGACCACGGCCACGGGAGACTGCTGGAAGCACAGAAGGT GCTACCGGAGCCTCCCAGAGCGGAGGACCAGCTGTGGACAGCCCCGGAGCTGCTTAGGGA CCCAGCCCTGGAGCGCCGGGGAACGCTGGCCGGCGACGTCTTTAGCTTGGCCATCATCAT GCAAGAAGTAGTGTGCCGCAGTGCCCCTTATGCCATGCTGGAGCTCACTCCCGAGGAAGT GGTGCAGAGGGTGCGGAGCCCCCCTCCACTGTGTCGGCCCTTGGTGTCCATGGACCAGGC ACCTGTCGAGTGTATCCTCCTGATGAAGCAGTGCTGGGCAGAGCAGCCGGAACTTCGGCC CTCCATGGACCACACCTTCGACCTGTTCAAGAACATCAACAAGGGCCGGAAGACGAACAT CATTGACTCGATGCTTCGGATGCTGGAGCAGTACTCTAGTAACCTGGAGGATCTGATCCG GCTGCCTCCGTCTGTGGCTGAGGCCTTGAAGACGGGGACACCAGTGGAGCCCGAGTACTT TGAGCAAGTGACACTGTACTTTAGTGACATTGTGGGCTTCACCACCATCTCTGCCATGAG TGAGCCCATTGAGGTTGTGGACCTGCTCAACGATCTCTACACACTCTTTGATGCCATCAT TGGTTCCCACGATGTCTACAAGGTGGAGACAATAGGGGACGCCTATATGGTGGCCTCGGG GCTGCCCCAGCGGAATGGGCAGCGACACGCGGCAGAGATCGCCAACATGTCACTGGACAT CCTCAGTGCCGTGGGCACTTTCCGCATGCGCCATATGCCTGAGGTTCCCGTGCGCATCCG CATAGGCCTGCACTCGGGTCCATGCGTGGCAGGCGTGGTGGGCCCTCACCATGCCGCGGTA CTGCCTGTTTGGGGACACGGTCAACACCGCCTCGCGCATGGAGTCCACCGGGCTGCCTTA CCGCATCCACGTGAACTTGAGCACTGTGGGGGATTCTCCGTGCTCTGGACTCGGGCTACCA GGTGGAGCTGCGAGGCCGCACGGAGCTGAAGGGCAAGGGCGCCGAGGACACTTTCTGGCT AGTGGGCAGACGCGCTTCAACAAGCCCATCCCCAAACCGCCTGACCTGCAACCGGGGTC CAGCAACCACGGCATCAGCCTGCAGGAGATCCCACCCGAGCGCGACGGAAGCTGGAGAA GGCGCGCCGGCCAGTTCTCTTGAGAAGTGAGGCCCGGCCCGGACAGGGTCTGGGCCC TGCTCCCTGTCCCATCTGCAGTGGACCCCAGGCACCCCCTTTGAGGAGGTGGGGTGAAC TGCTCCTTGGCAGGGATTTGTGACACTGCATTGCTGGGCTGTGTTCCTCGGGCTCTTCTG GAAATAAAGGCATACTGTCTT

# AL050227

CTTTCACAGAAAGAAAGTAACAGGCATAATTCCTGTTGATGAGGCTGGGATTGTTTTTAA GAGGAGAGATAATAACTTCATATTTTTAAAGTGCCAGTAGCCTAATATGTGAAACAGATC AGAATCTGTTGTGTAGTAAGTCTGCTTTGTTGAAGAATTTATTATGGGAGTAAAGATAAG AAGGAAAGAGATCACCATCAGAAACAAGTCAGCCTTTTCATGCTTTTTTTGAGCATTTTTG GAGATGATTCCACTTCTCAAGTTATTATCATTTGTGCATCTCTTCAATGCTATTGTTAAA TGCTTTAGAATTAGAATATTTTGATCCTTTAATTAAAGTAAGCCAAACGTCTAGGCAAAA

ACAGCCAATCATTAAACTTTAATAGTAATTCAAATATAGATTTCTCATACAGTTTTCCAT GTCTGTAGAAATCAAAGTTGTAATGTTAAGCAGAGGGAAATGCGTGTGATTTACTAATAC GATATGATGGAAAACCTGTCCATTTTCTACCTGTTAACCTTCATCATTTTGTGCAGGCCC TGGAAGCAAAGAGAGGAACGGACCGACTTTATCTTTGAACACTTGAGCATCAGTAG TACTACTGAGTGGCCAGGGGTCTTGTCTGTCAAAGCAAATGATAAGTTCACTCAGGCCAT TATTGACTGCTGAACTCTTCCTTCCCAACTCTTCCTTGAAAGAGAAAAAAATACTTTG CCTTCTTGCTCTCCTTATCAAATGTTTTTGTACAAATAGTGTAAGCCTGTTTAAGCAAAC TACATGGTGTGCCTAGGAGGAGCTGAAATCATTGGCACTTTAATCCATATTGTAAAGATC TTAAATGGAAAAGTCTCTTTTATCACCTCTATGTAAAGTTTTATGGGTAGTTATCGTCAG TGTATTTAAATATATCTTCTAGTATGTTTTAAAGGCTGGTCTTCAATACTGTGGAGACAA **AAAATAAAAGAGCGTATGAAAAGTACGTTAGACTTTTGCTGGCATTCAAGTCATGGCTAG** TCTGTGTATTTAATAAATGTGTGTTATTTATGTCGTGTTTTGTCAATGGAAAATAAAGTTG AATATTCTGAAAAAAAAAAAAAAA

# AW613732 (Clon IMAGE ID: 2953502)

# 5 BC007783 (Clon IMAGE ID: 4308472)

X81896

 CTCCTTATTTGTAGCAATCGTAGCAACTAATTCCACTAAGTACAAGGGAGTTTTTTACAC TCCTCCATTTTATAGCATCTGCATTTTTTTTTTTTTTGTTAGGTACATGTATACACCTGCC GCCACAGAACAGCAACATTTGTCTGACAGTAGTATAAAGAATAATGATAGCTCTATCCTT AAGAAGTATTTCCTTTCCTTTTTATATAGTCCCGTTAGGGTTTAAAACCATATTGATCAA CTAGAAAGAAAATATGAAAAGAGAAAAATATTTTAATTTAAAAATTGTAATACATTGAT TGTCTGAAATGTTTATTTTGCAAAACAGTGCAATAGAATCTAGTTATGCCTTCATCACTG TTGACAGTAAATACTGACAGCCCCTTGCAGTGTGTTAGTTTTAGATCACTCTGTTTTAGT TGAGAGAAATGTTTTATATCATGGTTTTTATATGAATACAAATTATTTCTCAAAGATTTA TAGCACACACTATTCTCAGGAATTCTGTATTACATGAATGCTGCTTATATATTTTCATAT GTTGTTCCAAGCTGAAGAGCTTTCACTGTACAATGTGTGGAAAATCACCATAGATCATGG CTGAAATAGTTTGTAATTGTCTGAGTCTGCACGTACTTTTAGATAAAATGCTGCTGAG TGACTGCATGATGAGATACAACTTCTGAATGCTGCACATTCTTCCAAAATGATCCTTAGC ACAATCTATTGTATGATGGAATGAATAGAAAACTTTTTCACTCAATAAATTATTATTTGA TATGGTAAAAAAAAAA

BC004960 (Clon IMAGE ID: 3632495)

CCCAAGGTTGTTATATCTTCATGTCCTCATTTCTTAGGGAGGTACCTTCAGAACCAATAG TGACCCCTAACTTCTCTGGTGGTCGGTTCCATGAAAGGCAAAGGAGTGTGAGAGAGGAGT ATTTAGTGAAAGTCTGTGGGGGCAGTCACAAGATGTCTGAGAAAACTGGCGAGCCAGCTG CTGAAAACAGGGACAAGGAAGCCTCCGTGGCTGGAGCCCAAATCACACTGCAGACCCAGA CACCGTGACCACCATGGACTCCAGAGAGAGCAGCTTATAGTACTCAATCAGCTGCCA CTACCACCATCCAGAACACCAGATGTTGTAGCCATGGCTGCAGCAGGAATGGATGTCCCA CTGTCCCTGCTCCGCTGTGACTTGCTCCCAAGTTCAGGGCAGGTCCATCTGATTGGCT AGCTTCTGTCGTGGGAGGTGGGCTCTGCCTCCTACCAAGAATCAAAGGGTGGAGGATCTT CAAACACAGAAAAGAACCCGGATCCTGGCACCCCCAAATTTTCAGAGTCCATTTCAGAG CATAAGAAATTGAGGGTCCAAGATCATTCATGTAAGAAGTTTAGAGGGGGAAGAAAAGAA TGATAAACGAAAAGAACAGCAATAGTAAAGGATCTTTTCTTTGTTTCAGTAAGATGAAGA GGCCTGAGCAGTTTCGTGGAGGGGAAGAAACAGGAAAACCTCTTCAAAAGACAAAAAGCT GGCACTGCATTCTCTCTGTAGCAGGACAGAACTGTCTAAAGACAAGACCCCTTTGGCC AAAAAAAAAAAAAAAAAAAAAAAAAACCTCGGG

# AK027250

AAATTTAATTAATTATAAACTCAGTCTCTTGGTTGCACCAGCCACATTTCAGATGCTCAA
TAGCCACATGTGGCTAGTGGGTACCATATTGGACAGGGCAGCTATAGAATATTTCCATCA
TTGCAGAAAGTTCTATTGGATAGTACCATAATCTTTTATAGTAACTTGGAAATACTATT
TGATATTAGATGTTAGACCACAAAAAGAAGAAAAATGTTAGGACTATTTCAGATATAAAA
AGGAACTGAATTGTGACATAATTAGCATCTTACATTCCATACAGTTGAATACCTTATGCT
GTGACAACCATAGTTAATCATTTCAGTGCTGTTCAACATACCTATCAGCAGTGTGT
TTAGACCAGGGGTCTGCAAACTTTCTGTGAATGGACAAAGAGTAAATACTTTAGTAAATG
TCTTAGGCTTTGTGGCCTACATGATCTTTGTTGCAAGTACTCAACTCTGCCATTATAGAG
TTAAAGCAGCCATACACAATATATAAACAAAATGGGCATAGTTGTATTTCAGTAAAACTT
TATTTACAAAGACAGGCGGTAGGCCAGATTTGGCTTGCATGTAGAGCTGTGGTCTAA
ATTTTATTCATAGACTTTCTTTGCAAATACAGTGTGAGATTTTTACTGAAAATACAA
GAATTTCGTACTGCATTTGCATCTCCGAGATTAGGGGAGCACCTGTCAGGATATGTTCTTC

TATCAGGGTTACTTCTGTTGACTACCTCTTAGATTTTGATACAGTTATATTGTTGAGGTTT CATTTTCATATATTCTTGTAGTGTCTGCTTGCCTGTGACTTCTGGTAAAATAAAATAAGC CTTTGAAAATATTTTAGCATGGTATTTAACATTTTCTAAATATTATGGCATTTTGACATA TTTTAGTCAGCGAAGACATCTGCCCCTTTGGTGTTTCTACTTGCTTATGATTGAGATTTT ACAGCCCTTCAAACTCCGTTTTAAAGGAATTTATTGTAAAACATTAACTTTAATAAATT AGTGTTTTCACAGATCAGATCATTATACTTGGAACTTCTAAATCATGCAATTTCTGAATA AGGACATAAGGCTAGATTCATTTTCTTAATAGAGAAAAAGGAAATTTCTGATTTATCAC TTTTCTAGTTGATAAGTAGGATTCAAAACGTTTGATATGTAAGTATTTATATAAGACTAA TGTAATTTAAAGTTCTGTATTATTGTGATTAATCATACAGAAATTCAGGAACTGATCAGA CATTATAAACATTTCATCTTGAACCATGATTTATACACATCTGTGTTATAAGGGAGGCTT GAGTACATATACCAATGAAGAGATATTCAGCATTTGTCTATTTGATAAGGAATTAAATGT CCTAGTGATTATAAAGTAAAACCACAGACCAATTTGCAAATGATCTTCAATGTTAAGCAC TTGCTCTAAGATTAAAATTCCTTTTCTTTTTAAGGTTAAGGGTGTGTACGTATGGCAGTG ATGTCTATGTTGAGATTAACTTATGTATTGAGGAAAATTTGAAGTTTATTTTTTCGATGA ATAAGGCTGTCAAATGATTTAGTATAGATTAATGACATCTTTTTTAGAAATATTAAAGTG AGTATTCCTCATTATGTCATCATTTCTGATAATTAGAGTGCTAATTTGAATGTTAGATAA TGTTTCCACATCTATACCTATTTCTTTCTAGGGCACTTCTGACCCTGGGGGCTTGGGGATG GCCTTTAGGCCACAGTAGTGTCTGTGTTAAGTTCACTAAATGTGTATTTAATGAGAAACA TTCCTATGTAAAAATGTGTGTATGTGAACGTATGCATACATTTTTATTGTGCACCTGTAC ATTGTGAAGAAGTAGTTTGGAAATTTGTAAAGCACAAACCATAAAAGAGTGTGGAGTTAT TAAATGATGTAGCACAAATGTAATGTTTAGCTTATAAAAGGTCCTTTCTATTTTCTATGG 

Secuencias de la Tabla 5 no descritas anteriormente

NM 014298

GTCTGAGCAGCCAACACACCAGCCCAGACAGCTGCAAGTCACCATGGACGCTGAAGGCC TGGCGCTGCTGCCGCCCGTCACCCTGGCAGCCCTGGTGGACAGCTGGCTCCGAGAGG ACTGCCCAGGGCTCAACTACGCAGCCTTGGTCAGCGGGGCAGGCCCCTCGCAGGCGCGC TGTGGGCCAAATCCCCTGGGGTACTGGCAGGGCAGCCTTTCTTCGATGCCATATTTACCC AACTCAACTGCCAAGTCTCCTGGTTCCTCCCGAGGGATCGAAGCTGGTGCCGGTGGCCA GAGTGGCCGAGGTCCGGGGCCCTGCCCACTGCCTGCTGCTGGGGGGAACGGGTGGCCCTCA ACACGCTGCCCGCTGCAGTGCCATTGCCAGTGCTGCCGCCGCTGCAGTGGAGGCCGCCA GGGGGCCGGCTGGACTGGCACGTGGCAGGCACGAGGAAGACCACGCCAGGCTTCCGGC TGGTGGAGAAGTATGGGCTCCTGGTGGGCGGGCCGCCTCGCACCGCTACGACCTGGGAG GGCTGGTGATGTTGAAGGATAACCATGTGGTGCCCCCCGGTGGCGTGGAGAAGGCGGTGC GGGCGGCCAGACAGGCGGCTGACTTCGCTCTGAAGGTGGAAGTGGAATGCAGCAGCCTGC AGGAGGTCGTCCAGGCAGCTGAGGCTGGCCGACCTTGTCCTGCTGGACAACTTCAAGC CAGAGGAGCTGCACCCCACGGCCACCGCGCTGAAGGCCCAGTTCCCGAGTGTGGCTGTGG **AAGCCAGTGGGGGCATCACCCTGGACAACCTCCCCCAGTTCTGCGGGCCGCACATAGACG** TCATCTCCATGGGGATGCTGACCCAGGCGGTCCCAGCCCTTGATTTCTCCCTCAAGCTGT TTGCCAAAGAGGTGGCTCCAGTGCCCAAAATCCACTAGTCCTAAACCGGAAGAGGATGAC ACCGGCCATGGGTTAACGTGGCTCCTCAGGACCCTCTGGGTCACACATCTTTAGGGTCAG TGAACAATGGGGCACATTTGGCACTAGCTTGAGCCCAACTCTGGCTCTGCCACCTGCTGC TCCTGTGACCTGTCAGGGCTGACTTCACCTCTGCTCATCTCAGTTTCCTAATCTGTAAAA 

AF033199

CGGGGCATGCTGCCTTCACCTTCACCATGATTGTAAGTTTCCTGAGGCCTCCCCA GGTGTGCTTCTGTACAGCCTGTGGAATGTTACCAAAGACGTTGGAAGAGGTGGCTATGGG ACATCACCTGGGAGAAGTGGAAGCAAATGGACACTGTTCAGAAGTCCATATACAGAAACA TACTTGGAAAAATATAGAAACCTGGTTTTGCTAGATGGGAAGCTTGCAGCTGGGGCCAAG ACATCAAGAGTAGAGCAGCAGGACATTTCAAAAGAAGATTAACTCAAAGATTAGAGATGG AAGAACTTGCAAAGAGAAGTCTGTACCGGAAGAAATCTGGAAATCTAGAGGCCAGTTTA AGAATCAGCAGCTAAACAAGGAGAATAATCTAGGGCAAGAGATAGCTACCTGCACAAAAA TTCCTACCAGAAAAAGAGACATAGAATCTAATGAATTTGTGAAAAATTTTACTGTAAGAT CAATACTTGTTGCAGAACAGATAGATCCTATGGAAGAGAATTGTCATAAATATGGTACAT AAAAAACCTTGTAAATATAGTGAATGTGGGAGAACCTTCAGAGGCCACATCACTCTTGTT CAGCATCAAATAACTCATTGTGGAGAGAGACCCTGTAAATGTACTGAGTGTAGAAAGGGA TTTAATCAGAGTTCCCACTTAAGAAATAATCAGAGAAAAACTCTTTCAGGAGAAAAGCCC TACAAATGCAGTGAGTGTGGGAAGGCCTTCAGTTATTGCTTAGTTCTTAATCAACACCAG TCGTACATACCTTACTCAGCATCAAAGAATTCACACACTGGTGAGAAGCCCTATACATGT CTTGAATGTGGAAGGCTTTTTAGTCAGAACACACATCTTACTCTACATCAGAGAATCCAT ACTGGAGAGAAACCTTATGAATGCAATGAATGTGGTAGGTCCTTTAGTCAGACTGCACAT AAAGCCTTCCATGATCACTCAGCTCTTATTCAACATCATATTGTCCATACTGCAGAGAAA CCCTATGATATCATGACTGGGAAAACTTTCAGTTACTGTTCAGACCTCATTCAACATCAG TGTTCATCCCTTATTCAGCATCAAAGAACTCACACTGGAGAAGAGCCTTATGAATGTAAG CAATGTGGAAAAGCCTTTAGCAGAAGCACATACCTTACTCAACATCAGAGAAGTCACGCA GGAGAGAAACAGTATAAATGCAATGAATGTGAGAAAACTTTCAGCCTGAGTTCATTCCTT ACACAGCATATGAGGGTTCAGACTGGAGAAAAACCCTACAAATATAATGAATATGGAAAA TGTAATGACTGTGGGAAACCTTTCAGTTTCTGTTCAGCCCTAATTCAACATAAGAGAATT GCCTTCAGTGATTGGTTAGCACTTGTTCAACATCAGATAACTCAACACTGGAGAAAAACC GTATAAATGTACTGAATGTGGAAAAGCCTTCAGTTGGAGTACAGACCTCAAAAATCACCA CTGCTCTGGTCTTATTCAATGTCAGGTCATTCATACTATAGAAAAACCTTATGAATACGG TAAATGTGGCAAAGCCTTTAGGCAGAGGACAGACCTTAAAAAACATCAGAAAATGCATAC CGAAGAGAAACCCTATGAATGTAATGAATGTGGGAAAGCCTTTAGCCAGAGCACATATCT AACCATTAGACAAAACTCTTCTTTTTACAACAATAAAACCTCACACTGGAGAGTTCTCTG AATGCCTTAAGAATTTGGTTAATATGGAGACCCTTCCCAGGGAAACAGAAGGAGGATCGT GAAAACCGTTGACTACTTGAATGATCACATGGTTTAGTGGAGAGAGCATGATTCTGGGTT AAGTCACTTCATATCTTTAGGCCTTAATTTCCTCATCTGAAAACTGGAAGGCCTGACTTG ACTTGTTGAGCTTAAGATCCTCAATTATTATATTTACTAGGAATTCAAGTTTCTATAGAT GTGGTTCAGAATTGTGACTTATTTATTGTACATCAGGTGTGATTCACAAGTGAGCTTGTA 

Al688494 (Clon IMAGE ID: 2330499)

AL157459

GACAGTGGCAGGCAGCTGGAGTAGAGCGAGCCCAGCAGCCCTAAAAGGCTGCCTTCATGG GGTGGTCCCACAGCTGGGTTCCACCTGAAGAGCCTCCGTGCCTCGGAGCAGGAGAGGCAG GCTATGGCTGTCACCCTCCTGCCTGTGTCCCAGTGAGAACTGACCTGAGTCCCCTT CCAAACCCAGACCCACCTCCTGCCCCAGGCCCACTGAAGCATGTTCCATTTCTAAAAAGC CCAGAGTTCAGTGTCCCCAAGGAAAACCCAAAGTGGAGGTGCTCAGGTCCAGGGGAGTC TAGTAAAGGACTGGCTTCATTCTAATTATGGCCCACAGACTGCCCCGGAGACCTGGAGGA CAGCAGTGCTGGCACTTGGGTGTCCATGGGCCCGTCTGCCGGCTCTGCCTGTGCTGCAAG TGTTGGCCGTGGGTCCAGCCAACACTCCCTACGTCCTGTGTGGGGCCCTGCCCAAGTGG ATGAGGCATTCCTTGAGGAGTATCATTTTCCCTGACAATCCCCATCACCTTTAGGGGTTC CCTGCTTGGCTCCTTTCCAGCTGAAAAACTAGACCTGTGCCATTGGGGAAGCTGGACAAA GTCTAGGGGGCCCGCCTGGTAGAGGGTCCCGGGAAGCTGGATCTGTCAGCCTCGGCCCTG TGTATGGCTTCTGACCAGTATCAGGATTTCTGTTCTGAGAGCAGCGTGGGCAGCAAGGCA GGGCAGCCCAGAGGTGGCAGCGGCAGCCAATCTGGTCACTAGGTCTTTGTGATGCCAAAA CATGGGGCTACATTCCAGTGCCTGACTATAGGGAGGCACTCCTGATTCCATGGAGCAGCC CGGACTTTGAGAATGGGCTCTGGTTTGCGGGGGGCAGGCGTACCAGACTGCAAGACCCCC CAGTACCTCACCGTGCCAAATAGGAAGAGGTGGCCTTGGTGTAGCCAAATGGATCTTTTT CAGCTGGGGCCAGCCCACAGTGGCCATATTGGCTGCAGCAGGAATGGTGCCCACCTCGG CGAATTGAAGGGCTAAGAGTCCCAGATAGCTAGGCCAGAGCTGGAAGCAGACAGTAAGGG GAAGAGCTGCTCCCACAGGAGAGGGAGAGATTCCAGCTCACTGCGCAGCCTGGGAGGAGG CGTGGATCCTGGCACGCTGAGCCTCAGGCACCAGCCTCCCTGTGCTCGACAGCAAAGTCT TGACTCCTTCCTGCTGAGCACTGTGCTACCTTCACTGCTCCAAAGCCAGACTAACAGCTC CTGTCTGCCTGGGCAGGCCAGATTCCTCCCCAGCAGCCGGGTCTCTCCAGACCCTGATTC GGTGCCTTTCTGTTTACCAGCTACTTCAATCCCAAAGTTTGAATCTGCAGATACCTTACT CCCAGCCACTTTGCCTTCTTACTGTGTTGTGTTTTTCCTGGTGCTTCAAGAGCGTGTG CAGGGCAAGTGCCGTCACTGGGAACTGCACCAGATGCTCAGACTTGGTTGTCTTATGTTT TGTTTGTGTAGCTAGGTATCTGGCACTTCTGACGATGCATTGTTGCTTTTTTTCCCGAAGG TCCCGCAGGAACTGTGCCAATGGTGTGTGTGTAAATGGTGTGTTAACCGCGTTTTGTTT GCTCCTGTATTGAATAGGAAGCAGTGGCCAGTCTGTCTTCCTTAGAGATGTTAGCATATT TTTATATGTATATTTTGTACCAAAAAAGAGTGTTCCTTGTTTTGGTTACACTCGAAAT TCTGACCTAGCTGGAGAGGGCTCTGGGCCGAGAGCTTTCACTAAGGGGAGACTTCAGGGG 

BC002480 (Clon IMAGE ID: 3350037)

GGCACGAGGCTGAGACCGGTGCGCCGCGCGCTAGTGGCCGCTCTTCCGCGGGCTAGCGGG CGGTGGGGGCGCCAGCAGCGCGGAAGGCGGGCACGCGGGCCATGGCTCCCTGGGCGGAGG CCGAGCACTCGGCGCTGAACCCGCTGCGCGCGGTGTGGCTCACGCTGACCGCCGCCTTCC TGCTGACCCTACTGCTGCAGCTCCTGCCGCCCGGCCTGCTCCCGGGCTGCGCGATCTTCC AGGACCTGATCCGCTATGGGAAAACCAAGTGTGGGGAGCCGTCGCGCCCCGCCTGCC GAGCCTTTGATGTCCCCAAGAGATATTTTTCCCACTTTTATATCATCTCAGTGCTGTGGA ATGGCTTCCTGCTTTGGTGCCTTACTCAATCTCTGTTCCTGGGAGCACCTTTTCCAAGCT TGTCTGCATTCTTAGTGCTAGTATTTCTGTGGCTGCACAGCTTACGAAGACTCTTCGAGT GCCTCTACGTCAGTGTCTTCTCCAATGTCATGATTCACGTCGTGCAGTACTGTTTTGGAC ATGCCTACATAACAGGGAAAAATCTATTGATGCAAGCACGGTGGTTCCATATTCTTGGGA TGATGATGTTCATCTGGTCATCTGCCCATCAGTATAAGTGCCATGTTATTCTCGGCAATC TCAGGAAAAATAAAGCAGGAGTGGTCATTCACTGTAACCACAGGATCCCATTTGGAGACT GGTTTGAATATGTTTCTTCCCCTAACTACTTAGCAGAGCTGATGATCTACGTTTCCATGG CCGTCACCTTTGGGTTCCACAACTTAACTTGGTGGCTAGTGGTGACAAATGTCTTCTTTA ATCAGGCCCTGTCTGCCTTTCTCAGCCACCAATTCTACAAAAGCAAATTTGTCTCTTACC CGAAGCATAGGAAAGCTTTCCTACCATTTTTGTTTTAAGTTAACCTCAGTCATGAAGAAT GCAAACCAGGTGATGGTTTCAATGCCTAAGGACAGTGAAGTCTGGAGCCCAAAGTACAGT TTCAGCAAAGCTGTTTGAAACTCTCCATTCCATTCTATACCCCACAAGTTTTCACTGAA 

## **REIVINDICACIONES**

- 1. Un método para determinar el riesgo de recurrencia de cáncer en un sujeto que padece cáncer de mama ER+ en caso de tratamiento con tamoxifeno, comprendiendo dicho método ensayar una muestra de células de cáncer de mama ER+, procedente de dicho sujeto, para la expresión de los ARNm de HOXB13 e IL17BR humanos para determinar una proporción de los niveles de expresión de HOXB13 e IL17BR, en el que dicha proporción indica la ausencia de recurrencia de cáncer en dicho sujeto en caso de tratamiento con tamoxifeno.
- 2. El método de la reivindicación 1, en el que dicha proporción indica la ausencia de recurrencia de cáncer por metástasis o un resultado de supervivencia.
- 3. El método de acuerdo con una cualquiera de las reivindicaciones 1 y 2, en el que dicha muestra de células de cáncer de mama se obtiene mediante una técnica mínimamente invasiva o se selecciona entre biopsia realizada con aguja gruesa, biopsia excisional, una muestra obtenida por lavado ductal, una muestra obtenida por aspiración con aguja fina o células microdiseccionadas procedentes de dicha muestra.
- 4. El método de una cualquiera de las reivindicaciones 1 a 3, en el que dicho ensayo para la expresión comprende la detección de ácidos nucleicos preparados por amplificación de ARNm procedente de dicha muestra de células de cáncer de mana o la detección de ácidos nucleicos de dicha muestra de células de cáncer de mama por PCR cuantitativa.
- 5. El método de una cualquiera de las reivindicaciones 1 a 3, en el que dicho ensayo se realiza por hibridación con un polinucleótido que comprende las secuencias de al menos 15 nucleótidos de la región 3' no traducida, de la región codificante, o de la región 5' no traducida, de los genes de HOXB13 e IL17BR humanos.
- 25 6. El método de una cualquiera de las reivindicaciones 1 a 3, en el que dicho ensayo para la expresión comprende ensayar la inactivación o metilación del gen de HOXB13.
- 7. El método de la reivindicación 4, en el que dicho ensayo es para determinar los niveles de expresión de HoxB 13 e IL17BR y comprende realizar PCR en tiempo real y determinar una proporción de los niveles de expresión de los 30 ARN de HoxB 13 e IL17BR, expresada como una ∆Ct de los valores de Ct observados para los niveles de expresión de los ARN de HoxB 13 e IL17BR.

15

10

20

Fig. 1

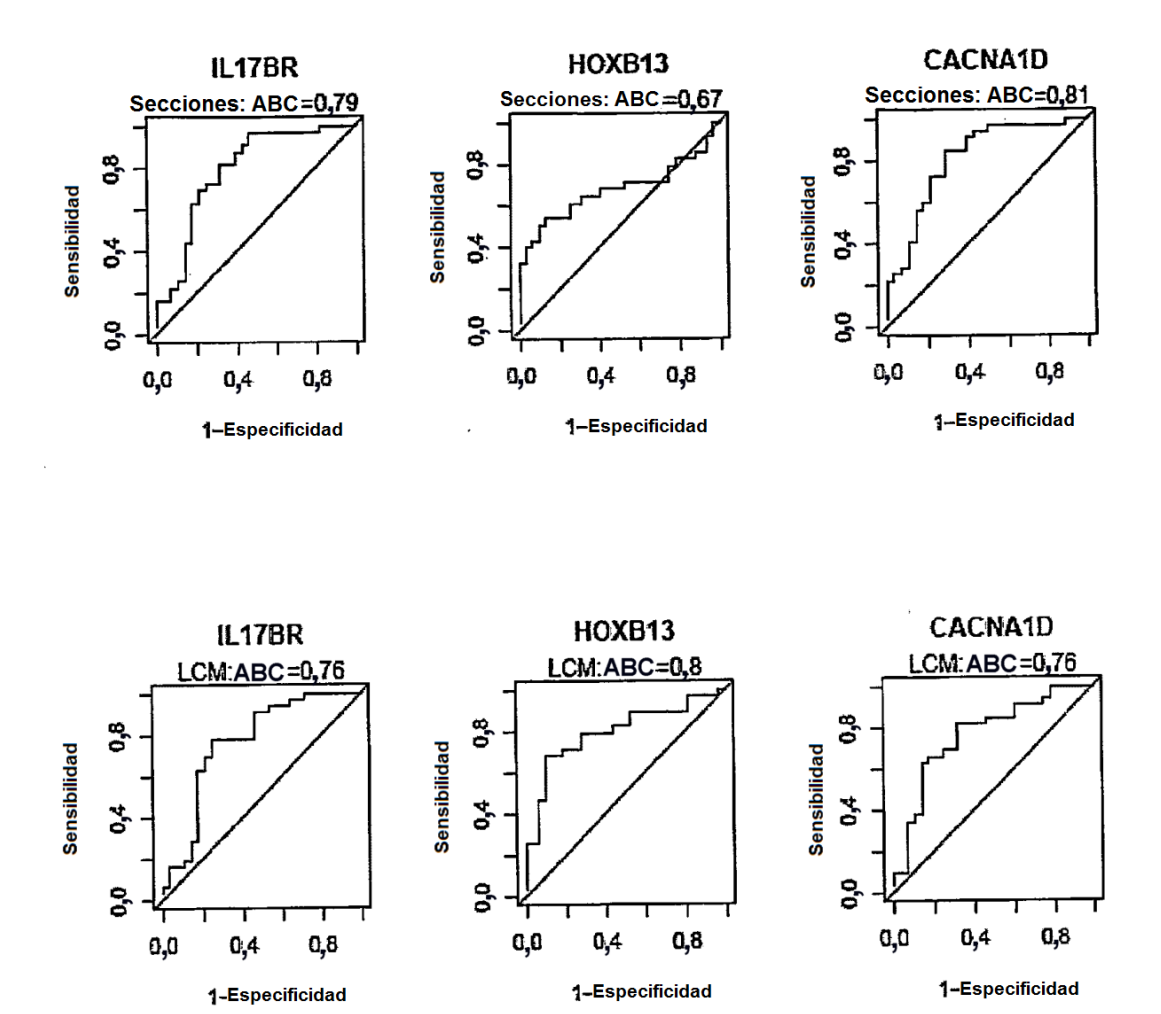
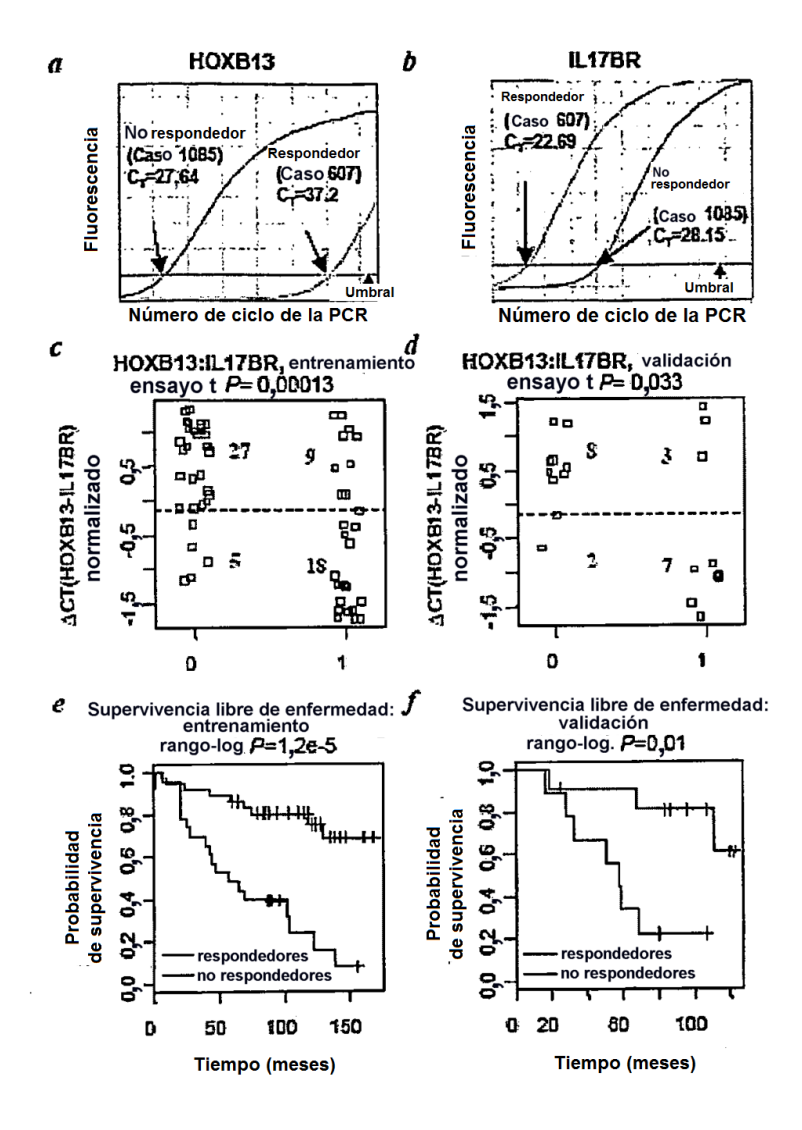


Fig. 2



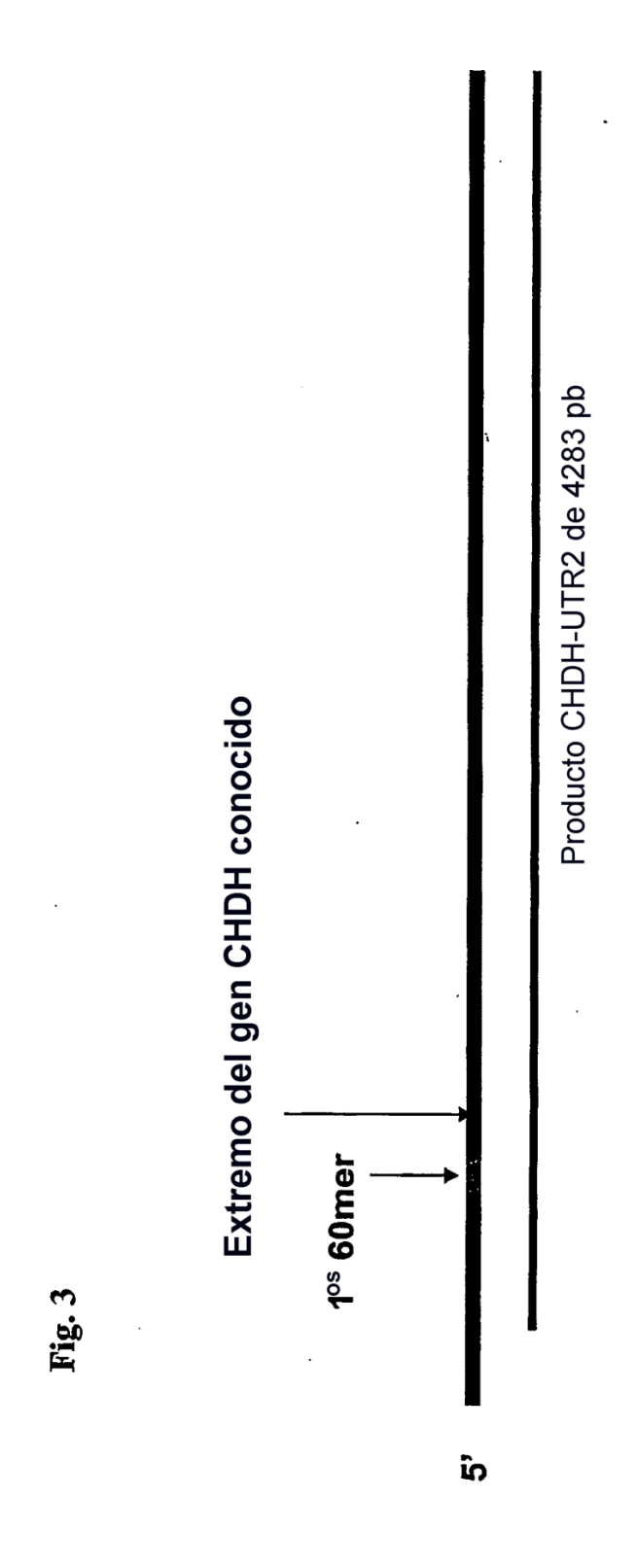
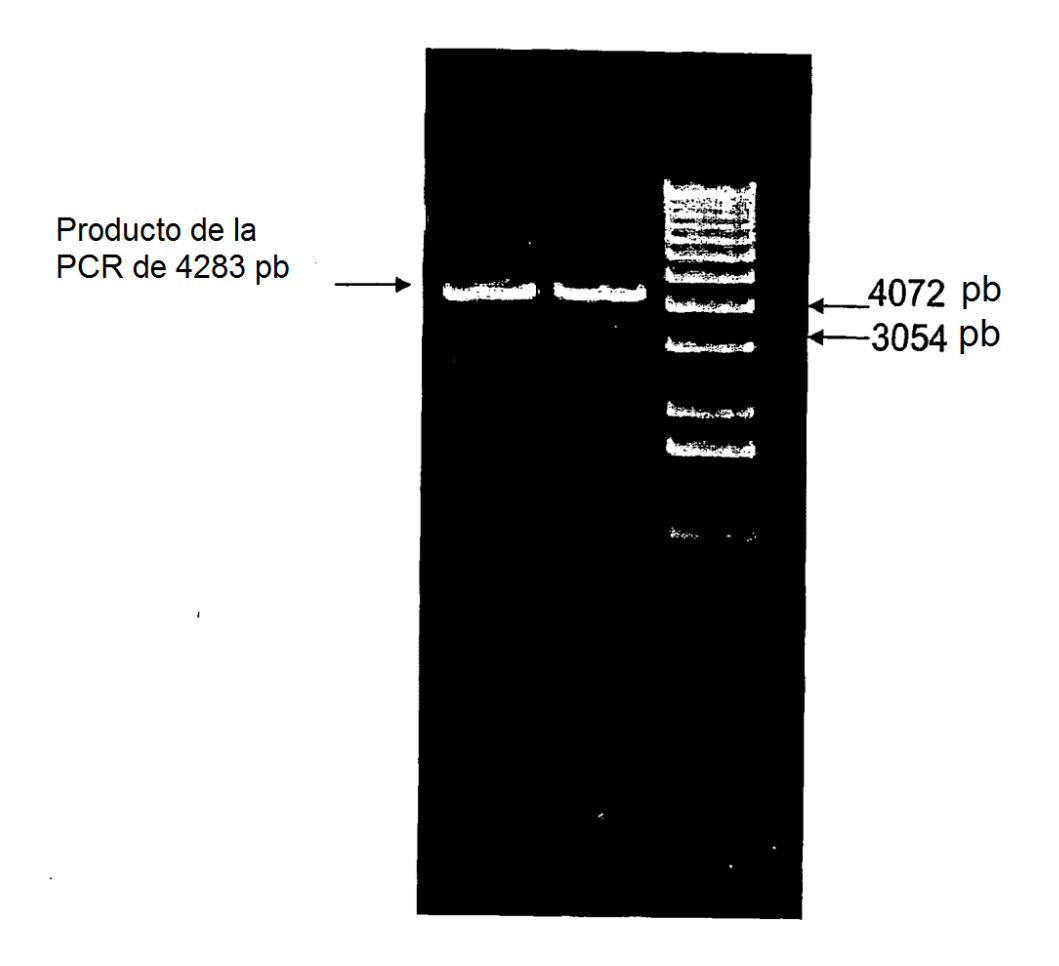


Fig. 4



# Fig. 5

gi   23274053   gb   BU608029.1   BU608029
s in
s in
s in
ni a
gi (23527150   gb   BU679327.1   BU679327+
gi 3405022 gb AI075844.1 AI075844- is in gi 23527150
s in
s in
s in
gi 3055333 gb AA915941.1 AA915941- is in gi 4610281
ig ni a
is ir
gi 4222874 gb AI393327.1 AI393327- is in gi 10033200
a in
s in
a in
s in
gi   1
ni s
s in
gi   4330088   gb   AI467998.1   AI467998- gi   3836330   gb   AI240933.1   AI240933-
רביבים או איז איז איז חיידים אם מידים דרבים דרבים במבום מיביבים. מביבים או איז איז איז היידים איז מינים בייבים במבום מבובים
consenso

. 1	AAACAAAAAACCATGCTCTACAAATTTTCTTACAAAAAAATTTAATATTTCGAT-GAGAGGTTGAACCAGGC TTTTTCTTACAAAGAAAATTTAATATTCGAT-GAGAGGTTGAACCAGGC TTTTTCTTACAAAGAAAATTTAATATTCGAT-GAGAGGTTGAACCAGGC CTTTTCTTACAAAGAAAATTTAATATTCGAT-GAGAGGTTGAACCAGGC TTTTTCTTACAAAGAAAATTTAATATTCGAT-GAGAGGTTGAACCAGGC TTTTTCTTACAAAGAAAATTTAATATTCGAT-GAGAGGTTGAACCAGGC  GGTTGAACCAGGC  GGTTGAACCAGGC  ACAAAGAAAAATTTAATATTCGAT-GAGAGGTTGAACCAGGC  ACAAAGAAAAATTTAATAATATTCGAT-GAGAGGTTGAACCAGGC  ACAAAGAAAAATTTAATAATATTCGAT-GAGAGGTTGAACCAGGC  ACAAAGAAAAATTTAATATTCGAT-GAGAGGTTGAACCAGGC
gi 4311745  gi 11451784  gi 4330088	
Posiciones	aaacaaaaaccatgctctacaacttcaaatttttcttacaaaaaatttaatattcgat-gagaggttgaaccaggc :

- CTTTGGAAAAGATCATCGCCT-CTATCAGAC-ACTTAGGGTCCTGGTCTGGC-AATTTTG - CTTTGGAAAAGATCATCGCCT-CTATCAGAC-ACTTAGGGTCCTGGTCTGGC-AATTTTG - CTTTGGAAAAGATCATCGCCT-CTATCAGAC-ACTTAGGGTCCTGGTCTGGC-AATTTTG - CTTTGGAAAAGATCATCGCCT-CTATCAGAC-ACTTAGGGTCCTGGTCTGGC-AATTTTG - CTTTGGAAAAGATCATCGCCT-CTATCAGAC-ACTTAGGGTCCTGGTCTGGC-AATTTTG - CTTTGGAAAAGATCATCGCCT-CTATCAGAC-ACTTAGGGTCCTGGTCTGGC-AATTTTG - CTTTGGAAAGATCATCGCCT-CTATCAGAC-ACTTAGGGTCCTGGTCTGGC-AATTTTG - CTTTGGAAAGATCATCGCCT-CTATCAGAC-ACTTAGGGTCCTGGTCTGGC-AATTTTG - CTTTGGAAAGATCATCGCCT-CTATCAGAC-ACTTAGGGTCCTGGTCTGGC-AATTTTG - CTTTGGAAAGATCATCGCCT-CTATCAGAC-ACTTAGGGTCCTGGTCTGGC-AATTTTG - CTTTGGAAAAGATCATCGCCT-CTATCAGAC-ACTTAGGGTCCTGGTCTGGC-AATTTTG - CTTTTGGAAAAGATCATCGCCT-CTATCAGAC-ACTTAGGGTCCTGGTCTGGC-AATTTTG - CTTTTGGAAAAGATCATCGCCT-CTATCAGAC-ACTTAGGGTCCTGGTCTTGGC-AATTTTG - CTTTTGGAAAAGATCATCGCCT-CTATCAGAC-ACTTAGGGTCCTGGTCTTGGC-AATTTTG - CTTTTGGAAAAGATCATCGCCT-CTATCAGAC-ACTTAGGGTCCTGGTCTTGGC-AATTTTG - CTTTTGGAAAAGATCATCGCCT-CTATCAGAC-ACTTAGGGTCCTGGTCTTGGC-AATTTTG - CTTTTGGAAAAGATCATCGCCT-CTATCAGAC-ACTTAGGGTCCTGGTCTGGT	gi   23274053   gb   BU608- gi   3838507   gb   AI2431+ gi   3229367   gb   AI0150+ gi   2142013   gb   AA4370+ gi   23527150   gb   BU679+ gi   1782040   gb   AA1921- gi   3307963   gb   AI0519- gi   4610281   gb   AI0519- gi   3055333   gb   AI0519- gi   3055333   gb   AI2489- gi   10033200   gb   BE672- gi   4222874   gb   AI3933- gi   26011703   gb   AI3933- gi   26011703   gb   AI3939- gi   1162804   gb   AI39597+ gi   1162804   gb   AI39597- gi   6837905   gb   AI3909- gi   6837905   gb   AN3412-
	gi 3229507 gb A12431+ gi 3229367 gb A12431+ gi 2142013 gb AA44370+ gi 23527150 gb BU679+ gi 1782040 gb AA1921- gi 3307963 gb A10519- gi 4610281 gb A16012- gi 3055333 gb AA9159- gi 3844395 gb A12489- gi 10033200 gb BE672-
TTAAAGCAGACATACTAGGAAATGGTGCAGCCTGTAAGAATGCCAGTTTGTAAGTACTGA	consenso
- TTAAAGCAGACATACTAGGAAATGGTGCAGCCTGTAAGAATGCCAGTTTGTAAGTACTGA - TTAAAGCAGACATACTAGGAAATGGTGCAGCCTGTAAGAATGCCCAGTTTGTAAGTACTGA - TTAAAGCAGACATACTAGGAAATGGTGCAGCCTGTAAGAATGCCCAGTTTGTAAGTACTGA - TTAAAGCAGACATACTAGGAAATGGTGCAGCCTGTAAGAATGCCAGTTTGTAAGTACTGA - TTAAAGCCAGACATACTAGGAAATGGTGCAGCCTGTAAGAATGCCAGTTTGTAAGTACTGA	gi   23274053   gb   BU608- T gi   3838507   gb   AI2431+ T gi   3229367   gb   AI0150+ T gi   2142013   gb   AA4370+ T gi   23527150   gb   BU679+ T gi   4610281   gb   AA1921- gi   4610281   gb   AA1921- gi   3055333   gb   AA9159- gi   3844395   gb   AA9159- gi   10033200   gb   BE672- T gi   26011703   gb   CA774- T gi   1162804   gb   N39597+ T gi   6837905   gb   AM3412-

gi 23274053   gb   BU608-	gi   23274053   gb   BU608- GCCTGATGTGATGCCACAAGACCCAACAGAGAGAGACACAGAGTCC-AGGATAATGTTGA
gi   2669971   gb   AA6826- gi   3838507   gb   AI2431+	2669971 gb AA6826- 3838507 gb AI2431+ GCCTGATGTGATGCCACAAGACCCAAAGAGAGAGAGACACAGAGTCC-AGGATAATGTTGA
	GCCTGATGTGTGTCCACAAGACCCAACAGAGAGAGACACACAGAGTCC-AGGATAATGTTGA
gi 2142013 gb AA4370+	GCCTGATGTGATGCCACAAGACCCAACAGAGAGAGACACAGAGTCC-AGGATAATGTTGA
gi   23527150   gb   BU679+	GCCTGATGTGATGCCACAAGACCCAACAGAGAGAGACACAGAGTCC-AGGATAATGTTGA
gi   3405022   gb   AI0758-	CAAGACCCAACAGAGAGAGACACAGAGTCC-AGGATAATGTTGA
gi   1782040   gb   AA1921-	GCCTGATGTGATGCCACAAGACCCAACAGAGAGAGACACAGAGTCCCAGGATAATGTTGA
gi   3307963   gb   AI0519-	GCCTGATGTGATGCCACAAGACTCAACAGAGAGAGACACAGAGTCC-AGGATAATGTTGA
gi   4610281   gb   AI6012-	GCCTGATGTGATGCCACAAGACCCAACAGAGAGAGACACAGAGTCC-AGGATAATGTTGA
gi   3055333   gb   AA9159-	GCCTGATGTGATGCCACAAGACCCAACAGAGAGAGACACAGAGTCC-AGGATAATGTTGA
gi   3844395   gb   AI2489-	GCCTGATGTGATGCCACAAGACCCAACAGAGAGAGACACAGAGTCC-AGGATAATGTTGA
gi   10033200   gb   BE672-	GCCTGATGTGATGCCACAAGACCCAACAGAGAGAGACACAGAGTCC-AGGATAATGTTGA
gi   4222874   gb   AI3933-	GCCTGATGTGATGCCACAAGACCCAACAGAGAGAGACACAGAGTCC-AGGATAATGTTGA
gi   26011703   gb   CA774-	GCCTGATGTGATGCCACAAGACCCAACAGAGAGAGACACAGAAGTCC-AGGATAATGTTGA
gi   1162804   gb   N39597+	GCCTGATGTGATGCCACAAGACCCAACAGAGAGAGACACAGAGTCC-AGGATAATGTTGA
gi 3933768 gb AI2909-	GCCTGATGTGATGCCACAAGACCCAACAGAGAGAGACACAGAGTCC-AGGATAATGTTGA
gi   6837905   gb   AW3412-	GCCTGATGTGATGCCACAAGACCCAACAGAGAGAGACACAGAGTCC-AGGATAATGTTGA
gi   11448468   gb   BF436-	GAGICC-AGGAIAAIGIIGA
gi   3254601   gb   AI0336-	GAGTCC-AGGATAATGTTGA
gi   11451784   gb   BF439-	CCAGGATAATGTTGA
gi   4330088   gb   AI4679-	GGATAATGTTGA
Consenso	GCCTGamgngamgCCaCaPaGaCCCaaGaGaGaGaCaCaGagaGaGaTGC-AGGamaanga

CAGTGGTGTAGCCCTTTAGGAGAAATGGCGCTCCCTGCGGCTGGTATTAGGTTACC-ATT	Consenso
CAGTGGTGTAGCCCTTTAGGAGAAATGGCGCTCCCTGCGGCTGGTATTAGGTTACC-ATT	gi   4330088   gb   AI4679-
CAGTGGTGTAGCCCTTTAGGAGAAATGGCGCTCCCTGCGGCTGGTATTAGGTTACC-ATT	7
AAATGGCGCTCCCTGCGGCTATTAGGTTACC-AIT	gi   4311745   gb   AI4591-
CAGIGGIGIAGCCCTITIAGGAGAAAIGGCGCTCCCTGCGGCIGGIAITAGGIIACC-AII	
GGCTGGTATTAGGTTACCCATT	gi   1230953   gb   N73668-
AGAAATGGCGCTCCCTGCGGCTGGTATTAGGTTACC-ATT	gi   5543775   gb   AI8698-
CAGTGGTGTAGCCCTTTAGGAGAAATGGCGCTCCCTGCGGCTGGTATTAGGTTACC-ATT	gi   11448468   gb   BF436-
CAGTGGTGTAGCCCTTTAGGAGAAATGGCGCTCCCTGCGGCTGGTATTAGGTTACC-ATT	gi 6837905 gb AW3412-
CAGTGGTGTAGCCCTTTAGGAGAAATGGCGCTCCCTGCGGCTGGTATTAGGTTACC-ATT	gi 3933768 gb AI2909-
THE CONTRACTOR AND A STREET OF THE CONTRACTOR OF	di   1162804   db   N39597+
CAGTGGTGTAGCCCTTTAGGAGAAATGGCGCTCCCTGCGGCTGGTATTAGGTTACC-ATT	- H
CAGTGGTGTAAGCCCTTTAGGAAAATGGCGCTCCCTGCGGCTGGTATTAGGTTACC-ATT	gi   10033200   gb   BE672-
CAGTGGTGTAAGCCCTTTAGGAGAAATGGCGCTCCCTGCGGCTGGTATTAGGTTACC-ATT	gi   3844395   gb   AI2489-
CAGTGGTGTAAGCCCTTTAGGAGAAATGGCGCT-CCTGCGGCTGGTATTAGGTTACC-ATT	gi   3055333   gb   AA9159-
CAGTGGTGTAGCCCTTTAGGAGAAATGGCGCTCCCTGCGGCTGGTATTAGGTTACC-ATT	gi   4610281   gb   AI6012-
CAGTGGTGTAGCCCTTTAGGAGAAATGGCGCTCCCTGCGGCTGGTATTAGGTTACC-ATT	gi 3307963 gb AI0519-
CAGTGGTGTAGCCCTTTAGGAGAAATGGCGCT-CCTGCGGCTGGTATTAGGTTACC-ATT	gi 1782040 gb AA1921-
CAGTGGTGTAGCCCTTTAGGAGAAATGGCGCTCCCTGCGGCTGGTATTAGGTTACC-ATT	gi   3405022   gb   AI0758-
CAGTGGTGTTAGCCCTTTAGGAGAAATGGCGCTCCTGCGGCTGGTATTAGGTTACC-ATT	gi   23527150   gb   BU679+
CAGTGGTGTAGCCCTTTAGGAGAAATGGCGCTCCCTGCGGCTGGTATTAGGTTACC-ATT	gi   2142013   gb   AA4370+
CAGTGGTGTAGCCCTTTAGGAGAAATGGCGCTCCCTGCGGCTGGTATTAGGTTACC-ATT	gi 3229367 gb AI0150+
CAGTGGTGTAGCCCTTTAGGAGAAATGGCGCTCCCTGCGGCTGGTATTAGGTTACC-ATT	gi   3838507   gb   AI2431+
CAGTGGTGTAGCCCTTTAGGAGAAATGGCGNGTCCTGCGGCTGGTATTAGGTTACC-ATT	gi   2669971   gb   AA6826-
CAGTGGTGTAGCCCTTTAGGAGAAATGGCGCTCCCTGCGGCTGGTATTAGGTTACC-ATT	gi   23274053   gb   BU608-

```
GAGCACAGAAGGAACCAGGAGGATAAGAATATCCATAATTTCAGAGCT-GCCCTGGCACA
                                                                                                                                                                         G-GCACCGAAGGAACCAGGAGGATAAGAATATCCATAATTTCAGAGCT-GCCCTGGCACA
                                                                                                                                                                                                                                                                                G-GCACCGAAGGAACCAGGAGGATAAGAATATCCATAATTTCCAGAGCT-GCCCTGGCACA
                                                                                                                                                                                                                                                                                                                                                          G-GCACCGAAGGAACCAGGAGGATAAGAATATCCATAATTTCAGAGCT-GCCCTGGCACA
                                                                                                                                                                                                                                                                                                                                                                                          G-GCACCGAAGGAACCAGGAGGATAAGAATATCCATAATTTCAGAGCT-GCCCTGGCACA
                                                                                                                                                                                                                                                                                                                                                                                                                              G-GCACCGAAGGAACCAGGAGGATAAGAATATCCATAATTTCAGAGCT-GCCCTGGCACA
                                                                                                                                                                                                                                                                                                                                                                                                                                                                   G-GCACCGAAGGAACCAGGAGGATAAGAATATCCATAATTTCAGAGCT-GCCCTGGCACA
                                                                                                                                                                                                                                                                                                                                                                                                                                                                                                        G-GCACCGAAGGAACCAGGAGATAAGAATATCCATAATTTCAGAGCT-GCCCTGGCACA
                                                                                                                                                                                                                                                                                                                                                                                                                                                                                                                                             G-GCACCGAAG-AACCAGGAGGATAAGAATATCCATAATTTCAGAGCTTGCCCTGGCACA
                                                                                                                                                                                                                                                                                                                                                                                                                                                                                                                                                                             G-GCACCGAAGGAACCAGGAGATAAGAATATCCATAATTTCAGAGCT-GCCCTGGCACA
                                                                                                                                                                                                                                                                                                                                                                                                                                                                                                                                                                                                                  G-GCACCGAAGGAACCAGGAGGATAAGAATATCCATAATTTCAGAGCT-GCCCTGGCACA
                                                                                                                                                                                                                                                                                                                                                                                                                                                                                                                                                                                                                                                    G-GCACCGAAGGAACCAGGAGGATAAGAATATCCATAATTTCAGAGCT-GCCCTGGCACA
                                                                                                                                                                                                                                                                                                                                                                                                                                                                                                                                                                                                                                                                                         CAGGAGGATAAGAATATCCATAATT-CAGAGCT-GCCCTGGCACA
                                                                                                                                                                                                                                                                                                                                                                                                                                                                                                                                                                                                                                                                                                                           T-GCACCGAAAGAACCAGGAGG-TAAGAATATCCATA-TTTCAGAGCT-GCCCTGGCACA
                                                                                                                                                                                                                                                                                                                                                                                                                                                                                                                                                                                                                                                                                                                                                         GGCCACCGNAGGAACCAGGGGGATAAGAATTTCCATAATTTTCAGAGCT-GCCCTGGCACA
                                                                                                                                                                                                                                                                                                                                                                                                                                                                                                                                                                                                                                                                                                                                                                                                G-GCACCGAAGGAACCAGGAGGATAAGAATATCCATAATTTCAGAGCT-GCCCTGGCACA
                                                                                                                                                                                                                                                                                                                                                                                                                                                                                                                                                                                                                                                                                                                                                                                                                                                                       G-GCACCGAAGGAACCAGGAGATAAGAATATCCATAATTTCAGAGCT-GCCCTGGCACA
                                                                                                                                                                                                                                                                                                                                                                                                                                                                                                                                                                                                                                                                                                                                                                                                                                                                                                                                                                                 G-GCACCGAAGGAACCAGGAGGATAAGAATATCCATAATTTCAGAGCT-GCCCTGGCACA
                                                                    G-GCACCGAAGGAACCAGGAGGATAAGAATATCCATAATTTCAGAGCT-GCCCTGGCACA
                                                                                                         G-GCACCGAAGAGCCAGGAGGATAAGAATATCCATAATTTTCAGAGCT-GCCCTGGCACA
                                                                                                                                           G-GCACCGAAGAGACCAGGAGGATAAGAATATCCATAATTTCAGAGCT-GCCCTGGCACA
                                                                                                                                                                                                              G-GCACCGAAGGAACCAGGAGGATAAGAATATCCATAATTTCAGAGCT-GCCCTGGCACA
                                                                                                                                                                                                                                                   G-GCACCGAAGGAACCAGGAGGATAAGAATATCCATAATTTCAGAGCT-GCCCTGGCACA
                                                                                                                                                                                                                                                                                                                       G-GCACCGAAGGAACCAGGAGGATAAGAATATCCATAATTTCAGAGCT-GCCCTGGCACA
                                                                                                                                                                                                                                                                                                                                                                                                                                                                                                                                                                                                                                                                                                                                                                                                                                     G-GCACCGAAGGAACCAGGAGGATAAGAATATCCATAATTTCAGAGCT-GCCCTGGCACA
                                                                                                                                                                                                                                                                                                                                                                                                                                                                                                                                                                                                                                                                                                                                                                                                                                                                                                          G-GCACCGAAGGAACCAGGAGGATAAGAATATCCATAATTTCAGAGCT-GCCCTGGCACA
G-GCACCGAAGGAACCAGGAGGATAAGAATATCCATAATTTCAGAGCT-GCCCTGGCACA
                                  2669971 | gb | AA6826-
                                                                  gb AI2431+
                                                                                                       3229367 |gb | AI0150+
                                                                                                                                       2142013 gb AA4370+
                                                                                                                                                                           23527150 gb BU679+
                                                                                                                                                                                                              3405022 | gb | AI0758-
                                                                                                                                                                                                                                                1782040 |gb | AA1921-
                                                                                                                                                                                                                                                                                gb AI0519-
                                                                                                                                                                                                                                                                                                                       gb AI6012-
                                                                                                                                                                                                                                                                                                                                                       3055333 |gb| AA9159-
                                                                                                                                                                                                                                                                                                                                                                                          |gb |AI2489-
                                                                                                                                                                                                                                                                                                                                                                                                                                 10033200. gb BE672-
                                                                                                                                                                                                                                                                                                                                                                                                                                                                   4222874 | gb | AI3933-
                                                                                                                                                                                                                                                                                                                                                                                                                                                                                                        26011703 |gb | CA774-
                                                                                                                                                                                                                                                                                                                                                                                                                                                                                                                                          1162804 |gb | N39597+
                                                                                                                                                                                                                                                                                                                                                                                                                                                                                                                                                                               |gb|AI2909-
                                                                                                                                                                                                                                                                                                                                                                                                                                                                                                                                                                                                                                                                                                                              5543775 qb AI8698-
                                                                                                                                                                                                                                                                                                                                                                                                                                                                                                                                                                                                                                                                                                                                                           1230953 |gb N73668-
                                                                                                                                                                                                                                                                                                                                                                                                                                                                                                                                                                                                                                                                                                                                                                                              3254601 |gb | AI0336-
                                                                                                                                                                                                                                                                                                                                                                                                                                                                                                                                                                                                                                                                                                                                                                                                                                  gi |4311745 |gb | AI4591-
                                                                                                                                                                                                                                                                                                                                                                                                                                                                                                                                                                                                                                                                                                                                                                                                                                                                       11451784 gb BF439-
23274053 |gb | BU608-
                                                                                                                                                                                                                                                                                                                                                                                                                                                                                                                                                                                                                  6837905 gb AW3412-
                                                                                                                                                                                                                                                                                                                                                                                                                                                                                                                                                                                                                                                    11448468 | gb | BF436-
                                                                                                                                                                                                                                                                                                                                                                                                                                                                                                                                                                                                                                                                                      5543768 |gb | AI8698-
                                                                                                                                                                                                                                                                                                                                                                                                                                                                                                                                                                                                                                                                                                                                                                                                                                                                                                          4330088 |gb | AI4679~
                                                                                                                                                                                                                                                                                3307963
                                                                                                                                                                                                                                                                                                                       4610281
                                                                                                                                                                                                                                                                                                                                                                                          3844395
                                                                                                                                                                                                                                                                                                                                                                                                                                                                                                                                                                                  3933768
                                                                    3838507
                                                                                                                                                                                                                                                                                                                                                       4444444
                                                                                                                                                                                                                                                                                                                                                                                                                                                                                                                                                                                                                                                                                      gil
                                                                                                                                                                                                                                                91,00
                                                                                                                                                                                                                                                                                                                                                                                                                                                                                                                                                                                                                                                    gi
```

gi   23274053   gb   BUG08- gi   2669971   gb   AA6826- gi   3838507   gb   AI2431+ gi   3229367   gb   AI0150+ gi   23527150   gb   BUG79+ gi   245022   gb   BUG79+ gi   3405022   gb   AI0758- gi   3405022   gb   AI0758- gi   3405022   gb   AI0758- gi   3405032   gb   AI0519- gi   365333   gb   AA9159- gi   3844395   gb   AI2489- gi   26011703   gb   AI2489- gi   26011703   gb   AI2909- gi   254376   gb   AI8698- gi   2953300   gb   AA8611- gi   5543775   gb   AI8698- gi   5543775   gb   AI8698- gi   5543775   gb   AI8698- gi   5543775   gb   AI8698- gi   3254601   gb   AI4591- gi   4330088   gb   AI4679- gi   4330088   gb   AI4679- gi   3836330   gb   AI4679-	GTACCTGCCCTGTCGAGGGCTCTCACTGG - CAAATG - ACAGCTCTGTGCAAGGAGCACT GTACCTGCCCTGTCGAGGGCTCTCACTGG - CAAATG - ACAGCTCTGTGCAAGGAGCACT GTACCTGCCCCGTCGAGGGCTCTCACTGG - CAAATG - ACAGCTCTGTGCAAGGAGCACT GTACCTGCCCCGTCGAGGGCTCTCACTGG - CAAATG - ACAGCTCTGTGCAAGGAGCACT GTACCTGCCCCGTCGGAGGCTCTCACTGG - CAAATG - ACAGCTCTGTGCAAGGAGCACT GTACCTGCCCCCGTCGGAGGCTCTCACTGG - CAAATG - ACAGCTCTGTGCAAGGAGCACT GTACCTGCCCCCGTCGGAGGCTCTCACTGG - CAAATG - ACAGCTCTGTGCAAGGAGCACT GTACCTGCCCCCGTCGGAGGCTCTCACTGG - CAAATG - ACAGCTCTGTGCAAGGAGCACT GTACCTGCCCCGTCGGAGGCTCTCACTGG - CAAATG - ACAGCTCTGTGCAAGGAGCACT GTACCTGCCCCTTCACTGG - CAAATG - ACAGCTCTGTGCAAGGAGCACT GTACCTGCCCCGTCCGAAGGCTCTCACTGG - CAAATG - ACAGCTTGTGCAAGGAGCACT GTACCTGCCCCGTCCGAAGGCTCTCACTGG - CAAATG - ACAGCTTGTGCAAGGAGCACT GTACCTGCCCCGTCCGAAGGCTCTCACTGC - CAAATG - ACAGCTTGTGCAAGGAGCACT GTACCTGCCCCGTCCGAAGGCTCT
Consenso	GTACCTGCCCCGTCGGAGGCTCTCACTGG-CAAATG-ACAGCTCTGTGCAAGGAGCAC-T

```
CCCAAGTATAAAAATTATTACACAGTTTTATTCTGAAGAACA-TTTTGC-ATTTTAATAA
                                                                                                                                                                               CCCAAGTATAAAAATTATTACACAGGTTTTATTCTGAAGAACA-TTTTGC-ATTTTAATAA
                                                                                                                                                                                                                CCCAAGTATAAAAATTATTACACAGTTTTATTCTGAAGAACA-TTTTGC-ATTTTAATAA
                                                                                                                                                                                                                                               CCCAAGTATAAAATTATTACACAGTTTTATTCTGAAGAACA-TTTTGC-ATTTTAATAA
                                                                                                                                                                                                                                                                                     CCCAAGTATAAAAATTATTACACAGTTTTTATTCTGAAGAACA-TTTTGC-ATTTTAATAA
                                                                                                                                                                                                                                                                                                                                                     CCCAAGTATAAAATTATTACACAGTTTTAATTCTGAAGAACA-TTTTGC-ATTTTAATAA
                                                                                                                                                                                                                                                                                                                                                                                        CCCAAGTATAAAATTATTACACAGTTTTATTCTGAAGAACA-TTTTGC-ATTTTAATAA
                                                                                                                                                                                                                                                                                                                                                                                                                                                             CCCAAGTATAAAAATTATTACACAGTTTTAATTCTGAAGAACA-TTTTGC-ATTTTAATAA
                                                                                                                                                                                                                                                                                                                                                                                                                                                                                              CCCAAGTATAAAATTATTACACAGTTTTATTCTGAAGAACA-TTTTGC-ATTTTAATAA
                                                                                                                                                                                                                                                                                                                                                                                                                                                                                                                                  CCCAAGTATAANAATTATTACACAGTTTTTATTCTGAAGAACA-TTTTGC-ATTTTAATAA
                                                                                                                                                                                                                                                                                                                                                                                                                                                                                                                                                                   CCCAAGTATAAAATTATTACACAGTTTTTATTCTGAAGAACA-TTTTGC-ATTTTAATAA
                                                                                                                                                                                                                                                                                                                                                                                                                                                                                                                                                                                                                                        CCCAAGTATAAAATTATTACACAGTTTTTATTCTGAAGAACA-TTTTGC-ATTTTAATAA
                                                                                                                                                                                                                                                                                                                                                                                                                                                                                                                                                                                                                                                                           CCCAAGTATAAAAATTATTACACAGTTTTATTCTGAAGAACA-TTTTGC-ATTTTAATAA
                                                                                                                                                                                                                                                                                                                                                                                                                                                                                                                                                                                                                                                                                                            CCCAAGTATAAAATTATTACACAGTTTTATTCTGAAGAACA-TTTTGC-ATTTTAATAA
                                                                                                                                                                                                                                                                                                                                                                                                                                                                                                                                                                                                                                                                                                                                              CCCAAGTATAAAAATTATACACAGTTTTATTCTGAAGAACA-TTTTGC-ATTTTAATAA
                                                                                                                                                                                                                                                                                                                                                                                                                                                                                                                                                                                                                                                                                                                                                                               CCCAAGTATAAAATTATTACACAGTTTTATTCTGAAGAACAATTTTGCNATTTTAATAA
                                                                                                                                                                                                                                                                                                                                                                                                                                                                                                                                                                                                                                                                                                                                                                                                                  CCCAAGTATAAAATTATTACACAGTTTTATTCTGAAGAACA-TTTTGC-ATTTTAATAA
                                                                                                                                                                                                                                                                                                                                                                                                                                                                                                                                                                                                                                                                                                                                                                                                                                                   CCCAAGTATAAAAATTATTACACAGTTTTTATTCTGAAGAACA-TTTTGC-ATTTTAATAA
                                                                                                                                                                                                                                                                                                                                                                                                                                                                                                                                                                                                                                                                                                                                                                                                                                                                                       CCCAAGTATAAAATTATTACACAGTTTTATTCTGAAGAACA-TTTTGC-ATTTTAATAA
                                                                                                                                                                                                                                                                                                                      CCCAAGTATAAAAATTATTACACAGTTTTATTCTGAAGAACA-TTTTGC-ATTTTAATAA
                                                                                                                                                                                                                                                                                                                                                                                                                         CCCAAGTATAAAATTATTACACAGTTTTTATTCTGAAGAACA-TTTTGC-ATTTTAATAA
                                                                                                                                                                                                                                                                                                                                                                                                                                                                                                                                                                                                         CCCAAGTATAAAAATTATTACACAGTTTTTATTCTGAAGAACA-TTTTGC-ATTTTAATAA
                                                                                                                                                                                                                                                                                                                                                                                                                                                                                                                                                                                                                                                                                                                                                                                                                                                                                                                           CCCAAGTATAAAATTATTACACAGTTTTTATTCTGAAGAACA-TTTTGC-ATTTTAATAA
                                                                                                                                                                                                                                                                                                                                                                                                                                                                                                                                                                                                                                                                                                                                                                                                                                                                                                                                                              CCCAAGTATAAAAATTATTACACAGGTTTTATTCTGAAGAACC-TTTTGC-ATTTTAATAA
                                                                                                                                                                                                                                                                                                                                                                                                                                                                                                                                                                                                                                                                                                                                                                                                                                                                                                                                                                                                                                     CCCAAGTATAAAAATTATTACACAGTTTTTATTCTGAAGAACA-TTTTGC-ATTTTAATAA
                                   CCCAAGTATAAAATTATTACACAGTTTTATTCTGAAGAACA-TTTTGC-ATT
                                                                                                          CCCAAGTATAAAATTATTACACAGTTTTATTCTG
                                                                                                                                           CCCAAGTATAAAATTAT
                                                                                                          gb AI0150+
                                                                                                                                           2142013 |gb | AA4370+
                                                                                                                                                                               23527150 gb BU679+
                                                                                                                                                                                                                3405022 | gb | AI0758-
                                                                                                                                                                                                                                                                                                                                                                                                                                                                                                                                  1162804 | gb | N39597+
                                                                                                                                                                                                                                                                                                                                                                                                                                                                                                                                                                                                                                                                                                                                              5543775 gb AI8698-
                                                                                                                                                                                                                                                                                                                                                                                                                                                                                                                                                                                                                                                                                                                                                                               gb N73668-
                                                                                                                                                                                                                                                                                                                                                                                                                                                                                                                                                                                                                                                                                                                                                                                                                                                 gi |4311745 | gb | AI4591-
gi | 23274053 | gb | BU608-
                                   gi | 2669971 | gb | AA6826-
                                                                                                                                                                                                                                               gb AA1921-
                                                                                                                                                                                                                                                                                                                                                  3055333 gb AA9159-
                                                                                                                                                                                                                                                                                                                                                                                                                                                             4222874 | gb | AI3933-
                                                                                                                                                                                                                                                                                                                                                                                                                                                                                            |26011703 |gb | CA774-
                                                                                                                                                                                                                                                                                                                                                                                                                                                                                                                                                                 gi |3933768 | gb | AI2909-
                                                                                                                                                                                                                                                                                                                                                                                                                                                                                                                                                                                                    6837905 gb AW3412-
                                                                                                                                                                                                                                                                                                                                                                                                                                                                                                                                                                                                                                                                           gi |2953300 | gb | AA8611-
                                                                                                                                                                                                                                                                                                                                                                                                                                                                                                                                                                                                                                                                                                                                                                                                                  gi | 3254601 | gb | AI0336-
                                                                       gb AI2431+
                                                                                                                                                                                                                                                                                                                                                                                        3844395 | gb | AI2489-
                                                                                                                                                                                                                                                                                                                                                                                                                                                                                                                                                                                                                                        11448468 |gb | BF436-
                                                                                                                                                                                                                                                                                                                                                                                                                                                                                                                                                                                                                                                                                                            5543768 gb AI8698-
                                                                                                                                                                                                                                                                                                                                                                                                                                                                                                                                                                                                                                                                                                                                                                                                                                                                                       gi | 11451784 | gb | BF439-
                                                                                                                                                                                                                                                                                                                                                                                                                                                                                                                                                                                                                                                                                                                                                                                                                                                                                                                           4330088 gb AI4679-
                                                                                                                                                                                                                                                                                                                                                                                                                                                                                                                                                                                                                                                                                                                                                                                                                                                                                                                                                              gi |3836330 | gb | AI2409-
                                                                                                                                                                                                                                                                                  gb AI0519-
                                                                                                                                                                                                                                                                                                                 4610281 gb AI6012-
                                                                                                                                                                                                                                                                                                                                                                                                                         10033200 | gb | BE672-
                                                                         gi|3838507|
                                                                                                          3229367
                                                                                                                                                                                                                                                                                                                                                                                                                                                                                                                                                                                                                                                                                                                                                                               1230953
                                                                                                                                                                                                                                                 1782040
                                                                                                                                                                                                                                                                                     3307963
                                                                                                                                                                                                                                                                                                                                                                                                                                                             gi
                                                                                                                                                                                                                                                                                                                                                                                                                                                                                                                                                                                                      gi
                                                                                                                                                                                                              gi
                                                                                                                                                                                                                                               gi
                                                                                                                                                                                                                                                                                                                 gi
                                                                                                                                                                                                                                                                                                                                                       gi
                                                                                                                                                                                                                                                                                                                                                                                        gi
                                                                                                                                                                                                                                                                                                                                                                                                                       gi
                                                                                                                                                                                                                                                                                                                                                                                                                                                                                              gi
                                                                                                                                                                                                                                                                                                                                                                                                                                                                                                                                  gi
                                                                                                                                                                                                                                                                                                                                                                                                                                                                                                                                                                                                                                          gi
                                                                                                                                                                                                                                                                                                                                                                                                                                                                                                                                                                                                                                                                                                            gi
```

AAAA-GGAITTAIGICAGGAAAGAGIC-AITIACAAACCITGAAGIGITTIIGCCTGGAI	Consenso
AAAA-GGATTTATGTCAGGAAAGAGTC-ATTTCCAAACCTTGAAGTGTTTTTGCCTGGAT	gi 3836330 gb AI2409-
AAAA-GGATTTATGTCAGGAAAGAGTC-ATTTACAAACCTTGAAGTGTTTTTGCCTGGAT	gi  4330088  gb   AI4679-
AAAA-GGATTTATGTCAGGAAAAAGTC-ATTTACAAACCTTGAAGTGTTTTTGCCTGGAT	gi   11451784   gb   BF439-
AAAA-GGATTTATGTCAGGAAAGAGTC-ATTTACAAACCTTGAAGTGTTTTTGCCTGGAT	gi  4311745  gb   AI4591-
AAAA-GGATTTATGTCAGGAAAGAGTC-ATTTACAAACCTTGAAGTGTTTTTGCCTGGAT	gi 3254601 gb AI0336-
AAAA-GGATTTATGTCAGGAAAGAGTCGATTTACAAACCTTGAAGTGTTTTTGCCTGGAT	gi   1230953   gb   N73668-
AAAA-GGATTTATGTCAGGAAAGAGTC-ATTTACAAACCTTGAAGTGTTTTTGCCTGGAT	gi   5543775   gb   AI8698-
AAAA-GGATTTATGTCAGGAAAGAGTC-ATTTACAAACCTTGAAGTGTTTTTGCCTGGAT	
AAAA-GGATTTATGTCAGGAAAGAGTC-ATTTACAAACCTTGAAGTGTTTTTGCCTGGAT	gi  2953300  gb   AA8611-
AAAA-GGATTTATGTCAGGAAAGAGTC-ATTTACAAACCTTGAAGTGTTTTTGCCTGGAT	gi   11448468   gb   BF436-
AAAAAGGATTTATGTCAGGAAAGAGTC-ATTTACAAACCTTGAAGTGTTTTTGCCTGGAT	gi   6837905   gb   AW3412-
AAAA-GGATTTATGTCAGGAAAGAGTC-ATTTACAAACCTTGAAGTGTTTTTGCCTGGAT	gi   3933768   gb   AI2909-
АААА	gi   1162804   gb   N39597+
AAAA-GGATTTATGTCAGGAAAGAGTC-ATTTACAAACCTTGAAGTGTTTTTGCCTGGAT	gi  26011703   gb   CA774-
AAAA-GGATTTATGTCAGGAAAGAGTC-ATTTACAAACCTTGAAGTGTTTTTGCCTGGAT	gi   4222874   gb   AI3933-
AAAA-GGATTTATGTCAGGAAAGAGTC-ATTTACAAACCTTGAAGTGTTTTTGCCTGGAT	gi   10033200   gb   BE672-
AAAA-GGATTTATGTCAGGAAAGAGTC-ATTTACAAACCTTGAAGTGTTTTTGCCTGGAT	gi   3844395   gb   AI2489-
AAAA-GGATTTATGTCAGGAAAGAGTC-ATTTACAAACCTTGAAGTGTTTTTGCCTGGAT	gi  3055333   gb   AA9159-
AAAA-GGATTTATGTCAGGAAAGAGTC-ATTTACAAACCTTGAAGTGTTTTTGCCTGGAT	gi  4610281   gb   AI6012-
AAAA-GGATTTATGTCAGGAAAGAGTC-ATTTACAAACCTTGAAGTGTTTTTGCCTGGAT	gi  3307963   gb   AI0519-
AAAA-GGATTTATGTCAGGAAAGAGTC-ATTTACAAACCTTGAAGTGTTTTTGCCTGGAT	gi  1782040   gb   AA1921-
AAAA-GGATTTATGTCAGGAAAGAGTC-ATTTACAAACCTTGAAGTGTTTTTGCCTGGAT	gi 3405022 gb AI0758-
AAAA-GGATTTATGTCAGGAAAGAGTC-ATTTACAAACCTTGAAGTGTTTTTGCCTGGAT	gi  23527150   gb   BU679+
AAAA-GGATTTATGTCAGGAAAGAGTC-ATTTACAAACCTTGAAGTGTTTTTGCCTGGAT	gi   23274053   gb   BU608-

```
CAGAGTAAGAATGTCTTAAGAAGAGGTTTGTAAGGTCTTCATAAC-ANAGTGGTGTTTGT
                                                                                                                                                                                                                                                         CAGAGTAAGAATGTCTTAAGAAGAGGTTTGTAAGGTCTTCATAAC-AAAGTGGTGTTTGT
                                                                                                                                                                                                                                                                                                                                                                                                                                                                                                                                                                                                                                                                      CAGAGTAAGAATGTCTTAAGAAGAGGTTTGTAAGGTCTTCATAAC-CAAGTGGTGTTTGT
                                                                                                                                                                                                                                                                                                                                                                                                                                                                                                                                                                                                                                                                                                                                                                                                                                                                                               CAGAGTAAGAATGTCTTAAGAAGAGGTTTGTAAGGTCTTCATAAC-AAAGTGGTGTTTGT
CAGAGTAAGAATGTCTTAAGAAGAGGTTTTGTAAGGTCTTCATAACCAAAGTGGTGTTTGT
                                                                          CAGAGTAAGAATGTCTTAAGAAGAGGTTTGTAAGGTCTTCATAAC-AAAGTGGTGTTTGT
                                                                                                                                              CAGAGTAAGAATGTCTTAAGAAGAGGTTTTGTAAGGTCTTCATAAC-AAAGTGGTGTTTGT
                                                                                                                                                                                                                                                                                                                                                                                                          CAGAGTAAGAATGTCTTAAGAAGAGGTTTTGTAAGGTCTTCATAAC-AAAGTGGTGTTTGT
                                                                                                                                                                                                                                                                                                                                                                                                                                                  CAGAGTAAGAATGTCTTAAGAAGAGGTTTGTAAGGTCTTCATAAC-AAAATGGTGTTAGT
                                                                                                                                                                                                                                                                                                                                                                                                                                                                                                                                                           CAGAGTAAGAATGTCTTAAGAAGAGGTTTGTAAGGTCTTCATAAC-AAAGTGGTGTTTGT
                                                                                                                                                                                                                                                                                                                                                                                                                                                                                                                                                                                              CAGAGTAAGAATGTCTTAAGGAAGGGTTTGTAAGGTCTTCATAAC-AAAGTGGTGTTTGT
                                                                                                                                                                                                                                                                                                                                                                                                                                                                                                                                                                                                                                                                                                                                                 CAGAGTAAGAATGTCTTAAAAAAGAGGTTTGTAAGGTCTTCATAAC-AAAGTGGTGTTTGT
                                                                                                                                                                                                                                                                                                                                                                                                                                                                                                                                                                                                                                                                                                                                                                                  CAGAGTAAGAATGTCTTAAGAAGAGGTTTGTAAGGTCTTCATAAC-AAAGTGGTGTTTGT
                                                                                                                                                                                                                                                                                                                                                                                                                                                                                                                                                                                                                                                                                                                                                                                                                       CAGAGTAAGAATGTCTTAAGAAGAGGTTTGTAAGGTCTTCATAAC-AAAGTGGTGTTTGT
                                                                                                             CAGAGTAAGAATGTCTTAAGAAGAGGTTTGTAAGGTCTTCATAAC-AAAGTGGTGTTTGT
                                                                                                                                                                                   CAGAGTAAGAATGTCTTAAGAAGAGGTTTGTAAGGTCTTCATAAC-AAAGTGGTGTTTGT
                                                                                                                                                                                                                      CAGAGTAAGAATGTCTTAAGAAGAGGTTTGTAAGGTCTTCATAAC-AAAGTGGTGTTTGT
                                                                                                                                                                                                                                                                                               CAGAGTAAGAATGTCTTAAGAAGAGGTTTGTAAGGTCTTCATAAC-AAAGTGGTGTTTGT
                                                                                                                                                                                                                                                                                                                                                                     CAGAGTAAGAATGTCTTAAGAAGAGGTTTTGTAAGGTCTTCATAAC-AAAGTGGTGTTTGT
                                                                                                                                                                                                                                                                                                                                                                                                                                                                                       CAGAGTAAGAATGTCTTAAGAAGAGGTTTGTAAGGTCTTCATAAC-AAAGTGGTGTTTGT
                                                                                                                                                                                                                                                                                                                                                                                                                                                                                                                          CAGAGTAAGAATGTCTTAAGAAGAGGTTTGTAAGGTCTTCATAAC-AAAGTGGTGTTTGT
                                                                                                                                                                                                                                                                                                                                                                                                                                                                                                                                                                                                                                   CAGAGTAAGAATGTCTTAAGAAGAGGTTTGTAAGGTCTTCATAAC-AAAGTGGTGTTTGT
                                                                                                                                                                                                                                                                                                                                                                                                                                                                                                                                                                                                                                                                                                              CAGAGTAAGAATGTCTTAAGAAGAGGTTTGTAAGGTCTTCATAAC-AAAGTGGTGTTTGT
                                                                                                                                                                                                                                                                                                                                    CAGAGTAAGAATGTCTTAAGAAGAGGTTTGTAAGGTCTTCATAAC-AAAGTGGTG
                                     23527150 gb BU679+
23274053 |gb | BU608-
                                                                                                   gb AA1921-
                                                                                                                                                                                                                                                                                                                                  4222874 |gb | AI3933-
                                                                                                                                                                                                                                                                                                                                                                     26011703 | gb | CA774-
                                                                                                                                                                                                                                                                                                                                                                                                                                             6837905 | gb | AW3412-
                                                                                                                                                                                                                                                                                                                                                                                                                                                                                     11448468 | gb | BF436-
                                                                                                                                                                                                                                                                                                                                                                                                                                                                                                                     2953300 | gb | AA8611-
                                                                                                                                                                                                                                                                                                                                                                                                                                                                                                                                                      gb AI8698-
                                                                                                                                                                                                                                                                                                                                                                                                                                                                                                                                                                                                                                 1230953 |gb |N73668-
                                                                                                                                                                                                                                                                                                                                                                                                                                                                                                                                                                                                                                                                      gb AI0336-
                                                                                                                                                                                                                                                                                                                                                                                                                                                                                                                                                                                                                                                                                                       gb | AI4591-
                                                                          3405022 gb AI0758-
                                                                                                                                              3307963 | gb | AI0519-
                                                                                                                                                                              4610281 | gb | AI6012-
                                                                                                                                                                                                                    3055333 |gb | AA9159-
                                                                                                                                                                                                                                                         3844395 |gb | AI2489-
                                                                                                                                                                                                                                                                                               10033200 | gb | BE672-
                                                                                                                                                                                                                                                                                                                                                                                                          3933768 |gb |AI2909-
                                                                                                                                                                                                                                                                                                                                                                                                                                                                                                                                                                                              5543775 gb AI8698-
                                                                                                                                                                                                                                                                                                                                                                                                                                                                                                                                                                                                                                                                                                                                               11451784 |gb | BF439-
                                                                                                                                                                                                                                                                                                                                                                                                                                                                                                                                                                                                                                                                                                                                                                                                                     gb AI2409-
                                                                                                                                                                                                                                                                                                                                                                                                                                                                                                                                                                                                                                                                                                                                                                                    4330088 | qb | AI4679-
                                                                                                                                                                                                                                                                                                                                                                                                                                                                                                                                                                                                                                                                                                                                                                                                                         3836330
                                                                                                                                                                                                                                                                                                                                                                                                                                                                                                                                                             5543768
                                                                                                                                                                                                                                                                                                                                                                                                                                                                                                                                                                                                                                                                         3254601
                                                                                                                                                                                                                                                                                                                                                                                                                                                                                                                                                                                                                                                                                                              4311745
                                                                                                           1782040
                                                                                                                                                                                                                                                                                               gi
                                                                                                                                                                                                                                                                                                                                  gi
                                                                                                                                                                                                                                                                                                                                                                                                          gj.
                                                                                                                                                                                                                                                                                                                                                                                                                                                  gi
                                                                                                                                                                                                                                                                                                                                                                                                                                                                                                                        ğ
                                                                                                                                                                                                                      gi
                                                                                                                                                                                                                                                       gi
```

```
TATTTACAAAAAAAAAAAAAAAATTAACAGGTTGTCTGTATACTATTAAAAATTTT
                                                                                                                                                                                                                                    TATTTACAAAAAAAAAAAAAAAAATTAAACAGGTTGTCTGTÀTACTATTAAAAATTTT
                                                                                                                                                                                                                                                                                                                 TATITTACAAAAAAAAAAAAAAAAAATITAACAGGTIGTCIGIAIACITATAAAAITITI
                                                                                                                                                                                                                                                                                                                                                    TATTTACAAAAAAAAAAAAAAAAATTAACAGGTTGTCTGTATACTATTAAAAATTTT
                                                                                                                                                                                                                                                                                                                                                                         TATTTACAAAAAAAAAAAAAAAATTAACAGGTTGTCTGTATACTTTAAAAATTTT
                                                                                                                                                                                                                                                                                                                                                                                             TATTTACAAAAAAAAAAAAAAAAATTAACAGGTTGTCTGTATACTTAAAAATTTT
                                                                                                                                                                                                                                                                                                                                                                                                                TATTTCCAAAAAAAAAAAAAAAATTAACAGGTTGTCTGTATACTATTAAAAATTTT
                     TATTTACAAAAAAAAAAAAAAAAAT
  TATTTACAAAAAAAAAAAAAAA
                                        TATTTACAAAAAAAAAA
                                                                            TATTTACAAAAAAAA
                                                                                                   TATTTACAAA
                                                                                                                                                           TATTTACAAA
                                                                                                                                                                                                                                                        TATTTACAAA
                                                                                                                    TATTTACAA
                                                                                                                                         TATTTACA
                                                                                                                                                                                                                                                                                                                                    TATTACA
                                                                                                                                                                                                                                                                                             TATTTAC
                                                            TATTTAC
                                                                                                                                                                                                                                                                             TATITAC
                                                                                                                                                                              TATTAT
                                                                                                                                                                                                TATTTA
                                                                                                                                                                                                                  TATTAT
23274053 |gb | BU608-
                   BU679+
                                                          1782040 |gb |AA1921-
                                                                           3307963 gb AI0519-
                                                                                                                                                                                                                                                       2953300 gb AA8611-
                                                                                                                                                                                                                                                                                                               1230953 |gb |N73668-
                                                                                                                                                                                                                                                                                                                                   3254601 | gb | AI0336-
                                                                                                                                                                                                                                                                                                                                                    4311745 gb AI4591-
                                                                                                                                                                                                                                                                                                                                                                                            4330088 | gb | AI4679-
                                                                                                                                                                                                                                                                                                                                                                                                                3836330 gb AI2409-
                                       3405022 | gb | AI0758-
                                                                                                4610281 | gb | AI6012-
                                                                                                                  3055333 gb AA9159-
                                                                                                                                      3844395 | gb | AI2489-
                                                                                                                                                         10033200 | gb | BE672-
                                                                                                                                                                           26011703 | gb | CA774-
                                                                                                                                                                                               3933768 | gb | AI2909-
                                                                                                                                                                                                                6837905 gb AW3412-
                                                                                                                                                                                                                                    11448468 | gb | BF436-
                                                                                                                                                                                                                                                                          5543768 | gb | AI8698-
                                                                                                                                                                                                                                                                                            5543775 gb AI8698-
                                                                                                                                                                                                                                                                                                                                                                         11451784 | gb | BF439-
                   23527150 gb
                                                                                                                                                                                                                                                                                                                                                                                                                                                          Consenso
```

gi | 11448468 | gb | BF436- GGACCAAAAAAAA gi | 1230953 | gb | N73668- GGACC gi | 4311745 | gb | A14591- GGACCAAAAAAAAA gi | 11451784 | gb | BF439- GGCCCAAAAAAAAAAA gi | 4330088 | gb | A14679- GGACCAAAAAAAAAAA gi | 3836330 | gb | A12409- GGACCAAAAAAAAAAAAAAA

GGACCAAAAAAAAAAAAAAAAAA

Consenso

# Fig. 6

Fig. 7

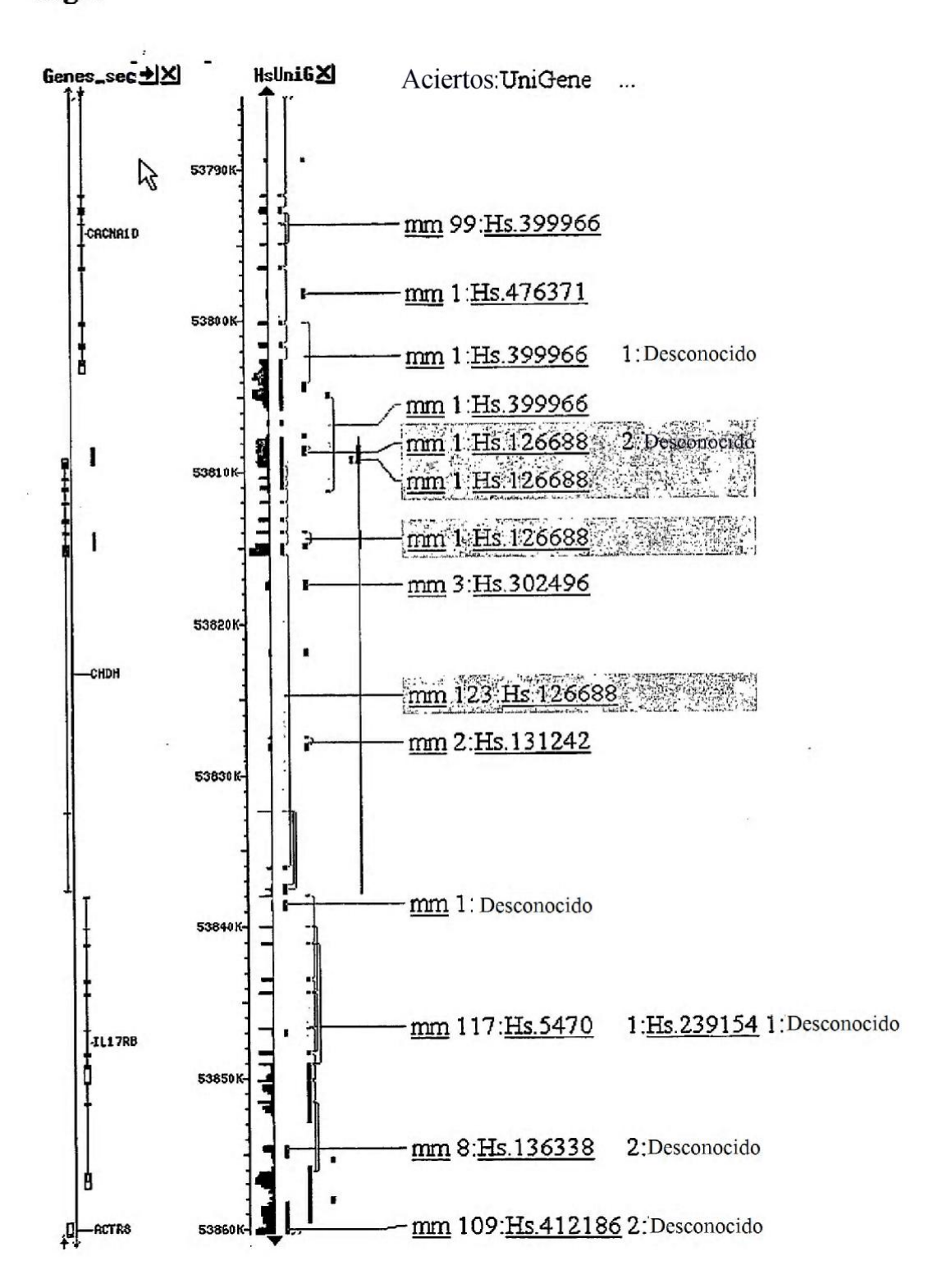
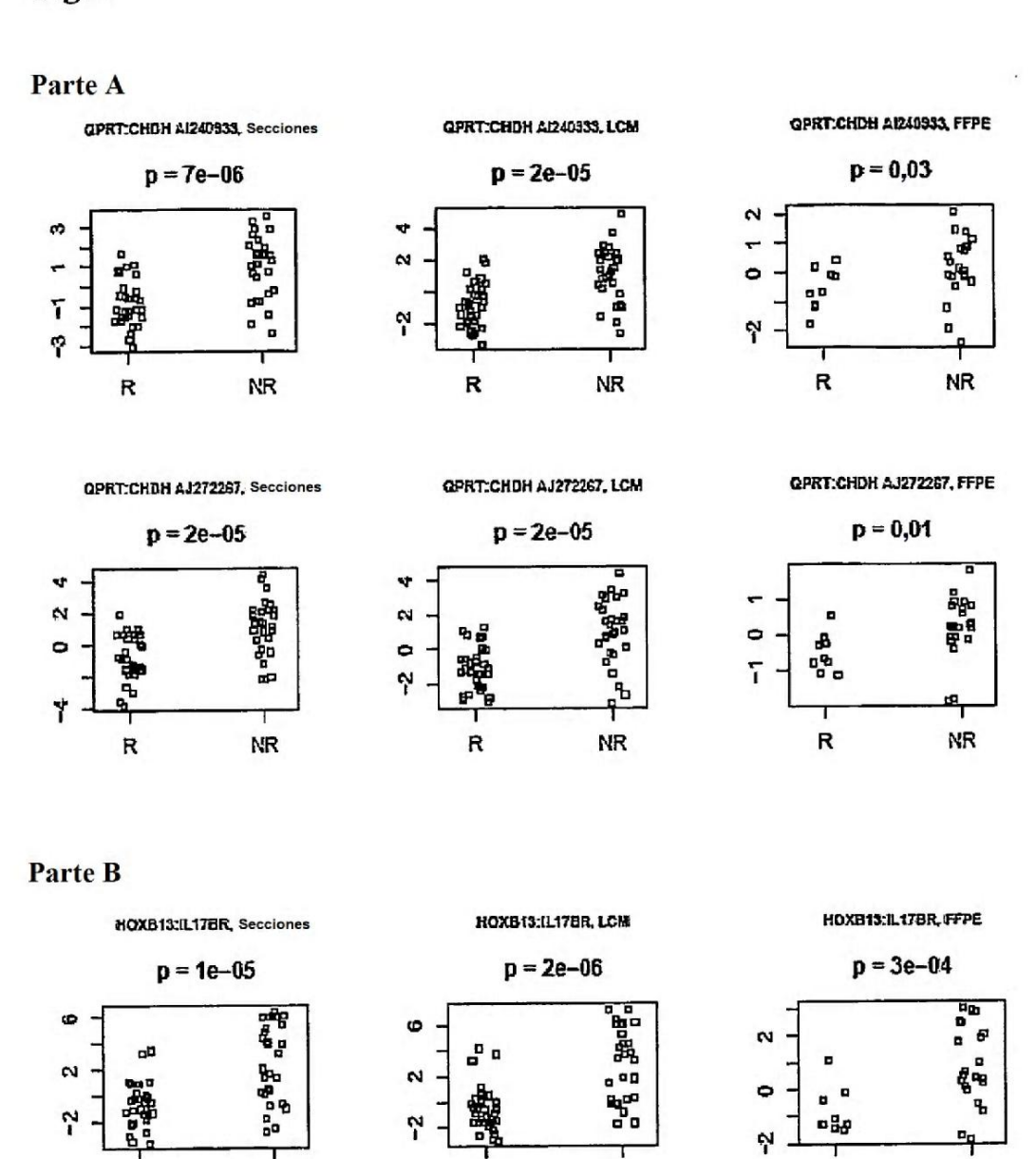


Fig. 8

R

NR



NR

R

R

NR